

(19) 日本国特許庁 (JP)

(12) 公表特許公報 (A)

(11) 特許出願公表番号

特表2011-526786

(P2011-526786A)

(43) 公表日 平成23年10月20日 (2011. 10. 20)

(51) Int.Cl.

C 1 2 N 5/0735 (2010.01)

F 1

C 1 2 N 5/00 2 0 2 C

テーマコード (参考)

4 B 0 6 5

審査請求 未請求 予備審査請求 未請求 (全 155 頁)

(21) 出願番号 特願2011-516798 (P2011-516798)
 (86) (22) 出願日 平成21年6月30日 (2009. 6. 30)
 (85) 翻訳文提出日 平成23年2月24日 (2011. 2. 24)
 (86) 国際出願番号 PCT/US2009/049183
 (87) 国際公開番号 W02010/002846
 (87) 国際公開日 平成22年1月7日 (2010. 1. 7)
 (31) 優先権主張番号 61/076, 908
 (32) 優先日 平成20年6月30日 (2008. 6. 30)
 (33) 優先権主張国 米国 (US)
 (31) 優先権主張番号 61/076, 900
 (32) 優先日 平成20年6月30日 (2008. 6. 30)
 (33) 優先権主張国 米国 (US)
 (31) 優先権主張番号 61/076, 915
 (32) 優先日 平成20年6月30日 (2008. 6. 30)
 (33) 優先権主張国 米国 (US)

(71) 出願人 509087759
 セントコア・オーソ・バイオテック・イン
 コーポレーテッド
 アメリカ合衆国ペンシルベニア州 1 9 0 4
 4 ホーシヤム・リッジビュードライブ 8 0
 0 / 8 5 0
 (74) 代理人 110000741
 特許業務法人小田島特許事務所
 (72) 発明者 リウ, ジアジアン
 アメリカ合衆国ニュージャージー州 0 8 5
 5 8 スキルマン・グランドビューロード 1
 9 9

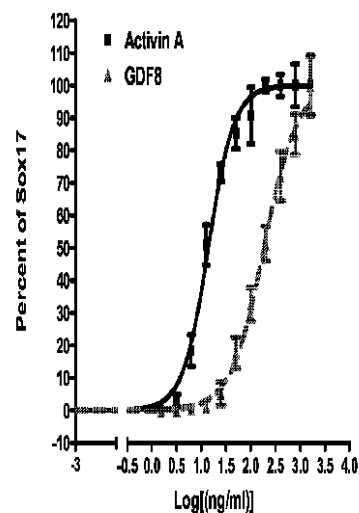
最終頁に続く

(54) 【発明の名称】 多能性幹細胞の分化

(57) 【要約】

本発明は、多能性幹細胞を分化させる方法を目的とする。具体的には本発明は、多能性幹細胞を胚体内胚葉系に特徴的なマーカーを発現している細胞へと分化させるのに十分な量の G D F - 8 を含有する培地中で、多能性幹細胞を培養することを含む、多能性幹細胞を胚体内胚葉細胞に特徴的なマーカーを発現している細胞へと分化させるための方法及び組成物を目的とする。

Figure 2



【特許請求の範囲】**【請求項 1】**

多能性幹細胞を胚体内胚葉系に特徴的なマーカーを発現している細胞へと分化させるのに十分な時間にわたって、アクチビン A 不含であり、かつ EGF、FGF4、PDGF-A、PDGF-B、PDGF-C、PDGF-D、VEGF、GDF-8、ムシモール、PD98059、LY294002、U0124、U0126 及び酪酸ナトリウムからなる群から選択される化合物を含有している培地で、前記多能性幹細胞を処理することを含む、多能性幹細胞を胚体内胚葉系に特徴的なマーカーを発現している細胞へと分化させるための方法。

【請求項 2】

前記アクチビン A 不含培地がまた、アニリン - ピリジノトリアジン及び環式アニリン - ピリジノトリアジンからなる群から選択される少なくとも 1 つの他の化合物を含有する、請求項 1 に記載の方法。

【発明の詳細な説明】**【技術分野】****【0001】**

(関連出願の相互参照)

本発明は、出願公開番号第 61/076,900 号(2008 年 6 月 30 日出願)、出願公開番号第 61/076,908 号(2008 年 6 月 30 日出願)、並びに出願公開番号第 61/076,915 号(2008 年 6 月 30 日出願)に対する優先権を請求する。

【0002】

(発明の分野)

本発明は、多能性幹細胞を分化させる方法を目的とする。具体的には本発明は、多能性幹細胞を胚体内胚葉系(definitive endoderm lineage)に特徴的なマーカーを発現している細胞へと分化させるのに十分な量の GDF-8 を含む培地中で、多能性幹細胞を培養することを含む、多能性幹細胞を胚体内胚葉に特徴的なマーカーを発現している細胞へと分化させるための方法及び組成物を目的とする。

【背景技術】**【0003】**

1 型糖尿病の細胞置換療法における進歩及び移植可能なランゲルハンス島の不足のため、生着に適したインスリン産生細胞すなわち細胞の供給源の開発に注目が集まっている。1 つの手法は、例えば、胚性幹細胞のような多能性幹細胞から機能性の細胞を生成させることである。

【0004】

脊椎動物の胚発生において、多能性細胞は、原腸形成として公知のプロセスにて、3 つの胚葉(外胚葉、中胚葉、及び内胚葉)を含む細胞のグループを生じる。例えば、甲状腺、胸腺、膵臓、腸、及び肝臓等の組織は、内胚葉から中間ステージを経て発達する。このプロセスにおける中間ステージは、胚体内胚葉の形成である。胚体内胚葉細胞は、例えば HNF-3、GATA4、MIXL1、CXCR4 及び SOX17 などの多くのマーカーを発現する。

【0005】

膵臓の形成は、胚体内胚葉の膵臓内胚葉への分化により起こる。膵臓内胚葉の細胞は膵臓 - 十二指腸ホメオボックス遺伝子、PDX1 を発現する。PDX1 が存在しない場合、膵臓は、腹側芽及び背側芽の形成を越えて発達しない。したがって、PDX1 の発現は、膵臓器官形成において重要な工程となっている。成熟した膵臓は、他の細胞型の中でも、外分泌組織及び内分泌組織を含有する。外分泌組織及び内分泌組織は、膵臓内胚葉の分化によって生じる。

【0006】

島細胞の特徴を保持する細胞がマウスの胚細胞から誘導されたことが報告されている。例えば、Lumelsky ら(Science 292:1389、2001 年)は、マ

10

20

30

40

50

ウスの胚性幹細胞の、膵島と同様のインスリン分泌構造への分化を報告している。Sorriaら(Diabetes 49:157、2000年)は、ストレプトゾトシン糖尿病のマウスにおいて、マウスの胚性幹細胞から誘導されたインスリン分泌細胞が糖血症を正常化することを報告している。

【0007】

一例において、ホリ(Hori)ら(PNAS 99:16105、2002年)は、ホスホイノシチド3-キナーゼの阻害剤(LY294002)でマウス胚性幹細胞を処理することにより、細胞に類似した細胞が生じたことを開示している。

【0008】

他の例では、Blyszczukら(PNAS 100:998、2003年)が、Pax4を構成的に発現しているマウス胚性幹細胞からのインスリン産生細胞の生成を報告している。

【0009】

Micallleらは、レチノイン酸が、胚性幹細胞のPdx1陽性膵臓内胚葉の形成に対する関与を制御できることを報告している。レチノイン酸は、胚における原腸形成の終了時に対応する期間中の、胚性幹細胞分化の4日目に培養液に添加されると、Pdx1発現の誘発に最も効果的である(Diabetes 54:301、2005年)。

【0010】

Miyazakiらは、Pdx1を過剰発現しているマウス胚性幹細胞株を報告している。Miyazakiらの結果は、外因性のPdx1発現が、得られた分化細胞内でインスリン、ソマトスタチン、グルコキナーゼ、ニューロゲニン3、p48、Pax6、及びHNF6遺伝子の発現を明らかに増加させたことを示している(Diabetes 53:1030、2004年)。

【0011】

Skoudyらは、マウス胚性幹細胞内で、アクチビンA(TGFスーパーファミリーのメンバー)が、膵臓外分泌遺伝子(p48及びアミラーゼ)、並びに内分泌遺伝子(Pdx1、インスリン及びグルカゴン)の発現を上方制御することを報告している。

【0012】

最大の効果は、1nMアクチビンAを使用しときに観察された。Skoudyらはまた、インスリン及びPdx1 mRNAの発現レベルはレチノイン酸により影響されなかったが、3nM FGF7での処理によりPdx1の転写産物のレベルが増大したことも観察している(Biochem. J. 379:749、2004年)。

【0013】

Shirakiらは、胚性幹細胞のPdx1陽性細胞への分化を特異的に増大させる増殖因子の効果を研究した。Shirakiらは、TGF2が、Pdx1陽性細胞のより高い割合を再現性よく生み出すことを観察した(Genes Cells. 2005年6月、10(6):503~16)。

【0014】

Gordonらは、血清の不在下、及びアクチビンとWntシグナル伝達阻害剤の存在下での、マウス胚性幹細胞からの短尾奇形[陽性]/HNF-3[陽性]内胚葉細胞の誘発を示した(米国特許第2006/0003446A 1号)。

【0015】

Gordonら(PNAS、Vol 103、16806ページ、2006年)は、「Wnt及びTGF- β /nodal/アクチビンシグナル伝達は、前側の原始線条の生成のために同時に必要である」と述べている。

【0016】

しかしながら、胚性幹細胞発達のマウスモデルは、例えば、ヒト等のより高等な哺乳動物における発達プログラムを正確には模倣しない恐れがある。

【0017】

Thomsonらは、ヒト胚盤胞から胚性幹細胞を単離した(Science 282

10

20

30

40

50

：114、1998年）。同時に、Gearhart及び共同研究者は、胎児性腺組織から、ヒト胚性生殖（hEG）細胞株を誘導した（Shambloottら、Proc. Natl. Acad. Sci. USA 95：13726、1998年）。白血病抑制因子（LIF）と共に培養するのみでも分化を阻止し得るマウス胚性幹細胞とは異なり、ヒト胚性幹細胞は、非常に特殊な条件下で維持する必要がある（米国特許第6,200,806号、国際公開第99/20741号；同第01/51616号）。

【0018】

D'Amourらは、高濃度のアクチビン及び低濃度の血清の存在下でのヒト胚性幹細胞由来の胚体内胚葉の濃縮培地の生成を記載している（D'Amour K Aら、2005年）。これらの細胞を、マウスの腎臓被膜下に移植することにより、一部の内胚葉性器官の特徴を有する、より成熟した細胞への分化が得られた。ヒト胚性幹細胞由来の胚体内胚葉細胞は、FGF-10の添加後、PDX1陽性細胞に更に分化することができる（米国特許出願公開第2005/0266554A1号）。

10

【0019】

D'Amourら（Nature Biotechnology - 24、1392～1401（2006年））は、「我々はヒト胚性幹（hES）細胞を、膵臓ホルモンインスリン、グルカゴン、ソマトスタチン、膵臓ポリペプチド及びグレリンを合成できる内分泌細胞へと変換する分化プロセスを開発した。このプロセスは、胚体内胚葉、腸管内胚葉、膵臓内胚葉及び内分泌前駆細胞に似たステージを経て、内分泌ホルモンを発現する細胞に細胞を誘導することによりインビボで膵臓の器官形成を模倣するものである。」と述べている。

20

【0020】

別の例において、Fiskらは、ヒト胚性幹細胞から膵島細胞を産生するシステムを報告している（米国特許出願公開第2006/0040387A1号）。この場合、分化経路は3つのステージに分割された。最初に、n-ブチレートとアクチビンAとの組み合わせを使用して、ヒト胚性幹細胞を内胚葉に分化させた。次に細胞をノギンなどのTGF-アンタゴニストとEGF又はベータセルリンの組み合わせと培養してPDX1陽性細胞を生成する。最終分化は、ニコチンアミドにより誘発された。

【0021】

1つの例において、Benvenistryらは、「我々は、PDX1の過剰発現が、膵臓に多く見られる遺伝子の発現を増加させたことを結論付けた。すなわちインスリン発現の誘導は、インビボでのみ存在する更なるシグナルを必要とする可能性がある。」と述べている（Benvenistry et al, Stem Cells 2006；24：1923～1930）。

30

【0022】

アクチビンAは、細胞増殖及び分化の制御、並びに神経生存の促進を含む、広範な生物活性を呈するTGF-ファミリーのメンバーである。アクチビンAの単離及び精製は、多くの場合複雑であり、しばしば乏しい収率をもたらし得る。例えば、Pangas, S. A. 及びWoodruff, T. Kは、「インヒビン及びアクチビンは、下垂体FSH分泌の制御を含む多様な生理的役割を有するタンパク質ホルモンである。トランスフォーミング増殖因子-遺伝子ファミリーの他のメンバーと同様、それらはより大きな前駆体分子からプロセッシングを受け、また機能的二量体へとアセンブリさせられる。天然源からのインヒビン及びアクチビンの単離では、限られた量の生理活性タンパク質しか生成されない。」と記載している（J. Endocrinol. 172（2002）199～210）。

40

【0023】

他の例では、Arai, K. Y.らは、「アクチビンはトランスフォーミング増殖因子-スーパーファミリーに属する多機能性増殖因子である。天然源からのアクチビンの単離は多工程を必要とし、限られた量しか生成されない。近年の研究で用いられている組み換え体調製法でさえも、アクチビン組み換え体の精製には未だに多工程を必要とする。」

50

と記載している (Protein Expression and Purification 49 (2006) 78~82)。

【発明の概要】

【発明が解決しようとする課題】

【0024】

したがって、多能性幹細胞の分化を促進するためのアクチビンAの代替物に対する有意な必要性が未だに存在している。

【課題を解決するための手段】

【0025】

一実施形態では、本発明は、多能性幹細胞を胚体内胚葉系に特徴的なマーカーを発現している細胞へと分化させるのに十分な量のGDF-8を含む培地中で、多能性幹細胞を培養することを含む、多能性幹細胞を胚体内胚葉系に特徴的なマーカーを発現している細胞へと分化させる方法を提供する。

【0026】

一実施形態では、十分な量のGDF-8を含む培地はまた、少なくとも1つの他の化合物を含有する。一実施形態では、少なくとも1つの他の化合物は、アニリン-ピリジノトリアジン(aniline-pyridinotriazine)である。別の実施形態では、少なくとも1つの他の化合物は環式アニリン-ピリジノトリアジンである。

【図面の簡単な説明】

【0027】

【図1】胚体内胚葉系に特徴的なマーカーを発現している細胞へのH1ヒト胚性幹細胞の分化を示す。分化は、IN Cell Analyzer 1000(GE Healthcare)を用いて細胞数(パネルA)とSOX17強度(パネルB)を計測することで判定した。ヒト胚性幹細胞は、20ng/mLのWnt3aに加え表示された濃度でアクチビンAを含有している培地(黒いバー)、又はWnt3aは含まないが表示された濃度でアクチビンAを含む培地(白いバー)で、全部で4日間にわたって処理した。

【図2】ヒト胚性幹細胞株H1の細胞を、胚体内胚葉系に特徴的なマーカーを発現している細胞へと分化させるために使用されたアクチビンA及びGDF8の用量反応相関を示す。アッセイの初日に、記載の濃度のアクチビンA又はGDF8を20ng/mLのWnt3aと組み合わせたもので、全部で3日間にわたって細胞を処理した。分化は、蛍光抗体プローブと、GE Healthcare IN Cell Analyzerでのハイコンテンツな解析とを用いて、SOX17強度を測定することで判定した。

【図3】実施例12に記載の方法に従う分化の第1工程後の細胞でのCXCR4の発現を示す。初日に20ng/mLのWnt3aと組み合わせるか、あるいは3日間全てにわたって2.5μMの化合物34又は2.5μMの化合物56と組み合わせるかして、100ng/mLのアクチビンA又は200ng/mLのGDF-8で全部で3日間にわたってH1細胞を処理した。蛍光抗体プローブとフローサイトメトリーとを用いてCXCR4発現を測定し、記載の陽性細胞の百分率を算出した。

【図4】実施例12に記載の方法に従い胚体内胚葉へと3日間にわたって分化させた後の細胞でのSOX17発現を示す。初日に20ng/mLのWnt3aと組み合わせるか、あるいは3日間全てにわたって2.5μMの化合物34又は2.5μMの化合物56と組み合わせるかして、100ng/mLのアクチビンA又は200ng/mLのGDF-8で全部で3日間にわたってH1細胞を処理した。分化は、蛍光抗体プローブと、GE Healthcare IN Cell Analyzerでのハイコンテンツな解析とを用いて、SOX17強度(黒色バー)と得られた細胞数(白色バー)を測定することで判定した。

【図5】実施例12に記載の方法に従う分化の第3工程後の細胞での、PDx1タンパク質及びCDx2タンパク質の発現を示す。初日に20ng/mLのWnt3aと組み合わせるか、あるいは3日間全てにわたって2.5μMの化合物34又は2.5μMの化合物56と組み合わせるかして、100ng/mLのアクチビンA又は200ng/mLのG

10

20

30

40

50

D F - 8 で全部で 3 日間にわたって H 1 細胞を処理し、続いて分化の第 2 及び第 3 工程を介して分化させた。蛍光抗体プローブ及びハイコンテンツな解析で測定されたタンパク質発現及び細胞数を各処理群について記載する。比較目的のため、値をアクチビン A / W n t 3 a での処理に対して正規化する。

【図 6】実施例 1 2 に記載の方法に従う、分化の第 4 工程後の細胞における、P D X 1 タンパク質の発現（白色バー）及び細胞数（黒色バー）を示す。初日に 2 0 n g / m L の W n t 3 a と組み合わせるか、あるいは 3 日間全てにわたって 2 . 5 μ M の化合物 3 4 又は 2 . 5 μ M の化合物 5 6 と組み合わせるかして、1 0 0 n g / m L のアクチビン A 又は 2 0 0 n g / m L の G D F - 8 で全部で 3 日間にわたって H 1 細胞を処理し、続いて分化の第 2、第 3 及び第 4 工程を介して分化させた。蛍光抗体プローブ及びハイコンテンツな解析で測定されたタンパク質発現及び細胞数を各処理群について記載する。比較目的のため、値をアクチビン A / W n t 3 a での処理に対して正規化する。

10

【図 7】実施例 1 2 に記載の方法に従って分化させた細胞における、インスリン及びグルカゴンのタンパク質発現、並びに細胞数を示す。初日に 2 0 n g / m L の W n t 3 a と組み合わせるか、あるいは 3 日間全てにわたって 2 . 5 μ M の化合物 3 4 又は 2 . 5 μ M の化合物 5 6 と組み合わせるかして、1 0 0 n g / m L のアクチビン A 又は 2 0 0 n g / m L の G D F - 8 で全部で 3 日間にわたって H 1 細胞を処理し、続いて分化の第 2、第 3、第 4 及び第 5 工程を介して分化させる。蛍光抗体プローブ及びハイコンテンツな解析で測定されたタンパク質発現及び細胞数を各処理群について示す。比較目的のため、値をアクチビン A / W n t 3 a での処理に対して正規化する。

20

【図 8】実施例 1 3 に記載の方法に従って胚体内胚葉へと分化させた後のヒト胚性幹細胞における S O X 1 7 タンパク質発現及び細胞数を示す。初日に 2 0 n g / m L の W n t 3 a と組み合わせるか、あるいはアッセイの最初の 2 日間にわたって 2 . 5 μ M の化合物 3 4 又は 2 . 5 μ M の化合物 5 6 と組み合わせるかして、1 0 0 n g / m L のアクチビン A 又は 1 0 0 n g / m L の G D F - 増殖因子で全部で 4 日間にわたって H 1 細胞を処理した。蛍光抗体プローブ及びハイコンテンツな解析で測定された S O X 1 7 タンパク質発現（黒色バー）及び細胞数（白色バー）を各処理群について記載する。比較目的のため、値をアクチビン A / W n t 3 a での処理に対して正規化する。パネル 8 A は、いずれの増殖因子も含まない条件（N O N E）、あるいはアクチビン A / W n t 3 a 処理を備える条件（A A / W n t 3 a）又はそれぞれの試薬単独での条件、での分化のための一連の対照条件を示す。パネル 8 B は、単独での、又は W n t 3 a、化合物 3 4 若しくは化合物 5 6 との複数種の組み合わせでの G D F - 3 による分化を示す。パネル 8 C は、単独での、又は W n t 3 a、化合物 3 4 若しくは化合物 5 6 との複数種の組み合わせでの G D F - 5 による分化を示す。パネル 8 D は、単独での、又は W n t 3 a、化合物 3 4 若しくは化合物 5 6 との複数種の組み合わせでの G D F - 8 による分化を示す。パネル 8 E は、単独での、又は W n t 3 a、化合物 3 4 若しくは化合物 5 6 との複数種の組み合わせでの G D F - 1 0 による分化を示す。パネル 8 F は、単独での、又は W n t 3 a、化合物 3 4 若しくは化合物 5 6 との複数種の組み合わせでの G D F - 1 1 による分化を示す。パネル 8 G は、単独での又は W n t 3 a、化合物 3 4 若しくは化合物 5 6 との複数種の組み合わせでの G D F - 1 5 による分化を示す。

30

40

【図 9】実施例 1 4 に記載の方法に従って胚体内胚葉へと分化させた後のヒト胚性幹細胞における S O X 1 7 タンパク質発現を示す。全部で 3 日間にわたって、1 0 0 n g / m L のアクチビン A で、あるいはアッセイの初日に、記載の濃度で 2 0 n g / m L の W n t 3 a 又は 2 . 5 μ M の化合物 3 4 と組み合わせさせた様々な増殖因子で、H 1 細胞を処理した。蛍光抗体プローブ及びハイコンテンツな解析で測定された S O X 1 7 タンパク質発現（黒色バー）及び細胞数（白色バー）を各処理群について記載する。比較目的のため、値をアクチビン A / W n t 3 a での処理に対して正規化する。パネル 9 A は、W n t 3 a 単独での、あるいはいずれの増殖因子も含まない条件（N o n e）又はアクチビン A / W n t 3 a 処理を備える条件（A A / W n t 3 a）での分化についての、一連の対照条件を示す。パネル 9 B は、2 0 n g / m L の W n t 3 a と組み合わせでの、記載の濃度での G D F -

50

8 (製造供給元 Pepr oT e c h) による分化を示す。パネル 9 C は、20 ng / mL の W n t 3 a と組み合わせたの、記載の濃度での G D F - 8 (製造供給元 S h e n e n d o a h) による分化を示す。パネル 9 D は、W n t 3 a 又は化合物 3 4 との複数種の組み合わせでの、記載の濃度での T G F 1 による分化を示す。パネル 9 E は、W n t 3 a 又は化合物 3 4 との複数種の組み合わせでの、記載の濃度での B M P 2 による分化を示す。パネル 9 F は、W n t 3 a 又は化合物 3 4 との複数種の組み合わせでの、記載の濃度での B M P 3 による分化を示す。パネル 9 G は、W n t 3 a 又は化合物 3 4 との複数種の組み合わせでの、記載の濃度での B M P 4 による分化を示す。

【図 1 0】実施例 1 5 に記載の方法に従って胚体内胚葉へと分化させた後のヒト胚性幹細胞における S O X 1 7 タンパク質発現を示す。100 ng / mL のアクチビン A 又は 100 ng / mL の G D F - 8 を 20 ng / mL の W n t 3 a と組み合わせて、全部で 3 日間にわたって様々に設定された曝露時間で H 1 細胞を処理した。蛍光抗体プローブ及びハイコンテンツな解析で測定される S O X 1 7 タンパク質発現は、増殖因子が添加されない (未処理) か、W n t 3 a 単独、アクチビン A 若しくは G D F - 8 単独、又はアクチビン A / W n t 3 a 処理若しくは G D F - 8 / W n t 3 a 処理での分化に対する対照条件を試験する各処理群についての総強度値として示され、W n t 3 a は、記載のようにアッセイの初日のみに添加した、又はアッセイの全 3 日間にわたって添加した。

【図 1 1】実施例 1 5 に記載の方法に従って胚体内胚葉へと分化させた後のヒト胚性幹細胞における S O X 1 7 タンパク質発現を示す。100 ng / mL のアクチビン A を、試験化合物 (化合物 1 8 1 (パネル A)、化合物 1 8 0 (パネル B)、化合物 1 9 (パネル C)、化合物 2 0 2 (パネル D)、化合物 4 0 (パネル E)、化合物 3 4 (パネル F)、又は G S K 3 インヒビター B I O (パネル G)) と記載の濃度で組み合わせて、3 日間全てにわたって、様々に設定された曝露時間で H 1 細胞を処理し、ここで試験化合物はアッセイの初日にのみ添加した。蛍光抗体プローブ及びハイコンテンツな解析で測定された S O X 1 7 のタンパク質発現を、総強度値で記載する。

【図 1 2】実施例 1 5 に記載の方法に従って胚体内胚葉へと分化させた後のヒト胚性幹細胞における S O X 1 7 タンパク質発現を示す。100 ng / mL のアクチビン A を、試験化合物 (化合物 1 8 1 (パネル A)、化合物 1 8 0 (パネル B)、化合物 1 9 (パネル C)、化合物 2 0 2 (パネル D)、化合物 4 0 (パネル E)、化合物 3 4 (パネル F)、又は G S K 3 インヒビター B I O (パネル G)) と記載の濃度で組み合わせて、全部で 3 日間にわたって、様々に設定された曝露時間で H 1 細胞を処理し、ここで試験化合物はアッセイの 3 日間全てにわたって添加した。蛍光抗体プローブ及びハイコンテンツな解析で測定された S O X 1 7 のタンパク質発現を、総強度値で記載する。

【図 1 3】実施例 1 5 に記載の方法に従って胚体内胚葉へと分化させた後のヒト胚性幹細胞における S O X 1 7 タンパク質発現を示す。100 ng / mL の G D F - 8 を、試験化合物 (化合物 1 8 1 (パネル A)、化合物 1 8 0 (パネル B)、化合物 1 9 (パネル C)、化合物 2 0 2 (パネル D)、化合物 4 0 (パネル E)、化合物 3 4 (パネル F)、又は G S K 3 インヒビター B I O (パネル G)) と記載の濃度で組み合わせて、3 日間全てにわたって、様々に設定された曝露時間で H 1 細胞を処理し、ここで試験化合物はアッセイの初日にのみ添加した。蛍光抗体プローブ及びハイコンテンツな解析で測定された S O X 1 7 のタンパク質発現を、総強度値で記載する。

【図 1 4】実施例 1 5 に記載の方法に従って胚体内胚葉へと分化させた後のヒト胚性幹細胞における S O X 1 7 タンパク質発現を示す。100 ng / mL の G D F - 8 を、試験化合物 (化合物 1 8 1 (パネル A)、化合物 1 8 0 (パネル B)、化合物 1 9 (パネル C)、化合物 2 0 2 (パネル D)、化合物 4 0 (パネル E)、化合物 3 4 (パネル F)、又は G S K 3 インヒビター B I O (パネル G)) と記載の濃度で組み合わせて、全部で 3 日間にわたって、様々に設定された曝露時間で H 1 細胞を処理し、ここで試験化合物はアッセイの 3 日間全てにわたって添加した。蛍光抗体プローブ及びハイコンテンツな解析で測定された S O X 1 7 のタンパク質発現を、総強度値で記載する。

【図 1 5】実施例 1 5 に記載の方法に従ってヒト胚性幹細胞を胚体内胚葉へと分化させた

10

20

30

40

50

後に得られた細胞数を示す。100 ng/mLのアクチビンA又は100 ng/mLのGDF-8を20 ng/mLのWnt3aと組み合わせて、全部で3日間にわたって様々な設定された曝露時間でH1細胞を処理した。蛍光核プローブ及びハイコンテンツな解析で測定される細胞数は、増殖因子が添加されない(未処理)か、Wnt3a単独、アクチビンA若しくはGDF-8単独、又はアクチビンA/Wnt3a処理若しくはGDF-8/Wnt3a処理での分化に対する対照条件を試験する各処理群について示され、Wnt3aは、記載のようにアッセイの初日のみに添加した、又はアッセイの全3日間にわたって添加した。

【図16】実施例15に記載の方法に従ってヒト胚性幹細胞を胚体内胚葉へと分化させた後に得られた細胞数を示す。100 ng/mLのアクチビンAを、試験化合物(化合物181(パネルA)、化合物180(パネルB)、化合物19(パネルC)、化合物202(パネルD)、化合物40(パネルE)、化合物34(パネルF)、又はGSK3インヒビターBIO(パネルG))と記載の濃度で組み合わせて、3日間全てにわたって、様々な設定された曝露時間でH1細胞を処理し、ここで試験化合物はアッセイの初日のみに添加した。蛍光核プローブ及びハイコンテンツな解析で測定された、得られた細胞数を示す。

10

【図17】実施例15に記載の方法に従ってヒト胚性幹細胞を胚体内胚葉へと分化させた後に得られた細胞数を示す。100 ng/mLのアクチビンAを、試験化合物(化合物181(パネルA)、化合物180(パネルB)、化合物19(パネルC)、化合物202(パネルD)、化合物40(パネルE)、化合物34(パネルF)、又はGSK3インヒビターBIO(パネルG))と記載の濃度で組み合わせて、全部で3日間にわたって、様々な設定された曝露時間でH1細胞を処理し、ここで試験化合物はアッセイの3日間全てにわたって添加した。蛍光核プローブ及びハイコンテンツな解析で測定された、得られた細胞数を示す。

20

【図18】実施例15に記載の方法に従ってヒト胚性幹細胞を胚体内胚葉へと分化させた後に得られた細胞数を示す。100 ng/mLのGDF-8を、試験化合物(化合物181(パネルA)、化合物180(パネルB)、化合物19(パネルC)、化合物202(パネルD)、化合物40(パネルE)、化合物34(パネルF)、又はGSK3インヒビターBIO(パネルG))と記載の濃度で組み合わせて、3日間全てにわたって、様々な設定された曝露時間でH1細胞を処理し、ここで試験化合物はアッセイの初日のみに添加した。蛍光核プローブ及びハイコンテンツな解析で測定された、得られた細胞数を示す。

30

【図19】実施例15に記載の方法に従ってヒト胚性幹細胞を胚体内胚葉へと分化させた後に得られた細胞数を示す。100 ng/mLのGDF-8を、試験化合物(化合物181(パネルA)、化合物180(パネルB)、化合物19(パネルC)、化合物202(パネルD)、化合物40(パネルE)、化合物34(パネルF)、又はGSK3インヒビターBIO(パネルG))と記載の濃度で組み合わせて、全部で3日間にわたって、様々な設定された曝露時間でH1細胞を処理し、ここで試験化合物はアッセイの3日間全てにわたって添加した。蛍光核プローブ及びハイコンテンツな解析で測定された、得られた細胞数を示す。

【図20】実施例16に記載の方法に従う分化の複数工程を通しての細胞における、様々なタンパク質マーカーの発現を示す。初日に20 ng/mLのWnt3aと組み合わせるか、あるいは初日のみに添加した2.5 µMの様々な化合物(化合物19、化合物202、化合物40又はGSK3インヒビターBIO)と組み合わせるかして、100 ng/mLのアクチビンA又は100 ng/mLのGDF-8によりH1細胞を全部で3日間にわたって処理した。図20のパネルAは、分化の第1工程後の細胞の、胚体内胚葉マーカーCXCR4についてのFACS解析を示す。蛍光抗体プローブとフローサイトメトリーを用いてCXCR4発現を測定し、記載の陽性細胞の百分率を算出した。図20のパネルBは、記載の対応する処理を検査する、分化の第1工程から得られる正規化SOX17タンパク質発現についてのハイコンテンツな画像解析(黒色バー)及び回収細胞数(白色バー)を示す。図20のパネルCは、分化工程5を通して処理した培養物から回収された相

40

50

対的な細胞数についてのハイコンテンツな画像解析を示す。図20のパネルDは、分化工程5を通して処理した培養物からのグルカゴンタンパク質の発現についてのハイコンテンツな画像解析を示す。図20のパネルEは、分化工程5を通して処理した培養物からのインスリンタンパク質の発現についてのハイコンテンツな画像解析を示す。図20のパネルFは、第5分化工程を通して処理した培養物からの細胞中のグルカゴン対インスリン発現比を示す。比較目的のため、パネルB、C、D、E及びF中の発現値は、アクチビンA及びWnt3aによる工程1時の対照処理に対して正規化してある。

【図21】実施例17に記載の方法に従う分化の複数工程後の細胞における、様々なタンパク質マーカー及びRT-PCRマーカーの発現を示す。初日に20ng/mLのWnt3aと組み合わせるか、あるいは初日のみに添加した様々な化合物（化合物181、化合物180、化合物19、化合物202、化合物40、化合物56又はGSK3インヒビターBIO）と以下の濃度で組み合わせるかして、100ng/mLのアクチビンA又は100ng/mLのGDF-8によりH1細胞を全部で3日間にわたって処理した。胚体内胚葉マーカーのCXCR4についてのFACS解析を、分化の第1工程後の細胞で示す。ここで処理は、アクチビンA（パネルA）又はGDF-8（パネルB）を、Wnt3a又は様々な化合物と組み合わせた。蛍光抗体プローブとフローサイトメトリーとを用いてCXCR4発現を測定し、記載の陽性細胞の百分率を算出した。図21の後続のパネルで、以下のように分化の第1工程時にアクチビンA又はGDF-8を用いる各処理についての、様々な分化マーカーの正規化RT-PCR値を示す：アクチビンA（パネルC）又はGDF-8（パネルD）と組み合わせる処理についての分化の第1工程の終了時のマーカー；アクチビンA（パネルE）又はGDF-8（パネルF）と組み合わせる処理についての分化の第3工程の終了時のマーカー；アクチビンA（パネルG）又はGDF-8（パネルH）と組み合わせる処理についての分化の第4工程の終了時のマーカー；アクチビンA（パネルI）又はGDF-8（パネルJ）と組み合わせる処理についての分化の第5工程の終了時のマーカー。分化の第5工程の終了時にハイコンテンツな解析を実施して、分化の第1工程時にアクチビンA（パネルK）又はGDF-8（パネルM）を用いる対応する処理に対して、回収された細胞数を計測した。同様にハイコンテンツな解析を使用して、分化の第1工程時のアクチビンA（パネルL）又はGDF-8（パネルN）での処理と一致する、分化の第5工程の終了時に回収された細胞集団のグルカゴン及びインスリン強度を測定した。

【図22】実施例18に記載の方法に従って処理した細胞における、様々なタンパク質マーカー及びRT-PCRマーカーの発現を示す。初日に20ng/mLのWnt3aと組み合わせるか、あるいは初日のみに2.5µMの化合物40又は2.5µMの化合物202と組み合わせるかして、100ng/mLのアクチビンA又は100ng/mLのGDF-8で全部で3日間にわたってH1細胞を処理した。図22のパネルAは、分化の第1工程後の細胞の、胚体内胚葉マーカーCXCR4についてのFACS解析を示す。蛍光抗体プローブとフローサイトメトリーとを用いてCXCR4発現を測定し、記載の陽性細胞の百分率を算出した。図22のパネルBは、分化の第4工程後に回収された細胞中の、様々な分化マーカーの正規化RT-PCR値を、分化の第1工程時にアクチビンA/Wnt3a又はGDF-8/化合物40若しくはGDF-8/化合物202を用いる処理それぞれと対応させて示す。

【図23】SCID-beigeマウスで検出されたC-ペプチドレベルを示し、マウスには、実施例18に記載の分化プロトコルの第4工程終了時の細胞を移植した。

【図24】のパネルAは、実施例19に記載の分化プロトコルの第1工程の終了時の細胞についてのFACSにより測定された、CXCR4の発現を示す。パネルBは、実施例19に記載の分化プロトコルの第4工程の終了時の細胞のRT-PCRにより測定された、様々な遺伝子の発現を示す。それぞれ同一の治療プロトコルにかけられた、実験用の2つの異なる複製を示す（複製-1及び複製-2）。パネルCは、SCID-beigeマウスで検出されたC-ペプチドレベルを示し、マウスには、インビトロ分化の第1工程時にGDF-8とWnt3aで処理する分化プロトコルの第4工程終了時の細胞を移植した。

パネルDは、SCID-beigeマウスで検出されたC-ペプチドレベルを示し、マウスには、インビトロ分化の第1工程時にGDF-8及び化合物28で処理する分化プロトコルの第4工程の終了時の細胞を移植した。

【図25】実施例22に記載の本発明の方法に従って処理したマイクロキャリアビーズ上で増殖させた細胞の、細胞数(パネルA)及びCXCR4の発現(パネルB)を示す。細胞は、処理なしで(分化させずに)、あるいは100 ng/mLのアクチビンAと20 ng/mLのWnt3aとを組み合わせた処理(AA/Wnt3a)で、又は以下に記載のようにGDF-8と組み合わせた様々な処理で、CytoDEX3ビーズ上で増殖させた: 50 ng/mLのGDF-8と2.5 µMの化合物34(Cmp 34+8); 又は50 ng/mLのGDF-8と2.5 µMの化合物34と50 ng/mLのPDGF(Cmp 34+8+D); 又は50 ng/mLのGDF-8と2.5 µMの化合物34と50 ng/mLのPDGFと50 ng/mLのVEGF(Cmp 34+8+D+V); 又は50 ng/mLのGDF-8と2.5 µMの化合物34と50 ng/mLのPDGFと50 ng/mLのVEGFと20 ng/mLのムシモール(Cmp 34+8+D+V+M)。

10

【図26】実施例23に記載の本発明の化合物による処理後の細胞増殖を示す。パネルB~Iは、GDF-8と組み合わせて化合物を使用する処理についてのアッセイの結果、及び、分化アッセイの開始後1日、2日及び3日時点でのMTS OD読み取り測定値を示す。

【図27】本発明の方法に従って処理したマイクロキャリアビーズ上で増殖した細胞の、様々なタンパク質及び遺伝子の発現を示す。パネルAは、実施例24に記載の分化プロトコルの第1工程の終了時の細胞についてのFACSにより測定された、CXCR4、CD99及びCD9の発現の陽性パーセントを示す。パネルBは、分化プロトコルの第3工程を通して分化したことが示された処理から回収された細胞を示す。パネルCは、工程に示されるように処理し、プロトコルの第3工程を通して分化した細胞で発現した、様々な遺伝子マーカーのddCT値を示す。

20

【発明を実施するための形態】

【0028】

開示を分かりやすくするため、限定を目的とすることなく、本発明の「発明を実施するための形態」を、本発明の特定の特徴、実施形態、又は応用を説明又は図示した以下の小項目に分ける。

30

【0029】

定義

幹細胞は、単一の細胞レベルにて自己複製し、分化して後代細胞を生成する、それら両方の能力で定義される未分化細胞であり、後代細胞には、自己複製前駆細胞、非再生前駆細胞、及び最終分化細胞が含まれる。幹細胞はまた、インビトロで複数の胚葉(内胚葉、中胚葉及び外胚葉)から様々な細胞系の機能的細胞に分化する能力によって、また移植後に複数の胚葉の組織を生じ、胚盤胞への注入後、全部ではないとしても殆どの組織を提供する能力によっても、特徴付けられる。

40

【0030】

幹細胞は、発生上の能力によって、(1)全ての胚性又は胚体外細胞のタイプを生ずる能力を有することを意味する、分化全能性、(2)全ての胚性細胞のタイプを生ずる能力を有することを意味する、分化万能性、(3)細胞系のサブセットを生ずる能力を有するが、それらが全て特定の組織、臓器、又は生理学的システムのものであるような、分化多能性(例えば、造血幹細胞(HSC)は、HSC(自己再生性)、血球限定的寡能性前駆細胞、及び、血液の通常の成分である全ての細胞種及び要素(例えば、血小板)を生じうる)、(4)多能性幹細胞よりも限定された細胞系のサブセットを生ずる能力を有することを意味する、分化寡能性、及び(5)単一の細胞系(例えば、精原幹細胞)を生ずる能力を有することを意味する、分化単一性に分類される。

50

【0031】

分化は、非特殊化の（「中立の」）又は比較的特殊化されていない細胞が、例えば、神経細胞又は筋細胞等の特殊化した細胞の特徴を獲得するプロセスである。分化した、又は分化を誘発された細胞は、細胞系内でより特殊化した（「傾倒した」）状況を呈している細胞である。分化プロセスに適用した際の用語「傾倒した」は、通常的环境下で特定の細胞型又は細胞型の小集合に分化し続ける分化経路の地点に進行しており、通常的环境下で異なる細胞型に分化し、又はより分化されていない細胞型に戻ることができない細胞を指す。脱分化は、細胞が細胞系内で比較的特殊化されて（又は傾倒して）いない状況に戻るプロセスを指す。本明細書で使用する時、細胞系は、細胞の遺伝、即ちその細胞がどの細胞から来たか、またどの細胞を生じ得るかを規定する。細胞系は、細胞を発達及び分化の遺伝的スキーム内に配置する。系特異的なマーカーは、対象とする系の細胞の表現型に特異的に関連した特徴を指し、中立細胞の対象とする系への分化を評価する際に使用することができる。

10

【0032】

「細胞系」は、転写因子 PDX-1、及び以下の転写因子、すなわち、NGN3、NKX2.2、NKX6.1、NEUROD、ISL1、HNF-3、MAFA、PAX4、又はPAX6の少なくとも1つについて遺伝子の発現が陽性である細胞を指す。細胞系に特徴的なマーカーを発現している細胞は、細胞を含む。

【0033】

本明細書で使用する時、「胚体内胚葉系に特徴的なマーカーを発現している細胞」、又は「ステージ1細胞」、又は「ステージ1」とは、以下のマーカー、すなわち、SOX17、GATA4、HNF-3、GSC、CER1、Nodal、FGF8、Brachyury、Mix様ホメオボックスタンパク質、FGF4、CD48、eomesodermine (EOMES)、DKK4、FGF17、GATA6、CXCR4、C-Kit、CD99又はOTX2のうちの少なくとも1つを発現している細胞を指す。胚体内胚葉系に特徴的なマーカーを発現している細胞は、原始線条前駆体細胞、原始線条細胞、中内胚葉細胞及び胚体内胚葉細胞を含む。

20

【0034】

本明細書で使用する時、「脾臓内胚葉系に特徴的なマーカーを発現している細胞」とは、以下のマーカー、すなわち、PDX1、HNF-1、PTF1、HNF6、又はHB9のうちの少なくとも1つを発現している細胞を指す。脾臓内胚葉系に特徴的なマーカーを発現している細胞としては、脾臓内胚葉細胞、原腸管細胞、後部前腸細胞が挙げられる。

30

【0035】

本明細書で使用する時、「脾内分泌系に特徴的なマーカーを発現している細胞」、又は「ステージ5細胞」、又は「ステージ5」とは、以下のマーカー、すなわち、NGN3、NEUROD、ISL1、PDX1、NKX6.1、PAX4又はPTF-1のうちの少なくとも1つを発現している細胞を指す。脾内分泌系に特徴的なマーカーを発現している細胞としては、脾内分泌細胞、脾臓ホルモン発現細胞及び脾臓ホルモン分泌細胞、並びに細胞系の細胞が挙げられる。

40

【0036】

本明細書で使用する時、「胚体内胚葉」は、原腸形成中、胚盤葉上層から生じ、胃腸管及びその誘導体を形成する細胞の特徴を保持する細胞を指す。胚体内胚葉細胞は、以下のマーカー、すなわち、HNF-3、GATA4、SOX-17、Cerberus、OTX2、グースコイド、C-Kit、CD99、及びMIXL1を発現する。

【0037】

本明細書で使用する時、「胚体外内胚葉」は、以下のマーカー、すなわち、SOX7、AFP、又はSPARCのうちの少なくとも1つを発現する細胞の集団を指す。

【0038】

本明細書で使用する時、「マーカー」とは、対象とする細胞で差別的に発現される核酸又はポリペプチド分子である。本文脈において、差別的な発現は、陽性マーカーのレベ

50

ルの増大及び陰性マーカーのレベルの減少を意味する。検出可能なレベルのマーカー核酸又はポリペプチドは、他の細胞と比較して対象とする細胞内で十分高く又は低く、そのため当該技術分野において既知の多様な方法のいずれかを使用して、対象とする細胞を他の細胞から識別及び区別することができる。

【0039】

本明細書で使用する時、「中内胚葉細胞」は、以下のマーカー、すなわち、CD48、eomesodermin (EOMES)、SOX17、DKK4、HNF-3、GSC、FGF17、又はGATA-6のうちの少なくとも1つを発現している細胞を指す。

【0040】

本明細書で使用する時、「膵内分泌細胞」又は「膵臓ホルモン発現細胞」とは、以下のホルモン、すなわち、インスリン、グルカゴン、ソマトスタチン、及び膵臓ポリペプチドのうちの少なくとも1つを発現することが可能な細胞を指す。

【0041】

本明細書で使用する時、「膵臓内胚葉細胞」、又は「ステージ4細胞」、又は「ステージ4」とは、以下のマーカー、すなわち、NGN3、NEUROD、ISL1、PDX1、PAX4又はNKX2.2のうちの少なくとも1つを発現することが可能な細胞を指す。

【0042】

本明細書で使用する時、「膵臓ホルモン産生細胞」とは、以下のホルモン、すなわち、インスリン、グルカゴン、ソマトスタチン、及び膵臓ポリペプチドのうちの少なくとも1つを産生することが可能な細胞を指す。

【0043】

本明細書で使用する時、「膵臓ホルモン分泌細胞」とは、以下のホルモン、すなわち、インスリン、グルカゴン、ソマトスタチン、及び膵臓ポリペプチドのうちの少なくとも1つを分泌することが可能な細胞を指す。

【0044】

本明細書で使用する時、「前腸後部細胞」、又は「ステージ3細胞」、又は「ステージ3」とは、以下のマーカー、すなわち、PDX1、HNF1、PTF-1、HNF6、HB-9、又はPROX-1のうちの少なくとも1つを分泌することが可能な細胞を指す。

【0045】

本明細書で使用する時、「前原始線条細胞」とは、以下のマーカー、すなわち、ノーダル (Nodal)、又はFGF8のうちの少なくとも1つを発現する細胞を指す。

【0046】

本明細書で使用する時、「原始腸管細胞」、又は「ステージ2細胞」、又は「ステージ2」とは、以下のマーカー、すなわち、HNF-1、HNF-4のうちの少なくとも1つを分泌することが可能な細胞を指す。

【0047】

本明細書で使用する時、「原始線条細胞」とは、以下のマーカー、すなわち、Brahmury、Mix様ホメオボックスタンパク質、又はFGF4のうちの少なくとも1つを発現する細胞を指す。

【0048】

多能性幹細胞の単離、増殖及び培養

多能性幹細胞の特徴付け

多能性幹細胞の多能性は、例えば細胞を重症複合型免疫不全症 (SCID) マウスに注入し、形成された奇形腫を4%パラホルムアルデヒドを使用して固定した後、それらを3つの胚葉からの細胞型の痕跡に関して組織学的に検査することにより確認することができる。代替的に、多能性は、胚様体を形成させ、この胚様体を3つの胚葉に関連したマーカーの存在に関して評価することにより決定することができる。

10

20

30

40

50

【0049】

増殖した多能性幹細胞株は、標準的なGバンド法を使用して核型を決定することができ、確立された対応する霊長類種の核型と比較される。「正常な核型」を有する細胞を獲得することが望ましく、これは細胞が正倍数体であることを意味し、全ヒト染色体が存在し、かつ、著しく変更されてはいない。

【0050】

多能性幹細胞の源

使用が可能な多能性幹細胞の種類としては、妊娠期間中の任意の時期（必ずしもではないが、通常は妊娠約10～12週よりも前）に採取した前胚性組織（例えば胚盤胞など）、胚性組織又は胎児組織などの、妊娠後に形成される組織に由来する多能性細胞の樹立株が含まれる。非限定的な例は、例えばヒト胚性幹細胞株H1、H7及びH9（WiCell）などのヒト胚性幹細胞又はヒト胚生殖細胞の樹立株である。それらの細胞の最初の樹立又は安定化中に本開示の組成物を使用することも想定され、その場合、源となる細胞は、源となる組織から直接採取した一次多能性細胞であろう。フィーダー細胞の不在下で既に培養された多能性幹細胞集団から採取した細胞も好適である。例えば、BG01v（BresaGen, Athens, GA）などの変異ヒト胚性幹細胞株も好適である。

10

【0051】

一実施形態では、ヒト胚性幹細胞は、Thomsonら（米国特許第5,843,780号、Science 282:1145、1998年、Curr. Top. Dev. Biol. 38:133ff.、1998年、Proc. Natl. Acad. Sci. U.S.A. 92:7844、1995年）に記載されているように調製される。

20

【0052】

一実施形態では、多能性幹細胞はTakahashiら（Cell 131:1～12、2007）により記載されているように調製する。

【0053】

多能性幹細胞の培養

一実施形態では、多能性幹細胞は、一般にフィーダー細胞の層上で培養され、このフィーダー細胞は、多能性幹細胞を様々な方法で支持する。あるいは多能性幹細胞は、基本的にフィーダー細胞を含まないにもかかわらず多能性幹細胞の増殖を支持する培養系において、実質的に分化することなく培養される。フィーダー細胞不含培養における多能性幹細胞の分化を伴わない増殖は、あらかじめ他の細胞種を培養することにより条件づけした培地を使用して支持される。あるいはフィーダー細胞不含培養における多能性幹細胞の分化を伴わない増殖は、合成培地を使用して支持される。

30

【0054】

多能性幹細胞は、好適な培養基質上に播くことができる。一実施形態では、好適な培養基質は、例えば基底膜から誘導されたもの、又は接着分子受容体-リガンド結合の一部を形成し得るもの等の細胞外マトリックス成分である。一実施形態では、好適な培養基質は、MATRIGEL（登録商標）（Becton Dickinson）である。MATRIGEL（登録商標）は、Engelbreth-Holm-Swarm腫瘍細胞からの可溶性製剤であり、室温でゲル化して再構成基底膜を形成する。

40

【0055】

他の細胞外マトリックス成分及び成分混合物は代替物として好適である。増殖させる細胞型に応じて、これは、ラミニン、フィブロネクチン、プロテオグリカン、エンタクチン、ヘパラン硫酸、及び同様物を、単独で又は様々な組み合わせで含み得る。

【0056】

多能性幹細胞は、細胞の生存、増殖、及び所望の特徴の維持を促進する培地の存在下、基質上に好適な分布にて播かれてもよい。これら全特徴は、播種分布に細心の注意を払うことから利益を得、当業者は容易に決定することができる。

【0057】

好適な培地は以下の構成要素、例えば、ダルベッコ変法イーグル培地（DMEM）、G

50

i b c o # 1 1 9 6 5 - 0 9 2、ノックアウトダルベッコ変法イーグル培地 (K O D M E M)、G i b c o # 1 0 8 2 9 - 0 1 8、H a m ' s F 1 2 / 5 0 % D M E M 基本培地、2 0 0 m M の L - グルタミン、G i b c o # 1 5 0 3 9 - 0 2 7、非必須アミノ酸溶液、G i b c o 1 1 1 4 0 - 0 5 0、 β -メルカプトエタノール、S i g m a # M 7 5 2 2、ヒト組み換え塩基性線維芽細胞増殖因子 (b F G F)、G i b c o # 1 3 2 5 6 - 0 2 9 から作製されてもよい。

【 0 0 5 8 】

多能性幹細胞からの膵臓ホルモン産生細胞の形成

一実施形態では、本発明は、多能性幹細胞から膵臓ホルモン産生細胞を作製するための方法を提供し、かかる方法は、

- a . 多能性幹細胞を培養する工程と、
- b . 多能性幹細胞を、胚体内胚葉系に特徴的なマーカーを発現している細胞に分化させる工程と、
- c . 胚体内胚葉系に特徴的なマーカーを発現している細胞を、膵臓内胚葉系に特徴的なマーカーを発現している細胞に分化させる工程と、
- d . 膵臓内胚葉系に特徴的なマーカーを発現している細胞を、膵内分泌系に特徴的なマーカーを発現している細胞に分化させる工程と、を含む。

【 0 0 5 9 】

本発明の一態様では、膵内分泌細胞は、膵臓ホルモン産生細胞である。別の態様では、膵内分泌細胞は、細胞系に特徴的なマーカーを発現する細胞である。細胞系に特徴的なマーカーを発現している細胞は、P D X 1 と、以下の転写因子、すなわち、N G N 3、N K X 2 . 2、N K X 6 . 1、N E U R O D、I S L 1、H N F - 3、M A F A、P A X 4、又は P A X 6 のうちの少なくとも 1 つを発現する。本発明の一態様では、細胞系に特徴的なマーカーを発現している細胞は、細胞である。

【 0 0 6 0 】

本発明での使用に好適な多能性幹細胞としては、例えばヒト胚性幹細胞株 H 9 (N I H c o d e : W A 0 9)、ヒト胚性幹細胞株 H 1 (N I H c o d e : W A 0 1)、ヒト胚性幹細胞株 H 7 (N I H c o d e : W A 0 7)、及びヒト胚性幹細胞株 S A 0 0 2 (C e l l a r t i s , S w e d e n) が挙げられる。多能性細胞に特徴的な以下のマーカー、すなわち、A B C G 2、c r i p t o、C D 9、F O X D 3、コネキシン 4 3、コネキシン 4 5、O C T 4、S O X 2、N a n o g、h T E R T、U T F - 1、Z F P 4 2、S S E A - 3、S S E A - 4、T r a 1 - 6 0 又は T r a 1 - 8 1 のうちの少なくとも 1 つを発現する細胞も本発明での使用に適している。

【 0 0 6 1 】

多能性幹細胞は、フィーダー細胞層上で培養することもできる。別の方法としては、多能性幹細胞は細胞外マトリックス上で培養することもできる。細胞外マトリックスは、マウス肉腫細胞から抽出された可溶化基底膜製剤 (商品名 M A T R I G E L (商標) で B D B i o s c i e n c e s から販売されている) であってもよい。あるいは細胞外マトリックスは、g r o w t h f a c t o r - r e d u c e d M A T R I G E L (商標) であってもよい。あるいは細胞外マトリックスは、フィブロネクチンであってもよい。別の実施形態では、多能性幹細胞は、ヒト血清で被覆された組織培養基質上で培養され及び分化する。

【 0 0 6 2 】

細胞外マトリックスは、組織培養基質で被覆される前に希釈されてもよい。細胞外マトリックスの希釈と、組織培養基質の被覆に関する好適な方法の例は、K l e i n m a n , H . K . ら、B i o c h e m i s t r y 2 5 : 3 1 2 (1 9 8 6 年)、及び H a d l e y , M . A . ら、J . C e l l . B i o l . 1 0 1 : 1 5 1 1 (1 9 8 5 年) に見出すことができる。

【 0 0 6 3 】

一実施形態では、細胞外マトリックスは、M A T R I G E L (商標) である。一実施形

10

20

30

40

50

態では、組織培養基質は、1 : 10 希釈の M A T R I G E L (商 標) でコートする。別の実施形態では、組織培養基質は、1 : 15 希釈の M A T R I G E L (商 標) でコートする。別の実施形態では、組織培養基質は、1 : 30 希釈の M A T R I G E L (商 標) でコートする。別の実施形態では、組織培養基質は、1 : 60 希釈の M A T R I G E L (商 標) でコートする。

【0064】

一実施形態では、組織培養基質は、growth factor - reduced M A T R I G E L (商 標) である。一実施形態では、組織培養基質は、1 : 10 希釈の growth factor - reduced M A T R I G E L (商 標) でコートする。別の実施形態では、組織培養基質は、1 : 15 希釈の growth factor - reduced M A T R I G E L (商 標) でコートする。別の実施形態では、組織培養基質は、1 : 30 希釈の growth factor - reduced M A T R I G E L (商 標) でコートする。別の実施形態では、組織培養基質は、1 : 60 希釈の growth factor - reduced M A T R I G E L (商 標) でコートする。

10

【0065】

胚体内胚葉系に特徴的なマーカーは、S O X 17、G A T A 4、H N F - 3、G S C、C E R 1、N o d a l、F G F 8、短尾奇形、M i x - 様ホメオボックスタンパク質、F G F 4 C D 4 8、e o m e s o d e r m i n (E O M E S)、D K K 4、F G F 17、G A T A 6、C X C R 4、C - K i t、C D 9 9、及び O T X 2 からなる群より選択される。本発明での使用に好適なものは、胚体内胚葉系に特徴的なマーカーのうちの少なくとも1つを発現している細胞である。本発明の一態様において、胚体内胚葉系に特徴的なマーカーを発現している細胞は、原始線条前駆体細胞である。別の態様において、胚体内胚葉系に特徴的なマーカーを発現している細胞は、中内胚葉細胞である。別の態様において、胚体内胚葉系に特徴的なマーカーを発現している細胞は、胚体内胚葉細胞である。

20

【0066】

腭臓内胚葉系に特徴的なマーカーは、P D X 1、H N F - 1、P T F 1、H N F 6、H B 9 及び P R O X 1 からなる群から選択される。本発明での使用に好適なものは、腭臓内胚葉系の特徴を示す少なくとも1つのマーカーを発現している細胞である。本発明の一態様において、腭臓内胚葉系に特徴的なマーカーを発現している細胞は、腭臓内胚葉細胞である。

30

【0067】

膵内分泌系に特徴的なマーカーは、N G N 3、N E U R O D、I S L 1、P D X 1、N K X 6、1、P A X 4、及び P T F - 1 からなる群から選択される。一実施形態では、膵内分泌細胞は、以下のホルモンの少なくとも1つを発現することができる：インスリン、グルカゴン、ソマトスタチン、及び膵臓ポリペプチド。本発明で使用するのに好適なものは、膵内分泌系の特徴を示すマーカーを少なくとも1つ発現する細胞である。本発明の一態様において、膵内分泌系に特徴的なマーカーを発現している細胞は、膵内分泌細胞である。膵内分泌細胞は、膵臓ホルモン発現細胞であってもよい。代替的に、膵内分泌細胞は、膵臓ホルモン分泌細胞であってもよい。

40

【0068】

胚体内胚葉系に特徴的なマーカーを発現している細胞の形成

本発明の一態様では、胚体内胚葉系に特徴的なマーカーを発現している細胞へと多能性幹細胞を分化させるのに十分な量の G D F - 8 を含有する培地中で多能性幹細胞を培養することで、胚体内胚葉系に特徴的なマーカーを発現している細胞へと多能性幹細胞が分化し得る。

【0069】

約1日～約7日間にわたって十分な量の G D F - 8 を含有する培地で多能性幹細胞を培養してもよい。あるいは、約1日～約6日間にわたって十分な量の G D F - 8 を含有する培地で多能性幹細胞を培養してもよい。あるいは、約1日～約5日間にわたって十分な量の G D F - 8 を含有する培地で多能性幹細胞を培養してもよい。あるいは、約1日～約4

50

日間にわたって十分な量の G D F - 8 を含有する培地で多能性幹細胞を培養してもよい。あるいは、約 1 日～約 3 日間にわたって十分な量の G D F - 8 を含有する培地で多能性幹細胞を培養してもよい。あるいは、約 1 日～約 2 日間にわたって十分な量の G D F - 8 を含有する培地で多能性幹細胞を培養してもよい。あるいは、約 1 日間にわたって十分な量の G D F - 8 を含有する培地で多能性幹細胞を培養してもよい。

【 0 0 7 0 】

一実施形態では、G D F - 8 は約 5 n g / m L ～約 5 0 0 n g / m L の濃度で使用される。別の実施形態では、G D F - 8 は約 5 n g / m L ～約 5 0 n g / m L の濃度で使用される。別の実施形態では、G D F - 8 は約 5 n g / m L ～約 2 5 n g / m L の濃度で使用される。別の実施形態では、G D F - 8 は約 2 5 n g / m L の濃度で使用される。

10

【 0 0 7 1 】

一実施形態では、十分な量の G D F - 8 を含有する培地はまた、少なくとも 1 つの他の因子を含有する。一実施形態では、少なくとも 1 つの他の因子は、E G F、F G F 4、P D G F - A、P D G F - B、P D G F - C、P D G F - D、V E G F、ムシモール、P D 9 8 0 5 9、L Y 2 9 4 0 0 2、U 0 1 2 4、U 0 1 2 6、及び酪酸ナトリウムからなる群から選択される。

【 0 0 7 2 】

一実施形態では、E G F は約 5 n g / m L ～約 5 0 0 n g / m L の濃度で使用される。別の実施形態では、E G F は約 5 n g / m L ～約 5 0 n g / m L の濃度で使用される。別の実施形態では、E G F は約 5 0 n g / m L の濃度で使用される。

20

【 0 0 7 3 】

一実施形態では、F G F 4 は約 5 n g / m L ～約 5 0 0 n g / m L の濃度で使用される。別の実施形態では、F G F 4 は約 5 n g / m L ～約 5 0 n g / m L の濃度で使用される。別の実施形態では、F G F 4 は約 5 0 n g / m L の濃度で使用される。

【 0 0 7 4 】

一実施形態では、P D G F - A は約 5 n g / m L ～約 5 0 0 n g / m L の濃度で使用される。別の実施形態では、P D G F - A は約 5 n g / m L ～約 5 0 n g / m L の濃度で使用される。別の実施形態では、P D G F - A は約 5 0 n g / m L の濃度で使用される。

【 0 0 7 5 】

一実施形態では、P D G F - B は約 5 n g / m L ～約 5 0 0 n g / m L の濃度で使用される。別の実施形態では、P D G F - B は約 5 n g / m L ～約 5 0 n g / m L の濃度で使用される。別の実施形態では、P D G F - B は約 5 0 n g / m L の濃度で使用される。

30

【 0 0 7 6 】

一実施形態では、P D G F - C は約 5 n g / m L ～約 5 0 0 n g / m L の濃度で使用される。別の実施形態では、P D G F - C は約 5 n g / m L ～約 5 0 n g / m L の濃度で使用される。別の実施形態では、P D G F - C は約 5 0 n g / m L の濃度で使用される。

【 0 0 7 7 】

一実施形態では、P D G F - D は約 5 n g / m L ～約 5 0 0 n g / m L の濃度で使用される。別の実施形態では、P D G F - D は約 5 n g / m L ～約 5 0 n g / m L の濃度で使用される。別の実施形態では、P D G F - D は約 5 0 n g / m L の濃度で使用される。

40

【 0 0 7 8 】

一実施形態では、V E G F は約 5 n g / m L ～約 5 0 0 n g / m L の濃度で使用される。別の実施形態では、V E G F は約 5 n g / m L ～約 5 0 n g / m L の濃度で使用される。別の実施形態では、V E G F は約 5 0 n g / m L の濃度で使用される。

【 0 0 7 9 】

一実施形態では、ムシモールは約 1 μ M ～約 2 0 0 μ M の濃度で使用される。別の実施形態では、ムシモールは約 1 μ M ～約 2 0 μ M の濃度で使用される。別の実施形態では、ムシモールは約 2 0 μ M の濃度で使用される。

【 0 0 8 0 】

一実施形態では、P D 9 8 0 5 9 は約 0 . 1 μ M ～約 1 0 μ M の濃度で使用される。別

50

の実施形態では、PD98059は約0.1 μM～約1 μMの濃度で使用される。別の実施形態では、PD98059は約1 μMの濃度で使用される。

【0081】

一実施形態では、LY294002は約0.25 μM～約25 μMの濃度で使用される。別の実施形態では、LY294002は約0.25 μM～約2.5 μMの濃度で使用される。別の実施形態では、LY294002は約2.5 μMの濃度で使用される。

【0082】

一実施形態では、U0124は約0.1 μM～約10 μMの濃度で使用される。別の実施形態では、U0124は約0.1 μM～約1 μMの濃度で使用される。別の実施形態では、U0124は約1 μMの濃度で使用される。

10

【0083】

一実施形態では、U0126は約0.1 μM～約10 μMの濃度で使用される。別の実施形態では、U0126は約0.1 μM～約1 μMの濃度で使用される。別の実施形態では、U0126は約1 μMの濃度で使用される。

【0084】

一実施形態では、酪酸ナトリウムは約0.05 μM～約5 μMの濃度で使用される。一実施形態では、酪酸ナトリウムは約0.05 μM～約0.5 μMの濃度で使用される。一実施形態では、酪酸ナトリウムは約0.5 μMの濃度で使用される。

【0085】

別の実施形態では、少なくとも1つの他の因子は：アニリン-ピリジノトリアジン、環式アニリン-ピリジノトリアジン、N-〔〔1-(フェニルメチル)アゼパン-4-イル〕メチル〕-2-ピリジン-3-イルアセトアミド、4-〔〔4-(4-〔〔2-(ピリジン-2-イルアミノ)エチル〕アミノ〕-1,3,5-トリアジン-2-イル)ピリジン-2-イル〕オキシ〕ブタン-1-オール、3-(〔3-〔4-(〔2-[メチル(ピリジン-2-イル)アミノ]エチル〕アミノ)-1,3,5-トリアジン-2-イル〕ピリジン-2-イル〕アミノ)プロパン-1-オール、N-4-〔〔2-(3-フルオロフェニル)エチル〕-N-2-〔3-(4-メチルピペラジン-1-イル)プロピル〕ピリド〔2,3-d〕ピリミジン-2,4-ジアミン、1-メチル-N-〔〔4-ピリジン-3-イル-2-〔〔3-(トリフルオロメチル)フェニル〕アミノ〕-1,3-チアゾール-5-イル)メチル〕ピペリジン-4-カルボキサミド、1,1-ジメチルエチル〔〔2-〔4-(〔5-[3-(3-ヒドロキシプロピル)フェニル]-4H-1,2,4-トリアゾール-3-イル〕アミノ)フェニル〕エチル〕カルバメート、1,1-ジメチルエチル〔〔3-(〔5-[5-(3-ヒドロキシプロピル)-2-(メチルオキシ)フェニル]-1,3-オキサゾール-2-イル〕アミノ)フェニル〕メチル〕カルバメート、1-(〔5-[6-(〔4-〔〔4-メチルピペラジン-1-イル)スルホニル〕フェニル〕アミノ)ピラジン-2-イル〕チオフエン-2-イル)メチル)ピペリジン-4-オール、1-(〔4-〔6-(〔4-〔〔4-メチルピペラジン-1-イル)スルホニル〕フェニル〕アミノ)ピラジン-2-イル〕チオフエン-2-イル)メチル)ピペリジン-4-カルボキサミド、及び2-〔〔4-(1-メチルエチル)フェニル〕アミノ〕-N-(2-チオフエン-2-イルエチル)-7,8-ジヒドロピリド〔4,3-d〕ピリミジン-6(5H)-カルボキサミドからなる群から選択される。

20

30

40

【0086】

本発明の化合物

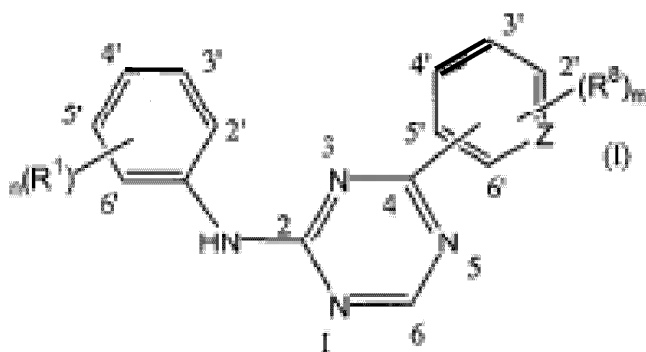
本発明は、胚体内胚葉系に特徴的なマーカーを発現している細胞へと多能性幹細胞を分化させ得る化合物を提供する。

【0087】

一実施形態では、胚体内胚葉系に特徴的なマーカーを発現している細胞へと多能性幹細胞を分化させ得る化合物は、式(1)のアニリン-ピリジノトリアジンである。

【0088】

【化 1】



式 (1)

10

【0089】

N - 酸化物形態、製薬上許容できる追加の塩及びそれらを形成する立体異性体では、
式中、mは1～4の整数を表し；nは1～4の整数を表し；ZはN又はCを表し；

R¹及びR⁸はそれぞれ独立して水素、Het¹⁴、シアノ、ハロ、ヒドロキシ、C₁～₆アルコキシ -、C₁～₆アルキル -、モノ - 若しくはジ (C₁～₄アルキル) アミノ - カルボニル -、モノ - 若しくはジ (C₁～₄アルキル) アミノ - スルホニル、ハロで置換されたC₁～₆アルコキシを表し、あるいはR¹はヒドロキシ若しくはハロから選択される1つの置換基で置換されたか又は可能な場合には2つ以上の置換基で置換されたC₁～₆アルキルを表し；

20

R²及びR⁹はそれぞれ独立して水素、C₁～₄アルキル、C₂～₄アルケニル、Het³、Het⁴ - C₁～₄アルキル -、Het⁵ - C₁～₄アルキルカルボニル -、モノ - 若しくはジ (C₁～₄アルキル) アミノ - C₁～₄アルキル - カルボニル -、あるいは任意に水素、ヒドロキシ、アミノ若しくはC₁～₄アルキルオキシから選択される1つの置換基で置換されたか又は可能な場合には2つ以上の置換基で置換されたフェニルを表し；

R³及びR⁷はそれぞれ独立して水素、C₁～₄アルキル、Het⁶、Het⁷ - C₁～₄アルキル -、任意にHet⁸ - C₁～₄アルキルアミノカルボニルで置換されたC₂～₄アルケニルカルボニル、C₂～₄アルケニルスルホニル -、C₁～₄アルキルオキシ (alkoxy) C₁～₄アルキル -、あるいは任意に水素、ヒドロキシ、アミノ若しくはC₁～₄アルキルオキシから選択される1つの置換基で置換されたか又は可能な場合には2つ以上の置換基で置換されたフェニルを表し；

30

R⁴、R⁵、R⁶及びR¹⁰はそれぞれ独立して水素を表すか又は任意にヒドロキシ、Het⁹若しくはC₁～₄アルキルオキシで置換されたC₁～₄アルキルを表し；

Het¹及びHet²はそれぞれ独立してピロリジニル、ピペリジニル、ピペラジニル、ピリジニル、ピリミジニル、ピラジニル、イミダゾリジニル又はピラゾリジニルから選択される複素環を表し、ここにかかるHet¹及びHet²は任意にアミノ、ヒドロキシ、C₁～₄アルキル、ヒドロキシ - C₁～₄アルキル (alkyl) -、フェニル、フェニル - C₁～₄アルキル -、C₁～₄アルキル - オキシ - C₁～₄アルキル - モノ - 若しくはジ (C₁～₄アルキル) アミノ - 若しくはアミノ - カルボニル - で置換され；

Het³及びHet⁶はそれぞれ独立してピロリジニル又はピペリジニルから選択される複素環を表し、ここにかかるHet³及びHet⁶は任意にC₁～₄アルキル、C₃～₆シクロアルキル、ヒドロキシ - C₁～₄アルキル -、C₁～₄アルキルオキシC₁～₄アルキル又はポリヒドロキシ - C₁～₄アルキル - から選択される1つの置換基で置換されるか又は可能な場合には2つ以上の置換基で置換され；

40

Het⁴、Het⁷及びHet⁹はそれぞれ独立してモルホリニル、ピロリジニル、ピペラジニル又はピペリジニルから選択される複素環を表し、ここにかかるHet⁴、Het⁷及びHet⁹は任意にC₁～₄アルキル、C₃～₆シクロアルキル、ヒドロキシ - C₁～₄アルキル -、C₁～₄アルキルオキシC₁～₄アルキル又はポリヒドロキシ - C₁～₄アルキル - から選択される1つの置換基で置換されるか又は可能な場合には2つ以上の置換基で置換され；

50

H e t ⁵ はモルホリニル、ピロリジニル、ピペラジニル又はピペリジニル (pipendinyl) から選択される複素環を表し、ここにかかる H e t ⁵ は任意に C₁ ~ 4 アルキル、C₃ ~ 6 シクロアルキル、ヒドロキシ - C₁ ~ 4 アルキル - 、C₁ ~ 4 アルキルオキシ C₁ ~ 4 アルキル又はポリヒドロキシ - C₁ ~ 4 アルキル - から選択される 1 つの置換基で置換されるか又は可能な場合には 2 つ以上の置換基で置換され；

H e t ¹⁰、H e t ¹¹ 及び H e t ¹³ はそれぞれ独立してピロリジニル、ピペリジニル、ピペラジニル、ピリジニル、ピリミジニル、ピラジニル、イミダゾリジニル又はピラゾリジニルから選択される複素環を表し、ここにかかる H e t ¹⁰、H e t ¹¹ 及び H e t ¹³ は任意にアミノ、ヒドロキシ、C₁ ~ 4 アルキル、ヒドロキシ - C₁ ~ 4 アルキル - 、フェニル、フェニル - C₁ ~ 4 アルキル - 、C₁ ~ 4 アルキル - オキシ - C₁ ~ 4 アルキル - 、アミノ - カルボニル - 又はモノ - 若しくはジ (C₁ ~ 4 アルキル) アミノ - で置換され；

H e t ¹² はピロリジニル、ピペリジニル、ピペラジニル、ピリジニル、ピリミジニル、ピラジニル、イミダゾリジニル又はピラゾリジニルから選択された複素環を表し、ここにかかる H e t ¹² は任意にアミノ、ヒドロキシ、C₁ ~ 4 アルキル、ヒドロキシ - C₁ ~ 4 アルキル - 、フェニル、フェニル - C₁ ~ 4 アルキル - 、C₁ ~ 4 アルキル - オキシ - C₁ ~ 4 アルキル - ；モノ - 若しくはジ (C₁ ~ 4 アルキル) アミノ - 若しくはアミノ - カルボニル - で置換され；

H e t ¹⁴ はモルホリニル；ピロリジニル；ピペラジニル；イミダゾリル；ピロリル；2, 3, 4 - トリアザピロリル；1, 2, 3 - トリアゾリル；ピラゾリル；又はピペリジニルから選択される複素環を表し、ここにかかる H e t ¹⁴ は任意に C₁ ~ 4 アルキル、C₃ ~ 6 シクロアルキル、ヒドロキシ - C₁ ~ 4 アルキル - 、C₁ ~ 4 アルキルオキシ C₁ ~ 4 アルキル又はポリヒドロキシ - C₁ ~ 4 アルキル - から選択される 1 つの置換基で置換されるか又は可能な場合には 2 つ以上の置換基で置換され；具体的には H e t ¹⁴ はモルホリニル；ピロリジニル；ピロリル；2, 3, 4 - トリアザピロリル；ピペラジニル又はピペリジニルから選択される複素環を表し、ここにかかる H e t ¹⁴ は任意に C₁ ~ 4 アルキル、C₃ ~ 6 シクロアルキル、ヒドロキシ - C₁ ~ 4 アルキル - 、C₁ ~ 4 アルキルオキシ C₁ ~ 4 アルキル又はポリヒドロキシ - C₁ ~ 4 アルキル - から選択される 1 つの置換基で置換されるか又は可能な場合には 2 つ以上の置換基で置換され；より具体的には H e t ¹⁴ はモルホリニル；ピロリジニル；ピペラジニル又はピペリジニルから選択される複素環を表し、ここにかかる H e t ¹⁴ は任意に C₁ ~ 4 アルキル、C₃ ~ 6 シクロアルキル、ヒドロキシ - C₁ ~ 4 アルキル - 、C₁ ~ 4 アルキルオキシ C₁ ~ 4 アルキル又はポリヒドロキシ - C₁ ~ 4 アルキル - から選択される 1 つの置換基で置換されるか又は可能な場合には 2 つ以上の置換基で置換される。

【0090】

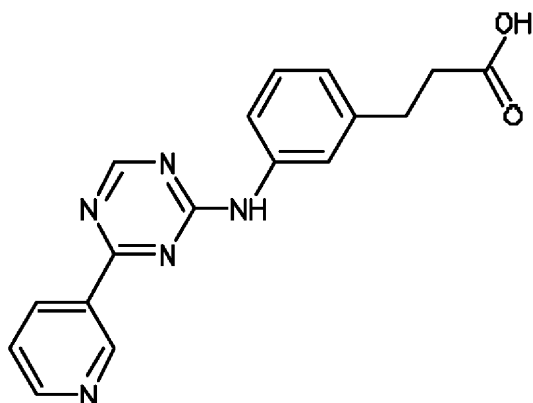
一実施形態では、アニリン - ピリジノトリアジン は式 (1) の化合物である。

【0091】

一実施形態では、アニリン - ピリジノトリアジン は式 (2) の化合物である。

【0092】

【化2】



式 (2) : 3 - { 3 - [(4 - ピリジン - 3 - イル - 1 , 3 , 5 - トリアジン - 2 - イ

10

20

30

40

50

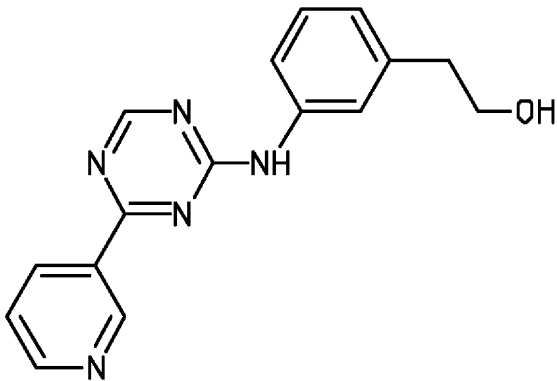
ル) アミノ] フェニル} プロパン酸本明細書において「化合物 1」として参照される。

【0093】

一実施形態では、アニリン - ピリジノトリアジン は式 (3) の化合物である。

【0094】

【化 3】



10

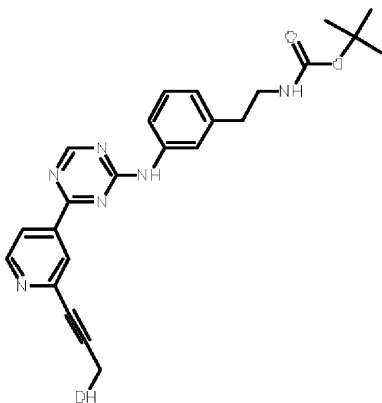
式 (3) : 2 - { 3 - [(4 - ピリジン - 3 - イル - 1 , 3 , 5 - トリアジン - 2 - イル) アミノ] フェニル } エタノール本明細書において「化合物 2」として参照される。

【0095】

一実施形態では、アニリン - ピリジノトリアジン は式 (4) の化合物である。

【0096】

【化 4】



30

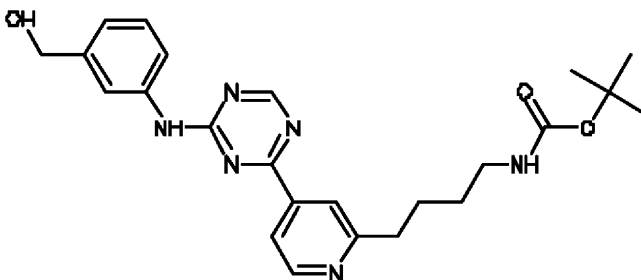
式 (4) : 1 , 1 - ジメチルエチル { 2 - [3 - ({ 4 - [2 - (3 - ヒドロキシプロパ - 1 - イン - 1 - イル) ピリジン - 4 - イル] - 1 , 3 , 5 - トリアジン - 2 - イル } アミノ) フェニル] エチル } カルバメート本明細書において「化合物 3」として参照される。

【0097】

一実施形態では、アニリン - ピリジノトリアジン は式 (5) の化合物である。

【0098】

【化 5】



40

式 (5) : 1 , 1 - ジメチルエチル { 4 - [4 - (4 - { [3 - (ヒドロキシメチル) フェニル] アミノ } - 1 , 3 , 5 - トリアジン - 2 - イル) ピリジン - 2 - イル] ブチル

50

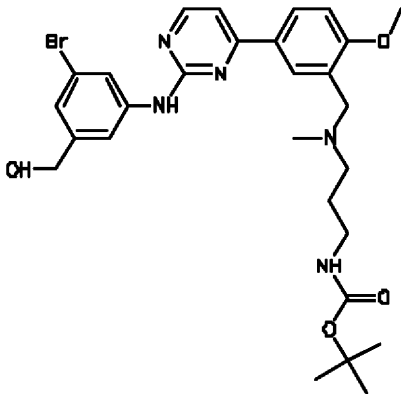
カルバメート本明細書において「化合物 4」として参照される。

【0099】

一実施形態では、アニリン - ピリジノトリアジン は式 (6) の化合物である。

【0100】

【化6】



10

式 (6) : 1, 1 - ジメチルエチル { 3 - [{ [5 - (2 - { [3 - ブロモ - 5 - (ヒドロキシメチル) フェニル] アミノ } ピリミジン - 4 - イル) - 2 - (メチルオキシ) フェニル] メチル } (メチル) アミノ] プロピル } カルバメート本明細書において「化合物 5」として参照される。

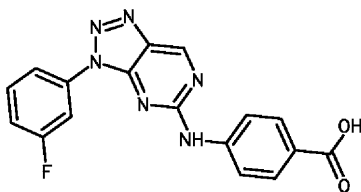
20

【0101】

一実施形態では、アニリン - ピリジノトリアジン は式 (7) の化合物である。

【0102】

【化7】



30

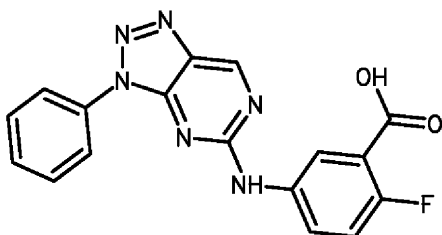
式 (7) : 4 - { [3 - (3 - フルオロフェニル) - 3 H - [1 , 2 , 3] トリアゾロ [4 , 5 - d] ピリミジン - 5 - イル] アミノ } 安息香酸本明細書において「化合物 6」として参照される。

【0103】

一実施形態では、アニリン - ピリジノトリアジン は式 (8) の化合物である。

【0104】

【化8】



40

式 (8) : 2 - フルオロ - 5 - [(3 - フェニル - 3 H - [1 , 2 , 3] トリアゾロ [4 , 5 - d] ピリミジン - 5 - イル) アミノ] 安息香酸本明細書において「化合物 7」として参照される。

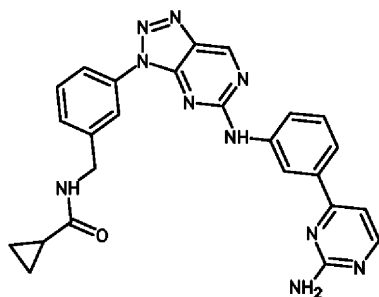
【0105】

一実施形態では、アニリン - ピリジノトリアジン は式 (9) の化合物である。

【0106】

50

【化 9】



式(9)：N - { [3 - (5 - { [3 - (2 - アミノピリミジン - 4 - イル) フェニル] アミノ } - 3 H - [1 , 2 , 3] トリアゾロ [4 , 5 - d] ピリミジン - 3 - イル) フェニル] メチル } シクロプロパンカルボアミド本明細書において「化合物 8」として参照される。

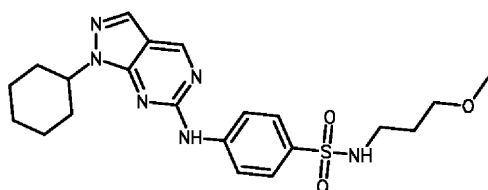
10

【0107】

一実施形態では、アニリン - ピリジノトリアジン は式(10)の化合物である。

【0108】

【化 10】



20

式(10)：4 - [(1 - シクロヘキシル - 1 H - ピラゾロ [3 , 4 - d] ピリミジン - 6 - イル) アミノ] - N - [3 - (メチルオキシ) プロピル] ベンゼンスルホンアミド本明細書において「化合物 9」として参照される。

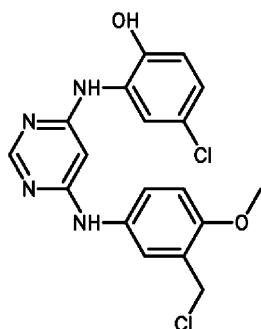
【0109】

一実施形態では、アニリン - ピリジノトリアジン は式(11)の化合物である。

【0110】

【化 11】

30



式(11)：4 - クロロ - 2 - [(6 - { [3 - (クロロメチル) - 4 - メトキシフェニル] アミノ } ピリミジン - 4 - イル) アミノ] フェノール本明細書において「化合物 10」として参照される。

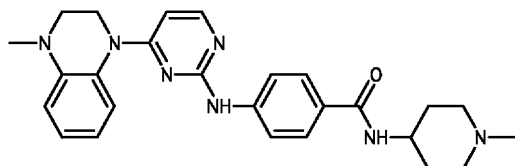
40

【0111】

一実施形態では、アニリン - ピリジノトリアジン は式(12)の化合物である。

【0112】

【化 1 2】



式 (1 2) : 4 - { [4 - (4 - メチル - 3 , 4 - ジヒドロキノキサリン - 1 (2 H) - イル) ピリミジン - 2 - イル] アミノ } - N - (1 - メチルピペリジン - 4 - イル) ベンズアミド本明細書において「化合物 1 1」として参照される。

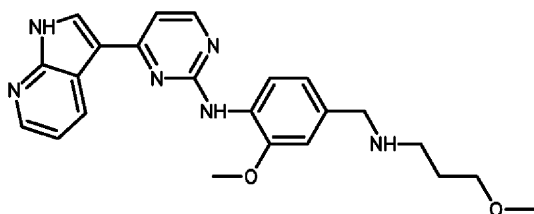
【 0 1 1 3】

10

一実施形態では、アニリン - ピリジノトリアジン は式 (1 3) の化合物である。

【 0 1 1 4】

【化 1 3】



式 (1 3) : N - (2 - メトキシ - 4 - { [(3 - メトキシプロピル) アミノ] メチル } フェニル) - 4 - (1 H - ピロロ [2 , 3 - b] ピリジン - 3 - イル) ピリミジン - 2 - アミン本明細書において「化合物 1 2」として参照される。

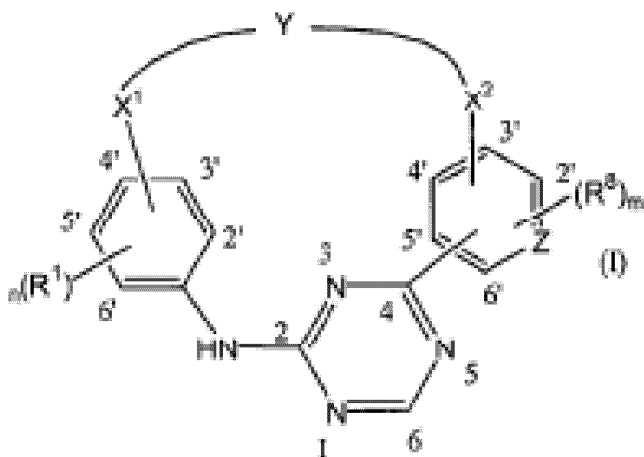
20

【 0 1 1 5】

一実施形態では、胚体内胚葉系に特徴的なマーカーを発現している細胞へと多能性幹細胞を分化させ得る化合物は、式 (1 4) の環式アニリン - ピリジノトリアジンである。

【 0 1 1 6】

【化 1 4】



30

式 (1 4)

40

【 0 1 1 7】

N - 酸化物形態、製薬上許容できる追加の塩及びそれらの立体化学異性体 :

式中、m は 1 ~ 4 の整数を表し ; n は 1 ~ 4 の整数を表し ; Z は N 又は C を表し ;

Y は - NR² - C₁ ~ ₆アルキル - CO - NR⁴ - 、 - C₁ ~ ₄アルキル - NR⁹ - C₁ ~ ₄アルキル - 、 - C₁ ~ ₆アルキル - CO - Het¹⁰ - 、 - Het¹¹ - CO - C₁ ~ ₆アルキル - 、 - Het¹² - C₁ ~ ₆アルキル - 、 - CO - Het¹³ - C₁ ~ ₆アルキル - 、 - CO - NR¹⁰ - C₁ ~ ₆アルキル - 、 - Het¹ - C₁ ~ ₆アルキル - CO - NR⁵ - 、又は - Het² - CO - NR⁶ - を表し、ここで - NR² - C₁ ~ ₆アルキル - CO - NR⁴ - 又は - Het¹ - C₁ ~ ₆アルキル - CO - NR⁵ - 中の - C₁ ~ ₆アルキル - リンカーは任意にヒドロキシ、メトキシ、アミノカルボニル、ハロ、フェニル、インドリル、メチルスルフィド、チオール

50

、ヒドロキシフェニル、シアノフェニル、アミノ及びヒドロキシカルボニルから選択される1つの置換基で置換されるか又は可能な場合には2つ以上の置換基で置換され；

X^1 は直接結合、 C_{1-4} アルキル、 C_{1-4} アルキルオキシ -、 C_{1-4} アルキル - CO -、 C_{2-4} アルケニル、 C_{2-4} アルキニル又は C_{1-4} アルキル - NR^3 - を表し、ここにかかる C_{1-4} アルキル又は C_{2-4} アルケニルは任意に1つのハロ置換基で置換されるか又は可能な場合には2つ以上のハロ置換基で置換され；

X^2 は直接結合、 C_{1-4} アルキル、 C_{1-4} アルキルオキシ -、 C_{1-4} アルキル - CO -、 C_{2-4} アルケニル、 C_{2-4} アルキニル、又は C_{1-4} アルキル - NR^7 - を表し、ここにかかる C_{1-4} アルキル又は C_{2-4} アルケニルは任意に1つのハロ置換基で置換されるか又は可能な場合には2つ以上のハロ置換基で置換され；

R^1 及び R^8 はそれぞれ独立して水素、 Het^{14} 、シアノ、ハロ、ヒドロキシ、 C_{1-6} アルコキシ -、 C_{1-6} アルキル -、モノ - 若しくはジ (C_{1-4} アルキル) アミノ - カルボニル -、モノ - 若しくはジ (C_{1-4} アルキル) アミノ - スルホニル、ハロで置換された C_{1-6} アルコキシを表し、あるいは R^1 はヒドロキシ若しくはハロから選択される1つの置換基で置換されたか又は可能な場合には2つ以上の置換基で置換された C_{1-6} アルキルを表し；

R^2 及び R^9 はそれぞれ独立して水素、 C_{1-4} アルキル、 C_{2-4} アルケニル、 Het^3 、 Het^4 - C_{1-4} アルキル -、 Het^5 - C_{1-4} アルキルカルボニル -、モノ - 若しくはジ (C_{1-4} アルキル) アミノ - C_{1-4} アルキル - カルボニル -、あるいは任意に水素、ヒドロキシ、アミノ若しくは C_{1-4} アルキルオキシから選択される1つの置換基で置換されたか又は可能な場合には2つ以上の置換基で置換されたフェニルを表し；

R^3 及び R^7 はそれぞれ独立して水素、 C_{1-4} アルキル、 Het^6 、 Het^7 - C_{1-4} アルキル -、任意に Het^8 - C_{1-4} アルキルアミノカルボニルで置換された C_{2-4} アルケニルカルボニル、 C_{2-4} アルケニルスルホニル -、 C_{1-4} アルキルオキシ C_{1-4} アルキル -、あるいは任意に水素、ヒドロキシ、アミノ若しくは C_{1-4} アルキルオキシから選択される1つの置換基で置換されたか又は可能な場合には2つ以上の置換基で置換されたフェニルを表し；

R^4 、 R^5 、 R^6 及び R^{10} はそれぞれ独立して水素を表すか又は任意にヒドロキシ、 Het^9 若しくは C_{1-4} アルキルオキシで置換された C_{1-4} アルキルを表し；

Het^1 及び Het^2 はそれぞれ独立してピロリジニル、ピペリジニル、ピペラジニル、ピリジニル、ピリミジニル、ピラジニル、イミダゾリジニル又はピラゾリジニルから選択される複素環を表し、ここにかかる Het^1 及び Het^2 は任意にアミノ、ヒドロキシ、 C_{1-4} アルキル、ヒドロキシ - C_{1-4} アルキル (allcyl) -、フェニル、フェニル - C_{1-4} アルキル -、 C_{1-4} アルキル - オキシ - C_{1-4} アルキル - モノ - 若しくはジ (C_{1-4} アルキル) アミノ - 若しくはアミノ - カルボニル - で置換され；

Het^3 及び Het^6 はそれぞれ独立してピロリジニル又はピペリジニルから選択される複素環を表し、ここにかかる Het^3 及び Het^6 は任意に C_{1-4} アルキル、 C_{3-6} シクロアルキル、ヒドロキシ - C_{1-4} アルキル -、 C_{1-4} アルキルオキシ C_{1-4} アルキル又はポリヒドロキシ - C_{1-4} アルキル - から選択される1つの置換基で置換されるか又は可能な場合には2つ以上の置換基で置換され；

Het^4 、 Het^7 及び Het^9 はそれぞれ独立してモルホリニル、ピロリジニル、ピペラジニル又はピペリジニルから選択される複素環を表し、ここにかかる Het^4 、 Het^7 及び Het^9 は任意に C_{1-4} アルキル、 C_{3-6} シクロアルキル、ヒドロキシ - C_{1-4} アルキル -、 C_{1-4} アルキルオキシ C_{1-4} アルキル又はポリヒドロキシ - C_{1-4} アルキル - から選択される1つの置換基で置換されるか又は可能な場合には2つ以上の置換基で置換され；

Het^5 はモルホリニル、ピロリジニル、ピペラジニル又はピペリジニルから選択される複素環を表し、ここにかかる Het^5 は任意に C_{1-4} アルキル、 C_{3-6} シクロアルキル、ヒドロキシ - C_{1-4} アルキル -、 C_{1-4} アルキルオキシ C_{1-4} アルキル又はポリヒドロキシ - C_{1-4} アルキル - から選択される1つの置換基で置換されるか又は可能な場合には

10

20

30

40

50

2つ以上の置換基で置換され；

H e t¹⁰、H e t¹¹及びH e t¹³はそれぞれ独立してピロリジニル、ピペリジニル、ピペラジニル、ピリジニル、ピリミジニル、ピラジニル、イミダゾリジニル又はピラゾリジニルから選択される複素環を表し、ここにかかるH e t¹⁰、H e t¹¹及びH e t¹³は任意にアミノ、ヒドロキシ、C₁~₄アルキル、ヒドロキシ-C₁~₄アルキル-、フェニル、フェニル-C₁~₄アルキル-、C₁~₄アルキル-オキシ-C₁~₄アルキル-、アミノ-カルボニル-又はモノ-若しくはジ(C₁~₄アルキル)アミノ-で置換され；

H e t¹²はピロリジニル、ピペリジニル、ピペラジニル、ピリジニル、ピリミジニル、ピラジニル、イミダゾリジニル又はピラゾリジニルから選択された複素環を表し、ここにかかるH e t¹²は任意にアミノ、ヒドロキシ、C₁~₄アルキル、ヒドロキシ-C₁~₄アルキル-、フェニル、フェニル-C₁~₄アルキル-、C₁~₄アルキル-オキシ-C₁~₄アルキル-；モノ-若しくはジ(C₁~₄アルキル)アミノ-若しくはアミノ-カルボニル-で置換され；

H e t¹⁴はモルホリニル；ピロリジニル；ピペラジニル；イミダゾリル；ピロリル；2, 3, 4-トリアザピロリル；1, 2, 3-トリアゾリル；ピラゾリル；又はピペリジニルから選択される複素環を表し、ここにかかるH e t¹⁴は任意にC₁~₄アルキル、C₃~₆シクロアルキル、ヒドロキシ-C₁~₄アルキル-、C₁~₄アルキルオキシC₁~₄アルキル又はポリヒドロキシ-C₁~₄アルキル-から選択される1つの置換基で置換されるか又は可能な場合には2つ以上の置換基で置換され；具体的にはH e t¹⁴はモルホリニル；ピロリジニル；ピロリル；2, 3, 4-トリアザピロリル；ピペラジニル又はピペリジニルから選択される複素環を表し、ここにかかるH e t¹⁴は任意にC₁~₄アルキル、C₃~₆シクロアルキル、ヒドロキシ-C₁~₄アルキル-、C₁~₄アルキルオキシC₁~₄アルキル又はポリヒドロキシ-C₁~₄アルキル-から選択される1つの置換基で置換されるか又は可能な場合には2つ以上の置換基で置換され；より具体的にはH e t¹⁴はモルホリニル；ピロリジニル；ピペラジニル又はピペリジニルから選択される複素環を表し、ここにかかるH e t¹⁴は任意にC₁~₄アルキル、C₃~₆シクロアルキル、ヒドロキシ-C₁~₄アルキル-、C₁~₄アルキルオキシC₁~₄アルキル又はポリヒドロキシ-C₁~₄アルキル-から選択される1つの置換基で置換されるか又は可能な場合には2つ以上の置換基で置換される。

【0118】

式(7)の化合物はJanssen Pharmaceutica N.V.に譲渡された国際公開第2007/003525号に公開される。

【0119】

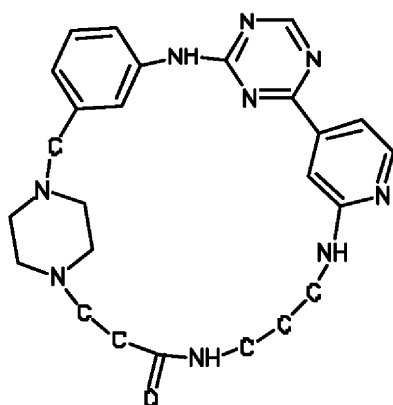
一実施形態では、環式アニリン-ピリジノトリアジンとは式(14)の化合物である。

【0120】

一実施形態では、環式アニリン-ピリジノトリアジンとは式(15)の化合物である。

【0121】

【化15】



式(15)：1, 8, 10, 12, 17, 19, 23, 27, 33-ノナアザペンタシクロ[2.5.2.2.1~3, 7~.1~9, 13~.1~14, 18~]テトラトリア

10

20

30

40

50

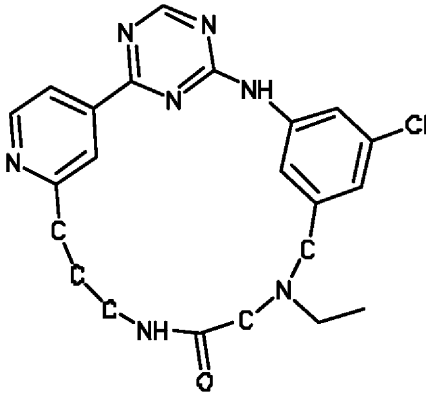
コンタ - 3 (3 4) , 4 , 6 , 9 (3 3) , 1 0 , 1 2 , 1 4 (3 2) , 1 5 , 1 7 - ノ
ナエン - 2 4 - オン本明細書において「化合物 1 3」として参照される。

【 0 1 2 2 】

一実施形態では、環式アニリン - ピリジノトリアジン は式 (1 6) の化合物である。

【 0 1 2 3 】

【 化 1 6 】



10

式 (1 6) : 1 0 - クロロ - 1 4 - エチル - 3 , 5 , 7 , 1 4 , 1 7 , 2 2 , 2 7 - ヘ
プタアザテトラシクロ [1 9 . 3 . 1 . 1 ~ 2 , 6 ~ . 1 ~ 8 , 1 2 ~] ヘプタコサ - 1
(2 5) , 2 (2 7) , 3 , 5 , 8 (2 6) , 9 , 1 1 , 2 1 , 2 3 - ノナエン - 1 6 -
オン本明細書において「化合物 1 4」として参照される。

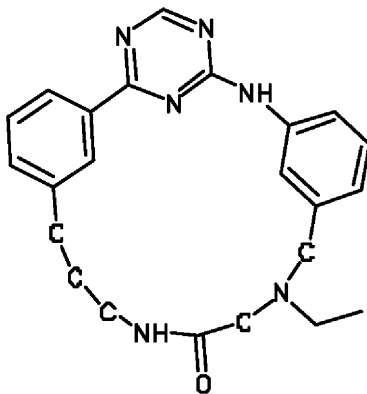
20

【 0 1 2 4 】

一実施形態では、環式アニリン - ピリジノトリアジン は式 (1 7) の化合物である。

【 0 1 2 5 】

【 化 1 7 】



30

式 (1 7) : 1 4 - エチル - 3 , 5 , 7 , 1 4 , 1 7 , 2 7 - ヘキサアザテトラシクロ
[1 9 . 3 . 1 . 1 ~ 2 , 6 ~ . 1 ~ 8 , 1 2 ~] ヘプタコサ - 1 (2 5) , 2 (2 7)
, 3 , 5 , 8 (2 6) , 9 , 1 1 , 2 1 , 2 3 - ノナエン - 1 6 - オン本明細書において
「化合物 1 5」として参照される。

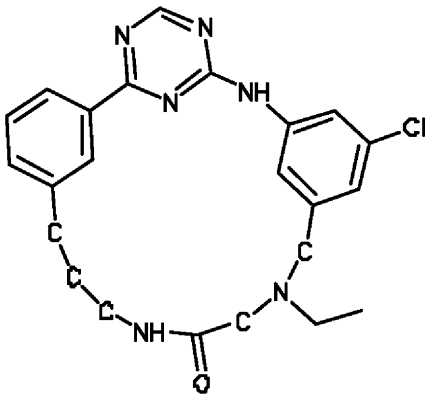
40

【 0 1 2 6 】

一実施形態では、環式アニリン - ピリジノトリアジン は式 (1 8) の化合物である。

【 0 1 2 7 】

【化 18】



10

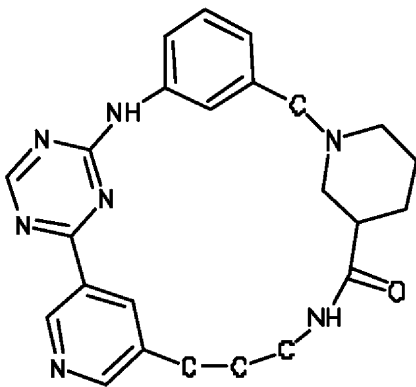
式(18): 10-クロロ-14-エチル-3,5,7,14,17,27-ヘキサアザテトラシクロ[19.3.1.1~2,6~.1~8,12~]ヘプタコサ-1(25), 2(27), 3,5,8(26), 9,11,21,23-ノナエン-16-オン本明細書において「化合物16」として参照される。

【0128】

一実施形態では、環式アニリン-ピリジノトリアジン は式(19)の化合物である。

【0129】

【化 19】



30

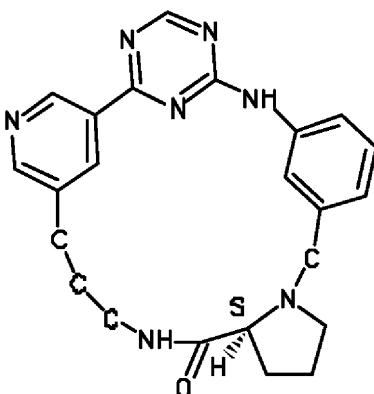
式(19): 3,5,7,14,20,26,31-ヘプタアザペンタシクロ[22.3.1.1~2,6~.1~8,12~.1~14,18~]ヘントリアコンタ-1(28), 2(31), 3,5,8(30), 9,11,24,26-ノナエン-19-オン本明細書において「化合物17」として参照される。

【0130】

一実施形態では、環式アニリン-ピリジノトリアジン は式(20)の化合物である。

【0131】

【化 20】



40

50

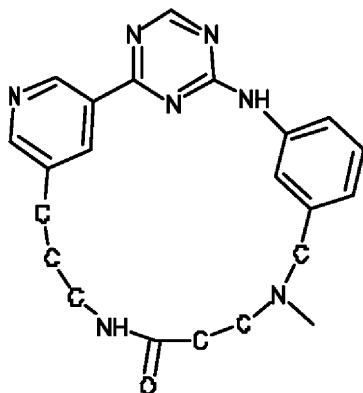
式(20): (18S) - 3, 5, 7, 14, 20, 26, 30 - ヘプタアザペンタシクロ[22.3.1.1.1~2, 6~.1~8, 12~.0~14, 18~]トリアコンタ - 1(28), 2(30), 3, 5, 8(29), 9, 11, 24, 26 - ノナエン - 19 - オン本明細書において「化合物18」として参照される。

【0132】

一実施形態では、環式アニリン - ピリジノトリアジン は式(21)の化合物である。

【0133】

【化21】



10

式(21): 14 - メチル - 3, 5, 7, 14, 18, 24, 28 - ヘプタアザテトラシクロ[20.3.1.1.1~2, 6~.1~8, 12~]オクタコサ - 1(26), 2(28), 3, 5, 8(27), 9, 11, 22, 24 - ノナエン - 17 - オン本明細書において「化合物19」として参照される。

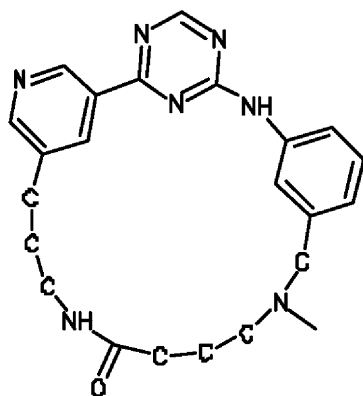
20

【0134】

一実施形態では、環式アニリン - ピリジノトリアジン は式(22)の化合物である。

【0135】

【化22】



30

式(22): 14 - メチル - 3, 5, 7, 14, 19, 25, 29 - ヘプタアザテトラシクロ[21.3.1.1.1~2, 6~.1~8, 12~]ノナコサ - 1(27), 2(29), 3, 5, 8(28), 9, 11, 23, 25 - ノナエン - 18 - オン本明細書において「化合物20」として参照される。

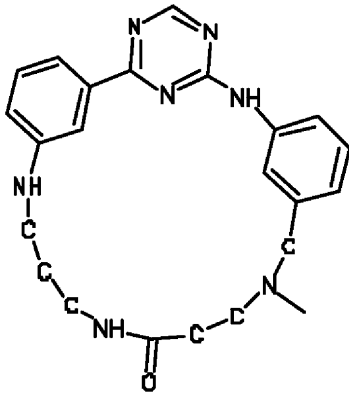
40

【0136】

一実施形態では、環式アニリン - ピリジノトリアジン は式(23)の化合物である。

【0137】

【化 2 3】



10

式(23): 14 - メチル - 3, 5, 7, 14, 18, 22, 29 - ヘプタアザテトラシクロ[21.3.1.1~2,6~.1~8,12~]ノナコサ-1(27), 2(29), 3, 5, 8(28), 9, 11, 23, 25 - ノナエン-17 - オン本明細書において「化合物21」として参照される。

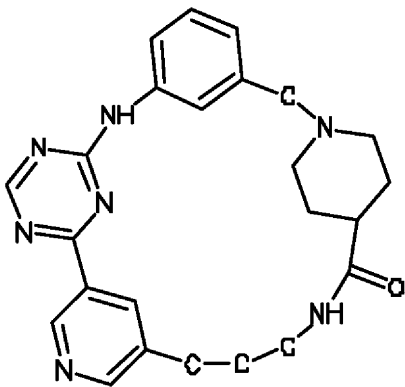
【0138】

一実施形態では、環式アニリン - ピリジノトリアジン は式(24)の化合物である。

【0139】

【化 2 4】

20



30

式(24): 1, 8, 10, 12, 16, 22, 30 - ヘプタアザペンタシクロ[22.2.2.1~3,7~.1~9,13~.1~14,18~]ヘントリアコンタ-3(31), 4, 6, 9(30), 10, 12, 14(29), 15, 17 - ノナエン-23 - オン本明細書において「化合物22」として参照される。

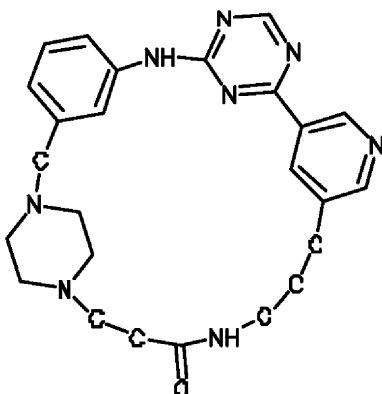
【0140】

一実施形態では、環式アニリン - ピリジノトリアジン は式(25)の化合物である。

【0141】

【化 2 5】

40



50

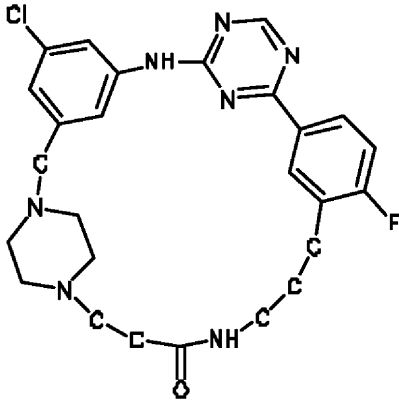
式(25): 1, 8, 10, 12, 16, 22, 26, 32 - オクタアザペンタシクロ
[24.2.2.1~3, 7~.1~9, 13~.1~14, 18~]トリトリアコンタ
- 3(33), 4, 6, 9(32), 10, 12, 14(31), 15, 17 - ノナエン
- 23 - オン本明細書において「化合物23」として参照される。

【0142】

一実施形態では、環式アニリン - ピリジノトリアジン は式(26)の化合物である。

【0143】

【化26】



10

式(26): 5 - クロロ - 17 - フルオロ - 1, 8, 10, 12, 22, 26, 32 -
ヘプタアザペンタシクロ[24.2.2.1~3, 7~.1~9, 13~.1~14, 1
8~]トリトリアコンタ - 3(33), 4, 6, 9(32), 10, 12, 14(31)
, 15, 17 - ノナエン - 23 - オン本明細書において「化合物24」として参照される
。

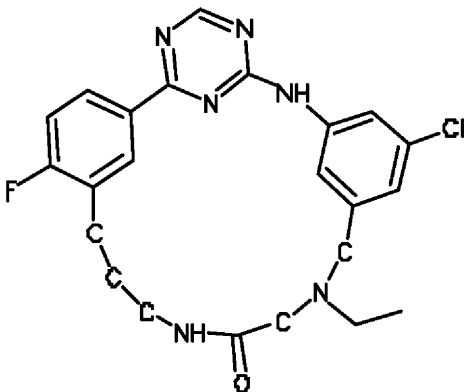
20

【0144】

一実施形態では、環式アニリン - ピリジノトリアジン は式(27)の化合物である。

【0145】

【化27】



30

式(27): 10 - クロロ - 14 - エチル - 22 - フルオロ - 3, 5, 7, 14, 17
, 27 - ヘキサアザテトラシクロ[19.3.1.1~2, 6~.1~8, 12~]ヘプ
タコサ - 1(25), 2(27), 3, 5, 8(26), 9, 11, 21, 23 - ノナエン
- 16 - オン本明細書において「化合物25」として参照される。

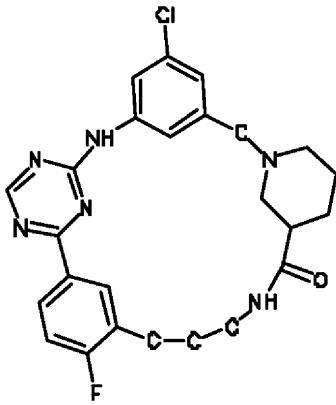
40

【0146】

一実施形態では、環式アニリン - ピリジノトリアジン は式(28)の化合物である。

【0147】

【化 28】



10

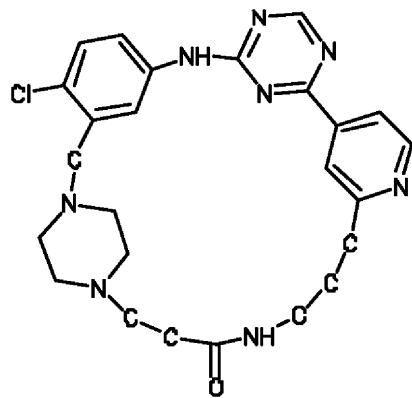
式(28): 10-クロロ-25-フルオロ-3,5,7,14,20,31-ヘキサアザペンタシクロ[22.3.1.1.1~2,6~.1~8,12~.1~14,18~]ヘントリアコンタ-1(28),2(31),3,5,8(30),9,11,24,26-ノナエン-19-オン本明細書において「化合物26」として参照される。

【0148】

一実施形態では、環式アニリン-ピリジノトリアジン は式(29)の化合物である。

【0149】

【化 29】



20

30

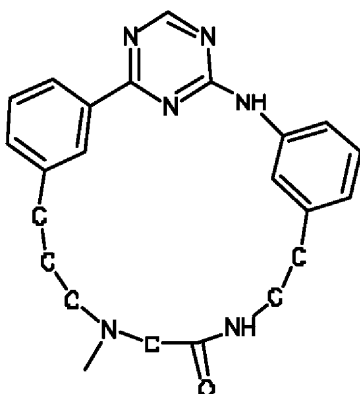
式(29): 4-クロロ-1,8,10,12,17,22,26,32-オクタアザペンタシクロ[24.2.2.1~3,7~.1~9,13~.1~14,18~]トリトリアコンタ-3(33),4,6,9(32),10,12,14(31),15,17-ノナエン-23-オン本明細書において「化合物27」として参照される。

【0150】

一実施形態では、環式アニリン-ピリジノトリアジン は式(30)の化合物である。

【0151】

【化 30】



40

50

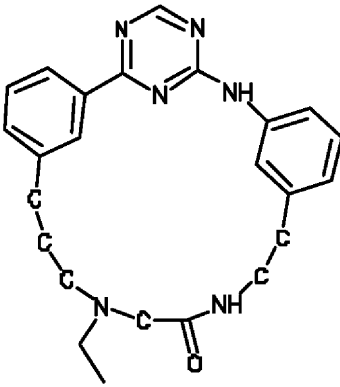
式(30): 18-メチル-3,5,7,15,18,28-ヘキサアザテトラシクロ[20.3.1.1~2,6~.1~8,12~]オクタコサ-1(26),2(28),3,5,8(27),9,11,22,24-ノナエン-16-オン本明細書において「化合物28」として参照される。

【0152】

一実施形態では、環式アニリン-ピリジノトリアジン は式(31)の化合物である。

【0153】

【化31】



10

式(31): 18-エチル-3,5,7,15,18,28-ヘキサアザテトラシクロ[20.3.1.1~2,6~.1~8,12~]オクタコサ-1(26),2(28),3,5,8(27),9,11,22,24-ノナエン-16-オン本明細書において「化合物29」として参照される。

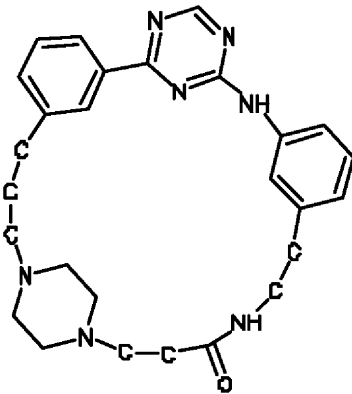
20

【0154】

一実施形態では、環式アニリン-ピリジノトリアジン は式(32)の化合物である。

【0155】

【化32】



30

式(32): 1,8,10,12,17,19,23,27,33-ノナアザペンタシクロ[25.2.2.1~3,7~.1~9,13~.1~14,18~]テトラトリアコンタ-3(34),4,6,9(33),10,12,14(32),15,17-ノナエン-24-オン本明細書において「化合物30」として参照される。

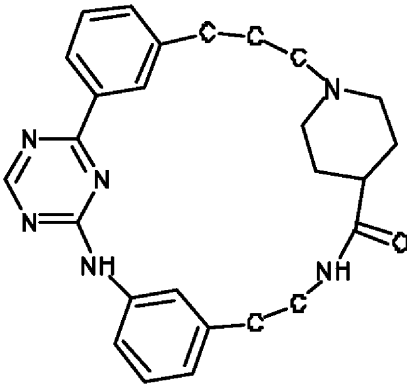
40

【0156】

一実施形態では、環式アニリン-ピリジノトリアジン は式(33)の化合物である。

【0157】

【化 3 3】



10

式(33): 1, 11, 13, 15, 23, 31 - ヘキサザペンタシクロ[2.3.2.1~5,9~.1~10,14~.1~16,20~]ドトリアコンタ-5(32), 6, 8, 10(31), 11, 13, 16(30), 17, 19 - ノナエン-24 - オン本明細書において「化合物31」として参照される。

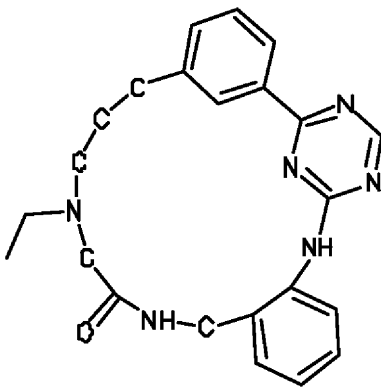
【0158】

一実施形態では、環式アニリン - ピリジノトリアジン は式(34)の化合物である。

【0159】

【化 3 4】

20



30

式(34): 15 - エチル - 13, 14, 15, 16, 18, 19 - ヘキサヒドロ - 1H - 6, 2 - (アゼノ) - 7, 11 - (メテノ) - 1, 3, 5, 15, 18 - ベンゾペンタアザシクロヘニコシン - 17(12H) - オン本明細書において「化合物32」として参照される。

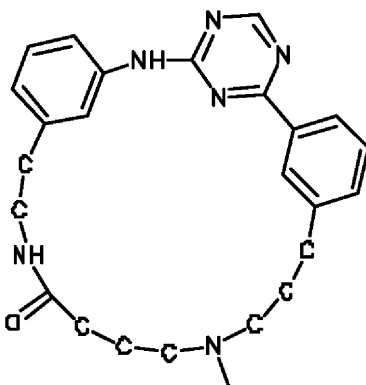
【0160】

一実施形態では、環式アニリン - ピリジノトリアジン は式(35)の化合物である。

【0161】

【化 3 5】

40



50

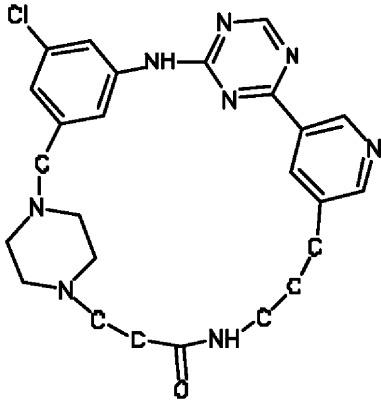
式(35): 20-メチル-3,5,7,15,20,30-ヘキサアザテトラシクロ[22.3.1.1~2,6~.1~8,12~]トリアコンタ-1(28),2(30),3,5,8(29),9,11,24,26-ノナエン-16-オン本明細書において「化合物33」として参照される。

【0162】

一実施形態では、環式アニリン-ピリジノトリアジン は式(36)の化合物である。

【0163】

【化36】



10

式(36): 5-クロロ-1,8,10,12,16,22,26,32-オクタザペンタシクロ[24.2.2.1~3,7~.1~9,13~.1~14,18~]トリトリアコンタ-3(33),4,6,9(32),10,12,14(31),15,17-ノナエン-23-オン本明細書において「化合物34」として参照される。

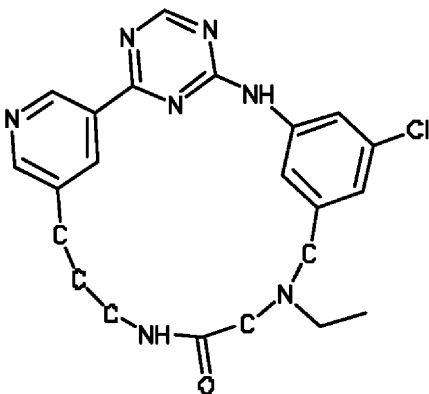
20

【0164】

一実施形態では、環式アニリン-ピリジノトリアジン は式(37)の化合物である。

【0165】

【化37】



30

式(37): 10-クロロ-14-エチル-3,5,7,14,17,23,27-ヘプタアザテトラシクロ[19.3.1.1~2,6~.1~8,12~]ヘプタコサ-1(25),2(27),3,5,8(26),9,11,21,23-ノナエン-16-オン本明細書において「化合物35」として参照される。

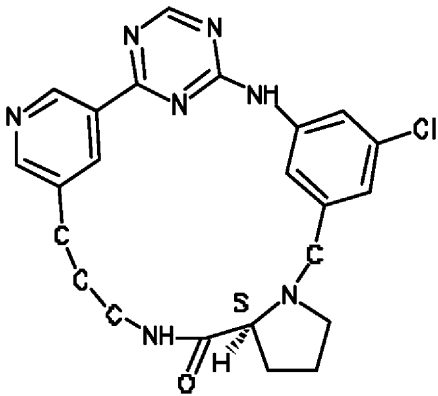
40

【0166】

一実施形態では、環式アニリン-ピリジノトリアジン は式(38)の化合物である。

【0167】

【化 3 8】



10

式(38): (18S) - 10 - クロロ - 3, 5, 7, 14, 20, 26, 30 - ヘプタアザペンタシクロ[22.3.1.1.1~2,6~.1~8,12~.0~14,18~]トリアコンタ - 1(28), 2(30), 3, 5, 8(29), 9, 11, 24, 26 - ノナエン - 19 - オン本明細書において「化合物36」として参照される。

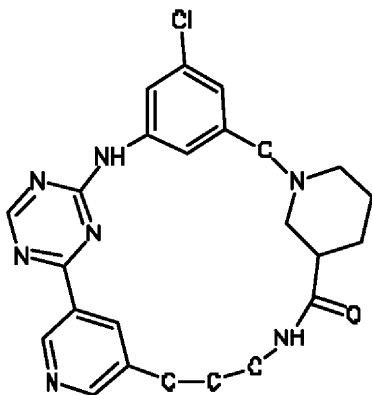
【0168】

一実施形態では、環式アニリン - ピリジノトリアジン は式(39)の化合物である。

【0169】

【化 3 9】

20



30

式(39): 10 - クロロ - 3, 5, 7, 14, 20, 26, 31 - ヘプタアザペンタシクロ[22.3.1.1.1~2,6~.1~8,12~.1~14,18~]ヘントリアコンタ - 1(28), 2(31), 3, 5, 8(30), 9, 11, 24, 26 - ノナエン - 19 - オン本明細書において「化合物37」として参照される。

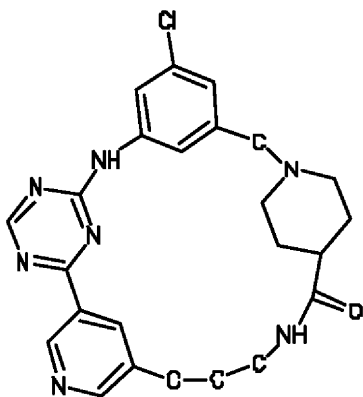
【0170】

一実施形態では、環式アニリン - ピリジノトリアジン は式(40)の化合物である。

【0171】

【化 4 0】

40



50

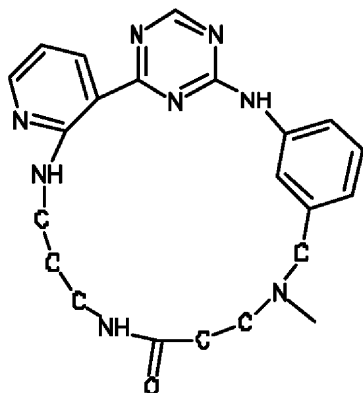
式(40): 5 - クロロ - 1, 8, 10, 12, 16, 22, 30 - ヘプタアザペンタシクロ[22.2.2.1~3, 7~.1~9, 13~.1~14, 18~]ヘントリアコンタ - 3(31), 4, 6, 9(30), 10, 12, 14(29), 15, 17 - ノナエン - 23 - オン本明細書において「化合物38」として参照される。

【0172】

一実施形態では、環式アニリン - ピリジノトリアジン は式(41)の化合物である。

【0173】

【化41】



10

式(41): 9 - メチル - 2, 3, 4, 5, 7, 8, 9, 10 - オクタヒドロ - 16H - 17, 21 - (アゼノ) - 11, 15 - (メテノ)ピリド[3, 2 - g][1, 3, 5, 9, 13, 17]ヘキサアザシクロトリコシン - 6(1H) - オン本明細書において「化合物39」として参照される。

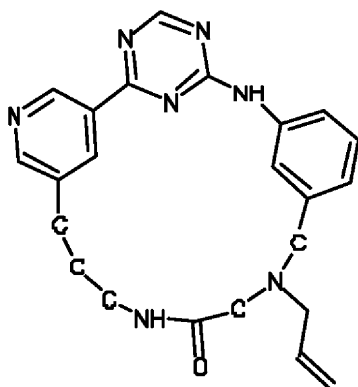
20

【0174】

一実施形態では、環式アニリン - ピリジノトリアジン は式(42)の化合物である。

【0175】

【化42】



30

式(42): 14 - プロパ - 2 - エン - 1 - イル - 3, 5, 7, 14, 17, 23, 27 - ヘプタアザテトラシクロ[19.3.1.1~2, 6~.1~8, 12~]ヘプタコサ - 1(25), 2(27), 3, 5, 8(26), 9, 11, 21, 23 - ノナエン - 16 - オン本明細書において「化合物40」として参照される。

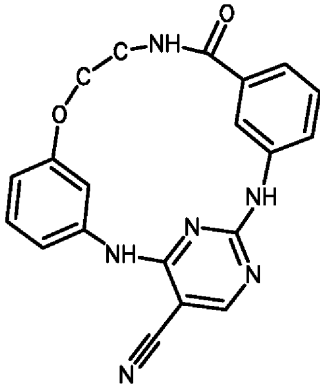
40

【0176】

一実施形態では、環式アニリン - ピリジノトリアジン は式(43)の化合物である。

【0177】

【化 4 3】



10

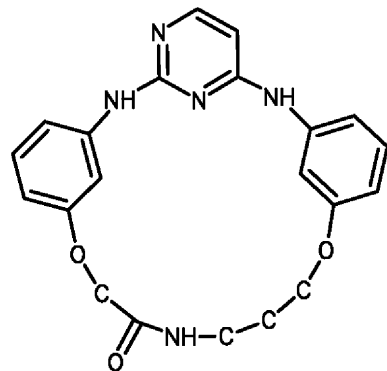
式(43): 18 - オキソ - 14 - オキサ - 2, 4, 8, 17, 25 - ペンタアザテトラシクロ[17.3.1.1.1~3, 7~.1~9, 13~]ペンタコサ - 1(23), 3(25), 4, 6, 9(24), 10, 12, 19, 21 - ノナエン - 6 - カルボニトリル本明細書において「化合物 41」として参照される。

【0178】

一実施形態では、環式アニリン - ピリジノトリアジン は式(44)の化合物である。

【0179】

【化 4 4】



30

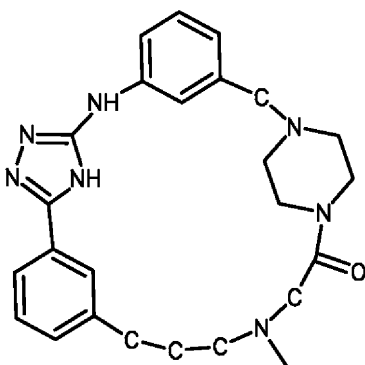
式(44): 14, 21 - ジオキサ - 2, 4, 8, 18, 28 - ペンタアザテトラシクロ[20.3.1.1.1~3, 7~.1~9, 13~]オクタコサ - 1(26), 3(28), 4, 6, 9(27), 10, 12, 22, 24 - ノナエン - 19 - オン本明細書において「化合物 42」として参照される。

【0180】

一実施形態では、環式アニリン - ピリジノトリアジン は式(45)の化合物である。

【0181】

【化 4 5】



40

式(45): 21 - メチル - 1, 8, 10, 11, 21, 24, 30 - ヘプタアザペンタシクロ[22.2.2.1~3, 7~.1~9, 12~.1~13, 17~]ヘントリ

50

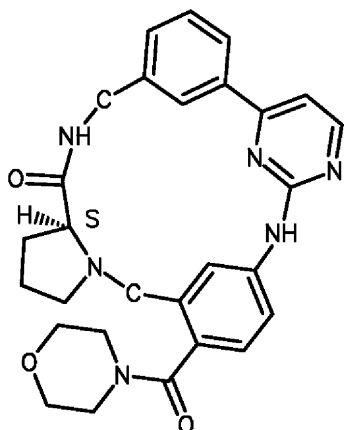
アコンタ - 3 (3 1) , 4 , 6 , 9 , 1 1 , 1 3 (2 9) , 1 4 , 1 6 - オクタエン - 2
3 - オン本明細書において「化合物 4 3」として参照される。

【 0 1 8 2 】

一実施形態では、環式アニリン - ピリジノトリアジン は式 (4 6) の化合物である。

【 0 1 8 3 】

【 化 4 6 】



10

式 (4 6) : (1 8 S) - 1 1 - (モルホリン - 4 - イルカルボニル) - 5 , 7 , 1 4
, 2 0 , 2 8 - ペンタアザペンタシクロ [2 0 . 3 . 1 . 1 ~ 2 , 6 ~ . 1 ~ 8 , 1 2 ~
. 0 ~ 1 4 , 1 8 ~] オクタコサ - 1 (2 6) , 2 (2 8) , 3 , 5 , 8 (2 7) , 9 ,
1 1 , 2 2 , 2 4 - ノナエン - 1 9 - オン本明細書において「化合物 4 4」として参照
される。

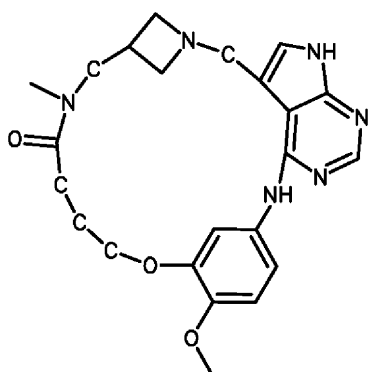
20

【 0 1 8 4 】

一実施形態では、環式アニリン - ピリジノトリアジン は式 (4 7) の化合物である。

【 0 1 8 5 】

【 化 4 7 】



30

式 (4 7) : 1 0 - メトキシ - 1 7 - メチル - 2 , 1 4 , 1 5 , 1 7 , 1 8 , 1 9 , 2
0 , 2 2 - オクタヒドロ - 6 H - 1 9 , 2 1 - メタノ - 7 , 1 1 - (メテノ) - 1 2 - オ
キサ - 2 , 3 , 5 , 6 , 1 7 , 2 1 - ヘキサアザシクロイコサ [1 , 2 , 3 - c d] イン
デン - 1 6 (1 3 H) - オン本明細書において「化合物 4 5」として参照される。

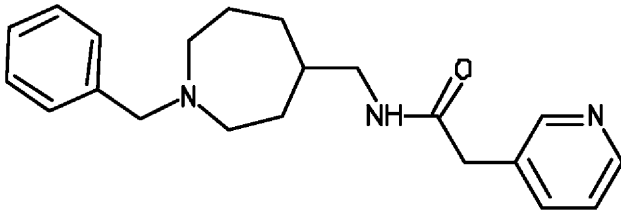
40

【 0 1 8 6 】

一実施形態では、少なくとも 1 つの他の因子は式 (4 8) の化合物である。

【 0 1 8 7 】

【化 4 8】



式(48) N - { [1 - (フェニルメチル) アゼパン - 4 - イル] メチル } - 2 - ピリジン - 3 - イルアセトアミド本明細書において「化合物 4 6」として参照される。

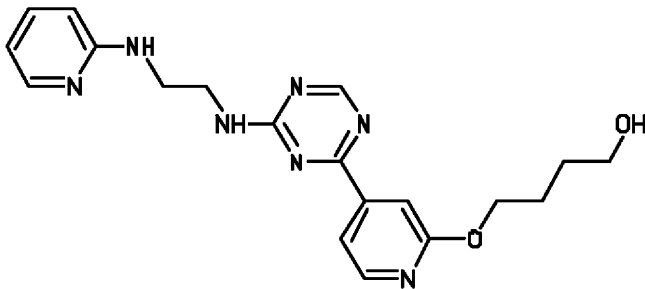
【 0 1 8 8】

10

一実施形態では、少なくとも 1 つの他の因子は式(49)の化合物である。

【 0 1 8 9】

【化 4 9】



20

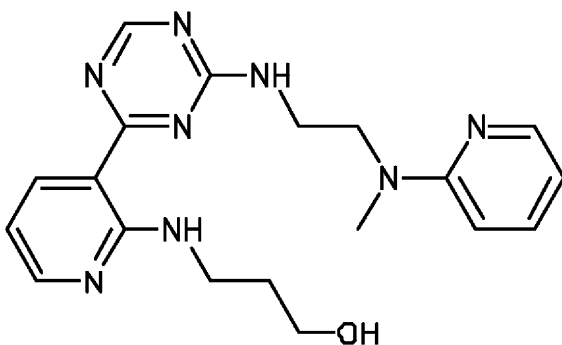
式(49) 4 - { [4 - (4 - { [2 - (ピリジン - 2 - イルアミノ) エチル] アミノ } - 1 , 3 , 5 - トリアジン - 2 - イル) ピリジン - 2 - イル] オキシ } ブタン - 1 - オール本明細書において「化合物 4 7」として参照される。

【 0 1 9 0】

一実施形態では、少なくとも 1 つの他の因子は式(50)の化合物である。

【 0 1 9 1】

【化 5 0】



30

式(50) 3 - ({ 3 - [4 - ({ 2 - [メチル (ピリジン - 2 - イル) アミノ] エチル } アミノ) - 1 , 3 , 5 - トリアジン - 2 - イル] ピリジン - 2 - y l } アミノ) プロパン - 1 - オール本明細書において「化合物 4 8」として参照される。

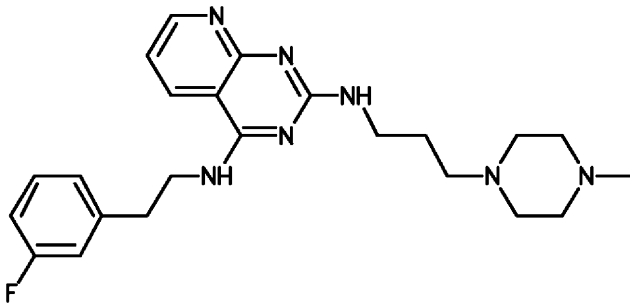
40

【 0 1 9 2】

一実施形態では、少なくとも 1 つの他の因子は式(51)の化合物である。

【 0 1 9 3】

【化 5 1】



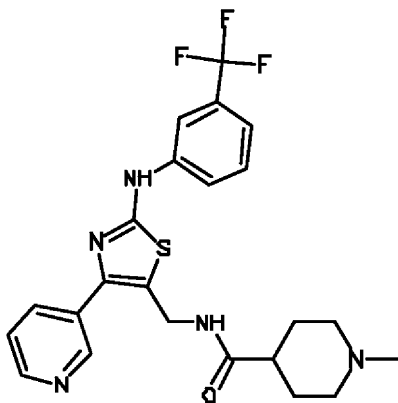
式 (5 1) N ~ 4 ~ - [2 - (3 - フルオロフェニル) エチル] - N ~ 2 ~ - [3 - (4 - メチルピペラジン - 1 - イル) プロピル] ピリド [2 , 3 - d] ピリミジン - 2 , 4 - ジアミン本明細書において「化合物 4 9」として参照される。

【 0 1 9 4 】

一実施形態では、少なくとも 1 つの他の因子は式 (5 2) の化合物である。

【 0 1 9 5 】

【化 5 2】



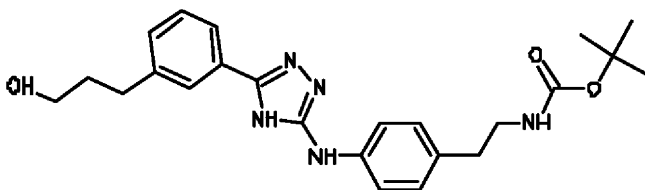
式 (5 2) 1 - メチル - N - [(4 - ピリジン - 3 - イル - 2 - { [3 - (トリフルオロメチル) フェニル] アミノ } - 1 , 3 - チアゾール - 5 - イル) メチル] ピペリジン - 4 - カルボキサミド本明細書において「化合物 5 0」として参照される。

【 0 1 9 6 】

一実施形態では、少なくとも 1 つの他の因子は式 (5 3) の化合物である。

【 0 1 9 7 】

【化 5 3】



式 (5 3) 1 , 1 - ジメチルエチル { 2 - [4 - ({ 5 - [3 - (3 - ヒドロキシプロピル) フェニル] - 4 H - 1 , 2 , 4 - トリアゾール - 3 - イル } アミノ) フェニル] エチル } カルバメート本明細書において「化合物 5 1」として参照される。

【 0 1 9 8 】

一実施形態では、少なくとも 1 つの他の因子は式 (5 4) の化合物である。

【 0 1 9 9 】

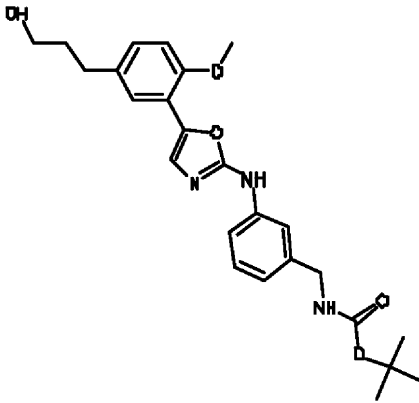
10

20

30

40

【化 5 4】



10

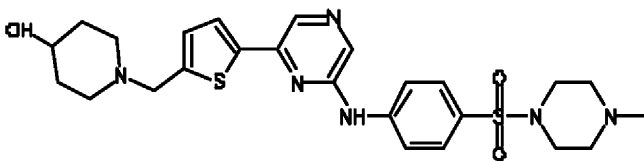
式(54)1, 1-ジメチルエチル{[3-(5-[5-(3-ヒドロキシプロピル)-2-(メチルオキシ)フェニル]-1,3-オキサゾール-2-イル]アミノ)フェニル]メチル}カルバメート本明細書において「化合物52」として参照される。

【0200】

一実施形態では、少なくとも1つの他の因子は式(55)の化合物である。

【0201】

【化 5 5】



20

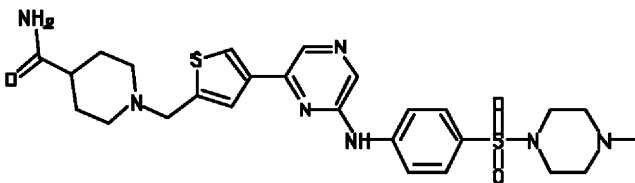
式(55)1-(5-[6-(4-[(4-メチルピペラジン-1-イル)スルホニル]フェニル]アミノ)ピラジン-2-イル]チオフェン-2-イル]メチル)ピペリジン-4-オール本明細書において「化合物53」として参照される。

【0202】

一実施形態では、少なくとも1つの他の因子は式(56)の化合物である。

【0203】

【化 5 6】



30

式(56)1-(4-[6-(4-[(4-メチルピペラジン-1-イル)スルホニル]フェニル]アミノ)ピラジン-2-イル]チオフェン-2-イル]メチル)ピペリジン-4-カルボキサミド本明細書において「化合物54」として参照される。

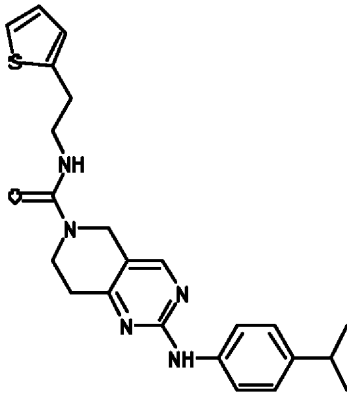
【0204】

一実施形態では、少なくとも1つの他の因子は式(57)の化合物である。

【0205】

40

【化 5 7】



10

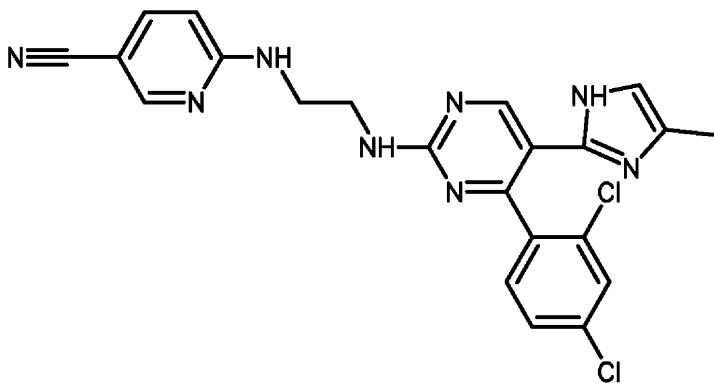
式(57) 2 - { [4 - (1 - メチルエチル) フェニル] アミノ } - N - (2 - チオフェン - 2 - イルエチル) - 7 , 8 - ジヒドロピリド [4 , 3 - d] ピリミジン - 6 (5 H) - カルボキサミド本明細書において「化合物 5 5」として参照される。

【 0 2 0 6 】

一実施形態では、少なくとも 1 つの他の因子は式(58)の化合物である。

【 0 2 0 7 】

【化 5 8】



20

式(58) 6 - [(2 - { [4 - (2 , 4 - ジクロロフェニル) - 5 - (4 - メチル - 1 H - イミダゾール - 2 - イル) ピリミジン - 2 - イル] アミノ } エチル) アミノ] ピリジン - 3 - カルボニトリル本明細書において「化合物 5 6」として参照される。

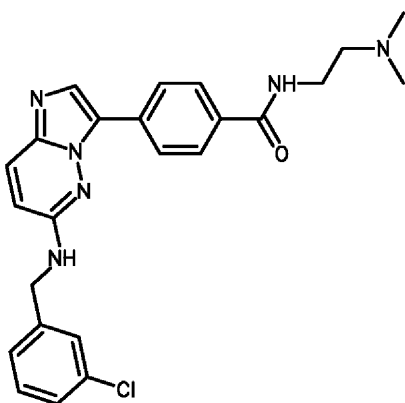
30

【 0 2 0 8 】

一実施形態では、少なくとも 1 つの他の因子は式(59)の化合物である。

【 0 2 0 9 】

【化 5 9】



40

式(59) 4 - (6 - { [(3 - クロロフェニル) メチル] アミノ } イミダゾ [1 , 2 - b] ピリダジン - 3 - イル) - N - [2 - (ジメチルアミノ) エチル] ベンズアミド本明細書において「化合物 5 7」として参照される。

50

【0210】

胚体内胚葉系に特徴的なマーカーを発現する細胞の検出

胚体内胚葉系に特徴的なマーカーを発現している細胞の形成は、以下の特定のプロトコルの前後に、マーカーの存在に関して試験することにより決定することができる。多能性幹細胞は、一般にかかるマーカーを発現しない。したがって、多能性細胞の分化は、細胞がそれらの発現を開始した際に検出される。

【0211】

分化効率は、処理した細胞集団を、胚体内胚葉系に特徴的なマーカーを発現している細胞により発現されたタンパク質マーカーを特異的に認識する薬剤（例えば、抗体等）に曝露することにより測定することができる。

10

【0212】

培養又は単離された細胞中のタンパク質及び核酸マーカーの発現を評価する方法は、当該技術分野において標準技術である。これらには、定量的逆転写ポリメラーゼ連鎖反応（RT-PCR）、ノーザンブロット法、インサイツハイブリダイゼーション（例えば、Current Protocols in Molecular Biology（Ausubelら、eds. 2001年付録）参照）、及び切片材料の免疫組織学的解析等の免疫測定法、ウェスタンブロット、及び無傷細胞内に到達出来るマーカーに関して、フローサイトメトリー解析（FACS）（例えば、Harlow及びLane、Using Antibodies: A Laboratory Manual、ニューヨーク：Cold Spring Harbor Laboratory Press（1998年）参照）が含まれる。

20

【0213】

例えば、多能性幹細胞の特徴は当業者に周知であり、多能性幹細胞の追加の特徴は、継続して同定されている。例えば、多能性幹細胞マーカーとしては、以下のうちの1つ以上の発現が挙げられる：ABCG2、cripto、FOX D3、Connexin 43、Connexin 45、OCT 4、SOX 2、Nanog、hTERT、UTF-1、ZFP 42、SSEA-3、SSEA-4、Tra 1-60又はTra 1-81。

【0214】

多能性幹細胞を本発明の方法で処理した後、処理した細胞集団を、胚体内胚葉系に特徴的なマーカーを発現している細胞により発現される、例えばCXCR 4等のタンパク質マーカーを特異的に認識する薬剤（例えば、抗体等）に曝露することにより、分化した細胞を精製することができる。

30

【0215】

臍臓内胚葉系に特徴的なマーカーを発現している細胞の形成

胚体内胚葉系に特徴的なマーカーを発現している細胞は、当該技術分野の任意の方法、又は本発明で提案する任意の方法により、臍臓内胚葉系に特徴的なマーカーを発現している細胞に分化され得る。

【0216】

例えば、胚体内胚葉系に特徴的なマーカーを発現している細胞は、D'Amourら、Nature Biotechnology 24、1392～1401（2006年）に開示されている方法に従って、臍臓内胚葉系に特徴的なマーカーを発現している細胞に分化され得る。

40

【0217】

例えば、胚体内胚葉系に特徴的なマーカーを発現している細胞は、胚体内胚葉系に特徴的なマーカーを発現している細胞を、線維芽細胞増殖因子及びヘッジホッグシグナル伝達経路阻害剤KAAD-シクロパミンで処理した後、線維芽細胞増殖因子及びKAAD-シクロパミンを含有する培地を除去し、続いて細胞をレチノイン酸、線維芽細胞増殖因子及びKAAD-シクロパミンを含有する培地中で培養することにより、臍臓内胚葉系に特徴的なマーカーを発現している細胞に更に分化させられる。この方法の例は、Nature Biotechnology 24、1392～1401（2006年）に開示されて

50

いる。

【0218】

本発明の一態様では、LifeScan, Inc. に譲渡された米国特許出願第11/736,908号に従って、胚体内胚葉系に特徴的なマーカーを発現する細胞をレチノイン酸及び少なくとも1種類の線維芽細胞増殖因子で所定の時間処理することによって、胚体内胚葉系に特徴的なマーカーを発現する細胞を臍臓内胚葉系に特徴的なマーカーを発現する細胞に更に分化させる。

【0219】

本発明の一態様では、LifeScan, Inc. に譲渡された米国特許出願第11/779,311号に従って、胚体内胚葉系に特徴的なマーカーを発現する細胞をレチノイン酸及び少なくとも1種類の線維芽細胞増殖因子で所定の時間処理することによって、胚体内胚葉系に特徴的なマーカーを発現する細胞を臍臓内胚葉系に特徴的なマーカーを発現する細胞に更に分化させる。

10

【0220】

本発明の1つの態様では、胚体内胚葉系に特徴的なマーカーを発現している細胞を米国特許出願第60/990,529号に記載の方法に従って処理することにより、臍臓内胚葉系に特徴的なマーカーを発現している細胞へと胚体内胚葉系に特徴的なマーカーを発現している細胞を更に分化させる。

【0221】

胚体内胚葉系に特徴的なマーカーを発現している細胞は、臍臓内胚葉系に特徴的なマーカーを発現している細胞の形成を促進させ得る少なくとも1つの他の追加の因子で処理されてもよい。代替的に、少なくとも1つの他の追加の因子は、本発明の方法により形成された、臍臓内胚葉系に特徴的なマーカーを発現している細胞の増殖を促進させてもよい。更に、少なくとも1つの他の追加の因子は、本発明の方法により形成された臍臓内胚葉系に特徴的なマーカーを発現している細胞の、他の細胞型を形成する能力、又は任意の他の追加の分化工程の効率を改善する能力を向上させてもよい。

20

【0222】

例えば、少なくとも1つの追加の因子は、ニコチンアミド、TGF-1、2及び3を含むTGF-ファミリーメンバー、血清アルブミン、線維芽細胞増殖因子ファミリー、血小板由来増殖因子AA及びBB、多血小板血漿、インスリン増殖因子(IGF-I、II)、増殖分化因子(例えば、GDF-5、-6、-8、-10、-11など)、グルカゴン様ペプチド-I及びII(GLP-I及びII)、GLP-1及びGLP-2 mimetobody、エキセンディン-4、レチノイン酸、副甲状腺ホルモン、インスリン、プロゲステロン、アプロチニン、ハイドロコルチゾン、エタノールアミン、メルカプトエタノール、上皮成長因子(EGF)、ガストリンI及びII、例えばトリエチレンペンタミンなどの銅キレート化剤、フォルスコリン、Na-酪酸、アクチビン、セルリン、ITS、ノギン、神経突起伸長因子、nodal、バルプロ酸、トリコスタチンA、酪酸ナトリウム、肝細胞増殖因子(HGF)、スフィンゴシン-1、VEGF、MG132(EMD, CA)、N2及びB27サプリメント類(Gibco, CA)、例えばシクロパミン(EMD, CA)などのステロイドアルカロイド、ケラチノサイト増殖因子(KGF)、Dickkopfタンパク質ファミリー、ウシ下垂体抽出物、臍島新生に關与するタンパク質(INGAP)、インディアンヘッジホッグ、ソニックヘッジホッグ、プロテアソーム阻害剤、ノッチ経路阻害剤、ソニックヘッジホッグ阻害剤又はこれらの組み合わせであり得る。

30

40

【0223】

少なくとも1つの他の追加の因子は、例えば、PANC-1(ATCC No: CRL-1469)、CAPAN-1(ATCC No: HTB-79)、BxPC-3(ATCC No: CRL-1687)、HPAF-II(ATCC No: CRL-1997)等の臍臓細胞株、例えば、HepG2(ATCC No: HTB-8065)等の肝臓細胞株、及び例えば、FHS-74(ATCC No: CCL-241)等の腸細胞株か

50

ら得られた条件培地により供給されてもよい。

【0224】

膵臓内胚葉系 (lineage) に特徴的なマーカーを発現している細胞の検出

膵臓内胚葉系に特徴的なマーカーは、当業者に周知であり、膵臓内胚葉系の特徴を示す追加のマーカーが、継続して同定されている。これらのマーカーは、本発明に従って処理された細胞が分化して膵臓内胚葉系の特徴を示す性質を獲得したことを確認するために使用され得る。膵臓内胚葉系に特異的なマーカーには、例えば、H1xb9、PTF-1a、PDX-1、HNF-6、HNF-1等の1つ以上の転写因子の発現を含む。

【0225】

分化効率は、膵臓内胚葉系に特徴的なマーカーを発現している細胞により発現されたタンパク質マーカーを特異的に認識する薬剤 (例えば、抗体等) に、処理した細胞集団を曝露することにより測定することができる。

10

【0226】

培養又は単離された細胞中のタンパク質及び核酸マーカーの発現を評価する方法は、当該技術分野にて標準的である。これらには、定量的逆転写ポリメラーゼ連鎖反応 (RT-PCR)、ノーザンブロット法、インサイツハイブリダイゼーション (例えば、Current Protocols in Molecular Biology (Ausubelら、eds. 2001年付録) 参照)、及び切片材料の免疫組織学的解析等の免疫測定法、ウェスタンブロット、及び無傷細胞内に到達出来るマーカーに関して、フローサイトメトリー分析 (FACS) (例えば、Harlow及びLane、Using Antibodies: A Laboratory Manual, New York: Cold Spring Harbor Laboratory Press (1998年) 参照) が含まれる。

20

【0227】

膵内分泌腺系のマーカーを発現している細胞の形成

膵臓内胚葉系に特徴的なマーカーを発現している細胞は、当該技術分野の任意の方法、又は本発明で提案する任意の方法により、膵内分泌系に特徴的なマーカーを発現している細胞へと分化させることができる。

【0228】

例えば、膵臓内胚葉系に特徴的なマーカーを発現している細胞は、D'Amourら、Nature Biotechnology 24、1392~1401 (2006年) に開示されている方法に従って、膵内分泌系に特徴的なマーカーを発現している細胞に分化され得る。

30

【0229】

例えば、膵臓内胚葉系に特徴的なマーカーを発現している細胞は、膵臓内胚葉系に特徴的なマーカーを発現している細胞をDAPT及びエキセンディン4を含有する培地中で培養し、次にDAPT及びエキセンディン4を含有する培地を除去し、続いて細胞をエキセンディン1、IGF-1及びHGFを含有する培地中で培養することにより、膵内分泌系に特徴的なマーカーを発現している細胞へと更に分化する。この方法の例は、Nature Biotechnology 24、1392~1401 (2006年) に開示されている。

40

【0230】

例えば、膵臓内胚葉系に特徴的なマーカーを発現している細胞は、膵臓内胚葉系に特徴的なマーカーを発現している細胞をエキセンディン4を含有する培地中で培養し、次にエキセンディン4を含有する培地を除去し、続いて細胞をエキセンディン1、IGF-1及びHGFを含有する培地中で培養することにより、膵内分泌系に特徴的なマーカーを発現している細胞へと更に分化する。この方法の例は、D'Amourら、Nature Biotechnology、2006年に開示されている。

【0231】

例えば、膵臓内胚葉系に特徴的なマーカーを発現している細胞は、膵臓内胚葉系に特徴

50

的なマーカーを発現している細胞をDAPT及びエキセンディン4を含有する培地中で培養することにより、膵内分泌系に特徴的なマーカーを発現している細胞へと更に分化する。この方法の例は、D'Amourら、Nature Biotechnology、2006年に開示されている。

【0232】

例えば、膵臓内胚葉系に特徴的なマーカーを発現している細胞は、膵臓内胚葉系に特徴的なマーカーを発現している細胞をエキセンディン4を含有する培地中で培養することにより、膵内分泌系に特徴的なマーカーを発現している細胞へと更に分化する。この方法の例は、D'Amourら、Nature Biotechnology、2006年に開示されている。

10

【0233】

本発明の一態様では、膵臓内胚葉系に特徴的なマーカーを発現している細胞を、LifeScan, Inc. に譲渡された米国特許出願第11/736,908号に開示された方法に従って、ノッチシグナル伝達経路を阻害する因子で処理することで、膵臓内胚葉系に特徴的なマーカーを発現している細胞を膵内分泌系に特徴的なマーカーを発現している細胞へと更に分化させる。

【0234】

本発明の一態様では、膵臓内胚葉系に特徴的なマーカーを発現している細胞を、LifeScan, Inc. に譲渡された米国特許出願第11/779,311号に開示された方法に従って、ノッチシグナル伝達経路を阻害する因子で処理することで、膵臓内胚葉系に特徴的なマーカーを発現している細胞を膵内分泌系に特徴的なマーカーを発現している細胞へと更に分化させる。

20

【0235】

本発明の一態様では、膵臓内胚葉系に特徴的なマーカーを発現している細胞を、LifeScan, Inc. に譲渡された米国特許出願第60/953,178号に開示された方法に従って、ノッチシグナル伝達経路を阻害する因子で処理することで、膵臓内胚葉系に特徴的なマーカーを発現している細胞を膵内分泌系に特徴的なマーカーを発現している細胞へと更に分化させる。

【0236】

本発明の一態様では、膵臓内胚葉系に特徴的なマーカーを発現している細胞を、米国特許出願第60/990,529号に開示された方法に従って処理することで、膵臓内胚葉系に特徴的なマーカーを発現している細胞を膵内分泌系に特徴的なマーカーを発現している細胞へと更に分化させる。

30

【0237】

膵臓内胚葉系に特徴的なマーカーを発現している細胞を、膵内分泌系に特徴的なマーカーを発現している細胞の形成を促進させ得る、少なくとも1つの他の追加の因子で処理してもよい。代替的に、少なくとも1つの他の追加の因子は、本発明の方法により形成された、膵内分泌系に特徴的なマーカーを発現している細胞の増殖を促進させてもよい。更に、この少なくとも1種類の更なる他の因子は、本発明の方法によって形成される、膵内分泌系に特徴的なマーカーを発現する細胞の、他の細胞種を形成する能力を増強するものであってもよく、あるいは他の任意の更なる分化段階の効率を高めるものであってもよい。

40

【0238】

少なくとも1つの追加の因子は、例えば、ニコチンアミド、TGF- α 、1、2、及び3を含むTGF- β ファミリーのメンバー、血清アルブミン、線維芽細胞増殖因子ファミリーのメンバー、血小板由来増殖因子AA及びBB、多血小板血漿、インスリン増殖因子(IGF-I、II)、増殖分化因子(例えば、GDF-5、-6、-8、-10、-11など)、グルカゴン様ペプチド-I及びII(GLP-I及びII)、GLP-1及びGLP-2 mimetobody、エキセンディン4、レチノイン酸、副甲状腺ホルモン、インスリン、プロゲステロン、アプロチニン、ヒドロコルチゾン、エタノールアミン、メルカプトエタノール、上皮増殖因子(EGF)、ガストリンI及びII、例えばトリ

50

エチレンペンタミン等の銅キレーター、フォルスコリン、酪酸Na、アクチビン、ベータセルリン、ITS、ノギン、神経突起増殖因子、nodal、バルプロ酸、トリコスタチンA、酪酸ナトリウム、肝細胞増殖因子(HGF)、スフィンゴシン-1、VEGF、M G 1 3 2 (E M D , C A)、N 2 及び B 2 7 サプリメント (G i b c o , C A)、例えばシクロパミン (E M D , C A) 等のステロイドアルカロイド、ケラチノサイト増殖因子 (K G F)、D i c k k o p f タンパク質ファミリー、ウシ下垂体抽出物、膵島新生に関連したタンパク質 (I N G A P)、インディアンヘッジホッグ、ソニックヘッジホッグ、プロテアソーム阻害剤、ノッチ経路阻害剤、ソニックヘッジホッグ阻害剤、又はそれらの組み合わせであってもよい。

【0239】

少なくとも1つの他の追加の因子は、例えば、P A N C - 1 (A T C C No : C R L - 1 4 6 9)、C A P A N - 1 (A T C C No : H T B - 7 9)、B x P C - 3 (A T C C No : C R L - 1 6 8 7)、H P A F - I I (A T C C No : C R L - 1 9 9 7) 等の膵臓細胞株、例えば、H e p G 2 (A T C C No : H T B - 8 0 6 5) 等の肝臓細胞株、及び例えば、F H s 7 4 (A T C C No : C C L - 2 4 1) 等の腸細胞株から得られた条件培地により供給されてもよい。

【0240】

膵内分泌系 (lineage) に特徴的なマーカーを発現している細胞の検出

膵内分泌系に特徴的なマーカーは当業者に周知であり、膵内分泌系の特徴を示す追加のマーカーが継続して同定されている。これらのマーカーは、本発明に従って処理された細胞が分化して膵内分泌系の特徴を示す性質を獲得したことを確認するために使用され得る。膵内分泌系に特異的なマーカーとしては、例えばNGN3、NEURO又はISL1等の転写因子の1種以上の発現が挙げられる。

【0241】

細胞系の細胞に特徴的なマーカーは当業者に周知であり、細胞系の細胞の特徴を示す追加のマーカーが継続して同定されている。これらのマーカーは、本発明に従って処理された細胞が分化して、細胞系の特徴を示す性質を獲得したことを確認するために使用することができる。細胞系に特異的な特徴としては、例えば、特にPDX1、NKX2.2、NKX6.1、ISL1、PAX6、PAX4、NEUROD、HNF1、HNF6、HNF3 又はMAFA等の転写因子の1つ以上の発現が挙げられる。これらの転写因子は、内分泌細胞の同定について当該技術分野で十分に確立されている。例えば、Edlund (Nature Reviews genetics 3 : 5 2 4 ~ 6 3 2 (2 0 0 2 年)) を参照されたい。

【0242】

分化効率は、膵内分泌系に特徴的なマーカーを発現している細胞により発現されたタンパク質マーカーを特異的に認識する薬剤 (例えば、抗体等) に、被処理細胞集団を曝露することにより測定することができる。あるいは分化効率は、細胞系に特徴的なマーカーを発現している細胞により発現されたタンパク質マーカーを特異的に認識する薬剤 (例えば、抗体等) に、被処理細胞集団を曝露することにより測定することができる。

【0243】

培養又は単離された細胞中のタンパク質及び核酸マーカーの発現を評価する方法は、当該技術分野において標準技術である。これらには、定量的逆転写ポリメラーゼ連鎖反応 (RT - PCR)、ノーザンブロット法、インサイツハイブリダイゼーション (例えば、Current Protocols in Molecular Biology (Ausubelら、eds. 2001年付録) 参照)、及び切片材料の免疫組織学的解析等の免疫測定法、ウェスタンブロット、及び無傷細胞内に到達出来るマーカーに関して、フローサイトメトリー分析 (FACS) (例えば、Harlow及びLane、Using Antibodies : A Laboratory Manual , New York : Cold Spring Harbor Laboratory Press (1998年) 参照) が含まれる。

10

20

30

40

50

【 0 2 4 4 】

本発明の一態様では、分化効率は、処理後の所定の細胞培養物中のインスリン陽性細胞の百分率を測定することによって求められる。一実施形態では、本発明の方法は、所定の培養物中で約 1 0 0 % のインスリン陽性細胞を生成する。別の実施形態では、本発明の方法は、所定の培養物中で約 9 0 % のインスリン陽性細胞を生成する。別の実施形態では、本発明の方法は、所定の培養物中で約 8 0 % のインスリン陽性細胞を生成する。別の実施形態では、本発明の方法は、所定の培養物中で約 7 0 % のインスリン陽性細胞を生成する。別の実施形態では、本発明の方法は、所定の培養物中で約 6 0 % のインスリン陽性細胞を生成する。別の実施形態では、本発明の方法は、所定の培養物中で約 5 0 % のインスリン陽性細胞を生成する。別の実施形態では、本発明の方法は、所定の培養物中で約 4 0 % のインスリン陽性細胞を生成する。別の実施形態では、本発明の方法は、所定の培養物中で約 3 0 % のインスリン陽性細胞を生成する。別の実施形態では、本発明の方法は、所定の培養物中で約 2 0 % のインスリン陽性細胞を生成する。別の実施形態では、本発明の方法は、所定の培養物中で約 1 0 % のインスリン陽性細胞を生成する。別の実施形態では、本発明の方法は、所定の培養物中で約 5 % のインスリン陽性細胞を生成する。

10

【 0 2 4 5 】

本発明の一態様では、分化効率は、グルコース刺激によるインスリン分泌を、細胞が放出する C - ペプチドの量を測定することで検出し、測定することにより求められる。一実施形態では、本発明の方法により生成される細胞は、DNA 1 p g 当たり約 1 0 0 0 n g の C - ペプチドを産生する。別の実施形態では、本発明の方法により生成される細胞は、DNA 1 p g 当たり約 9 0 0 n g の C - ペプチドを産生する。別の実施形態では、本発明の方法により生成される細胞は、DNA 1 p g 当たり約 8 0 0 n g の C - ペプチドを産生する。別の実施形態では、本発明の方法により生成される細胞は、DNA 1 p g 当たり約 7 0 0 n g の C - ペプチドを産生する。別の実施形態では、本発明の方法により生成される細胞は、DNA 1 p g 当たり約 6 0 0 n g の C - ペプチドを産生する。別の実施形態では、本発明の方法により生成される細胞は、DNA 1 p g 当たり約 5 0 0 n g の C - ペプチドを産生する。別の実施形態では、本発明の方法により生成される細胞は、DNA 1 p g 当たり約 4 0 0 n g の C - ペプチドを産生する。別の実施形態では、本発明の方法により生成される細胞は、DNA 1 p g 当たり約 5 0 0 n g の C - ペプチドを産生する。別の実施形態では、本発明の方法により生成される細胞は、DNA 1 p g 当たり約 4 0 0 n g の C - ペプチドを産生する。別の実施形態では、本発明の方法により生成される細胞は、DNA 1 p g 当たり約 3 0 0 n g の C - ペプチドを産生する。別の実施形態では、本発明の方法により生成される細胞は、DNA 1 p g 当たり約 2 0 0 n g の C - ペプチドを産生する。別の実施形態では、本発明の方法により生成される細胞は、DNA 1 p g 当たり約 1 0 0 n g の C - ペプチドを産生する。別の実施形態では、本発明の方法により生成される細胞は、DNA 1 p g 当たり約 9 0 n g の C - ペプチドを産生する。別の実施形態では、本発明の方法により生成される細胞は、DNA 1 p g 当たり約 8 0 n g の C - ペプチドを産生する。別の実施形態では、本発明の方法により生成される細胞は、DNA 1 p g 当たり約 7 0 n g の C - ペプチドを産生する。別の実施形態では、本発明の方法により生成される細胞は、DNA 1 p g 当たり約 6 0 n g の C - ペプチドを産生する。別の実施形態では、本発明の方法により生成される細胞は、DNA 1 p g 当たり約 5 0 n g の C - ペプチドを産生する。別の実施形態では、本発明の方法により生成される細胞は、DNA 1 p g 当たり約 4 0 n g の C - ペプチドを産生する。別の実施形態では、本発明の方法により生成される細胞は、DNA 1 p g 当たり約 3 0 n g の C - ペプチドを産生する。別の実施形態では、本発明の方法により生成される細胞は、DNA 1 p g 当たり約 2 0 n g の C - ペプチドを産生する。別の実施形態では、本発明の方法により生成される細胞は、DNA 1 p g 当たり約 1 0 n g の C - ペプチドを産生する。

20

30

40

【 0 2 4 6 】

治療

50

一態様では、本発明は、1型糖尿病に罹患しているかあるいは1型糖尿病を発症するリスクを有する患者を治療する方法を提供する。本方法は、多能性幹細胞を培養し、多能性幹細胞をインビトロで細胞系に分化させ、細胞系の細胞を患者に移植することを含む。

【0247】

更に別の態様においては、本発明は、2型糖尿病に罹患しているかあるいは2型糖尿病を発症するリスクを有する患者を治療する方法を提供する。本方法は、多能性幹細胞を培養し、培養した多能性幹細胞をインビトロで細胞系に分化させ、細胞系の細胞を患者に埋め込むことを含む。

【0248】

適切であるならば、移植した細胞の生存及び機能を亢進する医薬品又は生理活性物質で患者を更に処置してもよい。これらの薬剤は、例えば特に、インスリン、TGF- α 、 β 、及び γ を含むTGF-ファミリーのメンバー、骨形成タンパク質(BMP-2、-3、-4、-5、-6、-7、-11、-12、及び-13)、線維芽細胞増殖因子1及び2、血小板由来増殖因子AA及びBB、多血小板血漿、インスリン増殖因子(IGF-I、II)、増殖分化因子(例えば、GDF-5、-6、-7、-8、-10、-15など)、血管内皮由来増殖因子(VEGF)、プレイオトロフィン、エンドセリンを含んでもよい。他の医薬化合物としては、例えば、ニコチンアミド、グルカゴン様ペプチド-I(GLP-1)及びII、GLP-1及び2疑似体、エキセンディン4、レチノイン酸、副甲状腺ホルモン、MAPK阻害剤、例えば、米国特許出願公開第2004/0209901号及び同第2004/0132729号に開示されている化合物等の化合物が挙げられる。

【0249】

多能性幹細胞は、レシピエントに移植する前にインスリン産生細胞に分化させてもよい。具体的な実施形態では、多能性幹細胞は、レシピエントに移植する前に細胞へと完全に分化させる。あるいは多能性幹細胞は、未分化又は一部が分化した状態でレシピエントに移植してもよい。更なる分化はレシピエント内で行われ得る。

【0250】

胚体内胚葉細胞、又は代替的には脾臓内胚葉細胞、又は代替的には細胞を、分散した細胞として埋め込んでもよく、又は肝門静脈内に注入され得るクラスターとして編成してもよい。あるいは細胞は、生体適合性の分解性ポリマー支持体、多孔性の非分解性デバイス内に提供されてもよく、又は宿主免疫応答から保護されるよう封入されてもよい。細胞は、レシピエント内の適切な部位内に埋め込まれてもよい。埋め込み部位としては、例えば肝臓、天然の脾臓、腎被膜下空間、網、腹膜、漿膜下空間、腸、胃、又は皮下ポケットが挙げられる。

【0251】

埋め込まれた細胞の更なる分化、生存又は活性を向上するために、増殖因子、抗酸化剤又は抗炎症剤等の追加の因子を、細胞の投与前に、投与と同時に、又は投与後に投与してもよい。所定の実施形態において、増殖因子は、インビボで、投与された細胞を分化させるよう使用される。これらの因子は、内在性細胞により分泌され、投与された細胞にその場で(in situ)で曝露されてもよい。埋め込まれた細胞には、当該技術分野で公知の内因性の及び外因性の増殖因子の任意の組み合わせにより、分化を誘発させることもできる。

【0252】

埋め込みに使用する細胞の量は、患者の状態及び治療に対する応答を含む、多数の様々な要因に基づいて当業者により決定され得る。

【0253】

一態様では、本発明は糖尿病に罹患しているかあるいは糖尿病を発症するリスクを有する患者を治療する方法を提供する。本方法は、多能性幹細胞を培養し、培養した多能性幹細胞をインビトロで細胞系に分化させ、この細胞系を3次元支持体に埋め込むことを

10

20

30

40

50

含む。細胞は、患者に埋め込む前に、インビトロでこの支持体上に維持してもよい。あるいは細胞を含む支持体を、インビトロで更に培養することなく直接患者に埋め込んでもよい。支持体は、場合により、埋め込まれた細胞の生存及び機能を亢進する少なくとも1つの医薬品を組み込んでもよい。

【0254】

本発明の目的のために使用するのに好適な支持体材料は、組織修復に有用な組織鋳型、導管、バリア及び貯蔵所を含む。より詳細には、発泡体、スポンジ、ゲル、ヒドロゲル、織物、及び不織構造の形態を有する合成及び天然材料であって、インビトロ及びインビボで使用されて、生物組織を再構築又は再生し、また走化性薬剤を送達して組織増殖を誘発する材料が、本発明の方法の実施における使用に適切である。例えば、米国特許第5,770,417号、米国特許第6,022,743号、米国特許第5,567,612号、米国特許第5,759,830号、米国特許第6,626,950号、米国特許第6,534,084号、米国特許第6,306,424号、米国特許第6,365,149号、米国特許第6,599,323号、米国特許第6,656,488号、米国特許出願公開第2004/0062753A1号、米国特許第4,557,264号及び米国特許第6,333,029号に開示されている材料を参照されたい。

10

【0255】

支持体を形成するのに先立ち、薬剤をポリマー溶液と混合することで、医薬品が組み込まれた支持体を形成することもできる。あるいは加工された支持体上に、医薬品を好ましくは医薬担体の存在下で被覆してもよい。医薬品は、液体、超微粒子状固体、又は任意の他の適切な物理的形態として存在し得る。あるいは医薬品の放出速度を変更するために、支持体に賦形剤を加えてもよい。別の実施形態では、抗炎症性化合物である少なくとも1種の医薬化合物、例えば米国特許第6,509,369号に開示される化合物を支持体に組み込む。

20

【0256】

支持体には、抗アポトーシス化合物である少なくとも1種の医薬化合物、例えば米国特許第6,793,945号に開示されている化合物を組み込んでもよい。

【0257】

支持体には、線維症阻害剤である少なくとも1種の医薬化合物、例えば米国特許第6,331,298号に開示されている化合物も組み込まれ得る。

30

【0258】

支持体には、血管新生を促進させることができる少なくとも1種の医薬化合物、例えば米国特許出願公開第2004/0220393号及び同第2004/0209901号に開示されている化合物も組み込まれ得る。

【0259】

支持体には、免疫抑制化合物である少なくとも1種の医薬化合物、例えば、米国特許出願公開第2004/0171623号に開示されている化合物も組み込まれ得る。

【0260】

支持体には、例えば特にTGF- α 、1、2、及び3を含むTGF- β ファミリーのメンバー、骨形成タンパク質(BMP-2、-3、-4、-5、-6、-7、-11、-12、及び-13)、線維芽細胞増殖因子1及び2、血小板由来増殖因子AA及びBB、多血小板血漿、インスリン増殖因子(IGF-I、II)、増殖分化因子(例えば、GDF-5、-6、-7、-8、-10、-15など)、血管内皮由来増殖因子(VEGF)、プレイオトロフィン、エンドセリン等の増殖因子である、少なくとも1種の医薬化合物も組み込まれ得る。他の医薬化合物は、例えばニコチンアミド、低酸素誘導因子1- α 、グルカゴン様ペプチド-I(GLP-I)、GLP-1及びGLP-2疑似体、並びにII、エキセンディン4、nodal、ノギン、NGF、レチノイン酸、副甲状腺ホルモン、テネシシン-C、トロポエラスチン、トロニン由来ペプチド、カテリシジン、デフェンシン、ラミニン、フィブロネクチン及びビトロネクチン等の接着性細胞外マトリックスタンパク質の細胞-及びヘパリン-結合ドメインを含む生物ペプチド、例えば米国特許出願公

40

50

開第2004/0209901号及び米国特許出願公開第2004/0132729号に開示されている化合物等のMAPK阻害剤を含んでもよい。

【0261】

スキャフォールド内への本発明の細胞の組み込みは、細胞をスキャフォールド上に単に沈着させることにより達成できる。細胞は、単純拡散によりスキャフォールド内に入れることができる(J. Pediatr. Surg. 23(1 Pt 2):3~9(1988年))。細胞播種の効率を向上させるために、いくつかの他の手法が開発されている。例えば、軟骨細胞をポリグリコール酸スキャフォールド上に播種する際に、スピナーフラスコが使用されている(Biotechnol. Prog. 14(2):193~202(1998))。細胞播種のための他の手法は遠心法の使用であり、これは播種する細胞に与えるストレスを最小にし、かつ播種効率を高める。例えば、Yangらは、Centrifugational Cell Immobilization(CCI)と称される細胞播種方法(J. Biomed. Mater. Res. 55(3):379~86頁(2001年))を開発した。

10

【0262】

以下の実施例により本発明を更に例示するが、本発明はこれらの実施例により限定されるものではない。

【実施例】

【0263】

開示を明確にするために、本発明の詳細な説明を、限定を目的とすることなく、本発明の特定の特徴、実施形態、又は応用を、説明又は図示した以下の小項目に分ける。

20

【0264】

(実施例1)

ヒト胚性幹細胞の培養

ヒト胚性幹細胞株H1、H7、及びH9をWiCell Research Institute, Inc. (Madison, WI)から得て、供給元の研究所により提供された取扱説明書に従って培養した。また、growth factor-reduced MATRIGEL(商標)(BD Biosciences; Cat # 356231)を1:30希釈してコートしたプレート上にヒト胚性幹細胞を播種し、8ng/mLのbFGF(R&D Systems; Cat # 233-FB)を添加したMEF馴化培地中で培養した。MATRIGEL(商標)上で培養した細胞は、コラゲナーゼIV(Invitrogen/GIBCO; Cat # 17104-019)、ディスパーゼ(Invitrogen; Cat # 17105-041)又はリベラーゼCI酵素(Roche; Cat # 11814435001)を用いてクラスターとしてルーチン的に継代した。場合によっては細胞はACCUTASE(Sigma; Cat # A6964)を用いて単細胞として継代した。

30

【0265】

これらの実施例で使用したヒト胚性幹細胞は、平均して4日ごとに継代して、未分化な多能性状態に維持した。継代は、細胞培養物をコラゲナーゼ溶液(1又は10mg/mL; Sigma-Aldrich)に37℃で10~30分間曝露して、続いてピペットチップで穏やかにかき取り、細胞クラスターを回収することにより実施した。クラスターは重力により沈降させ、洗浄して残留コラゲナーゼを除去した。細胞クラスターは、ルーチン的な維持培養については1:3比で、あるいはその後のアッセイについては1:1比で継代した。全てのヒトES細胞株は50未満の継代数で維持し、正常な核表現型について及びマイコプラズマ汚染の非存在について、ルーチン的に評価した。

40

【0266】

(実施例2)

胚体内胚葉系に特徴的なマーカーを発現している細胞の形成についてのバイオアッセイ
アクチビンAは、胚体内胚葉への胚性幹細胞の分化も含む、広範な細胞型における分化の重要なメディエーターである。アクチビンAとWnt3aとの混合物でヒト胚性幹細胞

50

を処理した場合、胚体内胚葉に代表的な様々な遺伝子の発現が増加する。このヒト胚性幹細胞の分化を測定するバイオアッセイは、スクリーニングのために96ウェルプレートへと小型化させたフォーマットに適応させた。検証は、市販のアクチビンA組み換えタンパク質及びWnt3a組み換えタンパク質で処理し、胚体内胚葉の代表的なマーカーであると考えられる転写因子SOX17のタンパク質発現を測定することで実施した。

【0267】

細胞生存率アッセイ：簡潔に述べると、H1ヒト胚性幹細胞のクラスターを、growth factor-reduced MATRIGEL（商標）（Invitrogen；Cat # 356231）をコートした組織培養プラスチック上で増殖させた。細胞を、コラゲナーゼ（Invitrogen；Cat # 17104-019）処理及び穏やかな搔爬により継代し、洗浄して残留酵素を除去し、growth factor-reduced MATRIGEL（商標）をコートした96ウェルブラックプレート（Packard ViewPlates；Perkin Elmer；Cat # 6005182）上に1：1（表面積）比で蒔いた。細胞をクラスター様に付着させ、次いで8ng/mLのbFGF（R&D Systems；Cat # 233-FB）を添加したマウス胚性線維芽細胞（MEF）馴化培地を毎日1ウェルあたり100μL供給しながら1～3日経過させ、対数増殖期を回復させた。

10

【0268】

アッセイは、各プレートのウェルをPBS（Invitrogen；Cat # 14190）で2回洗浄することにより開始し、続いて、試験サンプルを含有しているDMEM：F12基本培地（Invitrogen；Cat # 11330-032）のアリコート（100μL）を各ウェルへと加えた。試験サンプルを含む各ウェルから一日おきに培地を吸引し及び交換して培地を供給しながら、三つ組複製で、全部で4日間のアッセイ期間にわたる試験条件を実施した。アッセイの初日及び二日目では、試験サンプルは0.5% FCS（HyClone；Cat # SH30070.03）と20ng/mLのWnt3a（R&D Systems；Cat # 1324-WN）とを含有するDMEM：F12に希釈してアッセイウェルに加えた。アッセイの三日目及び四日目では、アッセイウェルに加える試験サンプルは、2% FCSは含有するがWnt3aは不含のDMEM：F12に希釈した。ヒト組換えアクチビンA（PeproTech；Cat # 120-14）からなる陽性対照サンプルを、1日目と二日目にはWnt3a（20ng/mL）を加えて、アッセイを通して100ng/mLの濃度で加えた。陰性対照サンプルでは、アクチビンA及びWnt3aのどちらの処理も省いた。

20

30

【0269】

ハイコンテンツな解析：4日間の培養の最後に、アッセイプレートをPBS（Invitrogen；Cat # 14190）で2回洗浄し、4%パラホルムアルデヒド（Alexis Biochemical；Cat # ALX-350-011）で室温で20分間にわたって固定し、次いでPBSで3回洗浄し、0.5% Triton X-100（Sigma；Cat # T8760-2）で室温で20分間にわたって透過処理した。細胞を再度PBSで3回洗浄し、4%ニワトリ血清（Invitrogen；Cat # 16110082）のPBS溶液で、室温で30分間にわたってブロッキング処理した。一次抗体（ヤギ抗ヒトSOX17；R&D Systems；Cat # AF1924）を4%ニワトリ血清に1：100で希釈し、室温で1時間各ウェルに加えた。Alexa Fluor 488を結合させた二次抗体（ニワトリ抗ヤギIgG；Molecular Probes；Cat # AZ1467）をPBSに1：200で希釈し、PBSで3回洗浄したあとの各サンプルウェルに加えた。核を対比染色するために、4μg/mL Hoechst 33342（Invitrogen；Cat # H3570）を室温で10分間にわたって添加した。プレートをPBSで1回洗浄し、撮像のために100μL/ウェルのPBSで残した。

40

【0270】

Hoechst 33342とAlexa Fluor 488とで染色した細胞用に

50

51008bsダイクロイックを利用して、IN Cell Analyzer 1000 (GE Healthcare)を用いて撮像を実施した。曝露時間は陽性対照ウェル及び二次抗体単独で染色した未処理陰性対照ウェルから最適化した。1ウェルあたり15視野の撮像を得て、バイオアッセイ及び続く染色手順の間の任意の細胞ロスを補正した。IN Cell Developer Toolbox 1.7 (GE Healthcare)ソフトウェアを用いて総細胞数及び総SOX17強度についての測定値を各ウェルから得た。核の分裂は、グレースケールレベル(ベースライン範囲100~300)と核の大きさに基づいて判定した。各複製データセットについて平均及び標準偏差を算出した。総SOX17タンパク質発現は、細胞面積によって乗じた細胞の総蛍光値として定義される総強度又は積分強度として記録した。バックグラウンドは、200~3500の間のグレースケール範囲の許容基準に基づいて除去した。総強度データは、各ウェルについての総強度を陽性対照についての平均総強度で除することにより正規化した。各複製セットについて、平均及び標準偏差用に正規化データを算出した。

10

20

30

40

50

【0271】

図1は、アクチビンAの市販品(Peprotech)の2倍段階希釈曲線を試験し、細胞数(図1A)とSOX17強度(図1B)の両方を測定したスクリーニングアッセイについての検証を示す。SOX17発現誘導についてのアクチビンAの最適な効果は、概して100~200 ng/mLの範囲で観察され、EC₅₀は30~50 ng/mLの範囲であった。アッセイの1日目と2日目の処理からWnt3aを除去すると、測定可能なSOX17発現(図1B、白色バー)を生じさせることはできなかった。アクチビンAの非存在も同様に、SOX17発現を生じさせることはできなかった(図1B)。

【0272】

(実施例3)

一次スクリーニング：アクチビンA非存在下での、胚体内胚葉系に特徴的なマーカーを発現している細胞へのヒト胚性幹細胞の分化に対する、本発明の化合物の効果

胚体内胚葉系に特徴的なマーカーを発現している細胞への多能性幹細胞の分化は、一連の受容体-リガンド相互作用と、それに続く、最終的に特異的な標的遺伝子の発現を制御するような下流基質のリン酸化と核転写とを導く受容体キナーゼの活性化によって媒介される。一部の細胞型では、これらのシグナルカスケードの最適な活性化には、対立するデフォルト経路に対する阻害を必要とする場合がある。他の場合では、より大きなキナーゼファミリーの代替的なメンバーを含む重複する経路は、部分的に1つ以上のシグナル分子の代わりとなる場合がある。他の場合では、カノニカル及び非カノニカル経路は異なる開始刺激により分岐し得る一方、同様の機能的結果をもたらす場合がある。

【0273】

細胞に基づく機能スクリーニングは新規の標的を同定するための1つのアプローチであり、かつ特異的な細胞応答に影響を与え得る方法である。1つの非常に強力なアプローチは一連の繰り返しのスクリーニングを含み、それにより、あるスクリーニングからのリード化合物又はヒット化合物が後続のスクリーニングへと組み込まれる。あるいは一連の異なる可変要素をコンビナトリアルなやり方で一体化して(例えば、キナーゼ阻害剤を備えた増殖因子)、細胞分化に対する新規の効果を同定する。この場合、アニリン-ピリジノトリアジン、環式アニリン-ピリジノトリアジン、及びこれらの合成における、中間体、を含む低分子のライブラリは、ヒト胚性幹細胞の胚体内胚葉分化時に重要な特性について試験され、特に低血清下でかつ増殖因子アクチビンAの非存在下での「最初の」分化工程の終了時に細胞数を保持又は増加させる効果について試験された。

【0274】

スクリーニングアッセイ

細胞アッセイ播種：簡潔に述べると、H1ヒト胚性幹細胞のクラスターを、growth factor-reduced MATRIGEL(商標)(Invitrogen; Cat # 356231)をコートした組織培養プラスチック上で増殖させた。細胞を、コラゲナーゼ(Invitrogen; Cat # 17104-019)処理及び

穏やかな搔爬により継代し、洗浄して残留酵素を除去し、growth factor-reduced MATRIGEL (商標) を $100\mu\text{L}$ / ウェル用量使用してコートした96ウェルブラックプレート (Packard ViewPlates; Perkin Elmer; Cat # 6005182) 上に均一に分散させて1:1 (表面積) 比で蒔いた。細胞をクラスター様に付着させ、次いで 8 ng/mL のbFGF (R&D Systems; Cat # 233-FB) を添加したMEF馴化培地を毎日供給しながら1~3日経過させ、対数増殖期を回復させた。アッセイの持続時間の間、プレートは加湿したボックス中に37、5% CO_2 で維持した。

【0275】

化合物の調製及びアッセイ：被試験化合物は、5 mM原液として96ウェルプレートフォーマットで利用できるように作製し、100% DMSO (Sigma; Cat # D2650) 中に溶解させて、-80 で保存した。ライブラリ化合物は更に、20% DMSO含有50 mM HEPES (Invitrogen; Cat # 15630-080) で0.2 mMの中間濃度へと希釈して、4 で保存した。試験条件は3つ組複製で実施し、4日間のアッセイ期間にわたって隔日で培地を供給した。各ウェルから培養培地を吸引し、続いてPBS (Invitrogen; Cat # 14190) で3回洗浄して残留増殖因子及び血清を除去することで、一次スクリーニングアッセイを開始した。0.5% FCS (HyClone; Cat # SH30070.03) 及び 20 ng/mL のWnt3a (R&D Systems; Cat # 1324-WN) に加えて2.5 μM 試験化合物を添加したDMEM:F12基本培地 (Invitrogen; Cat # 11330-032) を、アッセイの初日に1ウェルあたり $200\mu\text{L}$ の試験量で加えた。アッセイの3日目には、2% FCSに加えて2.5 μM 試験化合物を添加した、Wnt3aは不含のDMEM:F12基本培地を、1ウェルあたり $200\mu\text{L}$ の試験量で加えた。陽性対照サンプルには、FCSを添加し、試験化合物は 100 ng/mL ヒト組換えアクチビンA (Peprotech; Cat # 120-14) に置き換えた同様の基本培地を含有させ、Wnt3a (20 ng/mL) を4日間のアッセイを通して1日目と2日目のみに加えた。陰性対照サンプルには、FCSを添加したDMEM:F12基本培地を含有させ、1日目と2日目にはWnt3aを加えたが、アクチビンAは除いた。

【0276】

ハイコンテンツな解析：4日間の培養の最後に、アッセイプレートをPBS (Invitrogen; Cat # 14190) で2回洗浄し、4%パラホルムアルデヒド (Alexis Biochemical; Cat # ALX-350-011) で室温で20分間にわたって固定し、次いでPBSで3回洗浄し、0.5% Triton X-100 (Sigma; Cat # T8760-2) で室温で20分間にわたって透過処理した。細胞を再度PBSで3回洗浄し、4%ニワトリ血清 (Invitrogen; Cat # 16110082) のPBS溶液で、室温で30分間にわたってブロッキング処理した。一次抗体 (ヤギ抗ヒトSOX17; R&D Systems; Cat # AF1924) を4%ニワトリ血清に1:100で希釈し、各ウェルに加え室温で1時間置いた。Alexa Fluor 488を結合させた二次抗体 (ニワトリ抗ヤギIgG; Molecular Probes; Cat # AZ1467) をPBSに1:200で希釈し、PBSで3回洗浄したあとの各サンプルウェルに加えた。核を対比染色するために、 $4\mu\text{g/mL}$ Hoechst 33342 (Invitrogen; Cat # H3570) を室温で10分間にわたって添加した。プレートをPBSで1回洗浄し、撮像のために $100\mu\text{L}$ / ウェルのPBSで残した。

【0277】

Hoechst 33342とAlexa Fluor 488とで染色した細胞用に51008bs dichroicを利用して、IN Cell Analyzer 1000 (GE Healthcare) を用いて撮像を実施した。曝露時間は陽性対照ウェル及び二次抗体単独で染色した未処理陰性対照ウェルから最適化した。1ウェルあたり

15 視野の撮像を得て、バイオアッセイ及び続く染色手順の間の任意の細胞ロスを補正した。IN Cell Developer Toolbox 1.7 (GE Healthcare) ソフトウェアを用いて総細胞数及び総 SOX17 強度についての測定値を各ウェルから得た。グレースケールレベル (ベースライン範囲 100 ~ 300) と核の大きさに基づいて判定した。各複製データセットについて平均及び標準偏差を算出した。総 SOX17 タンパク質発現は、細胞面積によって乗じた細胞の総蛍光値として定義される総強度又は積分強度として記録した。バックグラウンドは、200 ~ 3500 の間のグレースケール範囲の許容基準に基づいて除去した。総強度データは、各ウェルについての総強度を陽性対照についての平均総強度で除することにより正規化した。各複製セットについて、平均及び標準偏差用に正規化データを算出した。

10

【0278】

表1は、被試験化合物の一次スクリーニングの結果を示し、被試験化合物が、アクチビンA非存在下で、胚体内胚葉系に特徴的なマーカーを発現している細胞へのヒト胚性幹細胞の分化に対してもたらす効果を示す。結果は細胞数及びSOX17強度の両方の定量的尺度を含み、ここで各データ点を、3つ組複製ウェルから平均し、及び各ウェルで同一視野を用いて各パラメータについて解析した。転写因子SOX17の発現は、胚体内胚葉分化の指標になると考えられる。一次スクリーニングの結果は96ウェルスクリーニングプレートから収集された。プレート間のばらつきは、各プレート上のそれぞれの陽性対照及び陰性対照の含有物に基づいて低減させた。結果は正規化して、陽性対照の百分率として表わす。アッセイ終了時の細胞数の保持又は増幅に注目した。

20

【0279】

表2には、27種の化合物のサブセットと、一次スクリーニングから得られたそれらの解析結果を記載する。スクリーニングアッセイ中にはアクチビンAが非存在であるにも関わらず、これらのヒット化合物は細胞数を陽性対照と同レベルで保持するか、あるいは陽性対照よりも良好なレベルを保持するように見えた。

【0280】

場合によっては、アクチビンAの非存在下でSOX17発現が誘導された (例えば、環式アニリン-ピリジノトリアジン化合物35及び化合物22)。

【0281】

表2に示される化合物は、アクチビンA非存在下での胚体内胚葉系に特徴的なマーカーを発現している細胞へのヒト胚性幹細胞の分化に対してもたらす効果を更に評価するために選択された。

30

【0282】

(実施例4)

二次スクリーニング：アクチビンA非存在下での、EGF / FGF4による胚体内胚葉系に特徴的なマーカーを発現している細胞へのヒト胚性幹細胞の分化に対する、本発明の化合物の効果

アクチビンAについての用量設定曲線は、Wnt3aが一定量である場合、DE分化時に少なくとも2つの効果：1)細胞数の維持又は細胞ロスの防止；と、2)DEマーカー例えば、SOX17発現 (実施例2) の誘導と、を示した。実施例3からの一次スクリーニングは、アクチビンA / Wnt3aの単独での添加と比較して、アッセイにおいて細胞数を同様に維持するか、あるいは細胞数を改善し得る化合物を同定した。胚体内胚葉の発生に対する、同定された化合物と他の増殖因子、特にEGF及びFGF4との組み合わせ効果を評価するために、二次スクリーニングアッセイを実施した。

40

【0283】

細胞アッセイ播種：H1ヒト胚性幹細胞のクラスターを、growth factor-reduced MATRIGEL (商標) (Invitrogen; Cat # 356231) をコートした組織培養プラスチック上で増殖させた。細胞を、コラゲナーゼ (Invitrogen; Cat # Cat # 17104-019) 処理及び穏やかな搔爬により継代し、洗浄して残留酵素を除去し、growth factor-re

50

duced MATRIGEL (商標) を $100 \mu\text{L}$ / ウェル用量使用してコートした 96 ウェルブラックプレート (Packard View Plates; Perkin Elmer; Cat # 6005182) 上に均一に分散させて 1:1 (表面積) 比で蒔いた。細胞をクラスター様に付着させ、次いで 8 ng/mL の bFGF (R&D Systems; Cat # 233-FB) を添加した MEF 馴化培地を毎日供給しながら 1~3 日経過させ、対数増殖期を回復させた。アッセイの持続時間の間、プレートは加湿したボックス中に 37°C 、 $5\% \text{ CO}_2$ で維持した。

【0284】

化合物及び増殖因子の調製: EGF (R&D Systems; Cat # 236-EG) 及び FGF4 (R&D Systems; Cat # 235-F4) の原液濃度は 250 ng/mL であり、それぞれ $0.1\% \text{ BSA}$ (Sigma; Cat # A7888) 添加 PBS に溶解させた。化合物は、96 ウェルプレートフォーマットで 5 mM 原液として利用可能であり、 $100\% \text{ DMSO}$ (Sigma; Cat # D2650) 中に溶解させて、 -80°C で保存した。化合物は更に、 $20\% \text{ DMSO}$ 含有 50 mM HEPES (Invitrogen; Cat # 15630-080) で 0.2 mM の中間濃度へと希釈して、 4°C で保存した。全ての増殖因子及び阻害物質は 96 ウェルポリプロピレンプレートのディープウェル中に調製し、アッセイの開始時に DMEM:F12 基本培地で $5 \times$ 中間原液へと希釈し、 4°C で保存した。

【0285】

3 つ組複製で試験し、4 日間のアッセイ時間枠にわたって隔日で培地を供給しながら、二次スクリーニングアッセイを実施した。各ウェルから培養培地を吸引し、続いて PBS で 3 回洗浄して残留増殖因子及び血清を除去することで、アッセイを開始した。 $0.625\% \text{ FCS}$ (HyClone; Cat # SH30070.03)、 25 ng/mL の Wnt3a (R&D Systems)、及び $3.125 \mu\text{M}$ 化合物に加えて $20 \mu\text{L}$ $5 \times$ 増殖因子原液を添加した DMEM:F12 基本培地 (Invitrogen; Cat # 11330-032) を、1 ウェルあたり $80 \mu\text{L}$ の試験量に加え、アッセイにおける最終濃度 ($0.5\% \text{ FCS}$ 、 20 ng/mL の Wnt3a、及び $2.5 \mu\text{M}$ の化合物に加えて 50 ng/mL の EGF 及び 50 ng/mL の FGF4) を得た。陽性対照ウェル ($100 \mu\text{L}$ / ウェル) には、 $0.5\% \text{ FCS}$ 、 20 ng/mL の Wnt3a 及び 100 ng/mL のアクチビン A を添加した同様の基本培地を含有させた。陰性対照ウェル ($100 \mu\text{L}$ / ウェル) には、 $0.5\% \text{ FCS}$ 、 20 ng/mL の Wnt3a を添加した、アクチビン A は不含の同様の基本培地を含有させた。

【0286】

3 日目にウェルを吸引し、 $2.5\% \text{ FCS}$ (HyClone) 及び $3.125 \mu\text{M}$ 化合物に加えて $20 \mu\text{L}$ $5 \times$ 増殖因子原液を添加した DMEM:F12 基本培地を 1 ウェルあたりに $80 \mu\text{L}$ 加え、アッセイにおける最終濃度 ($2\% \text{ FCS}$ 及び $2.5 \mu\text{M}$ の化合物 (Wnt3a は不含) に加えて 50 ng/mL の EGF 及び FGF4) を得た。陽性対照ウェル ($100 \mu\text{L}$ / ウェル) には、 $2\% \text{ FCS}$ 、及び 100 ng/mL のアクチビン A が添加され Wnt3a は不含の、同様の基本培地を含有させた。陰性対照ウェル ($100 \mu\text{L}$ / ウェル) には、 $2\% \text{ FCS}$ が添加されアクチビン A 及び Wnt3a はどちらも不含の同様の基本培地を含有させた。

【0287】

ハイコンテンツな解析: 4 日間の培養の最後に、アッセイプレートを PBS で 2 回洗浄し、 $4\% \text{ パラホルムアルデヒド}$ (Alexis Biochemical; Cat # ALX-350-011) で室温で 20 分間にわたって固定し、次いで PBS で 3 回洗浄し、 $0.5\% \text{ Triton X-100}$ (Sigma; Cat # T8760-2) で室温で 20 分間にわたって透過処理した。細胞を再度 PBS で 3 回洗浄し、 $4\% \text{ ニワトリ血清}$ (Invitrogen; Cat # 16110082) の PBS 溶液で、室温で 30 分間にわたってブロッキング処理した。一次抗体 (ヤギ抗ヒト SOX17; R&D Systems; Cat # AF1924) を $4\% \text{ ニワトリ血清}$ に 1:100 で希釈

10

20

30

40

50

し、室温で1時間各ウェルに加えた。Alexa Fluor 488を結合させた二次抗体(ニワトリ抗ヤギIgG; Molecular Probes; Cat # AZ1467)をPBSに1:200で希釈し、PBSで3回洗浄したあとの各サンプルウェルに加えた。核を対比染色するために、4 µg/mL Hoechst 33342 (Invitrogen; Cat # H3570)を室温で10分間加えた。プレートをPBSで1回洗浄し、撮像のために100 µL/ウェルのPBSで残した。

【0288】

Hoechst 33342とAlexa Fluor 488とで染色した細胞用に51008 bsダイクロイックを利用して、IN Cell Analyzer 1000 (GE Healthcare)を用いて撮像を実施した。曝露時間は陽性対照ウェル及び二次抗体単独で染色した未処理陰性対照ウェルから最適化した。1ウェルあたり15視野の撮像を得て、バイオアッセイ及び続く染色手順の間の任意の細胞ロスを補正した。IN Cell Developer Toolbox 1.7 (GE Healthcare)ソフトウェアを用いて総細胞数及び総SOX17強度についての測定値を各ウェルから得た。核の分裂は、グレースケールレベル(ベースライン範囲100~300)と核の大きさに基づいて判定した。各複製データセットについて平均及び標準偏差を算出した。総SOX17タンパク質発現は、細胞面積によって乗じた細胞の総蛍光値として定義される総強度又は積分強度として記録した。バックグラウンドは、200~3500の間のグレースケール範囲の許容基準に基づいて除去した。総強度データは、各ウェルについての総強度を陽性対照についての平均総強度で除することにより正規化した。各複製セ

10

20

【0289】

表3Aは、アクチビンAの非存在下での、胚体内胚葉系に特徴的なマーカーを発現している細胞へのヒト胚性幹細胞の分化に対する効果について表2に示されるアニリン-ピリジノトリアジン化合物と組み合わせて試験された、2つの増殖因子、EGF及びFGF4(各50 ng/mL)についての試験結果を示す。試験結果は、SOX17発現に対して最も良好な影響を与えるものから順に下降して等級づけしている。SOX17発現に対するこれらの化合物の効果は、アクチビンA/Wnt3a陽性対照と比べて弱いものであると考えられるが、これらの化合物の一部に対する応答は有意なものであると考えられた。例えば、化合物の選択は、恐らくアポトーシスを防止するかあるいは細胞周期を制御するかのいずれかにより、アッセイ時のウェルあたりの細胞数を高水準で保持することに対してユニークな特性を有するよう見える。加えて、これらの化合物はEGF及びFGF4と協同して、SOX17発現で測定されるように適度に胚体内胚葉分化を促進するよう見える。最も効力の強い化合物を表3B中に列挙した。本アッセイでEGF及びFGF4と組み合わせて試験した他の化合物は、SOX17発現誘導に無効であったが、アッセイにおいて細胞数は保持し得るものであった(例えば、化合物90:細胞数85%; SOX17発現2%)。

30

【0290】

(実施例5)

アクチビンA非存在下での胚体内胚葉系に特徴的なマーカーを発現している細胞へのヒト胚性幹細胞の分化に対する本発明の化合物と他の因子との組み合わせの効果。

40

【0291】

本発明の化合物と、胚体内胚葉分化の制御についての文献から既知である他の増殖因子又は化合物のそれぞれとの組み合わせの効果を評価するために、二次アッセイを実施した。

【0292】

細胞アッセイ播種: H1ヒト胚性幹細胞のクラスターを、growth factor-reduced MATRIGEL(商標)(Invitrogen; Cat # 356231)をコートした組織培養プラスチック上で増殖させた。細胞を、コラゲナーゼ(Invitrogen; Cat # Cat # 17104-019)処理及び穏や

50

かな搔爬により継代し、洗浄して残留酵素を除去し、growth factor-reduced MATRIGEL (商標) を $100\mu\text{L}$ / ウェル用量使用してコートした 96 ウェルブラックプレート (Packard ViewPlates; Perkin Elmer; Cat # 6005182) 上に均一に分散させて 1:1 (表面積) 比で蒔いた。細胞をクラスター様に付着させ、次いで 8 ng/mL の bFGF (R&D Systems; Cat # 233-FB) を添加した MEF 馴化培地を毎日供給しながら 1~3 日経過させ、対数増殖期を回復させた。アッセイの持続時間の間、プレートは加湿したボックス中に 37、5% CO_2 で維持した。

【0293】

化合物及び増殖因子の調製：R&D Systems から購入した増殖因子の貯蔵品は、EGF (Cat # 236-EG)、FGF4 (Cat # 235-F4)、PDGF-A (Cat # 221-AA)、PDGF-B (Cat # 220-BB)、PDGF-C (Cat # 1687-CC)、PDGF-D (Cat # 1159-SB)、PDGF-A/B (Cat # 222-AB)、VEGF (Cat # 293-VE)、BMP-1 (Cat # 1927-ZN)、BMP-2 (Cat # 355-BM)、BMP-4 (Cat # 314-BP)、BMP-6 (Cat # 507-BP)、BMP-7 (Cat # 222-AB)、BMP-2/7 (Cat # 3229-BM) であった。試験される他の剤は以下のように購入した：BMP-7 (Sigma; Cat # B1434)、LY294002 (Cayman; Cat # 70920)、PD98059、U0126、U0124 (EMD Biosciences; Cat # 453710)、ムシモール (Tocris; Cat # 0289)、ピククリン (biuculline) (Tocris; Cat # 0130)、酪酸ナトリウム (Sigma; Cat # B5887)。全ての増殖因子は 0.1% BSA (Sigma; Cat # A7888) 添加 PBS に溶解させて、 -80°C で凍結保存した。低分子は 100% DMSO (Sigma; Cat # D2650) に溶解させて、 -80°C で凍結保存した。化合物は、96 ウェルプレートフォーマットで 5 mM 原液として利用可能であり、100% DMSO 中に溶解させて、 -80°C で保存した。本発明の化合物は更に、20% DMSO 含有 50 mM HEPES (Invitrogen; Cat # 15630-080) で 0.2 mM の中間濃度へと希釈して、 4°C で保存した。全ての増殖因子及び阻害物質は 96 ウェルポリプロピレンプレートのディープウェル中に調製し、アッセイの開始時に DMEM:F12 基本培地で 5x 中間原液へと希釈し、 4°C で保存した。

【0294】

3 つ組複製で試験し、4 日間のアッセイ時間枠にわたって隔日で培地を供給しながら、二次スクリーニングアッセイを実施した。各ウェルから培養培地を吸引し、続いて PBS で 3 回洗浄して残留増殖因子及び血清を除去することで、アッセイを開始した。0.625% FCS (HyClone; Cat # SH30070.03)、 25 ng/mL の Wnt3a (R&D Systems)、及び $3.125\mu\text{M}$ 化合物に加えて $20\mu\text{L}$ の増殖因子の又は低分子の 5x 原液を添加した DMEM:F12 基本培地 (Invitrogen; Cat # 11330-032) を、1 ウェルあたり $80\mu\text{L}$ の試験量で加え、最終濃度 (0.5% FCS、 20 ng/mL の Wnt3a、及び $2.5\mu\text{M}$ の化合物) を得た。残りの全ての増殖因子は 50 ng/mL の最終アッセイ濃度で試験した (EGF、FGF4、PDGF-A、PDGF-B、PDGF-C、PDGF-D、PDGF-A/B、VEGF、BMP-1、BMP-2、BMP-4、BMP-6、BMP-7、BMP-2/7)。試験した低分子の最終アッセイ濃度は以下のとおりである：ムシモール ($20\mu\text{M}$)、PD98059 ($1\mu\text{M}$)、LY294002 ($2.5\mu\text{M}$)、U0124 ($1\mu\text{M}$)、U0126 ($1\mu\text{M}$)、酪酸ナトリウム (0.5 mM)。陽性対照ウェル ($100\mu\text{L}$ / ウェル) には、0.5% FCS、 20 ng/mL の Wnt3a 及び 100 ng/mL のアクチビン A を添加した同様の基本培地を含有させた。陰性対照ウェル ($100\mu\text{L}$ / ウェル) には、0.5% FCS、及び 20 ng/mL の Wnt3a を添加した、アクチビン A は不含の同様の基本培地を含有させた。

【0295】

3日目にウェルを吸引し、2.5% FCS (HyClone) 及び3.125 μ M 環式アニリン-ピリジノトリアジン化合物に加えて20 μ Lの増殖因子の又は低分子の5x原液を添加したDMEM:F12基本培地を1ウェルあたりに80 μ L加え、最終濃度(2% FCS及び2.5 μ Mの化合物(Wnt3aは不含)並びに残りの全ての増殖因子又は低分子については1日目に関して記載の濃度)を得た。陽性対照ウェル(100 μ L/ウェル)には、2% FCS、及び100 ng/mLのアクチビンAを添加した、Wnt3aは不含の同様の基本培地を含有させた。陰性対照ウェル(100 μ L/ウェル)には、2% FCSを添加した、アクチビンA及びWnt3aのどちらも不含の同様の基本培地を含有させた。

10

【0296】

ハイコンテンツな解析: 4日間の培養の最後に、アッセイプレートをPBSで2回洗浄し、4%パラホルムアルデヒド(Alexis Biochemical; Cat # ALX-350-011)で室温で20分間にわたって固定し、次いでPBSで3回洗浄し、0.5% Triton X-100(Sigma; Cat # T8760-2)で室温で20分間にわたって透過処理した。細胞を再度PBSで3回洗浄し、4%ニワトリ血清(Invitrogen; Cat # 16110082)のPBS溶液で、室温で30分間にわたってブロッキング処理した。一次抗体(ヤギ抗ヒトSOX17; R&D Systems; Cat # AF1924)を4%ニワトリ血清に1:100で希釈し、室温で1時間各ウェルに加えた。Alexa Fluor 488を結合させた二次抗体(ニワトリ抗ヤギIgG; Molecular Probes; Cat # AZ1467)をPBSに1:200で希釈し、PBSで3回洗浄したあとの各サンプルウェルに加えた。核を対比染色するために、4 μ g/mL Hoechst 33342(Invitrogen; Cat # H3570)を室温で10分間加えた。プレートをPBSで1回洗浄し、撮像のために100 μ L/ウェルのPBSで残した。

20

【0297】

Hoechst 33342とAlexa Fluor 488とで染色した細胞用に51008 bsダイクロイックを利用して、IN Cell Analyzer 1000(GE Healthcare)を用いて撮像を実施した。曝露時間は陽性対照ウェル及び二次抗体単独で染色した未処理陰性対照ウェルから最適化した。1ウェルあたり15視野の撮像を得て、バイオアッセイ及び続く染色手順の間の任意の細胞ロスを補正した。IN Cell Developer Toolbox 1.7(GE Healthcare)ソフトウェアを用いて総細胞数及び総SOX17強度についての測定値を各ウェルから得た。核の分裂は、グレースケールレベル(ベースライン範囲100~300)と核の大きさに基づいて判定した。各複製データセットについて平均及び標準偏差を算出した。総SOX17タンパク質発現は、細胞面積によって乗じた細胞の総蛍光値として定義される総強度又は積分強度として記録した。バックグラウンドは、200~3500の間のグレースケール範囲の許容基準に基づいて除去した。総強度データは、各ウェルについての総強度を陽性対照についての平均総強度で除することにより正規化した。各複製セットについて、平均及び標準偏差用に正規化データを算出した。

30

40

【0298】

表4は、増殖因子又は他の低分子のそれぞれと組み合わせての本発明の化合物での処理後の、胚体内胚葉系に特徴的なマーカーを発現している細胞へのヒト胚性幹細胞の分化についての結果を示す。概してBMPファミリー(BMP-1、BMP-2、BMP-4、BMP-6、BMP-7、BMP-2/7)のメンバーはSOX17発現を阻害したか、あるいはごくわずかに影響した。同じことが本アッセイで試験した低分子酵素阻害剤のほとんどにも当てはまった(LY294002、PD98059、U0126、U0124、酪酸ナトリウム)。しかしながら、PDGFファミリーの一部のメンバー(PDGF-A、-AB、-C及び-D)はSOX17発現の増加をもたらした(アクチビンA/Wnt3a対照の10~25%)。SOX17発現において同様の増加を示す他の増殖因子と

50

しては、EGF (34%)、VEGF (18%)、及びFGF4 (17%)が挙げられるが、FGF4は細胞数の保持を支持できなかった。化合物35と組み合わせて試験した低分子ムシモール(GABA_A受容体作動剤)もSOX17発現に適度な増加をもたらした；GABA_A拮抗剤のピククリンはSOX17発現に対して何の効果も有さなかった。EGF、FGF4、PDGF-A、PDGF-B、PDGF-AB、PDGF-C、及びPDGF-D並びにムシモールの、胚体内胚葉分化時の更なる評価のために選択した。

【0299】

(実施例6)

アクチピンA非存在下での、胚体内胚葉系に特徴的なマーカーを発現している細胞へのヒト胚性幹細胞の分化に対する、本発明の化合物と他の因子との組み合わせの効果

10

胚体内胚葉分化に対しての異なる化合物と他のそれぞれの剤との組み合わせの効果を評価するために、二次アッセイを実施した。このスクリーニングのために選択された他の剤は、化合物17について試験したように、及び表5で記載したように、前述した胚体内胚葉形成において適度な増加を示した。このスクリーニングにおいて、これらの剤と共に、単一の対での比較でか、あるいはプールされた組み合わせでのいずれかで、化合物のより広範なパネルを評価した。

【0300】

細胞アッセイ播種：H1ヒト胚性幹細胞のクラスターを、growth factor-reduced MATRIGEL (商標) (Invitrogen; Cat # 56231) をコートした組織培養プラスチック上で増殖させた。細胞を、コラゲナーゼ (Invitrogen; Cat # 17104-019) 処理及び穏やかな搔爬により継代し、洗浄して残留酵素を除去し、growth factor-reduced MATRIGEL (商標) を100 µL / ウェル用量使用してコートした96ウェルブラックプレート (Packard ViewPlates; PerkinElmer; Cat # 6005182) 上に均一に分散させて1:1 (表面積) 比で蒔いた。細胞をクラスター様に付着させ、次いで8 ng / mL のbFGF (R&D Systems; Cat # 233-FB) を添加したMEF馴化培地を毎日供給しながら1~3日経過させ、対数増殖期を回復させた。アッセイの持続時間の間、プレートは加湿したボックス中に37、5% CO₂で維持した。

20

【0301】

化合物及び増殖因子の調製：R&D Systemsから購入した増殖因子の貯蔵品は、EGF (Cat # 236-EG)、FGF4 (Cat # 235-F4)、PDGF-A (Cat # 221-AA)、PDGF-D (Cat # 1159-SB)、PDGF-A/B (Cat # 222-AB)、及びVEGF (Cat # 293-VE) であった。ムシモールはTocrisから購入した (Cat # 0289)。全ての増殖因子は0.1% BSA (Sigma; Cat # A7888) 添加PBSに溶解させて、-80 で凍結保存した。ムシモールは100% DMSO (Sigma; Cat # D2650) に溶解させて、-80 で凍結保存した。化合物は、96ウェルプレートフォーマットで5 mM原液として利用可能であり、100% DMSO中に溶解させて、-80 で保存した。化合物は更に、20% DMSO含有50 mM HEPES (Invitrogen; Cat # 15630-080) で0.2 mMの中間濃度へと希釈して、4 で保存した。全ての増殖因子及び阻害物質は96ウェルポリプロピレンプレートのディープウェル中に調製し、アッセイの開始時にDMEM:F12基本培地で5x中間原液へと希釈し、4 で保存した。

30

40

【0302】

3つ組複製で試験し、4日間のアッセイ時間枠にわたって隔日で培地を供給しながら、二次スクリーニングアッセイを実施した。各ウェルから培養培地を吸引し、続いてPBSで3回洗浄して残留増殖因子及び血清を除去することで、アッセイを開始した。0.625% FCS (HyClone; Cat # SH30070.03)、25 ng / mL のWnt3a (R&D Systems)、及び3.125 µMの化合物に加えて20 µ

50

Lの増殖因子の又は低分子の5x原液を添加したDMEM:F12基本培地(Invitrogen; Cat # 11330-032)を、1ウェルあたり80μLの試験量で加え、最終濃度(0.5% FCS、20ng/mLのWnt3a、及び2.5μM)を得た。残りの全ての増殖因子は50ng/mLの最終アッセイ濃度で試験した(EGF、FGF4、PDGF-A、PDGF-A/B、VEGF)。ムシモールの最終アッセイ濃度は20μMであった。陽性対照ウェル(100μL/ウェル)には、0.5% FCS、20ng/mLのWnt3a及び100ng/mLのアクチビンAを添加した同様の基本培地を含有させた。陰性対照ウェル(100μL/ウェル)には、0.5% FCS、20ng/mLのWnt3aを添加した、アクチビンAは不含の同様の基本培地を含有させた。

10

【0303】

3日目にウェルを吸引し、2.5% FCS(Hyclone)及び3.125μMの化合物に加えて20μLの増殖因子の又は低分子の5x原液を添加したDMEM:F12基本培地を1ウェルあたりに80μL加え、最終濃度(2% FCS及び2.5μMの化合物(Wnt3aは不含)並びに残りの全ての増殖因子又は低分子については1日目に関して記載の濃度)を得た。陽性対照ウェル(100μL/ウェル)には、2% FCS、及び100ng/mLのアクチビンAを添加した、Wnt3aは不含の同様の基本培地を含有させた。陰性対照ウェル(100μL/ウェル)には、2% FCSを添加した、アクチビンA及びWnt3aはどちらも不含の同様の基本培地を含有させた。

20

【0304】

ハイコンテンツな解析: 4日間の培養の最後に、アッセイプレートにPBSで2回洗浄し、4%パラホルムアルデヒド(Alexis Biochemical; Cat # ALX-350-011)で室温で20分間にわたって固定し、次いでPBSで3回洗浄し、0.5% Triton X-100(Sigma; Cat # T8760-2)で室温で20分間にわたって透過処理した。細胞を再度PBSで3回洗浄し、4%ニワトリ血清(Invitrogen; Cat # 16110082)のPBS溶液で、室温で30分間にわたってブロッキング処理した。一次抗体(ヤギ抗ヒトSOX17; R&D Systems; Cat # AF1924)を4%ニワトリ血清に1:100で希釈し、室温で1時間各ウェルに加えた。Alexa Fluor 488を結合させた二次抗体(ニワトリ抗ヤギIgG; Molecular Probes; Cat # AZ1467)をPBSに1:200で希釈し、PBSで3回洗浄したあとの各サンプルウェルに加えた。核を対比染色するために、4μg/mL Hoechst 33342(Invitrogen; Cat # H3570)を室温で10分間加えた。プレートをPBSで1回洗浄し、撮像のために100μL/ウェルのPBSで残した。

30

【0305】

Hoechst 33342とAlexa Fluor 488とで染色した細胞用に51008bsダイクロックを利用して、IN Cell Analyzer 1000(GE Healthcare)を用いて撮像を実施した。曝露時間は陽性対照ウェル及び二次抗体単独で染色した未処理陰性対照ウェルから最適化した。1ウェルあたり15視野の撮像を得て、バイオアッセイ及び続く染色手順の間の任意の細胞ロスを補正した。IN Cell Developer Toolbox 1.7(GE Healthcare)ソフトウェアを用いて総細胞数及び総SOX17強度についての測定値を各ウェルから得た。核の分裂は、グレースケールレベル(ベースライン範囲100~300)と核の大きさに基づいて判定した。各複製データセットについて平均及び標準偏差を算出した。総SOX17タンパク質発現は、細胞面積によって乗じた細胞の総蛍光値として定義される総強度又は積分強度として記録した。バックグラウンドは、200~3500の間のグレースケール範囲の許容基準に基づいて除去した。総強度データは、各ウェルについての総強度を陽性対照についての平均総強度で除することにより正規化した。各複製セットについて、平均及び標準偏差用に正規化データを算出した。

40

【0306】

50

表 5 は、アクチビン A は加えずに増殖因子及びムシモールと様々に組み合わせて胚体内胚葉バイオアッセイで試験した、上に「ヒット」(表 2)として同定した化合物を示す。一部の化合物は、試験した全ての増殖因子の組み合わせで、SOX17 発現に対して最小のあるいは弱い効果を有した。しかしながら一部の化合物は、全ての増殖因子との組み合わせについてではないが、一部に関して、有意な SOX17 発現を誘導することができた。特にある 1 つの化合物(化合物 34)は、試験した全ての増殖因子に対して有意に相乗的な応答を有し、本アッセイにおいて細胞数並びに SOX17 発現の両方の上昇をとりなした：化合物 39 は 1) EGF + FGF4 で陽性対照の応答の 77%；又は 2) EGF + FGF4 + PDGF - AB で陽性対照の応答の 68%；あるいは 3) EGF + FGF4 + PDGF - A + VEGF で陽性対照の応答の 31%を有した。

10

【0307】

(実施例 7)

アクチビン A 非存在下での、胚体内胚葉系に特徴的なマーカーを発現している細胞へのヒト胚性幹細胞の分化に対する、化合物 34 と他の因子との組み合わせの効果

本実施例では、アクチビン A の非存在下で強い SOX17 応答を得るために、最も良好な環式アニリン - ピリジノトリアジン化合物(化合物 34)と組み合わせる必要がある増殖因子の最小数について解析するための試行がなされた。本実施例ではまた、新しい増殖因子、GDF - 8 を評価に加えた。GDF - 8 は、ミオスタチンとしても既知であり、TGF - ファミリーのメンバーであり、これまでにアクチビン II 型受容体及び TGF - I 型受容体 (ALK4/5) を使用して SMAD 2/3 リン酸化反応を誘導することが示されている。

20

【0308】

細胞アッセイ播種：H1 ヒト胚性幹細胞のクラスターを、growth factor - reduced MATRIGEL (商標) (Invitrogen; Cat # 56231) をコートした組織培養プラスチック上で増殖させた。細胞を、コラゲナーゼ (Invitrogen; Cat # 17104-019) 処理及び穏やかな搔爬により継代し、洗浄して残留酵素を除去し、growth factor - reduced MATRIGEL (商標) を 100 µL / ウェル用量使用してコートした 96 ウェルブラックプレート (Packard ViewPlates; PerkinElmer; Cat # 6005182) 上に均一に分散させて 1:1 (表面積) 比で蒔いた。細胞をクラスター様に付着させ、次いで 8 ng / mL の bFGF (R&D Systems; Cat # 233-FB) を添加した MEF 馴化培地を毎日供給しながら 1~3 日経過させ、対数増殖期を回復させた。アッセイの持続時間の間、プレートは加湿したボックス中に 37、5% CO₂ で維持した。

30

【0309】

化合物及び増殖因子の調製：R&D Systems から購入した増殖因子の貯蔵品は、EGF (Cat # 236-EG)、FGF4 (Cat # 235-F4)、PDGF - A (Cat # 221-AA)、PDGF - D (Cat # 1159-SB)、PDGF - A/B (Cat # 222-AB)、VEGF (Cat # 293-VE)、及び GDF - 8 (Cat # 788-G8) であった。ムシモールは Tocris から購入した (Cat # 0289)。全ての増殖因子は 0.1% BSA (Sigma; Cat # A7888) 添加 PBS に溶解させて、-80 で凍結保存した。ムシモールは 100% DMSO (Sigma; Cat # D2650) に溶解させて、-80 で凍結保存した。環式アニリン - ピリジノトリアジン化合物は 96 ウェルプレートフォーマットで 5 mM 原液として利用可能であり、100% DMSO 中に溶解させて、-80 で保存した。化合物 34 は更に、20% DMSO 含有 50 mM HEPES (Invitrogen; Cat # 15630-080) で 0.2 mM の中間濃度へと希釈して、4 で保存した。全ての増殖因子及び阻害物質は 96 ウェルポリプロピレンプレートのディープウェル中に調製し、アッセイの開始時に DMEM: F12 基本培地で 5x 中間原液へと希釈し、4 で保存した。

40

50

【0310】

3つ組複製で試験し、4日間のアッセイ時間枠にわたって隔日で培地供給しながら、二次スクリーニングアッセイを実施した。各ウェルから培養培地を吸引し、続いてPBSで3回洗浄して残留増殖因子及び血清を除去することで、アッセイを開始した。0.625% FCS (HyClone; Cat # SH30070.03)、25 ng/mLのWnt3a (R&D Systems)、及び3.125 µM化合物27に加えて20 µLの増殖因子の又は低分子の5x原液を添加したDMEM:F12基本培地 (Invitrogen; Cat # 11330-032)を、1ウェルあたり80 µLの試験量で加え、最終濃度(0.5% FCS、20 ng/mLのWnt3a、及び2.5 µMの化合物34)を得た。GDF-8を25 ng/mLで試験したことを除いて、残りの全ての増殖因子を50 ng/mLの最終アッセイ濃度で試験した(EGF、FGF4、PDGF-A、PDGF-A/B、VEGF)。ムシモールの最終アッセイ濃度は20 µMであった。陽性対照ウェル(100 µL/ウェル)には、0.5% FCS、20 ng/mLのWnt3a及び100 ng/mLのアクチビンAを添加した同様の基本培地を含有させた。陰性対照ウェル(100 µL/ウェル)には、0.5% FCS、及び20 ng/mLのWnt3aを添加した、アクチビンAは不含の同様の基本培地を含有させた。

10

【0311】

3日目にウェルを吸引し、2.5% FCS (HyClone)及び3.125 µM化合物34に加えて20 µLの増殖因子の又は低分子の5x原液を添加したDMEM:F12基本培地を1ウェルあたりに80 µL加え、最終濃度(2% FCS及び2.5 µMの化合物34 (Wnt3aは不含)並びに残りの全ての増殖因子又は低分子については1日目に関して記載の濃度)を得た。陽性対照ウェル(100 µL/ウェル)には、2% FCS、及び100 ng/mLのアクチビンAを添加した、Wnt3aは不含の同様の基本培地を含有させた。陰性対照ウェル(100 µL/ウェル)には、2% FCSを添加した、アクチビンA及びWnt3aはどちらも不含の同様の基本培地を含有させた。

20

【0312】

ハイコンテンツな解析: 4日間の培養の最後に、アッセイプレートで2回洗浄し、4%パラホルムアルデヒド (Alexis Biochemical; Cat # ALX-350-011)で室温で20分間にわたって固定し、次いでPBSで3回洗浄し、0.5% Triton X-100 (Sigma; Cat # T8760-2)で室温で20分間にわたって透過処理した。細胞を再度PBSで3回洗浄し、4%ニワトリ血清 (Invitrogen; Cat # 16110082)のPBS溶液で、室温で30分間にわたってブロッキング処理した。一次抗体(ヤギ抗ヒトSOX17; R&D Systems; Cat # AF1924)を4%ニワトリ血清に1:100で希釈し、室温で1時間各ウェルに加えた。Alexa Fluor 488を結合させた二次抗体(ニワトリ抗ヤギIgG; Molecular Probes; Cat # AZ1467)をPBSに1:200で希釈し、PBSで3回洗浄したあとの各サンプルウェルに加えた。核を対比染色するために、4 µg/mL Hoechst 33342 (Invitrogen; Cat # H3570)を室温で10分間加えた。プレートをPBSで1回洗浄し、撮像のために100 µL/ウェルのPBSで残した。

30

40

【0313】

Hoechst 33342とAlexa Fluor 488とで染色した細胞用に51008 bsダイクロイックを利用して、IN Cell Analyzer 1000 (GE Healthcare)を用いて撮像を実施した。曝露時間は陽性対照ウェル及び二次抗体単独で染色した未処理陰性対照ウェルから最適化した。1ウェルあたり15視野の撮像を得て、バイオアッセイ及び続く染色手順の間の任意の細胞ロスを補正した。IN Cell Developer Toolbox 1.7 (GE Healthcare)ソフトウェアを用いて総細胞数及び総SOX17強度についての測定値を各ウェルから得た。核の分裂は、グレースケールレベル(ベースライン範囲100~300)と核の大きさに基づいて判定した。各複製データセットについて平均及び標準偏差を算出し

50

た。総SOX17タンパク質発現は、細胞面積によって乗じた細胞の総蛍光値として定義される総強度又は積分強度として記録した。バックグラウンドは、200～3500の間のグレースケール範囲の許容基準に基づいて除去した。総強度データは、各ウェルについての総強度を陽性対照についての平均総強度で除することにより正規化した。各複製セットについて、平均及び標準偏差用に正規化データを算出した。

【0314】

表6は、このアッセイの結果を示す。GDF-8が化合物34と任意の組み合わせで存在する場合、SOX17発現についてかなりの上昇が観察された。加えて、化合物34とGDF-8及びWnt3aとの組み合わせは、100ng/mLのアクチビンA/Wnt3a処理について見られるのと同様の範囲で、十分なSOX17発現（対照の88%）をもたらしした。ヒト胚性幹細胞の胚体内胚葉分化時に、増殖因子GDF-8がアクチビンAの代替物として機能し得ることは明白である。

10

【0315】

（実施例8）

胚体内胚葉系に特徴的なマーカーを発現している細胞へと多能性幹細胞を分化させ得る化合物についての、更なるスクリーニング

これまでに「ヒット」として同定した化合物の構造に基づいて類似体検索を実施し、更なる関連づけられる化合物を探し出して胚体内胚葉バイオアッセイで試験した。部分構造検索により、スクリーニングのための化合物を得た。本アッセイのためのスクリーニングパラメーターは、前述のアッセイで最適の結果が得られた因子の組み合わせで設計し、具体的にはEGF、FGF、PDGF-A、VEGF、PDGF-D、ムシモール、及びGDF-8を、低分子化合物と組み合わせることで設計した。

20

【0316】

細胞アッセイ播種：簡潔に述べると、H1ヒト胚性幹細胞のクラスターを、growth factor-reduced MATRIGEL（商標）（Invitrogen；Cat # 356231）をコートした組織培養プラスチック上で増殖させた。細胞を、コラゲナーゼ（Invitrogen；Cat # 17104-019）処理及び穏やかな搔爬により継代し、洗浄して残留酵素を除去し、growth factor-reduced MATRIGEL（商標）を100μL/ウェル用量使用してコートした96ウェルブラックプレート（Packard ViewPlates；Perkin Elmer；Cat # 6005182）上に均一に分散させて1：1（表面積）比で蒔いた。細胞をクラスター様に付着させ、次いで8ng/mLのbFGF（R&D Systems；Cat # 233-FB）を添加したMEF馴化培地を毎日供給しながら1～3日経過させ、対数増殖期を回復させた。アッセイの持続時間の間、プレートは加湿したボックス中に37℃、5% CO₂で維持した。

30

【0317】

化合物の調製及びアッセイ：R&D Systemsから購入した増殖因子は、EGF（Cat # 236-EG）、FGF4（Cat # 235-F4）、PDGF-A（Cat # 221-AA）、PDGF-D（Cat # 1159-SB）、PDGF-A/B（Cat # 222-AB）、VEGF（Cat # 293-VE）、及びGDF-8（Cat # 788-G8）であった。ムシモールはTocrisから購入した（Cat # 0289）。96ウェルプレートフォーマットで5mM原液として利用できるように作製し、100% DMSO（Sigma；Cat # D2650）中に溶解させて、-80℃で保存した化合物のライブラリを用いてスクリーニングを実施した。化合物は更に、20% DMSO含有50mM HEPES（Invitrogen；Cat # 15630-080）で0.2mMの中間濃度へと希釈して、4℃で保存した。試験条件は単ウェルで実施し、4日間のアッセイ期間にわたって隔日で培地供給した。各ウェルから培養培地を吸引し、続いてPBS（Invitrogen；Cat # 14190）で3回洗浄して残留増殖因子及び血清を除去することで、一次スクリーニングアッセイを開始した。0.5% FCS（HyClone；Cat # SH30070.03）

40

50

及び20 ng/mLのWnt3a (R&D Systems; Cat # 1324-WN)に加えて2.5 µMの化合物を添加したDMEM:F12基本培地 (Invitrogen; Cat # 11330-032)を、アッセイの初日に1ウェルあたり200 µLの試験量で加えた。GDF-8を25 ng/mLで試験したことを除いて、残りの全ての増殖因子を50 ng/mLの最終アッセイ濃度で試験した (EGF、FGF4、PDGF-A、PDGF-A/B、VEGF)。ムシモールの最終アッセイ濃度は20 µMであった。陽性対照サンプルには、0.5% FCSに加えて20 ng/mLのWnt3a及び100 ng/mLヒト組換えアクチビンA (PeproTech; Cat # 120-14)を添加した同様の基本培地を含有させた。陰性対照サンプルには、0.5% FCS及び20 ng/mLのWnt3aを添加したDMEM:F12基本培地を含有させた。アッセイの3日目に、2% FCSに加え2.5 µMの化合物を添加した、Wnt3aは不含のDMEM:F12基本培地を、1ウェルあたり200 µLの試験量で加えた。GDF-8を25 ng/mLで試験したことは除いて、残りの全ての増殖因子を50 ng/mLの最終アッセイ濃度で試験した (EGF、FGF4、PDGF-A、PDGF-A/B、VEGF)。ムシモールの最終アッセイ濃度は20 µMであった。陽性対照サンプルには、2% FCS及び100 ng/mLヒト組換えアクチビンA (PeproTech; Cat # 120-14)を添加した同様の基本培地を含有させた。陰性対照サンプルには、2% FCSを添加したDMEM:F12基本培地を含有させた。陽性対照サンプルには、FCSを添加しアニリン-ピリジノトリアジン化合物を100 ng/mLヒト組換えアクチビンA (PeproTech; Cat # 120-14)で置き換えた同様の基本培地を含有させ、4日間のアッセイを通して1日目と2日目にWnt3a (20 ng/mL)を加えた。陰性対照サンプルには、FCSを添加したDMEM:F12基本培地を含有させ、1日目と2日目にはWnt3aを加えたが、アクチビンAによる処理は含めなかった。

【0318】

ハイコンテンツな解析：4日間の培養の最後に、アッセイプレートにPBS (Invitrogen; Cat # 14190)で2回洗浄し、4%パラホルムアルデヒド (Alexis Biochemical; Cat # ALX-350-011)で室温で20分間にわたって固定し、次いでPBSで3回洗浄し、0.5% Triton X-100 (Sigma; Cat # T8760-2)で室温で20分間にわたって透過処理した。細胞を再度PBSで3回洗浄し、4%ニワトリ血清 (Invitrogen; Cat # 16110082)のPBS溶液で、室温で30分間にわたってブロッキング処理した。一次抗体 (ヤギ抗ヒトSOX17; R&D Systems; Cat # AF1924)を4%ニワトリ血清に1:100で希釈し、室温で1時間各ウェルに加えた。Alexa Fluor 488を結合させた二次抗体 (ニワトリ抗ヤギIgG; Molecular Probes; Cat # AZ1467)をPBSに1:200で希釈し、PBSで3回洗浄したあとの各サンプルウェルに加えた。核を対比染色するために、4 µg/mL Hoechst 33342 (Invitrogen; Cat # H3570)を室温で10分間加えた。プレートをPBSで1回洗浄し、撮像のために100 µL/ウェルのPBSで残した。

【0319】

Hoechst 33342とAlexa Fluor 488とで染色した細胞用に51008 bsダイクロイックを利用して、IN Cell Analyzer 1000 (GE Healthcare)を用いて撮像を実施した。曝露時間は陽性対照ウェル及び二次抗体単独で染色した未処理陰性対照ウェルから最適化した。1ウェルあたり15視野の撮像を得て、バイオアッセイ及び続く染色手順の間の任意の細胞ロスを補正した。IN Cell Developer Toolbox 1.7 (GE Healthcare)ソフトウェアを用いて総細胞数及び総SOX17強度についての測定値を各ウェルから得た。核の分裂は、グレースケールレベル (ベースライン範囲100~300)と核の大きさに基づいて判定した。各複製データセットについて平均及び標準偏差を算出し

た。総SOX17タンパク質発現は、細胞面積によって乗じた細胞の総蛍光値として定義される総強度又は積分強度として記録した。バックグラウンドは、200～3500の間のグレースケール範囲の許容基準に基づいて除去した。総強度データは、各ウェルについての総強度を陽性対照についての平均総強度で除することにより正規化した。各複製セットについて、平均及び標準偏差用に正規化データを算出した。

【0320】

表7では、GDF-8と、増殖因子/作動剤(EGF、FGF、PDGF-A、VEGF、PDGF-D、ムシモール)の組み合わせとを、アニリン-ピリジノトリアジン化合物の新しいセットについて試験した。この単独の実験で2つのアッセイプレートから得られた結果を、SOX17応答について等級づけした(アクチビンA及びWnt3aによる陽性対照処理に対しての百分率として)。増殖因子/作動剤プールに対して有意な相乗的な活性を示す更なる化合物を同定した。これらの化合物は、アクチビンAの非存在下でのヒト胚性幹細胞の分化時の、アッセイ細胞数の保持及びSOX17発現の獲得の両方において有効である。陽性対照の25%活性を超えるこれらの「ヒット」化合物の一覧を表8に示す。

10

【0321】

注目すべき、最初の一次スクリーニング(表2)からの4つのヒット化合物は、類似体ライブラリで2つ組複製だった。これらの化合物の内2つの化合物は類似体スクリーニングで繰り返してヒット化合物とされ(化合物34及び化合物35;表8に示されている);1つは類似体スクリーニングでは弱いヒットであるとされ、1つは繰り返してはヒットとされなかった。

20

【0322】

(実施例9)

低濃度のアクチビンA存在下での、胚体内胚葉系に特徴的なマーカーを発現している細胞へのヒト胚性幹細胞の分化に対する、本発明の化合物の効果

上記の胚体内胚葉バイオアッセイで「ヒット」として同定された化合物が、非常に低濃度のアクチビンAについても相乗的な活性を示し得るかを判定することは、非常に重要であった。表3Bに記載の環式アニリン-ピリジノトリアジン化合物の簡潔なヒット一覧を用いて、一次評価を実施した。

30

【0323】

細胞アッセイ播種: H1ヒト胚性幹細胞のクラスターを、growth factor-reduced MATRIGEL(商標)(Invitrogen; Cat # 356231)をコートした組織培養プラスチック上で増殖させた。細胞を、コラゲナーゼ(Invitrogen; Cat # 17104-019)処理及び穏やかな搔爬により継代し、洗浄して残留酵素を除去し、growth factor-reduced MATRIGEL(商標)を100µL/ウェル用量使用してコートした96ウェルブラックプレート(Packard ViewPlates; PerkinElmer; Cat # 6005182)上に均一に分散させて1:1(表面積)比で蒔いた。細胞をクラスター様に付着させ、次いで8ng/mLのbFGF(R&D Systems; Cat # 233-FB)を添加したMEF馴化培地を毎日供給しながら1~3日経過させ、対数増殖期を回復させた。アッセイの持続時間の間、プレートは加湿したボックス中に37、5% CO₂で維持した。

40

【0324】

化合物及び増殖因子の調製: R&D Systemsから購入した増殖因子の貯蔵品は、EGF(Cat # 236-EG)、FGF4(Cat # 235-F4)、PDGF-A(Cat # 221-AA)、PDGF-D(Cat # 1159-SB)、PDGF-A/B(Cat # 222-AB)、VEGF(Cat # 293-VE)、及びGDF-8(Cat # 788-G8)であった。アクチビンAはPeprotechから購入した(Cat #)。ムシモールはTocrisから購入した(Cat # 0289)。全ての増殖因子は0.1% BSA(Sigma; Cat # A7888)添

50

加PBSに溶解させて、-80℃で凍結保存した。ムシモールは100% DMSO (Sigma; Cat # D2650)に溶解させて、-80℃で凍結保存した。化合物は、96ウェルプレートフォーマットで5mM原液として利用可能であり、100% DMSO中に溶解させて、-80℃で保存した。化合物は更に、20% DMSO含有50mM HEPES (Invitrogen; Cat # 15630-080)で0.2mMの中間濃度へと希釈して、4℃で保存した。全ての増殖因子及び阻害物質は96ウェルポリプロピレンプレートのディープウェル中に調製し、アッセイの開始時にDMEM:F12基本培地で5x中間原液へと希釈し、4℃で保存した。

【0325】

3つ組複製で試験し、4日間のアッセイ時間枠にわたって隔日で培地供給しながら、二次スクリーニングアッセイを実施した。各ウェルから培養培地を吸引し、続いてPBSで3回洗浄して残留増殖因子及び血清を除去することで、アッセイを開始した。0.625% FCS (HyClone; Cat # SH30070.03)、25ng/mLのWnt3a (R&D Systems)、12.5ng/mLのアクチビンA及び3.125µM化合物に加えて20µLの増殖因子の又は低分子の5x原液を添加したDMEM:F12基本培地 (Invitrogen; Cat # 11330-032)を、1ウェルあたり80µLの試験量で加え、最終濃度(0.5% FCS、20ng/mLのWnt3a、10ng/mLのアクチビンA及び2.5µMの化合物)を得た。GDF-8を25ng/mLで使用したことは除いて、残りの全ての増殖因子を50ng/mLの最終アッセイ濃度で試験した(EGF、FGF4、PDGF-A、PDGF-A/B、VEGF)。ムシモールの最終アッセイ濃度は20µMであった。陽性対照ウェル(100µL/ウェル)には、0.5% FCS、20ng/mLのWnt3a、及び10ng/mL(低用量)又は100ng/mL(高用量)のアクチビンAを添加した同様の基本培地を含有させた。陰性対照ウェル(100µL/ウェル)には、0.5% FCS、20ng/mLのWnt3aを添加した、アクチビンAは不含の同様の基本培地を含有させた。

【0326】

3日目にウェルを吸引し、2.5% FCS (HyClone)、12.5ng/mLのアクチビンA及び3.125µM化合物に加えて20µLの増殖因子の又は低分子の5x原液を添加したDMEM:F12基本培地を1ウェルあたりに80µL加え、最終濃度(2% FCS、10ng/mLのアクチビンA、及び2.5µMの化合物(Wnt3aは不含)並びに残りの全ての増殖因子又は低分子については1日目に関して記載の濃度)を得た。陽性対照ウェル(100µL/ウェル)には、2% FCS、及び10ng/mL又は100ng/mLのアクチビンAを添加した、Wnt3aは不含の同様の基本培地を含有させた。陰性対照ウェル(100µL/ウェル)には、2% FCSを添加した、アクチビンA及びWnt3aはどちらも不含の同様の基本培地を含有させた。

【0327】

ハイコンテンツな解析：4日間の培養の最後に、アッセイプレートをPBSで2回洗浄し、4%パラホルムアルデヒド (Alexis Biochemical; Cat # ALX-350-011)で室温で20分間にわたって固定し、次いでPBSで3回洗浄し、0.5% Triton X-100 (Sigma; Cat # T8760-2)で室温で20分間にわたって透過処理した。細胞を再度PBSで3回洗浄し、4%ニワトリ血清 (Invitrogen; Cat # 16110082)のPBS溶液で、室温で30分間にわたってブロッキング処理した。一次抗体(ヤギ抗ヒトSOX17; R&D Systems; Cat # AF1924)を4%ニワトリ血清に1:100で希釈し、室温で1時間各ウェルに加えた。Alexa Fluor 488を結合させた二次抗体(ニワトリ抗ヤギIgG; Molecular Probes; Cat # AZ1467)をPBSに1:200で希釈し、PBSで3回洗浄したあとの各サンプルウェルに加えた。核を対比染色するために、4µg/mL Hoechst 33342 (Invitrogen; Cat # H3570)を室温で10分間加えた。プレートをPBSで1回洗浄し、撮像のために100µL/ウェルのPBSで残した。

【0328】

Hoechst 33342とAlexa Fluor 488とで染色した細胞用に51008bsダイクロックを利用して、IN Cell Analyzer 1000 (GE Healthcare)を用いて撮像を実施した。曝露時間は陽性対照ウェル及び二次抗体単独で染色した未処理陰性対照ウェルから最適化した。1ウェルあたり15視野の撮像を得て、バイオアッセイ及び続く染色手順の間の任意の細胞ロスを補正した。IN Cell Developer Toolbox 1.7 (GE Healthcare)ソフトウェアを用いて総細胞数及び総SOX17強度についての測定値を各ウェルから得た。核の分裂は、グレースケールレベル(ベースライン範囲100~300)と核の大きさに基づいて判定した。各複製データセットについて平均及び標準偏差を算出した。総SOX17タンパク質発現は、細胞面積によって乗じた細胞の総蛍光値として定義される総強度又は積分強度として記録した。バックグラウンドは、200~3500の間のグレースケール範囲の許容基準に基づいて除去した。総強度データは、各ウェルについての総強度を陽性対照についての平均総強度で除することにより正規化した。各複製セットについて、平均及び標準偏差用に正規化データを算出した。

10

【0329】

表9は、様々な化合物及び増殖因子と低用量アクチビンAとの異なる組み合わせについてのアッセイから得られた結果を示す。一部の化合物は、様々な増殖因子に対して強い相乗的な応答を示した。その他の場合、相乗効果はより穏やかなものであったが、低用量のアクチビンA対照と比較してその効果は有意なものであった。それ以外の化合物は、低用量アクチビンA対照と比べて活性を有さなかった。

20

【0330】

(実施例10)

アクチビンA非存在下での、胚体内胚葉系のマーカーを発現している細胞への単一のヒト胚性幹細胞の分化に対する、本発明の化合物の効果

アッセイのために酵素処理により単一の細胞へと分散させて単層で蒔いた細胞を用いるスクリーニングフォーマットでも、環式アニリン-ピリジノトリアジン化合物を試験した。低用量でも増殖因子をもたらし得る血清を除去するという変更をアッセイに加えた。これを受けて基本培地は交換し、血清は脂肪酸不含BSAと置き換えた。アッセイを4日間から3日間へと短縮して、結果を測定するための時間枠をより狭くした。最後に、アッセイには以前にアクチビンA非存在下での胚体内胚葉分化について有意であるが準最適な効果を示した2つの増殖因子、EGF及びFGF4を含んだ。

30

【0331】

スクリーニングアッセイ

細胞アッセイ播種：簡潔に述べると、H1ヒト胚性幹細胞のクラスターを、growth factor-reduced MATRIGEL (商標) (Invitrogen; Cat # 356231)をコートした組織培養プラスチック上で増殖させた。培養物は、10cm²の表面積あたり10mLの等量のAccutase (Sigma; Cat # A6964)を用いて37で5分間にわたって処理し、次いで穏やかに再懸濁し、遠心沈降によりペレット化し、計数のためにMEF馴化培地に再懸濁した。播種アッセイのために、growth factor-reduced MATRIGEL (商標)をコートした96ウェルブラックプレート(Packard View Plates; Cat # 6005182)上に、100µL/ウェルの用量を用いて、細胞を50,000細胞/cm²で蒔いた。細胞を付着させ、8ng/mLのbFGF (R&D Systems; Cat # 233-FB)を添加したMEF馴化培地を毎日供給しながら3~5日にわたって対数増殖期を回復させた。アッセイの持続時間の間、プレートは加湿したボックス中に37、5% CO₂で維持した。

40

【0332】

化合物の調製及びアッセイ：EGF及びFGF4の貯蔵品を96ウェルポリプロピレンプレート(Corning, Inc.; Cat # 3960)中に用意した。化合物2

50

2 は 100% DMSO (Sigma; Cat # D2650) に溶解させた 5 mM 原液として利用可能なものであり、-80 で保存した。各ウェルから培養培地を吸引し、続いて PBS で 3 回洗浄して残留増殖因子及び血清を除去することで、アッセイを開始した。2.5% 脂肪酸不含 BSA (MP Biomedicals LLC; Cat # 152401)、10 ng/mL の bFGF (PeproTech Inc; Cat # 100-18B)、25 ng/mL の Wnt3a (R&D Systems; Cat # 1324-WN) 及び 3.125 µM 化合物 22 に加えて 20 µL 増殖因子 5 × 原液を添加した RPMI 1640 基本培地 (Invitrogen; Cat # 22400-089) を、1 ウェルあたり 80 µL の試験量で加え、アッセイにおける最終濃度 (2% 脂肪酸不含 BSA、8 ng/mL の bFGF (PeproTech Inc; Cat # 100-18B)、20 ng/mL の Wnt3a、及び 2.5 µM の化合物 22) を得た。陽性対照ウェルには、2% 脂肪酸不含 BSA、8 ng/mL の bFGF、20 ng/mL の Wnt3a 及び 100 ng/mL ヒト組換えアクチビン A (PeproTech; Cat # 120-14) を添加した同様の基本培地を含有させた。陰性対照ウェルには、アクチビン A に関する処理剤は除いて、2% 脂肪酸不含 BSA、8 ng/mL の bFGF、20 ng/mL の Wnt3a を添加した同様の基本培地を含有させた。

10

【0333】

アッセイの 2 日目に、ウェルを再度吸引し、2.5% 脂肪酸不含 BSA、10 ng/mL の bFGF、及び 3.125 µM の化合物 22 に加えて 20 µL の増殖因子の 5 × 原液を添加した RPMI 1640 基本培地を、1 ウェルあたり 80 µL で加え、アッセイにおける最終濃度 (2% 脂肪酸不含 BSA、8 ng/mL の bFGF 及び 2.5 µM の化合物 22) を得た。陽性対照ウェルには、2% 脂肪酸不含 BSA、8 ng/mL の bFGF、及び 100 ng/mL ヒト組換えアクチビン A を添加した同様の基本培地を含有させた。陰性対照サンプルには、アクチビン A に関する処理剤は除いて、2% 脂肪酸不含 BSA、及び 8 ng/mL の bFGF を添加した同様の基本培地を含有させた。

20

【0334】

ハイコンテンツな解析：4 日間の培養の最後に、アッセイプレートを PBS で 2 回洗浄し、4% パラホルムアルデヒド (Alexis Biochemical; Cat # ALX-350-011) で室温で 20 分間にわたって固定し、次いで PBS で 3 回洗浄し、0.5% Triton X-100 (Sigma; Cat # T8760-2) で室温で 20 分間にわたって透過処理した。細胞を再度 PBS で 3 回洗浄し、4% ニワトリ血清 (Invitrogen; Cat # 16110082) の PBS 溶液で、室温で 30 分間にわたってブロッキング処理した。一次抗体 (ヤギ抗ヒト SOX17; R&D Systems; Cat # AF1924) を 4% ニワトリ血清に 1:100 で希釈し、室温で 1 時間各ウェルに加えた。Alexa Fluor 488 を結合させた二次抗体 (ニワトリ抗ヤギ IgG; Molecular Probes; Cat # AZ1467) を PBS に 1:200 で希釈し、PBS で 3 回洗浄したあとの各サンプルウェルに加えた。核を対比染色するために、4 µg/mL Hoechst 33342 (Invitrogen; Cat # H3570) を室温で 10 分間加えた。プレートを PBS で 1 回洗浄し、撮像のために 100 µL / ウェルの PBS で残した。

30

40

【0335】

Hoechst 33342 と Alexa Fluor 488 とで染色した細胞用に 51008 bs ダイクロイックを利用して、IN Cell Analyzer 1000 (GE Healthcare) を用いて撮像を実施した。曝露時間は陽性対照ウェル及び二次抗体単独で染色した未処理陰性対照ウェルから最適化した。1 ウェルあたり 15 視野の撮像を得て、バイオアッセイ及び続く染色手順の間の任意の細胞ロスを補正した。IN Cell Developer Toolbox 1.7 (GE Healthcare) ソフトウェアを用いて総細胞数及び総 SOX17 強度についての測定値を各ウェルから得た。核の分裂は、グレースケールレベル (ベースライン範囲 100 ~ 300) と核の大きさに基づいて判定した。各複製データセットについて平均及び標準偏差を算出し

50

た。総SOX17タンパク質発現は、細胞面積によって乗じた細胞の総蛍光値として定義される総強度又は積分強度として記録した。バックグラウンドは、200～3500の間のグレースケール範囲の許容基準に基づいて除去した。総強度データは、各ウェルについての総強度を陽性対照についての平均総強度で除することにより正規化した。各複製セットについて、平均及び標準偏差用に正規化データを算出した。

【0336】

表10には、化合物34について本アッセイで得られた結果を示す。化合物34を不含の、EGF及び/又はFGF4単独での対照サンプルでは、SOX17発現は低かった。化合物34の添加は、SOX17発現の有意な増加をもたらした。

【0337】

10

(実施例11)

胚体内胚葉系に特徴的なマーカーを発現している細胞へのヒト胚性幹細胞の分化に対する、アクチビンA及びGDF-8の能力の比較

前述の実施例は、胚体内胚葉系に特徴的なマーカーを発現している細胞へのヒト胚性幹細胞の分化に対して、GDF-8がアクチビンAと置き換えられ得ることを示した。胚体内胚葉系に特徴的なマーカーを発現している細胞へのヒト胚性幹細胞の分化に対する、GDF-8及びアクチビンAのそれぞれの能力について作用強度を知ることは重要であった。胚性幹細胞分化時に得られる結果について比較するために、等濃度の各増殖因子を用いて用量応答アッセイを実施した。

【0338】

20

アッセイのための細胞の調製：ヒト胚性幹細胞(H1ヒト胚性幹細胞株)の保存培養物は、growth factor-reduced MATRIGELでコートしたディッシュ上のMEF馴化培地中で、未分化の多能性状態のまま、平均して各4日ごとに継代しながら維持した。継代は、細胞培養物を1mg/mLディスパーゼ(Invitrogen, Cat # : 17105-041)溶液に37℃で5～7分間曝露して、続いて単層をMEF馴化培地ですすぎ、穏やかにかき取り、細胞クラスターを回収することにより実施した。クラスターを低速度で遠心して細胞ペレットを回収し、残留ディスパーゼを除去した。細胞クラスターはルーチン的な維持培養については1:3比又は1:4比で、あるいは直接アッセイについては1:1比で継代した。全てのヒト胚性幹細胞株は50未満の継代数で維持し、正常な核表現型について及びマイコプラズマ汚染の非存在について、ルーチン的に評価した。

30

【0339】

本アッセイで使用した細胞クラスターは、8ng/mLのbFGFを添加したMEF馴化培地に均一に再懸濁し、growth factor-reduced MATRIGEL(商標)でコートした96ウェルPackard VIEWPLATES(PerkinElmer; Cat # 6005182)上に100µL/ウェルの用量を播種した。8ng/mLのbFGFを添加したMEF馴化培地を最初の蒔き込み及び増殖に使用した。使用した培養培地を各ウェルから吸引し、等量の新鮮な培地と交換することで毎日の培地供給を実施した。アッセイの持続時間の間、プレートは加湿したボックス中に37℃、5% CO₂で維持した。

40

【0340】

アッセイ：各ウェルから培養培地を吸引し、試験培地のアリコート(100µL)を加えて戻すことでアッセイを開始した。1日目と2日目に各ウェルから培地を吸引し、新鮮な試験培地と交換することで培地供給しながら、4つ組複製で、全部で3日間のアッセイ期間にわたる試験条件を実施した。2つの12-channel polypropylene basins(Argos technologies, Inc, Cat # : B3135)を使用して、異なる濃度のアクチビンA(PeproTech; Cat # 120-14)又はGDF-8(R&D Systems, Cat # 788-G8)を含有する試験培地を作製した。2～12の番号が付与された各basinのチャンネルには、2%ウシ血清アルブミンフラクションV、脂肪酸不含(FAF BSA)(MP

50

Biomedicals, Inc; Cat # 152401) 及び 8 ng/mL の bFGF (PeproTech Inc.; Cat #: 100-18B) を添加した RPMI-1640 培地 (Invitrogen; Cat #: 22400) から構成されるアッセイ培地を 1 mL 含有させ、2 日目と 3 日目は除き、1 日目に 20 ng/mL の Wnt3a (R&D Systems; Cat # 1324-WN/CF) を添加した。各 basin のチャンネル番号 1 には、同様のアッセイ培地に希釈した 1600 ng/mL のアクチビン A 又は 1600 ng/mL GDF-8 を含有させた。 1 mL の培地をチャンネル番号 1 からチャンネル番号 2 へと移し、よく混合した。未使用のピペットチップを使用して、 1 mL の培地をチャンネル番号 2 からチャンネル番号 3 へと移し、続いて徹底的に混合した。各対応の basin に対して、チャンネル番号 11 まで同じ手順を順番に繰り返した。各 basin のチャンネル番号 12 には、アクチビン A 又は GDF-8 を不含の培地を含有させた。それぞれのアッセイウェルに添加するために、この操作により、アクチビン A 又は GDF-8 を $1.6 \text{ ng/mL} \sim 1600 \text{ ng/mL}$ の範囲の濃度で含有している、一連の 2 倍段階希釈試験溶液を作製した。

【0341】

ハイコンテンツな解析：3 日間の培養の最後に、アッセイプレートを PBS (Invitrogen; Cat # 14190) で 1 回洗浄し、4% パラホルムアルデヒド (Alexis Biochemical; Cat # ALX-350-011) で室温で 20 分間にわたって固定し、次いで PBS で 3 回洗浄し、0.5% Triton X-100 (Sigma; Cat # T8760-2) で室温で 20 分間にわたって透過処理した。細胞を再度 PBS で 3 回洗浄し、4% ニワトリ血清 (Invitrogen; Cat # 16110082) の PBS 溶液で、室温で 30 分間にわたってブロッキング処理した。一次抗体 (ヤギ抗ヒト SOX17; R&D Systems; Cat # AF1924) を 4% ニワトリ血清に 1:100 で希釈し、室温で 2 時間各ウェルに加えた。PBS での 3 回の洗浄のあと、Alexa Fluor 488 を結合させた二次抗体 (ニワトリ抗ヤギ IgG; Invitrogen; Cat # A21467) を PBS に 1:200 希釈したものを各ウェルに加えた。核を対比染色するために、 $5 \mu\text{g/mL}$ Hoechst 33342 (Invitrogen; Cat # H3570) を室温で 15 分間加えた。プレートを PBS で 1 回洗浄し、撮像のために $100 \mu\text{L}$ / ウェルの PBS で残した。

【0342】

Hoechst 33342 と Alexa Fluor 488 とで染色した細胞用に 51008 bs ダイクロイックを利用して、IN Cell Analyzer 1000 (GE Healthcare) を用いて撮像を実施した。1 ウェルあたり 25 視野から撮像を得た。IN Cell Developer Toolbox 1.7 (GE Healthcare) ソフトウェアを使用して、各ウェルの総 SOX17 強度についての測定値を得た。核の分裂は、グレースケールレベル (ベースライン範囲 100 ~ 300) と核の大きさに基づいて判定した。各 4 つ組複製データセットについて平均及び標準偏差を算出した。総 SOX17 タンパク質発現は、細胞面積によって乗じた細胞の総蛍光値として定義される総強度又は積分強度として記録した。バックグラウンドは、200 ~ 4500 の間のグレースケール範囲の許容基準に基づいて除去した。GraphPad Prism 4.02 (GraphPad Software, Inc., La Jolla, CA) を用いて総 SOX17 強度データを算出した。データは正規化して、各データセット中の最も小さな値ともっとも大きな値をそれぞれ 0% 及び 100% と定義した。表 11 は、アクチビン A 及び GDF-8 のデータセットのそれぞれについて正規化した値を示す。表 11 に示す正規化した値を用いて作成したものとして、2 つの S 字型の用量反応曲線を図 2 に示す。曲線適合を示す R^2 値を、GraphPad Prism を用いて算出したところ、アクチビン A は 0.9944 であり、GDF-8 は 0.9964 であると判定された。GraphPad Prism を用いて各増殖因子の EC_{50} 値を算出したところ、アクチビン A は 13.9 ng/mL であり、GDF-8 は 184.8 ng/mL で

10

20

30

40

50

あると判定された。これらのデータは、ヒト胚性幹細胞に胚体内胚葉系に特徴的なマーカーを発現している細胞への分化を誘導するという点について、G D F - 8 はアクチビン A と比べて強力さに劣るということを示す。それでもなお G D F - 8 はアクチビン A と代替可能であり、特定の濃度では、S O X 1 7 発現で示されるような胚体内胚葉細胞の同等の集団を誘導することができる。

【 0 3 4 3 】

(実施例 1 2)

膵内分泌腺系に特徴的なマーカーを発現している細胞への更なる分化を可能にする本発明の方法に従い作製された、胚体内胚葉系に特徴的なマーカーを発現している細胞

ヒト胚性幹細胞の並行集合を、化合物 3 4 又は化合物 5 6 のいずれかと組み合わせた G D F - 8 を用いて、胚体内胚葉系に特徴的なマーカーを発現している細胞へと分化させた。したがって、処理細胞に段階的分化プロトコルを適用して、膵臓内胚葉及び内分泌腺系に向かう分化を促進させた。アクチビン A 及び W n t 3 a で処理した細胞から構成される並行対照を、段階的な分化プロセスによって比較目的で維持した。分化の様々なステージの代表的なタンパク質及び m R N A バイオマーカーの状況を判定するために、分化の各ステージごとにサンプルを採取した。

【 0 3 4 4 】

アッセイのための細胞の調製：ヒト胚性幹細胞（H 1 ヒト胚性幹細胞株）の保存培養物は、growth factor - reduced M A T R I G E L（商標）でコートしたディッシュ上の M E F 馴化培地中で、未分化の多能性状態のまま、平均して各 4 日ごとに継代しながら維持した。継代は、細胞培養物を 1 m g / m L ディスパーゼ（I n v i t r o g e n ; C a t # 1 7 1 0 5 - 0 4 1）溶液に 3 7 で 5 ~ 7 分間曝露して、続いて単層を M E F 馴化培地ですすぎ、穏やかにかき取り、細胞クラスターを回収することにより実施した。クラスターを低速度で遠心して細胞ペレットを回収し、残留ディスパーゼを除去した。細胞クラスターはルーチン的な維持培養については 1 : 3 比又は 1 : 4 比で、あるいは直接アッセイについては 1 : 1 比で継代した。全てのヒト E S 細胞株は 5 0 未満の継代数で維持し、正常な核型について及びマイコプラズマの非存在について、ルーチン的に評価した。

【 0 3 4 5 】

細胞クラスターは、8 n g / m L の b F G F を添加した M E F 馴化培地に均一に再懸濁して、growth factor - reduced M A T R I G E L（商標）をコートした 2 4 ウェルのブラックウォール培養プレート（A r c t i c W h i t e ; C a t # A W L S - 3 0 3 0 1 2）上に 0 . 5 m L / ウェルの用量を播種した。使用した培養培地を各ウェルから吸引し、等量の新鮮な培地と交換することで毎日の培地供給を実施した。アッセイの持続時間の間、プレートは 3 7 、5 % C O ₂ で維持した。

【 0 3 4 6 】

アッセイ：各ウェルから培養培地を吸引し、試験培地のアリコート（0 . 5 m L）を加えて戻すことでアッセイを開始した。培地を各ウェルから吸引し、新鮮な試験培地と交換することにより毎日培地供給しながら、分化の第 1 工程のための試験条件を 3 日間の期間にわたって実施した。1 % ウシ血清アルブミンフラクション V、脂肪酸不含（F A F B S A）（M P B i o m e d i c a l s , I n c ; C a t # 1 5 2 4 0 1）、1 % P r o b u m i n（M i l l i p o r e ; C a t # [HYPERLINK "http://www.millipore.com/catalogue/item/81-068-3"](http://www.millipore.com/catalogue/item/81-068-3) 8 1 - 0 6 8 - 3）、及び 2 0 n g / m L の W n t 3 a（R & D S y s t e m s ; C a t # 1 3 2 4 - W N / C F）を添加した R P M I - 1 6 4 0 培地（I n v i t r o g e n ; C a t # 2 2 4 0 0）中に各増殖因子を希釈したそれぞれのアッセイウェルに、アッセイの初日に 1 0 0 n g / m L のアクチビン A（P e p r o T e c h ; C a t # 1 2 0 - 1 4）又は 2 0 0 n g / m L の G D F - 8（R & D S y s t e m s , C a t # 7 8 8 - G 8）を加えた。アッセイの二日目に、2 % F A F B S A を添加した、W n t 3 a は不含の R P M I - 1 6 4 0 培地中に、1 0 0 n g / m L のアクチビン A 又は 2 0 0 n g / m L の G D F - 8 を希釈した。G D F -

10

20

30

40

50

8を用いる一部の試験サンプルでは、Wnt3aを2.5 μ Mの濃度の化合物34又は化合物56のいずれかに置き換え、かつ化合物34又は化合物56のいずれかを、胚体内胚葉分化の全3日間にわたって毎日加えた。分化の第1工程の終了時に、細胞を一部のウェルからフローサイトメトリー解析のために回収し、胚体内胚葉形成のマーカーであるCXCR4のレベルを評価した。更にウェルをRT-PCR解析のために回収し、分化についての他のマーカーを測定した。

【0347】

分化の第1工程の最後に、各処理群からの並行ウェルの複製セットに更なる段階的な分化を施した。第一分化工程の後に、全てのウェルが継続して培養され、同様の処理による分化を受けたことを注記しておく必要がある。この連続的な分化のためのプロトコルを以下に記載する。

10

【0348】

分化プロトコルの工程2を二日間にわたって実施した。各ウェルから培地を吸引し、2%ウシ血清アルブミンフラクションV、脂肪酸不含(FAFBSA)(MPBiomedicals, Inc; Cat # 152401)、50 ng/mLのFGF7(PeproTech; Cat # 100-19)、及び250 nMシクロパミン(Calbiochem; Cat # 239804)を含有しているDMEM:F12培地(Invitrogen; Cat # 11330-032)の新鮮なアリコート(0.5 mL)と交換することで、細胞に毎日培地供給した。

20

【0349】

分化プロトコルの工程3を四日間にわたって実施した。各ウェルから培地を吸引し、1% B27(Invitrogen; Cat # 17504-044)、50 ng/mLのFGF7、100 ng/mLのノギン(R&D Systems; Cat # 3344-NG)、250 nMのKAAD-シクロパミン(Calbiochem; Cat # 239804)、及び2 μ Mのオールトランスレチノイン酸(RA)(Sigma-Aldrich; Cat # R2625)を添加したDMEM-高グルコース(Invitrogen; Cat # 10569)の新鮮なアリコート(0.5 mL)と交換することで、細胞に毎日培地供給した。分化の第3工程の最後に、RT-PCRによる解析のために一部のウェルから細胞を回収し、分化マーカーを測定した。他の培養ウェルでは、臍臓内胚葉に関連付けられる転写因子であるPdx1、及び腸管内胚葉に関連付けられる転写因子であるCdx2の、タンパク質発現レベルについて、ハイコンテンツな画像解析を実施した。

30

【0350】

分化プロトコルの工程4を三日間にわたって実施した。各ウェルから培地を吸引し、1%のB27、100 ng/mLのノギン、100 ng/mLネトリン-4、1 μ M DAPT(EMD Biosciences; Cat # 565770)、及び1 μ M Alk5インヒビター(Axxora; Cat # ALX-270-445)を添加したDMEM-高グルコースの新鮮なアリコート(0.5 mL)と交換することで、細胞に毎日新鮮なアリコートを供給した。分化の第4工程の終了時に、RT-PCRによる解析のために一部のウェルから細胞を回収し、分化マーカーを測定した。他の培養ウェルに対しては、PDX1のタンパク質発現レベルについて、ハイコンテンツな画像解析を実施した。

40

【0351】

分化プロトコルの工程5を、1%のB27及び1 μ M Alk5インヒビターを添加したDMEM-高グルコースで7日間にわたって実施した。毎日各ウェル中の培地を吸引し、新鮮なアリコート(0.5 mL)で交換した。分化の第5工程の終了時に、RT-PCRによる解析のために一部のウェルから細胞を回収し、分化マーカーを測定した。他の培養ウェルには、インスリン及びグルカゴンのタンパク質発現レベルについてのハイコンテンツな画像解析を実施した。

【0352】

分化プロトコルの工程6を、1%のB27を添加したDMEM-高グルコースで7日間

50

にわたって実施した。一日おきに各ウェル中の培地を吸引し、新鮮なアリコート (0.5 mL) に交換した。分化の第6工程の終了時に、RT-PCRによる解析のために一部のウェルから細胞を回収し、分化マーカーを測定した。

【0353】

FACS解析: 0.5%ヒト - グロブリン (Sigma; Cat # G-4386) のPBS (Invitrogen; Cat # 14040-133) 溶液とBD FACS染色バッファ - BSA (BD; Cat # 554657) との1:5溶液で、FACS解析用の細胞を4で15分間にわたってブロックした。次いでCD9PE (BD; Cat # 555372)、CD99PE (Caltag; Cat # MHCD9904) 及びCXCR4 APC (R&D Systems; Cat # FAB173A) に対する抗体で、細胞を4で30分間にわたって染色した。BD FACS染色バッファでの一連の洗浄の後、生死判別のため細胞を7-AAD (BD; Cat # 559925) で染色し、BD FACS解析を実施した。PE及びAPCの両方に対するマウスIgG1Kアイソタイプ対照抗体を、陽性細胞パーセントを得る (gate) ために使用した。

10

【0354】

RT-PCR解析: RNAサンプルを、エタノールを含有している高塩濃度緩衝液の存在下で、シリカゲル膜 (Rneasy Mini Kit, Qiagen, CA) に結合させた後、洗浄して混入物を除去することにより精製した。RNAをTURBO DNA-フリーキット (Ambion, INC) を使用して更に精製し、次いで高品質RNAを水中に溶出させた。収率及び純度は分光光度計でのA260及びA280の測定値により評価した。ABI (ABI, CA) のhigh capacity cDNA archive kitを使用して、精製したRNAからcDNAコピーを作成した。

20

【0355】

特に記載のない限り、全試薬はApplied Biosystemsから購入した。ABI PRISM (登録商標) 7900配列検出システムを使用して、リアルタイムPCR反応を行った。20ngの逆転写RNAと共に、TAQMAN (登録商標) UNIVERSAL PCR MASTER MIX (登録商標) (ABI, CA) を、20µLの全反応容量で使用した。各cDNAサンプルは2つ組複製で実施して、ピペッティング誤差を補正した。プライマー及びFAM - 標識TAQMAN (登録商標) プローブを200nMの濃度で使用した。各標的遺伝子に関する発現レベルを、以前にApplied Biosystemsにより開発されたヒトグリセルアルデヒド - 3 - リン酸デヒドロゲナーゼ (GAPDH) 内在性対照を使用して正規化した。プライマーセット及びプローブセットは表12に一覧にしてある。最初に50で2分間、次いで95で10分間インキュベーションした後、サンプルを、95で15秒間の変性工程と、その後の60で1分間のアニーリング/伸長工程の2段階に40サイクルかけた。GENEAMP (登録商標) 7000配列検出システムソフトウェアを使用して、データ解析を行った。各プライマー/プローブセットについて、増幅の指数関数領域の中央において蛍光強度が特定の値に到達したサイクル数としてのCt値を決定した。比較Ct法を使用して、相対的な遺伝子発現レベルを算出した。簡潔に述べると、各cDNAサンプルに関して、対象とする遺伝子のCt値から内在性対照のCt値を減算して、デルタCt値 (ΔCt) を得た。増幅は100%効率であると仮定し、正規化した標的量を $2^{-\Delta Ct}$ として算出した。最終的なデータを、標準物質サンプルに関して表した。

30

40

【0356】

ハイコンテンツな解析: 培養の最後に、アッセイプレートにPBS (Invitrogen; Cat # 14190) で1回洗浄し、4%パラホルムアルデヒド (Alexis Biochemical; Cat # ALX-350-011) で室温で20分間にわたって固定し、次いでPBSで3回洗浄し、0.5% Triton X-100 (Sigma; Cat # T8760-2) で室温で20分間にわたって透過処理した。細胞を再度PBSで3回洗浄し、4%ニワトリ血清 (Invitrogen; Cat #

50

16110082)のPBS溶液で、室温で30分間にわたってブロッキング処理した。一次抗体(ヤギ抗ヒトSOX17; R&D Systems; Cat # AF1924)を4%ニワトリ血清に1:100で希釈し、室温で2時間各ウェルに加えた。PBSでの3回の洗浄のあと、Alexa Fluor 488を結合させた二次抗体(ニワトリ抗ヤギIgG; Invitrogen; Cat # A21467)をPBSに1:200希釈したものを各ウェルに加えた。核を対比染色するために、5 µg/mL Hoechst 33342 (Invitrogen; Cat # H3570)を室温で15分間加えた。プレートをPBSで1回洗浄し、撮像のために100 µL/ウェルのPBSで残した。解析のために使用した他の一次抗体には、1:100希釈マウス抗ヒトCDX2 (Invitrogen; Cat # 397800)、1:100希釈ヤギ抗ヒトPdx1 (Santa Cruz Biotechnology; Cat # SC-14664)、1:200希釈ウサギ抗ヒトインスリン (Cell Signaling; Cat # C27C9)、及び1:1500希釈マウス抗ヒトグルカゴン (Sigma-Aldrich; Cat # G2654)が含まれた。解析のために使用した二次抗体には、1:400希釈Alexa Fluor 647ニワトリ抗マウスIgG (Invitrogen; Cat # A-21463)、1:200希釈Alexa Fluor 488ロバ抗ヤギIgG (Invitrogen; Cat # A11055)、1:1000希釈Alexa Fluor 647ニワトリ抗ウサギIgG (Invitrogen; Cat # A21443)、及び1:1000希釈Alexa Fluor 488ニワトリ抗マウスIgG (Invitrogen; Cat # A21200)が含まれた。

【0357】

Hoechst 33342とAlexa Fluor 488とで染色した細胞用に51008bsダイクロイックを利用して、IN Cell Analyzer 1000 (GE Healthcare)を用いて撮像を実施した。1ウェルあたり25視野から撮像を得た。IN Cell Developer Toolbox 1.7 (GE Healthcare)ソフトウェアを用いて総強度についての測定値を各ウェルから得た。核の分裂は、グレースケールレベル(ベースライン範囲100~300)と核の大きさに基づいて判定した。各複製データセットについて平均及び標準偏差を算出した。総タンパク質発現は、細胞面積によって乗じた細胞の総蛍光値として定義される総強度又は積分強度として記録した。バックグラウンドは、200~4500の間のグレースケール範囲の許容基準に基づいて除去した。総強度データは、各ウェルについての総強度を陽性対照についての平均総強度で除することにより正規化した。

【0358】

代表的な分化マーカーについてのPCRの結果を、分化の各工程から回収した細胞について表13に示す。GDF-8とWnt3aで処理するかあるいは、GDF-8と化合物34又はGDF-8と化合物56のいずれかで処理したサンプルは同様の結果を示し、あるいは場合によっては内胚葉分化及び内分泌腺分化に関連付けられる発現マーカーの発現レベルの改善を示した。

【0359】

図3はFACS解析の結果を示し、分化の第1工程後の、胚体内胚葉マーカー(CXC R4)の発現を示す。GDF-8とWnt3aでのヒト胚性幹細胞の処理は、アクチビンAとWnt3aでの処理と比較して、CXC R4陽性細胞に関して同等の百分率を生み出した。同様にして、GDF-8と低分子(化合物34又は化合物56)でのヒト胚性幹細胞の処理も、CXC R4陽性細胞に関して同等であるかわずかに高い百分率を生み出した。図4は胚体内胚葉への3日間の分化後のヒト胚性幹細胞における正規化SOX17タンパク質発現についてのハイコンテンツな画像解析を示す。GDF-8とWnt3a又はGDF-8と低分子を使用した処理群の発現レベルは、アクチビンA及びWnt3aで処理したものと同様である。

【0360】

10

20

30

40

50

図5は膵臓内胚葉への分化の第3工程後のヒト胚性幹細胞における正規化Pdx1及びCdx2タンパク質発現についてのハイコンテンツな画像解析を示す。GDF-8とWnt3a、又はGDF-8とWnt3a、又はGDF-8と本発明の化合物、を用いた処理群のレベルは、PDX1及びCDX2について同レベルを示す。一部の処理群では、分化後に保持された細胞数が減少したことから、PDX1を発現している細胞の比率は増加している。図6に示されるような分化の第4工程の後で、全ての処理群で、同等の正規化PDX1発現量を示す同様の結果が得られた。図7は、インスリン及びグルカゴンの正規化タンパク質レベルを示し、アクチビンA処理群及びGDF-8処理群間の同等の発現を立証している。

【0361】

これらの集積された結果は、Wnt3aと、又は化合物34若しくは化合物56と組み合わせたGDF-8は、胚体内胚葉分化、並びにそれに続く膵臓内胚葉分化及び内分泌腺分化時にアクチビンAと代替し得ることを立証する。

【0362】

(実施例13)

タンパク質のGDFファミリーのその他のメンバーによる、胚体内胚葉系に特徴的なマーカーを発現している細胞の形成

ヒト胚性幹細胞をその他のGDFファミリーメンバーで処理した場合に胚体内胚葉系に特徴的なマーカーを発現している細胞を形成し得るかを判定することは重要であった。化合物34若しくは化合物56のいずれかと組み合わせたWnt3aを6種類の異なるGDF増殖因子[GDF-3、GDF-5、GDF-8、GDF-10、GDF-11、及びGDF-15]と組み合わせてヒト胚性幹細胞で試験し、タンパク質のGDFファミリーメンバーの、ヒト胚性幹細胞を胚体内胚葉系に特徴的なマーカーを発現している細胞へと分化させる能力について判定した。アクチビンA及びWnt3aで処理した細胞についての並行対照を、比較目的で維持した。

【0363】

アッセイのための細胞の調製：ヒト胚性幹細胞(H1ヒト胚性幹細胞株)の保存培養物は、growth factor-reduced MATRIGEL(商標)(BD Biosciences; Cat # 356231)でコートしたディッシュ上のMEF馴化培地中で、未分化の多能性状態のまま、平均して各4日ごとに継代しながら維持した。継代は、細胞培養物を1mg/mLディスパーゼ(Invitrogen; Cat # 17105-041)溶液に37℃で5~7分間曝露して、続いて単層をMEF馴化培地ですすぎ、穏やかにかき取り、細胞クラスターを回収することにより実施した。クラスターを低速度で遠心して細胞ペレットを回収し、残留ディスパーゼを除去した。細胞クラスターはルーチン的な維持培養については1:3比又は1:4比で、あるいは直接アッセイについては1:1比で継代した。全てのヒトES細胞株は50未満の継代数で維持し、正常な核型について及びマイコプラズマの非存在について、ルーチン的に評価した。

【0364】

細胞クラスターは、8ng/mLのbFGFを添加したMEF馴化培地に均一に再懸濁して、growth factor-reduced MATRIGEL(商標)をコートした96ウェルPackard VIEWPLATES(PerkinElmer; Cat # 6005182)上に0.1mL/ウェルの用量を播種した。使用した培養培地を各ウェルから吸引し、等量の新鮮な培地と交換することで毎日の供給を実施した。アッセイの持続時間の間、プレートは37℃、5% CO₂で維持した。

【0365】

アッセイ：各ウェルから培養培地を吸引し、試験培地のアリコート(100µL)を加えて戻すことでアッセイを開始した。1日目と3日目に各ウェルから培地を吸引し、新鮮な試験培地と交換することで培地供給しながら、3つ組複製で、全部で4日間のアッセイ期間にわたる試験条件を実施した。タンパク質のGDFファミリーの様々なメンバーを、以下のように試験用に得た：GDF-3(PeproTech; Cat # 120-2

10

20

30

40

50

2) ; G D F - 5 (D e P u y O r t h o p a e d i c s , I n c . , a J o h n s o n & J o h n s o n c o m p a n y) ; G D F - 8 (R & D S y s t e m s ; C a t # 7 8 8 - G 8) ; G D F - 1 0 (R & D S y s t e m s ; C a t # 1 5 4 3 - B P) ; G D F 1 1 (P e p r o T e c h ; C a t # 1 2 0 - 1 1) ; G D F - 1 5 (R & D S y s t e m s ; C a t # 9 5 7 - G D) 。 D M E M : F 1 2 培地 (I n v i t r o g e n ; C a t # 1 1 3 3 0 - 0 3 2) に 0 . 5 % ウシ胎児血清 (H y c l o n e ; C a t # S H 3 0 0 7 0 . 0 3) を添加した基本培地のアリコート (8 0 μ L) を、アッセイの初日に全てのウェルに加えた。一連の5つの異なる対照又は実験用試験サンプルを、アクチビンAを評価するために、あるいは様々なWnt3aを又は化合物34若しくは化合物56と組み合わせたGDFを評価するために作製した。適切に一致させたアッセイウェルにこれらの試験サンプルの20 μ Lアリコート (5 x 濃縮品) を加えることで、100 μ Lの最終アッセイ用量を記載の最終アッセイ条件で各ウェル中に作製した。対照試料の第1セットでは以下の条件を試験した：1) 添加剤不含 (即ち、添加性の増殖因子又は低分子は存在しない) ；2) 20 ng / mL のWnt3a (R & D S y s t e m s ; C a t # 1 3 2 4 - W N / C F) と組み合わせた100 ng / mL のアクチビンA (P e p r o T e c h ; C a t # 1 2 0 - 1 4) ；3) 20 ng / mL のWnt3a単独；4) 任意の増殖因子又は低分子は不含で化合物34 (2 . 5 μ M) 単独；5) 任意の増殖因子又は低分子は不含で化合物56 (2 . 5 μ M) 単独。試験サンプルの第2セットでは以下の条件を100 ng / mL のGDF3と組み合わせて試験した：1) 添加剤不含 (すなわちGDF - 3単独) ；2) 20 ng / mL のWnt3a；3) 化合物34 (2 . 5 μ M) と20 ng / mL のWnt3a；4) 化合物34 (2 . 5 μ M) ；5) 化合物56 (2 . 5 μ M) ；及び6) 化合物56 (2 . 5 μ M) と20 ng / mL のWnt3a。試験サンプルの第3セットでは、6つの各条件を100 ng / mL のGDF - 5と組み合わせた。試験サンプルの第4セットでは、6つの各条件を100 ng / mL のGDF - 8と組み合わせた。試験サンプルの第5セットでは、6つの各条件を100 ng / mL のGDF - 10と組み合わせた。試験サンプルの第6セットでは、6つの各条件を100 ng / mL のGDF - 11と組み合わせた。試験サンプルの第7セットでは、6つの各条件を100 ng / mL のGDF - 15と組み合わせた。2 % F B S を添加したD M E M : F 1 2 培地に、100 ng / mL のアクチビンA又は100 ng / mL のそれぞれのGDF増殖因子をWnt3a又は化合物34若しくは化合物56は不含で希釈して、アッセイの第3日目に全ての試験サンプル用の全てのウェルに含有させた。

【0366】

ハイコンテンツな解析：培養の最後に、アッセイプレートにPBS (I n v i t r o g e n ; C a t # 1 4 1 9 0) で1回洗浄し、4 % パラホルムアルデヒド (A l e x i s B i o c h e m i c a l ; C a t # A L X - 3 5 0 - 0 1 1) で室温で20分間にわたって固定し、次いでPBSで3回洗浄し、0 . 5 % T r i t o n X - 1 0 0 (S i g m a ; C a t # T 8 7 6 0 - 2) で室温で20分間にわたって透過処理した。細胞を再度PBSで3回洗浄し、4 % ニワトリ血清 (I n v i t r o g e n ; C a t # 1 6 1 1 0 0 8 2) のPBS溶液で、室温で30分間にわたってブロッキング処理した。一次抗体 (ヤギ抗ヒトSOX17 ; R & D S y s t e m s ; C a t # A F 1 9 2 4) を4 % ニワトリ血清に1 : 100で希釈し、室温で2時間各ウェルに加えた。PBSでの3回の洗浄のあと、A l e x a F l u o r 4 8 8 を結合させた二次抗体 (ニワトリ抗ヤギIgG ; I n v i t r o g e n ; C a t # A 2 1 4 6 7) をPBSに1 : 200希釈したものを各ウェルに加えた。核を対比染色するために、5 μ g / mL H o e c h s t 3 3 3 4 2 (I n v i t r o g e n ; C a t # H 3 5 7 0) を室温で15分間加えた。プレートをPBSで1回洗浄し、撮像のために100 μ L / ウェルのPBSで残した。

【0367】

H o e c h s t 3 3 3 4 2 と A l e x a F l u o r 4 8 8 とで染色した細胞用に51008bsダイクロイックを利用して、I N C e l l A n a l y z e r 100

0 (G E H e a l t h c a r e) を用いて撮像を実施した。1 ウェルあたり 25 視野から撮像を得た。I N C e l l D e v e l o p e r T o o l b o x 1 . 7 (G E H e a l t h c a r e) ソフトウェアを用いて総強度についての測定値を各ウェルから得た。核の分裂は、グレースケールレベル (ベースライン範囲 100 ~ 300) と核の大きさに基づいて判定した。各複製データセットについて平均及び標準偏差を算出した。総タンパク質発現は、細胞面積によって乗じた細胞の総蛍光値として定義される総強度又は積分強度として記録した。バックグラウンドは、200 ~ 4500 の間のグレースケール範囲の許容基準に基づいて除去した。総強度データは、各ウェルについての総強度を陽性対照についての平均総強度で除することにより正規化した。

【0368】

図8は胚体内胚葉への4日間の分化後のヒト胚性幹細胞におけるSOX17タンパク質発現についてのハイコンテンツな画像解析を示す。各場合において、得られた結果をアクチビンA及びWnt3aでの陽性対照処理に対して正規化した。図8Aにおいて、陽性対照処理のみがSOX17の有意な発現を行い；Wnt3a単独あるいは化合物34若しくは化合物56単独での処理ではSOX17発現の誘導に失敗した。図8のパネルB~Gに、それぞれの処理でアクチビンAの代わりに各GDF増殖因子を使用した場合のSOX17発現濃度を正規化して示す。GDF-3 (図8B) 及びGDF-5 (図8C) はSOX17の弱い発現を誘導したが、これは本発明の化合物の1つが存在している試験サンプルでのみであった。GDF10 (図8D) 、GDF11 (図8E) 及びGDF15 (図8G) はGDF3又はGDF5処理で観察されたレベルを超える有意なレベルのSOX17発現を誘導したが、アクチビンA及びWnt3a処理で観察されたレベルには劣った。概してSOX17発現はGDF-10、GDF-11、又はGDF-15をWnt3aと組み合わせた場合にはごくわずかであったが、本発明の化合物の一つと組み合わせた場合には改善され；特に化合物34と組み合わせた場合に改善された。図8DはGDF-8を用いた処理群について得られた結果を示し、化合物34若しくは化合物56のいずれかと組み合わせたGDF-8は、アクチビンA / Wnt3a陽性対照について見られた結果を上回る、SOX17の強い誘導を引き起こした。これらの実施例の一部では、GDF増殖因子と組み合わせた化合物34若しくは化合物56の存在はまた、分化時の細胞数の増加もたらした。

【0369】

これらの収集された結果は、化合物34若しくは化合物56と組み合わせて使用した場合、試験した全ての他のGDFファミリーメンバーをGDF-8が上回ったことと、並びに胚体内胚葉分化時にGDF-8がアクチビンAと代替し得ることを立証する。

【0370】

(実施例14)

タンパク質のTGFスーパーファミリーのその他のメンバーによる、胚体内胚葉系に特徴的なマーカーを発現している細胞の形成

ヒト胚性幹細胞をその他のTGFスーパーファミリーメンバーで処理した場合、胚体内胚葉系に特徴的なマーカーを発現している細胞の形成を促進し得るかを判定することは重要であった。化合物34及びWnt3aをTGF-1、BMP2、BMP3、又はBMP4のいずれかと組み合わせてヒト胚性幹細胞で試験して、TGFスーパーファミリーメンバーの、ヒト胚性幹細胞を胚体内胚葉系に特徴的なマーカーを発現している細胞へと分化させる能力について判定した。並行して、GDF-8の2つの異なる市販供給源をWnt3aと組み合わせて、ヒト胚性幹細胞を胚体内胚葉系に特徴的なマーカーを発現している細胞へと分化させる能力について試験した。アクチビンAとWnt3aを使用する陽性対照を、比較目的で維持した。

【0371】

アッセイのための細胞の調製：ヒト胚性幹細胞 (H1ヒト胚性幹細胞株) の保存培養物は、growth factor - reduced MATRIGEL (商標) (BD Biosciences ; Cat # 356231) でコートしたディッシュ上のME

10

20

30

40

50

F 馴化培地中で、未分化の多能性状態のまま、平均して各 4 日ごとに継代しながら維持した。継代は、細胞培養物を 1 mg / mL ディスパーゼ (Invitrogen; Cat # 17105-041) 溶液に 37 で 5 ~ 7 分間曝露して、続いて単層を MEF 馴化培地ですすぎ、穏やかにかき取り、細胞クラスターを回収することにより実施した。クラスターを低速度で遠心して細胞ペレットを回収し、残留ディスパーゼを除去した。細胞クラスターはルーチン的な維持培養については 1 : 3 比又は 1 : 4 比で、あるいは直接アッセイについては 1 : 1 比で継代した。全てのヒト胚性幹細胞株は 50 未満の継代数で維持し、正常な核型について及びマイコプラズマの非存在について、ルーチン的に評価した。

【0372】

細胞クラスターは、8 ng / mL の bFGF を添加した MEF 馴化培地に均一に再懸濁して、growth factor-reduced MATRIGEL (商標) をコートした 96 ウェル Packard VIEWPLATES (PerkinElmer; Cat # 6005182) 上に 0.1 mL / ウェルの用量を播種した。使用した培養培地を各ウェルから吸引し、等量の新鮮な培地と交換することで毎日の培地供給を実施した。アッセイの間、プレートは 37、5% CO₂ で維持した。

【0373】

アッセイ：各ウェルから培養培地を吸引し、試験培地のアリコート (100 µL) を加えて戻すことでアッセイを開始した。1 日目と 2 日目に各ウェルから培地を吸引し、新鮮な試験培地と交換することで培地供給しながら、3 つ組複製で、全部で 3 日間のアッセイ期間にわたる試験条件を実施した。様々な増殖因子タンパク質を試験のために、以下のよう 20
に得た：BMP-2 (R&D Systems; Cat # 355-BM); BMP-3 (R&D Systems; Cat # 113-BP); BMP-4 (R&D Systems; Cat # 314-BP); TGF-1 (R&D Systems; Cat # 240-B); GDF-8 (PeproTech; Cat # 120-00); GDF-8 (Shenandoah; Cat # 100-22); 及びアクチビン A (PeproTech; Cat # 120-14)。アッセイの初日に各ウェルを 80 µL の増殖培地 [2.5% ウシ血清アルブミンフラクション V、脂肪酸不含 (FAF BSA) (MP Biomedicals, Inc; Cat # 152401)、及び 10 ng / mL の bFGF を含有している RPMI-1640 (Invitrogen; Cat # : 22400)] で処理した。一部のウェルでは増殖培地に 25 ng / mL の W 30
nt3a (R&D Systems; Cat # 1324-WN/CF) を添加して 20 ng / mL の最終アッセイ濃度を得た。一部のウェルでは、増殖培地にアクチビン A を添加して 100 ng / mL の最終アッセイ濃度を得た。一部のウェルでは、増殖培地に 3.125 µM の化合物 34 を添加して、2.5 µM の最終アッセイ濃度を得た。追加の増殖因子 (5x 濃縮品、RPMI-1640 に希釈) を用量漸増させて同様にそれぞれの試験ウェルに加え、全ての処理条件について 100 µL の最終アッセイ容量を得た。アッセイの二日目に Wnt3a 及び化合物 34 をアッセイから除去した。全てのウェルには 80 µL 増殖培地 [2.5% FAF BSA、及び 10 ng / mL の bFGF を含有している RPMI-1640] 及び 20 µL のそれぞれの増殖因子希釈物 (5x 濃縮物を RPMI-1640 で希釈) を含有させた。本アッセイの比較対照には：1) 増殖因子の添加なし；2) Wnt3a 単独；及び 3) アクチビン A と Wnt3a が挙げられる。GDF-8 の各市販供給源を Wnt3a と組み合わせて試験した。Wnt3a と、化合物 34 と、及び化合物 34 と組み合わせた Wnt3a の両方とで、各 BMP 増殖因子並びに TGF-1 を試験した。

【0374】

ハイコンテンツな解析：培養の最後に、アッセイプレートを PBS (Invitrogen; Cat # 14190) で 1 回洗浄し、4% パラホルムアルデヒド (Alexis Biochemical; Cat # ALX-350-011) で室温で 20 分間にわたって固定し、次いで PBS で 3 回洗浄し、0.5% Triton X-100 (Sigma; Cat # T8760-2) で室温で 20 分間にわたって透過処理した。

10

20

30

40

50

細胞を再度PBSで3回洗浄し、4%ニワトリ血清 (Invitrogen; Cat # 16110082) のPBS溶液で、室温で30分間にわたってブロッキング処理した。一次抗体 (ヤギ抗ヒトSOX17; R&D Systems; Cat # AF1924) を4%ニワトリ血清に1:100で希釈し、室温で2時間各ウェルに加えた。PBSでの3回の洗浄のあと、Alexa Fluor 488を結合させた二次抗体 (ニワトリ抗ヤギIgG; Invitrogen; Cat # A21467) をPBSに1:200希釈したものを各ウェルに加えた。核を対比染色するために、5 µg/mL Hoechst 33342 (Invitrogen; Cat # H3570) を室温で15分間加えた。プレートをPBSで1回洗浄し、撮像のために100 µL/ウェルのPBSで残した。

10

【0375】

Hoechst 33342とAlexa Fluor 488とで染色した細胞用に51008bsダイクロックを利用して、IN Cell Analyzer 1000 (GE Healthcare) を用いて撮像を実施した。1ウェルあたり25視野から撮像を得た。IN Cell Developer Toolbox 1.7 (GE Healthcare) ソフトウェアを用いて総強度についての測定値を各ウェルから得た。核の分裂は、グレースケールレベル (ベースライン範囲100~300) と核の大きさに基づいて判定した。各複製データセットについて平均及び標準偏差を算出した。総タンパク質発現は、細胞面積によって乗じた細胞の総蛍光値として定義される総強度又は積分強度として記録した。バックグラウンドは、200~4500の間のグレースケール範囲の許容基準に基づいて除去した。総強度データは、各ウェルについての総強度を陽性対照についての平均総強度で除することにより正規化した。

20

【0376】

図9は胚体内胚葉への3日間の分化後のヒト胚性幹細胞におけるSOX17タンパク質発現についてのハイコンテンツな画像解析を示す。各場合において、得られた結果をアクチビンAとWnt3aについての陽性対照処理に対して正規化した。図9Aにおいて得られた結果は、増殖培地単独での、又はWnt3a単独での処理はSOX17発現の誘導に失敗し; アクチビンAを添加した処理のみがSOX17の強い発現をもたらしたことを示す。図9のパネルB及びCでは、GDF-8の市販供給源の各々について得られた結果を記し、2つの製造供給元間の効力の差を示している。アクチビンAよりも効力は劣るが、Wnt3aと組み合わせてGDF-8で処理した細胞においてSOX17発現は有意に誘導された。図9のパネルD、E、F及びGでは、Wnt3a、又は化合物34、又はWnt3aと化合物34の両方を組み合わせて、BMP2、BMP3、BMP4、及びTGF-1を、各増殖因子について用量漸増的に組み込んで用いた、胚体内胚葉分化で得られた結果を示している。一部の処理はアッセイの終了時に細胞数に対する有意な効果を有したが (例えば、BMP2及びBMP4)、任意のこれらの増殖因子と処理との組み合わせから得られたSOX17発現の誘導は、Wnt3a処理単独の場合と比較して弱いあるいはごくわずかであった。

30

【0377】

(実施例15)

本発明の化合物の選択での、胚体内胚葉系に特徴的なマーカーを発現している細胞の形成についての、投与量範囲の研究

胚体内胚葉系に特徴的なマーカーを発現している細胞の形成を媒介し得る化合物181、化合物180、化合物19、化合物202、化合物40、及び化合物34の最適作用濃度を知ることは重要であった。連動して、胚体内胚葉アッセイにおいて、アクチビンA又はGDF-8と組み合わせた各化合物の用量設定について、対照比較を実施した。最終的に、各化合物用の曝露時間をアッセイで試験し、アクチビンA又はGDF-8と組み合わせて、アッセイの初日のみか、あるいは胚体内胚葉形成の全3日間を通して化合物を添加した。

40

【0378】

50

アッセイのための細胞の調製：ヒト胚性幹細胞（H1ヒト胚性幹細胞株）の保存培養物は、growth factor-reduced MATRIGEL（商標）（BD Biosciences；Cat # 356231）でコートしたディッシュ上の、8 ng/mLのbFGF（PeproTech Inc.；Cat # 100-18B）を添加したMEF馴化培地中で、未分化の多能性状態のまま、平均して各4日ごとに継代しながら維持した。継代は、細胞培養物を1 mg/mLディスパーゼ（Invitrogen；Cat # 17105-041）溶液に37℃で5～7分間曝露して、続いて単層をMEF馴化培地ですすぎ、穏やかにかき取り、細胞クラスターを回収することにより実施した。クラスターを低速度で遠心して細胞ペレットを回収し、残留ディスパーゼを除去した。細胞クラスターはルーチン的な維持培養については1：3比又は1：4比で、あるいは直接アッセイについては1：1比で継代した。全てのヒト胚性幹細胞株は50未満の継代数で維持し、正常な核型について及びマイコプラズマの非存在について、ルーチン的に評価した。

10

【0379】

細胞クラスターは、8 ng/mLのbFGFを添加したMEF馴化培地に均一に再懸濁して、0.1 mL/ウェルの用量を、growth factor-reduced MATRIGEL（商標）をコートした96ウェルPackard VIEWPLATES（PerkinElmer；Cat # 6005182）上に播種した。使用した培養培地を各ウェルから吸引し、等量の新鮮な培地と交換することで毎日の供給を実施した。アッセイの持続時間の間、プレートは37℃、5% CO₂で維持した。

20

【0380】

アッセイ：各ウェルから培養培地を吸引し、試験培地のアリコート（100 µL）を加えて戻すことでアッセイを開始した。各ウェルから培地を吸引し、新鮮な試験培地と交換することで毎日供給しながら、4つ組複製で、全部で4日間のアッセイ期間にわたる試験条件を実施した。各ウェルを80 µL増殖培地[2.5%ウシ血清アルブミンフラクションV、脂肪酸不含（FAF BSA）（MP Biomedicals, Inc；Cat # 152401）、10 ng/mLのbFGF、及び追加の増殖因子（1.25 x 濃縮品）を含有しているRPMI-1640（Invitrogen；Cat # 22400）]及び20 µL試験化合物（5 x 濃縮品をRPMI-1640に希釈）で処理し、各ウェル中に最終アッセイ用量100 µLを得た。本アッセイにおける試験化合物は、本発明の6種類の化合物：化合物181、化合物180、化合物19、化合物202、化合物40、及び化合物34、並びに市販供給されているGSK3iインヒビターBIO（EMD Chemicals, Inc.；Cat # 361550）を含んだ。アッセイの初日に、様々な対象又は実験条件でウェルを処理した。記載されるような最終アッセイ濃度を有する対照条件は以下のとおりである：1) 増殖培地単独；2) 20 ng/mLのWnt3a単独（R&D Systems；Cat # 1324-WN/CF）；3) 100 ng/mLのアクチビンA（PeproTech；Cat # 120-14）；4) 100 ng/mLのアクチビンA及び20 ng/mLのWnt3a；5) 100 ng/mLのGDF-8（R&D Systems，Cat # 788-G8）；6) 100 ng/mLのGDF-8及び20 ng/mLのWnt3a。試験化合物を連続2倍段階希釈することで最終アッセイの78 nM～10 µMの濃度範囲を得た。実験用の試験サンプルは、100 ng/mLのアクチビンA又は100 ng/mLのGDF-8と、それぞれの化合物の連続希釈物を組み合わせたものであり、両方の処理剤のセットは共にWnt3aは不含であった。アッセイの2日目及び3日目に、20 ng/mLのWnt3a又は希釈済み試験化合物をアクチビンA又はGDF-8のいずれかと組み合わせて、一部のウェルを引き続き処理した。その他のウェルでは、アクチビンA又はGDF-8処理をアッセイの2日目及び3日目にも続けたが、Wnt3a又は希釈済み試験化合物は除去した。

30

40

【0381】

ハイコンテンツな解析：培養の最後に、アッセイプレートをPBS（Invitrogen；Cat # 14190）で1回洗浄し、4%パラホルムアルデヒド（Alexi

50

s Biochemical; Cat # ALX-350-011) で室温で20分間にわたって固定し、次いでPBSで3回洗浄し、0.5% Triton X-100 (Sigma; Cat # T8760-2) で室温で20分間にわたって透過処理した。細胞を再度PBSで3回洗浄し、4%ニワトリ血清 (Invitrogen; Cat # 16110082) のPBS溶液で、室温で30分間にわたってブロッキング処理した。一次抗体 (ヤギ抗ヒトSOX17; R&D Systems; Cat # AF1924) を4%ニワトリ血清に1:100で希釈し、室温で2時間各ウェルに加えた。PBSでの3回の洗浄のあと、Alexa Fluor 488を結合させた二次抗体 (ニワトリ抗ヤギIgG; Invitrogen; Cat # A21467) をPBSに1:200希釈したものを各ウェルに加えた。核を対比染色するために、5 µg/mL Hoechst 33342 (Invitrogen; Cat # H3570) を室温で15分間にわたって加えた。プレートをPBSで1回洗浄し、撮像のために100 µL/ウェルのPBSで残した。

【0382】

Hoechst 33342とAlexa Fluor 488とで染色した細胞用に51008bsダイクロイックを利用して、IN Cell Analyzer 1000 (GE Healthcare) を用いて撮像を実施した。1ウェルあたり25視野から撮像を得た。IN Cell Developer Toolbox 1.7 (GE Healthcare) ソフトウェアを用いて総強度についての測定値を各ウェルから得た。核の分裂は、グレースケールレベル (ベースライン範囲100~300) と核の大きさに基づいて判定した。各複製データセットについて平均及び標準偏差を算出した。総タンパク質発現は、細胞面積によって乗じた細胞の総蛍光値として定義される総強度又は積分強度として記録した。バックグラウンドは、200~4500の間のグレースケール範囲の許容基準に基づいて除去した。総強度データは、各ウェルについての総強度を陽性対照についての平均総強度で除することにより正規化した。

【0383】

結果：ハイコンテンツな解析で得られた結果は、SOX17発現については図10~14に、及びアッセイの終了時に得られた細胞数については図15~19に示す。図10では、アクチビンA又はGDF-8を単独で又はWnt3aと組み合わせて使用した対照処理から得られたSOX17発現についての結果を示す。アクチビンA処理は、GDF-8処理で観察されたものよりも有意により高いSOX17発現をもたらした。同様にして、図15でも見られるように、Wnt3aはアッセイの間の1日間又は3日間のいずれで存在していたかには関係なく、アクチビンA処理では、アッセイの終了時にGDF-8処理で見られるよりもより大きな数の細胞が得られた。アッセイの開始一日目に存在していたのか、あるいはアッセイの持続時間を通して3日間にわたって存在していたのかには関わらず、アクチビンA処理時の化合物181、化合物180、化合物19、化合物202、化合物40、又は化合物34のいずれの添加もSOX17発現を増加させず (図11~12)、あるいは細胞数を増加させなかった (図17~18)。しかしながら、GDF-8と組み合わせての化合物181、化合物180、化合物19、化合物202、化合物40、又は化合物34のいずれかでの処理は、SOX17発現を有意に改善し (図13~14)、及びまたアッセイ終了時の細胞数を増加させた (図18~19)。化合物181、化合物180、化合物19、化合物202、化合物40、又は化合物34のいずれかとGDF-8とを組み合わせ使用したとき、多くの場合、アクチビンA処理で観察される結果と同程度に、SOX17発現及び細胞数が改善された。GDF-8と組み合わせた場合の改善された分化は明らかに用量漸増の効果であったが、最も高い濃度では毒性がしばしば観察された。ほとんどの場合、化合物及びGDF-8での処理由来の最も有益な働きは、アッセイの開始時に一日だけ化合物に曝露する場合に認められた。一部の 경우에는、アッセイ時間の間中化合物を存在させることは有害作用を有さず、あるいはほんのわずかに有益効果を有した。これらの集積的な結果から、GDF8処理と組み合わせての各化合物についての最適作用濃度を判定した。得られた結果は化合物特異的なものであり、概して本

10

20

30

40

50

アッセイで試験されたように $1 \sim 10 \mu\text{M}$ の範囲であった。

【0384】

(実施例16)

膵内分泌腺系に特徴的なマーカーを発現している細胞への更なる分化を可能にする本発明の方法によらずに作製された、胚体内胚葉系に特徴的なマーカーを発現している細胞

更なる低分子を GDF-8 と組み合わせて胚体内胚葉分化について試験した。これらとしては、市販の GSK3 インヒビター並びに本発明の化合物が挙げられる。様々な低分子と組み合わせて GDF-8 で処理した細胞に段階的な分化プロトコルを適用した。膵臓内胚葉系又は膵内分泌腺系に代表的なバイオマーカーの遺伝子発現により、分化の有効性を判定した。アクチビン A と Wnt3a で処理した細胞の並行対照サンプルを、段階的な分化プロセスによって比較目的で維持した。

10

【0385】

アッセイのための細胞の調製：ヒト胚性幹細胞 (H1 ヒト胚性幹細胞株) の保存培養物は、growth factor-reduced MATRIGEL (商標) (BD Biosciences; Cat # 356231) でコートしたディッシュ上の MEF 馴化培地中で、未分化の多能性状態のまま、平均して各4日ごとに継代しながら維持した。継代は、細胞培養物を 1mg/mL ディスパーゼ (Invitrogen, Cat # : 17105-041) 溶液に37 で5~7分間曝露して、続いて単層を MEF 馴化培地ですすぎ、穏やかに掻き取り、細胞クラスターを回収することにより実施した。クラスターを低速度で遠心して細胞ペレットを回収し、残留ディスパーゼを除去した。細胞クラスターはルーチン的な維持培養については1:3比又は1:4比で、あるいは直接アッセイについては1:1比で継代した。全てのヒト胚性幹細胞株は50未満の継代数で維持し、正常な核型について及びマイコプラズマの非存在について、ルーチン的に評価した。

20

【0386】

細胞クラスターは、 8ng/mL の bFGF を添加した MEF 馴化培地に均一に再懸濁して、growth factor-reduced MATRIGEL をコートした24ウェルのブラックウォール培養プレート (Arctic White; Cat # A WLS-303012) 上に 0.5mL /ウェルの用量を蒔いた。使用した培養培地を各ウェルから吸引し、等量の新鮮な培地と交換することで毎日の培地供給を実施した。アッセイの持続時間の間、プレートは37、5% CO_2 で維持した。

30

【0387】

アッセイ：各ウェルから培養培地を吸引し、試験培地のアリコート (0.5mL) を加えて戻すことでアッセイを開始した。培地を各ウェルから吸引し、新鮮な試験培地と交換することにより毎日培地供給しながら、分化の第1工程のための試験条件を3日間の期間にわたって実施した。2%ウシ血清アルブミンフラクションV、脂肪酸不含 (FAF BSA) (Proliant Inc. Cat # : SKU 68700)、及び 20ng/mL の Wnt3a (R&D Systems; Cat # 1324-WN/CF) を添加した RPMI-1640 培地 (Invitrogen; Cat # : 22400) 中に各増殖因子を希釈したそれぞれのアッセイウェルに、アッセイの初日に 100ng/mL のアクチビン A (PeproTech; Cat # 120-14) 又は 100ng/mL の GDF-8 (R&D Systems, Cat # 788-G8) を加えた。アッセイの二日目に、2% FAF BSA を添加した、Wnt3a は不含の RPMI-1640 培地中に、 100ng/mL のアクチビン A 又は 100ng/mL の GDF-8 を希釈した。GDF-8 を使用した一部の試験サンプルでは、Wnt3a を低分子化合物に置き換えて、胚体内胚葉分化の1日目だけに加えた。これらの低分子としては、化合物19 (アッセイ中 $2.5\mu\text{M}$)、化合物202 (アッセイ中 $2.5\mu\text{M}$)、化合物40 (アッセイ中 $2.5\mu\text{M}$)、又は市販の GSK3 インヒビター BIO (アッセイ中 $0.5\mu\text{M}$) (EMD Chemicals, Inc.; Cat # 361550) が挙げられる。分化の第1工程の終了時に、細胞を一部のウェルからフローサイトメリー解析のために回収し、胚体内胚葉形成のマーカーである CXCR4 のレベルを評価した。更にウェルを R

40

50

T - P C R 解析のために回収し、分化についての他のマーカーを測定した。

【 0 3 8 8 】

胚体内胚葉分化の第 1 工程の最後に、各処理群からの並行ウェルの複製セットに更なる段階的な分化を施した。第 1 分化工程の後で、全てのウェルが引き続き培養され、同様の処理による分化を受けたことを注記しておく必要がある。この連続的な分化のためのプロトコルを以下に記載する。

【 0 3 8 9 】

分化プロトコルの工程 2 を二日間にわたって実施した。各ウェルから培地を吸引し、2 % F A F B S A、5 0 n g / m L の F G F 7 (P e p r o T e c h ; C a t # 1 0 0 - 1 9)、及び 2 5 0 n M シクロパミン - K A A D (C a l b i o c h e m ; C a t # 2 3 9 8 0 4) を含有している D M E M : F 1 2 培地 (I n v i t r o g e n ; C a t # 1 1 3 3 0 - 0 3 2) の新鮮なアリコート (0 . 5 m L) と交換することで、細胞に毎日培地供給した。

【 0 3 9 0 】

分化プロトコルの工程 3 を 7 日間にわたって実施した。各ウェルから培地を吸引し、0 . 1 % A l b u m a x (I n v i t r o g e n ; C a t # : 1 1 0 2 0 - 0 2 1)、0 . 5 x インスリントランスフェリンセレンウム (I T S - X ; I n v i t r o g e n ; C a t # 5 1 5 0 0 0 5 6)、5 0 n g / m L の F G F 7、1 0 0 n g / m L のノギン (R & D S y s t e m s ; C a t # 3 3 4 4 - N G)、2 5 0 n M の K A A D - シクロパミン、及び 2 μ M のオールトランスレチノイン酸 (R A) (S i g m a - A l d r i c h ; C a t # R 2 6 2 5) を添加した D M E M - 高グルコース (I n v i t r o g e n ; C a t # 1 0 5 6 9) の新鮮なアリコート (0 . 5 m L) と交換することで、細胞に毎日培地供給した。分化の第 3 工程の終了時に、R T - P C R による解析のために一部のウェルから細胞を回収し、分化マーカーを測定した。他の培養ウェルに対しては、P d x 1 及び C d x 2 のタンパク質発現レベルについてのハイコンテンツな画像解析を実施した。

【 0 3 9 1 】

分化プロトコルの工程 4 を三日間にわたって実施した。各ウェルから培地を吸引し、0 . 1 % A l b u m a x、0 . 5 x インスリントランスフェリンセレンウム、1 0 0 n g / m L のノギン、及び 1 μ M A l k 5 インヒビター (A x x o r a ; C a t # A L X - 2 7 0 - 4 4 5) を添加した D M E M - 高グルコースの新鮮なアリコート (0 . 5 m L) と交換することで、細胞に毎日培地供給した。分化の第 4 工程の終了時に、R T - P C R による解析のために一部のウェルから細胞を回収し、分化マーカーを測定した。他の培養ウェルに対しては、P d x 1 のタンパク質発現レベルについて、ハイコンテンツな画像解析を実施した。

【 0 3 9 2 】

0 . 1 % A l b u m a x、0 . 5 x インスリントランスフェリンセレンウム、及び 1 μ M A l k 5 インヒビターを添加した D M E M - 高グルコースで、7 日間にわたって分化プロトコルの工程 5 を実施した。毎日各ウェル中の培地を吸引し、新鮮なアリコート (0 . 5 m L) で交換した。分化の第 5 工程の終了時に、R T - P C R による解析のために一部のウェルから細胞を回収し、分化マーカーを測定した。他の培養ウェルには、インスリン及びグルカゴンのタンパク質発現レベルについてのハイコンテンツな画像解析を実施した。

【 0 3 9 3 】

F A C S 解析：0 . 5 % ヒト - グロブリン (S i g m a ; C a t # G - 4 3 8 6) の P B S (I n v i t r o g e n ; C a t # 1 4 0 4 0 - 1 3 3) 溶液と B D F A C S 染色バッファ - B S A (B D ; C a t # 5 5 4 6 5 7) との 1 : 5 溶液で、F A C S 解析用の細胞を 4 で 1 5 分間にわたってブロックした。次いで C D 9 P E (B D ; C a t # 5 5 5 3 7 2)、C D 9 9 P E (C a l t a g ; C a t # M H C D 9 9 0 4) 及び C X C R 4 A P C (R & D S y s t e m s ; C a t # F A B 1 7

3 A) に対する抗体で、細胞を4 で30分間にわたって染色した。BD FACS 染色バッファでの一連の洗浄の後、生死判別のため細胞を7 - AAD (BD; Cat # 559925) で染色し、BD FACS 解析を実施した。PE 及びAPC の両方に対するマウス IgG1 K アイソタイプ対照抗体を、陽性細胞パーセントを得るために使用した。【0394】

RT-PCR 解析: RNA サンプルを、エタノールを含有している高塩濃度緩衝液の存在下で、シリカゲル膜 (Rneasy Mini Kit, Qiagen, CA) に結合させた後、洗浄して混入物を除去することにより精製した。RNA をTURBO DNA-フリーキット (Ambion, INC) を使用して更に精製し、次いで高品質 RNA を水中に溶出した。収率及び純度は分光光度計でのA260及びA280の測定値により評価した。ABI (ABI, CA) のhigh capacity cDNA archive kitを使用して、精製したRNAからcDNAコピーを作成した。

【0395】

特に述べない限り、全試薬はApplied Biosystemsから購入した。ABI PRISM (登録商標) 7900 配列検出システムを使用して、リアルタイムPCR 反応を行った。20 ng の逆転写 RNA と共に、TAQMAN (登録商標) UNIVER S AL PCR MASTER MIX (登録商標) (ABI, CA) を、20 µL の全反応容量で使用した。各cDNA サンプルは2つ組複製で実施して、ピペッティング誤差を補正した。プライマー及びFAM - 標識TAQMAN (登録商標) プローブを200 nM の濃度で使用した。各標的遺伝子に関する発現レベルを、以前にApplied B i o s y s t e m s により開発されたヒトグリセルアルデヒド - 3 - リン酸デヒドロゲナーゼ (GAPDH) 内在性対照を使用して正規化した。プライマーセット及びプローブセ ャットは表12に一覧にしてある。最初に50 で2分間、次いで95 で10分間インキ ュベーションした後、サンプルを、95 で15秒間の変性工程と、その後の60 で1 分間のアニーリング/伸長工程の2段階に40サイクルかけた。GENEAMP (登録商 標) 7000 配列検出システムソフトウェアを使用して、データ解析を行った。各プライ マー/プローブセットについて、増幅の指数関数領域の中央において蛍光強度が特定の値 に到達したサイクル数としてのCt値を決定した。比較Ct法を使用して、相対的な遺伝 子発現レベルを算出した。簡潔に述べると、各cDNA サンプルに関して、対象とする遺 伝子のCt値から内在性対照のCt値を減算して、デルタCt値 (Ct) を得た。増幅 100 % 効率であると仮定し、正規化した標的量を2 - Ctとして算出した。最終的 なデータを、標準物質サンプルに関して表した。

【0396】

ハイコンテンツな解析: 培養の最後に、アッセイプレートにPBS (Invitrogen; Cat # 14190) で1回洗浄し、4 % パラホルムアルデヒド (Alexis Biochemical; Cat # ALX-350-011) で室温で20分間にわたって固定し、次いでPBSで3回洗浄し、0.5 % Triton X-100 (Sigma; Cat # T8760-2) で室温で20分間にわたって透過処理した。細胞を再度PBSで3回洗浄し、4 % ニワトリ血清 (Invitrogen; Cat # 16110082) のPBS溶液で、室温で30分間にわたってブロッキング処理した。一次抗体 (ヤギ抗ヒトSOX17; R&D Systems; Cat # AF1924) を4 % ニワトリ血清に1:100で希釈し、室温で2時間各ウェルに加えた。PBSでの3回の洗浄のあと、Alexa Fluor 488を結合させた二次抗体 (ニワトリ抗ヤギIgG; Invitrogen; Cat # A21467) をPBSに1:200希釈したものを各ウェルに加えた。核を対比染色するために、5 µg/mL Hoechst 33342 (Invitrogen; Cat # H3570) を室温で15分間にわたって加えた。プレートをPBSで1回洗浄し、撮像のために100 µL/ウェルのPBSで残した。解析に使用したその他の一次抗体には、1:200希釈ウサギ抗ヒトインスリン (Cell Signaling; Cat # C27C9)、及び1:1500希釈マウス抗ヒトグルカゴン (Sigma-Aldrich; Cat # G26

10

20

30

40

50

54) が含まれた。解析に使用した二次抗体には、1:1000希釈Alexa Fluor 647ニワトリ抗ウサギIgG (Invitrogen; Cat # A21443)、及び1:1000希釈Alexa Fluor 488ニワトリ抗マウスIgG (Invitrogen; Cat # A21200) が含まれた。

【0397】

Hoechst 33342とAlexa Fluor 488とで染色した細胞用に51008bsダイクロイックを利用して、IN Cell Analyzer 1000 (GE Healthcare) を用いて撮像を実施した。1ウェルあたり25視野から撮像を得た。IN Cell Developer Toolbox 1.7 (GE Healthcare) ソフトウェアを用いて総強度についての測定値を各ウェルから得た。核の分裂は、グレースケールレベル(ベースライン範囲100~300)と核の大きさに基づいて判定した。各複製データセットについて平均及び標準偏差を算出した。総タンパク質発現は、細胞面積によって乗じた細胞の総蛍光値として定義される総強度又は積分強度として記録した。バックグラウンドは、200~4500の間のグレースケール範囲の許容基準に基づいて除去した。総強度データは、各ウェルについての総強度を陽性対照についての平均総強度で除することにより正規化した。

【0398】

代表的な分化マーカーについてのPCRの結果を、分化の各工程から回収した細胞について表14に示す。GDF-8及びWnt3aで処理したか、あるいはGDF-8及び低分子で処理したサンプルは、内胚葉分化及び内分泌腺分化に関連付けられるマーカーについて、同様の発現レベルを示した。

【0399】

図20のパネルAは、分化の第1工程後の胚体内胚葉マーカー(CXCR4)についてのFACS解析を示す。GDF-8及びWnt3aでのヒト胚性幹細胞の処理は、アクチビンA及びWnt3aでの処理と比較して、CXCR4陽性細胞に関して同様の百分率を生み出す。GDF-8及び本発明の化合物(化合物19、化合物202、化合物40、又はGSK3インヒビターIX BIO)でのヒト胚性幹細胞の処理も同様に、CXCR4陽性細胞に関して同等であるかあるいはわずかに高い百分率を生み出す。図20のパネルBは胚体内胚葉への3日間の分化後のヒト胚性幹細胞における正規化SOX17タンパク質発現についてのハイコンテンツな画像解析を示す。一部の場合では、GDF-8での処理は、分化の第1工程の終了時により少ない細胞数をもたらした。しかしながら、Wnt3a又は低分子阻害剤と組み合わせたGDF-8処理では、胚体内胚葉のマーカーであるSOX17の発現が明らかに誘導されていた。一例としては、GDF-8と化合物40での処理は、アクチビンAとWnt3aでの処理と同等の、培養物中の細胞数及びSOX17発現をもたらした。

【0400】

図20のパネルCは、分化工程5を通して処理した培養物から回収された相対的な細胞数についてのハイコンテンツな画像解析を示す。工程1の終了時でより早く観察されたように、一部の処理はアクチビンA及びWnt3aでの処理と比較して細胞回収率の低下を引き起こした。この細胞数の減少は、特にGDF-8とGSK3インヒビターBIOとを用いた処理群で見られ、またGDF-8と化合物19とを用いた処理群でも見られた。追加のGDF-8処理群は、アクチビンAとWnt3aでの処理と類似の細胞回収率を有した。図20のパネルD~Fでは、インスリン及びグルカゴンの正規化タンパク質レベルを、各処理群についてそれらのそれぞれの比とともに示す。インスリン及びグルカゴンの同様のレベルが、アクチビンAとWnt3aでの処理に対してGDF-8処理のそれぞれで得られ得ることは、Wnt3a又は低分子と組み合わせたGDF-8が、胚体内胚葉分化並びに続く膵臓内胚葉及び内分泌腺分化時にアクチビンAと代替し得るということを実証する。

【0401】

(実施例17)

10

20

30

40

50

G D F - 8 及び膵内分泌腺系に特徴的なマーカーを発現している細胞への更なる分化を可能にする本発明の化合物を用いて作製された、胚体内胚葉系に特徴的なマーカーを発現している細胞

G D F - 8 及びアクチビン A と組み合わせて更なる低分子を胚体内胚葉分化について試験した。これらとしては、市販の G S K 3 インヒビター並びに本発明の化合物が挙げられる。様々な低分子と組み合わせて G D F - 8 で処理した細胞に段階的な分化プロトコルを適用した。膵臓内胚葉系及び膵内分泌腺系の代表的なバイオマーカーの遺伝子発現により、分化の有効性を判定した。アクチビン A 及び W n t 3 a で処理した細胞の並行対照サンプルを、段階的な分化プロセスによって比較目的で維持した。

【 0 4 0 2 】

10

アッセイのための細胞の調製：ヒト胚性幹細胞（H 1 ヒト胚性幹細胞株）の保存培養物は、growth factor - reduced MATRIGEL（商標）（BD Biosciences；Cat # 356231）でコートしたディッシュ上の、8 ng / mL の b F G F（PeproTech Inc.；Cat # 100-18B）を添加した M E F 馴化培地中で、未分化の多能性状態のまま、平均して各 4 日ごとに継代しながら維持した。継代は、細胞培養物を 1 mg / mL ディスパーゼ（Invitrogen；Cat # 17105-041）溶液に 37 で 5 ~ 7 分間曝露して、続いて単層を M E F 馴化培地ですすぎ、穏やかにかき取り、細胞クラスターを回収することにより実施した。クラスターを低速度で遠心して細胞ペレットを回収し、残留ディスパーゼを除去した。細胞クラスターはルーチンの維持培養については 1 : 3 比又は 1 : 4 比で、あるいは直接アッセイについては 1 : 1 比で継代した。全てのヒト E S 細胞株は 50 未満の継代数で維持し、正常な核型について及びマイコプラズマの非存在について、ルーチ的に評価した。

20

【 0 4 0 3 】

細胞クラスターは、8 ng / mL の b F G F を添加した M E F 馴化培地に均一に再懸濁して、growth factor - reduced MATRIGEL（商標）をコートした 24 ウェルのブラックウォール培養プレート（Arctic White；Cat # AWS-303012）上に 0.5 mL / ウェルの用量を蒔いた。使用した培養培地を各ウェルから吸引し、等量の新鮮な培地と交換することで毎日の供給を実施した。アッセイの間、プレートは 37、5 % C O₂ で維持した。

30

【 0 4 0 4 】

アッセイ：各ウェルから培養培地を吸引し、試験培地のアリコート（0.5 mL）を加えて戻すことでアッセイを開始した。培地を各ウェルから吸引し、新鮮な試験培地と交換することにより毎日培地供給しながら、分化の第 1 工程のための試験条件を 3 日間の期間にわたって実施した。2 % ウシ血清アルブミンフラクション V、脂肪酸不含（F A F B S A）（MP Biomedicals, Inc；Cat # 152401）を添加した R P M I - 1640 培地（Invitrogen；Cat # : 22400）中に各増殖因子を希釈したそれぞれのアッセイウェルに、アッセイの初日に 100 ng / mL のアクチビン A（PeproTech；Cat # 120-14）又は 100 ng / mL G D F - 8（R & D Systems, Cat # 788-G8）を加えた。一部のサンプルには、20 ng / mL の W n t 3 a（R & D Systems；Cat # 1324-WN / CF）も含有させた。アッセイの二日目に、2 % F A F B S A を添加した R P M I - 1640 培地に 100 ng / mL のアクチビン A 又は 100 ng / mL の G D F - 8 を希釈し、全てのサンプルから W n t 3 a は除外した。G D F - 8 を使用する一部の試験サンプルでは、W n t 3 a を所与の濃度の低分子化合物と置き換え、胚体内胚葉分化の初日のみに加えた。これらの低分子としては：化合物 181（アッセイ中 1.25 μ M）、化合物 180（アッセイ中 2.5 μ M）、化合物 19（アッセイ中 10 μ M）、化合物 202（アッセイ中 2.5 μ M）、化合物 40（アッセイ中 5 μ M）、化合物 34（アッセイ中 2.5 μ M）、化合物 206（アッセイ中 2.5 μ M）、及び市販の G S K 3 インヒビター I X B I O（アッセイ中 10 μ M）（EMD Chemicals, Inc

40

50

・ ; Cat # 361550) が挙げられる。分化の第1工程の終了時に、胚体内胚葉形成のマーカであるCXCR4のレベルを評価することを目的とするフローサイトメトリ解析のために、一部のウェルから細胞を回収した。更にウェルをRT-PCR解析のために回収し、分化についての他のマーカを測定した。

【0405】

胚体内胚葉分化の第1工程の最後に、各処理群からの並行ウェルの複製セットを追加の段階的な分化にかけた。第1分化工程の後で、全てのウェルが引き続き培養され、同様の処理による分化を受けたことを注記しておく必要がある。この連続的な分化のためのプロトコルを以下に記載する。

【0406】

分化プロトコルの工程2を二日間にわたって実施した。各ウェルから培地を吸引し、2% FAF BSA、50 ng/mLのFGF7 (PeproTech; Cat # 100-19)、及び250 nMシクロパミン-KAAD (Calbiochem; Cat # 239804) を含有しているDMEM:F12培地 (Invitrogen; Cat # 11330-032) の新鮮なアリコート(0.5 mL)と交換することで、細胞に毎日培地供給した。

【0407】

分化プロトコルの工程3を四日間にわたって実施した。各ウェルから培地を吸引し、0.1% Albumax (Invitrogen; Cat # : 11020-021)、0.5 x インスリントランスフェリンセレニウム (ITS-X; Invitrogen; Cat # 51500056)、50 ng/mLのFGF7、100 ng/mLのノギン (R&D Systems; Cat # 3344-NG)、250 nMのKAAD-シクロパミン、及び2 µMのオールトランスレチノイン酸 (RA) (Sigma-Aldrich; Cat # R2625) を添加したDMEM-高グルコース (Invitrogen; Cat # 10569) の新鮮なアリコート(0.5 mL)と交換することで、細胞に毎日培地供給した。分化の第3工程の最後に、RT-PCRによる解析のために一部のウェルから細胞を回収し、分化マーカを測定した。

【0408】

分化プロトコルの工程4を三日間にわたって実施した。各ウェルから培地を吸引し、0.1% Albumax、0.5 x インスリントランスフェリンセレニウム、100 ng/mLのノギン、及び1 µM Alk5インヒビター (Axcora; Cat # ALX-270-445) を添加したDMEM-高グルコースの新鮮なアリコート(0.5 mL)と交換することで、細胞に毎日培地供給した。分化の第4工程の終了時に、RT-PCRによる解析のために一部のウェルから細胞を回収し、分化マーカを測定した。

【0409】

0.1% Albumax、0.5 x インスリントランスフェリンセレニウム、及び1 µM Alk5インヒビターを添加したDMEM-高グルコースで、7日間にわたって分化プロトコルの工程5を実施した。毎日各ウェル中の培地を吸引し、新鮮なアリコート(0.5 mL)で交換した。分化の第5工程の終了時に、RT-PCRによる解析のために一部のウェルから細胞を回収し、分化マーカを測定した。他の培養ウェルには、インスリン及びグルカゴンのタンパク質発現レベルについてのハイコンテンツな画像解析を実施した。

【0410】

FACS解析: 0.5% ヒト - グロブリン (Sigma; Cat # G-4386) のPBS (Invitrogen; Cat # 14040-133) 溶液とBD FACS染色バッファ-BSA (BD; Cat # 554657) との1:5溶液で、FACS解析用の細胞を4で15分間にわたってブロックした。次いでCD9 PE (BD; Cat # 555372)、CD99 PE (Caltag; Cat # MHC D9904) 及びCXCR4 APC (R&D Systems; Cat # FAB173A) に対する抗体で、細胞を4で30分間にわたって染色した。BD FACS染色

10

20

30

40

50

バッファでの一連の洗浄の後、生死判別のため細胞を 7 - A A D (B D ; C a t # 5 5 9 9 2 5) で染色し、B D F A C S 解析を実施した。P E 及び A P C の両方に対するマウス I g G 1 K アイソタイプ対照抗体を、陽性細胞パーセントを得るために使用した。
【0411】

R T - P C R 解析：R N A サンプルを、エタノールを含有している高塩濃度緩衝液の存在下で、シリカゲル膜 (R n e a s y M i n i K i t , Q i a g e n , C A) に結合させた後、洗浄して混入物を除去することにより精製した。R N A を T U R B O D N A フリーキット (A m b i o n , I N C) を使用して更に精製し、次いで高品質 R N A を水中に溶出した。収率及び純度は分光光度計での A 2 6 0 及び A 2 8 0 の測定値により評価した。A B I (A B I , C A) の h i g h c a p a c i t y c D N A a r c h i v e k i t を使用して、精製した R N A から C D N A コピーを作成した。

10

【0412】

特に記載のない限り、全試薬は A p p l i e d B i o s y s t e m s から購入した。A B I P R I S M (登録商標) 7 9 0 0 配列検出システムを使用して、リアルタイム P C R 反応を行った。2 0 n g の逆転写 R N A と共に、T A Q M A N (登録商標) U N I V E R S A L P C R M A S T E R M I X (登録商標) (A B I , C A) を、2 0 μ L の全反応容量で使用した。各 c D N A サンプルは 2 つ組複製で実施して、ピペッティング誤差を補正した。プライマー及び F A M - 標識 T A Q M A N (登録商標) プローブを 2 0 0 n M の濃度で使用した。各標的遺伝子に関する発現レベルを、以前に A p p l i e d B i o s y s t e m s により開発されたヒトグリセルアルデヒド - 3 - リン酸デヒドロゲナーゼ (G A P D H) 内在性対照を使用して正規化した。プライマーセット及びプローブセットは表 1 2 に一覧にしてある。最初に 5 0 で 2 分間、次いで 9 5 で 1 0 分間インキュベーションした後、サンプルを、9 5 で 1 5 秒間の変性工程と、その後の 6 0 で 1 分間のアニーリング / 伸長工程の 2 段階に 4 0 サイクルかけた。G E N E A M P (登録商標) 7 0 0 0 配列検出システムソフトウェアを使用して、データ解析を行った。各プライマー / プローブセットについて、増幅の指数関数領域の中央において蛍光強度が特定の値に到達したサイクル数としての C t 値を決定した。比較 C t 法を使用して、相対的な遺伝子発現レベルを算出した。簡潔に述べると、各 c D N A サンプルに関して、対象とする遺伝子の C t 値から内在性対照の C t 値を減算して、デルタ C t 値 (C t) を得た。増幅は 1 0 0 % 効率であると仮定し、正規化した標的量を 2 - C t として算出した。最終的なデータを、標準物質サンプルに関して表した。

20

30

【0413】

ハイコンテンツな解析：培養の最後に、アッセイプレートに P B S (I n v i t r o g e n ; C a t # 1 4 1 9 0) で 1 回洗浄し、4 % パラホルムアルデヒド (A l e x i s B i o c h e m i c a l ; C a t # A L X - 3 5 0 - 0 1 1) で室温で 2 0 分間にわたって固定し、次いで P B S で 3 回洗浄し、0 . 5 % T r i t o n X - 1 0 0 (S i g m a ; C a t # T 8 7 6 0 - 2) で室温で 2 0 分間にわたって透過処理した。細胞を再度 P B S で 3 回洗浄し、4 % ニワトリ血清 (I n v i t r o g e n ; C a t # 1 6 1 1 0 0 8 2) の P B S 溶液で、室温で 3 0 分間にわたってブロッキング処理した。一次抗体 (ヤギ抗ヒト S O X 1 7 ; R & D S y s t e m s ; C a t # A F 1 9 2 4) を 4 % ニワトリ血清に 1 : 1 0 0 で希釈し、室温で 2 時間各ウェルに加えた。P B S での 3 回の洗浄のあと、A l e x a F l u o r 4 8 8 を結合させた二次抗体 (ニワトリ抗ヤギ I g G ; I n v i t r o g e n ; C a t # A 2 1 4 6 7) を P B S に 1 : 2 0 0 希釈したものを各ウェルに加えた。核を対比染色するために、5 μ g / m L H o e c h s t 3 3 3 4 2 (I n v i t r o g e n ; C a t # H 3 5 7 0) を室温で 1 5 分間加えた。プレートを P B S で 1 回洗浄し、撮像のために 1 0 0 μ L / ウェルの P B S で残した。解析のために使用した他の一次抗体には、1 : 1 0 0 希釈マウス抗ヒト C D X 2 (I n v i t r o g e n ; C a t # 3 9 7 8 0 0) 、1 : 1 0 0 希釈ヤギ抗ヒト P d x 1 (S a n t a C r u z B i o t e c h n o l o g y ; C a t # S C - 1 4 6 6 4) 、1 : 2 0 0 希釈ウサギ抗ヒトインスリン (C e l l S i g n a l i n g ; C a t

40

50

C 2 7 C 9)、及び 1 : 1 5 0 0 希釈マウス抗ヒトグルカゴン (S i g m a - A l d r i c h ; C a t # G 2 6 5 4) が含まれた。解析のために使用した二次抗体には、1 : 4 0 0 希釈 A l e x a F l u o r 6 4 7 ニワトリ抗マウス I g G (I n v i t r o g e n ; C a t # A - 2 1 4 6 3)、1 : 2 0 0 希釈 A l e x a F l u o r 4 8 8 口バ抗ヤギ I g G (I n v i t r o g e n ; C a t # A 1 1 0 5 5)、1 : 1 0 0 0 希釈 A l e x a F l u o r 6 4 7 ニワトリ抗ウサギ I g G (I n v i t r o g e n ; C a t # A 2 1 4 4 3)、及び 1 : 1 0 0 0 希釈 A l e x a F l u o r 4 8 8 ニワトリ抗マウス I g G (I n v i t r o g e n ; C a t # A 2 1 2 0 0) が含まれた。

【 0 4 1 4 】

H o e c h s t 3 3 3 4 2 と A l e x a F l u o r 4 8 8 とで染色した細胞用に 5 1 0 0 8 b s ダイクロイックを利用して、I N C e l l A n a l y z e r 1 0 0 0 (G E H e a l t h c a r e) を用いて撮像を実施した。1 ウェルあたり 2 5 視野から撮像を得た。I N C e l l D e v e l o p e r T o o l b o x 1 . 7 (G E H e a l t h c a r e) ソフトウェアを用いて総強度についての測定値を各ウェルから得た。核の分裂は、グレースケールレベル (ベースライン範囲 1 0 0 ~ 3 0 0) と核の大きさに基づいて判定した。各複製データセットについて平均及び標準偏差を算出した。総タンパク質発現は、細胞面積によって乗じた細胞の総蛍光値として定義される総強度又は積分強度として記録した。バックグラウンドは、2 0 0 ~ 4 5 0 0 の間のグレースケール範囲の許容基準に基づいて除去した。総強度データは、各ウェルについての総強度を陽性対照についての平均総強度で除することにより正規化した。

【 0 4 1 5 】

結果：代表的な分化マーカーについての結果を、分化の各段階から回収した細胞について図 2 1 及び表 1 5 に示す。図 2 1 A 及び B に、胚体内胚葉分化の第 1 工程時の様々な処理についての、C X C R 4 に対するフローサイトメトリーの結果を示す。図 2 1 A は、アクチビン A と組み合わせた様々な化合物での処理による、C X C R 4 発現に対する効果を示す。図 2 1 B は、G D F - 8 と組み合わせた様々な化合物での処理による、C X C R 4 に対する効果を示す。アクチビン A と組み合わせた本発明の化合物は、C X C R 4 発現を増加させなかった。しかしながら、この実施例で試験した本発明の全ての化合物は、G D F - 8 と組み合わせたときに C X C R 4 発現を増加させた。

【 0 4 1 6 】

図 2 1 C 及び 2 1 D では、アクチビン A と組み合わせて選択された本発明の化合物 (図 2 1 C) 又は G D F - 8 と組み合わせて選択された本発明の化合物 (図 2 1 D) を用いてプロトコルの工程 1 の間に適用された処理についての、分化の工程 1 の終了時の様々な分化マーカーに対する正規化 R T - P C R の値を示す。同様の正規化 R T - P C R 値を、分化プロトコルの第 3 工程の終了時 (図 2 1 E 及び 2 1 F)、及び分化プロトコルの第 4 工程の終了時 (図 2 1 G 及び 2 1 H)、及び分化プロトコルの第 5 工程の終了時 (図 2 1 I 及び 2 1 J) で評価した。本発明の化合物と G D F - 8 を組み合わせての分化工程 1 時の処理は、G D F - 8 処理単独と比較して、様々な内胚葉マーカー及び膀胱マーカーの発現を改善した (図 2 1 F 及び 2 1 H 及び 2 1 J)。本発明の化合物とアクチビン A を組み合わせての処理は、アクチビン A 単独での処理あるいはアクチビン A と W n t 3 a とでの処理と比較して、マーカーの発現をごくわずかに改善させたか、あるいは全く改善させなかった (図 2 1 E、及び 2 1 G 及び 2 1 I)。表 1 5 は、各分化工程の終了時での追加の遺伝子マーカーについての比較 C T 値を要約し、アクチビン A 又は G D F - 8 と本発明の化合物を組み合わせる、又は本発明の化合物を組み合わせないものである、工程 1 時の処理を比較する。分化の工程 5 の終了時に、ハイコンテンツな解析を実施して、細胞数 (図 2 1 K 及び 2 1 M) を測定し、並びにインスリン及びグルカゴン (図 2 1 L 及び 2 1 N) のタンパク質発現を測定した。分化の第 1 工程時の、G D F - 8 単独での、あるいは G D F - 8 と本発明の化合物を組み合わせての処理は、分化の第 5 工程の終了時にインスリン及びグルカゴンの発現をもたらし、G D F - 8 が、胚体内胚葉形成の開始時にアクチビン A

10

20

30

40

50

に代わって機能し、及び続いて膵臓ホルモン産生細胞を誘導できるということを例証した。総じて、これらのデータは、任意のそれぞれの低分子の添加は、アクチビンAと組み合わせての処理については、分化マーカーに対してごくわずかに影響したことを示す。しかしながら、GDF8処理と組み合わせての低分子の添加は、分化工程1の終了時の胚体内胚葉分化に対しての即効性が有意に改善され、同様に工程3、4及び5の終了時の下流の分化マーカーに対しての即効性も有意に改善された。低分子のパネル内ではばらつきも観察されたが、これはおそらくアッセイに使用した化合物の濃度及び/又は作用機序に起因するものである。

【0417】

(実施例18)

GDF-8と本発明の化合物を使用して形成した、胚体内胚葉系に特徴的なマーカーを発現している細胞は、げっ歯類に移植した後にC-ペプチドを放出できる

GDF-8と低分子での処理によりインビトロで作製された膵臓内胚葉系に特徴的なマーカーを発現している細胞が、インビボで機能的な内分泌細胞を生成し得るか否かを判定することは重要であった。インビボ移植実験を実施して、アクチビンAとWnt3aでの処理により分化させた細胞と、GDF-8と低分子化合物での処理により分化させた細胞とを比較した。

【0418】

細胞の調製：H1ヒト胚性幹細胞のクラスターを、平均して4日ごとに継代しながら、growth factor-reduced MATRIGEL (商標) (Invitrogen; Cat # 356231) をコートした組織培養プラスチック上で増殖させた。8 ng/mLのbFGFを添加したMEF馴化培地を最初の播種及び増殖に使用した。全てのヒトES細胞株は50未満の継代数で維持し、正常な核型について及びマイコプラズマ汚染の非存在について、ルーチン的に評価した。

【0419】

細胞継代は、細胞培養物を1 mg/mLディスパーゼ (Invitrogen, Cat # 17105-041) 溶液に37℃で5~7分間曝露して、続いて細胞単層をMEF馴化培地ですすぎ、穏やかにかき取り、細胞クラスターを回収することにより実施した。細胞クラスターをMEF馴化培地中で低速で遠心して残留ディスパーゼを取り除き、8 ng/mLのbFGF (PeproTech Inc.; Cat # 100-18B) を添加したMEF馴化培地に均一に再懸濁し、growth factor-reduced MATRIGEL (BD Biosciences; Cat # 356231) をコートした6ウェルプレート (Nunc; Cat # 140685) 上に2.5 mL/ウェルの用量を用いて1:3比で播種した。使用した培養培地を各ウェルから吸引し、等量の新鮮な培地と交換することで毎日の培地供給を実施した。培養時間を通して、プレートは37℃、5% CO₂で維持した。

【0420】

細胞分化：growth factor-reduced MATRIGEL (商標) をコートした6ウェルプレート上に細胞を播種した3日後に分化プロセスを開始した。膵臓内胚葉系に特徴的なマーカーを発現している細胞へのH1ヒト胚性幹細胞のインビトロ分化のために、4工程のプロトコルを使用した。工程1を3日間にわたって実施して、胚体内胚葉細胞を生成した。工程1の初日に、使用済み培養培地を吸引し、2%ウシ血清アルブミンフラクションV、脂肪酸不含 (FAF BSA) (Proliant Biologicals; Cat # SKU 68700) 及び8 ng/mLのbFGFを添加した等量のRPMI-1640基本培地 (Invitrogen; Cat # 22400) を加えることで分化を開始させた。第1処理群では、細胞を100 ng/mLのアクチビンA (PeproTech; Cat # 120-14) と20 ng/mLのWnt3a (R&D Systems; Cat # 1324-WN/CF) に曝露した。第2処理群では、細胞を100 ng/mLのGDF-8 (R&D Systems; Cat # 788-G8) と2.5 µM化合物40に曝露した。第3処理群では、細胞を100 n

10

20

30

40

50

g/mLのGDF-8(R&D Systems; Cat # 788-G8)と2.5 μ M化合物202に曝露した。分化の工程1の2日目及び3日目に、全ての処理群の細胞に、2% FAF BSA、8 ng/mLのbFGF、及び100 ng/mLのアクチビンA(処理群1)か若しくは100 ng/mLのGDF-8(処理群2及び3)のどちらかを含有させ、Wnt3a又は本発明の化合物は追加しないRPMI-1640を供給した。培養3日目の終了時に、FACS解析のために各処理群から1ウェル回収した。

【0421】

分化プロトコルの工程2を三日間にわたって実施した。全ての処理群の細胞に、2% FAF BSA及び50 ng/mL FGF7(PeproTech; Cat # 100-19)を添加したDMEM:F12(Invitrogen; Cat # 11330-032)を毎日供給した。

10

【0422】

分化プロトコルの工程3を四日間にわたって実施した。全ての処理群の細胞に、1% B27(Invitrogen; Cat # : 17504-044)、50 ng/mLのFGF7、100 ng/mLのノギン(R&D Systems; Cat # 3344-NG)、250 nMのKAAD-シクロパミン(Calbiochem; Cat # 239804)、及び2 μ Mのオールトランスレチノイン酸(RA)(Sigma-Aldrich; Cat # R2625)を添加したDMEM-高グルコース(Invitrogen; Cat # 10569)を毎日供給した。

20

【0423】

分化プロトコルの工程4を三日間にわたって実施した。全ての処理群の細胞には、1%のB27、100 ng/mLのノギン、及び1 μ MのALK5インヒビター(Axxora; Cat # ALX-270-445)を添加したDMEM-高グルコースを、最初の2日間毎日供給した。3日目に、細胞を20 μ Lチップ(Rainin; Cat # RT-L10F)及びセルスクレーパー(Corning; Cat # 3008)を用いて基層から拾い上げ、50 mLチューブへと移した。重力により細胞を沈降させ、細胞ペレットを乱さずに上清を吸引した。細胞を1%のB27、100 ng/mLのノギン、及び1 μ MのALK5インヒビターを添加したDMEM-高グルコースに再懸濁し、次いで6ウェルCostar Ultra Low Attachment Microplates(Corning Inc., Cat # 3471)で一晩培養した。翌日、培養懸濁液中の細胞を回収して計数した。移植には、 1.0×10^6 個細胞/マウスのアリコートを使用した。RT-PCR解析用には、細胞 0.5×10^6 個のアリコートを回収した。

30

【0424】

図22のパネルAは、各処理群のそれぞれの工程1の終了時に生成した胚体内胚葉細胞についての、フローサイトメトリーの結果を示す。アクチビンAとWnt3aでの処理又はGDF-8と本発明の化合物での処理は、工程1の終了時に同様のレベルのCXCR4(85%を超える)を発現している細胞をもたらし、細胞の同等の胚体内胚葉集団が各処理群から生成されたことを示唆した。

【0425】

分化プロトコルの工程4の終了時の各処理群由来の細胞についてのRT-PCR解析の結果を、図22のパネルBに示す。アクチビンAとWnt3a、又はGDF-8と化合物40、又はGDF-8と化合物202を用いることにより脾臓内胚葉(PE)へと分化させた細胞は、同レベルでPEマーカー(CDX2、MAFA、NGN3、NKX6.1、PDX1及びPtfl)を発現していた。これらの結果は、GDF-8と低分子を利用する分化プロトコルは、細胞の脾臓内胚葉前駆体集団を作製するのに同様に効果的であったことを示唆する。

40

【0426】

本発明の方法により処理されたヒト胚性幹細胞のマウスへの移植：5~6週齢のオスのscid-beigeマウス(C.B-Igh-1b/GbmsTac-Prkdc^{scid})

50

- L y s t^{bg}N7)をT a c o n i c F a r m sより購入した。滅菌した餌と水を自由に利用できるような状態で、マウスをm i c r o i s o l a t o r ケージ内に収容した。外科手術の準備に、マウスをイヤータグで同定し、体重を測定し、手持ち式g l u c o m e t e r (L i f e S c a n ; O n e T o u c h)を用いて血糖を測定した。外科手術の日に、マウスにイソフルランと酸素の混合物で麻酔をかけ、手術部位を小動物用はさみで剪毛した。マウスには手術前に皮下に0.1mg/kg B u p r e n e xを投与した。70%イソプロピルアルコール、10%ポビドンヨード、及び70%イソプロピルアルコールで連続的に洗浄して手術部位の用意をし、皮膚層と筋層を貫通させて左側方切開部を作製した。左腎を露出させ、0.9%塩化ナトリウムで保湿させた。24G×3/4" I.V.カテーテルを使用して腎臓被膜を貫通させた後、針を除去した。次いで腎臓被膜下でカテーテルを腎臓の遠位極(distal pole)まで前進させた。マウスの手術前準備の間に、移植用の細胞を1.5mL遠心管で遠心し、次いで細胞のペレットを回収するのに十分な量の培地を残しながらほとんどの上清を除去した。細胞をR a i n i n 製P o s - Dポジティブディスプレイメント式ピペットチップに回収し、ピペットを反転させて重力により細胞を沈降させた。移植用に充填した細胞調製物を残して過剰な培地を出した。移植のためにP o s - Dピペットチップをカテーテルのハブにしっかりと取り付け、腎臓の遠位極へと供給するために腎臓被膜下でカテーテルを通してピペットから細胞を分配した。カテーテルの内腔に少量の培養培地を流し、残留している任意の細胞を放出させ、カテーテルを引き抜いた。腎臓被膜を低温焼灼でシールし、腎臓を元の解剖学的な位置に戻した。5-0 V I C R Y L縫合系を用いて連続縫合により筋を閉じ、皮膚を創傷クリップにより閉じた。マウスから麻酔を取り除き、完全に回復させた。マウスには手術後に1.0mg/kg M e t a c a mを皮下投与した。

10

20

30

40

【0427】

移植の後で、マウスを週に1回秤量し、週に2回血糖を測定した。移植に続き、マウスには様々な間隔で3g/kgグルコースを腹腔内投与し、グルコース注入の60分後に、ヘパリンを少量含有している遠心管へと後眼窩静脈洞から血液を吸引した。血液を遠心分離し、2本目の遠心管中に血漿を配置し、ドライアイス上で凍らせ、ヒトC-ペプチドアッセイを実施するまでの間-80℃で保管した。ヒトC-ペプチドレベルは製造者による取扱説明書に従って、M e r c o d i a / A L P C O社の診断用超高感度CペプチドE L I S Aを用いて測定した。

【0428】

各処理群のそれぞれからの細胞を移植したマウスに対する、ヒトC-ペプチドについてのE L I S Aの結果を図23に示す。任意の処理群からの細胞を移植した任意のマウスでは、移植後4週間では循環しているヒトC-ペプチドは観察されなかった。移植後8週間では、検出可能なC-ペプチドが、アクチビンAとW n t 3 aで処理した細胞を移植した2匹のマウスのうちの1匹で；G D F - 8と化合物40で処理した細胞を移植した3匹のマウスのうちの1匹で；G D F - 8と化合物202で処理した細胞を移植した3匹のマウスのうちの2匹で見出された。これらの結果は、同等の内分泌腺前駆体細胞の集団がG D F - 8と低分子での分化プロトコル由来のものであり得ること、並びに、細胞は更に、インビボでグルコース応答性の、インスリン分泌細胞へと成熟したことを示唆する。

【0429】

(実施例19)

G D F - 8を用いて作製された、胚体内胚葉系に特徴的なマーカーを発現している細胞は、げっ歯類への移植後にC-ペプチドを放出する能力を有する

アクチビンAの非存在下でG D F - 8で分化させた細胞が同様に、インビボげっ歯類移植モデルにおいて、ヒトC-ペプチドを分泌する能力を有する内分泌細胞集団へと更に分化し得ることを例証することは重要であった。

【0430】

細胞の調製：H1ヒト胚性幹細胞のクラスターを、平均して4日ごとに継代しながら、g r o w t h f a c t o r - r e d u c e d M A T R I G E L (商標)(I n v i t

50

rogen; Cat # 356231) をコートした組織培養プラスチック上で増殖させた。8 ng/mL の bFGF を添加した MEF 馴化培地を最初の播種及び増殖に使用した。全てのヒト ES 細胞株は 50 未満の継代数で維持し、正常な核型について及びマイコプラズマ汚染の非存在について、ルーチン的に評価した。

【0431】

細胞継代は、細胞培養物を 1 mg/mL ディスパーゼ (Invitrogen, Cat # 17105-041) 溶液に 37 で 5 ~ 7 分間曝露して、続いて細胞単層を MEF 馴化培地ですすぎ、穏やかにかき取り、細胞クラスターを回収することにより実施した。細胞クラスターを MEF 馴化培地中で低速で遠心して残留ディスパーゼを取り除き、8 ng/mL の bFGF (PeproTech Inc.; Cat # 100-18B) を添加した MEF 馴化培地に均一に再懸濁し、growth factor-reduced MATRIGEL (商標) (BD Biosciences; Cat # 356231) をコートした 6 ウェルプレート (Nunc; Cat # 140685) 上に 2.5 mL / ウェルの用量を用いて 1 : 3 比で播種した。使用した培養培地を各ウェルから吸引し、等量の新鮮な培地と交換することで毎日の培地供給を実施した。培養の間、プレートは 37、5% CO₂ で維持した。

10

【0432】

細胞分化：細胞を 6 ウェルプレートに播種して 3 日後に分化プロセスを開始させた。臍臓内胚葉系に特徴的なマーカーを発現している細胞への H1 ヒト胚性幹細胞のインビボ分化のために、4 工程のプロトコルを使用した。工程 1 を 3 日間にわたって実施し、胚体内胚葉系に特徴的なマーカーを発現している細胞を生成させた。工程 1 の初日に、使用済み培養培地を吸引し、2% ウシ血清アルブミンフラクション V、脂肪酸不含 (FAF BSA) (Proliant Biologicals; Cat # SKU 68700) 及び 8 ng/mL の bFGF を添加した等量の RPMI - 1640 基本培地 (Invitrogen; Cat # 22400) を加えることで分化を開始させた。第 1 処理群では、細胞の 2 つ組複製セットを 100 ng/mL の GDF - 8 (R&D Systems; Cat # 788-G8) と 20 ng/mL の Wnt3a (R&D Systems; Cat # 1324-WN/CF) で処理した。第 2 処理群では、細胞の 2 つ組複製セットを 100 ng/mL の GDF - 8 と 2.5 µM の化合物 40 で処理した。分化工程 1 の 2 日目と 3 日目で、全ての処理群の細胞に、2% FAF BSA、8 ng/mL の bFGF 及び 100 ng/mL の GDF - 8 を含有しているが Wnt3a あるいは化合物 40 は不含の RPMI - 1640 を供給した。培養 3 日目の終了時に、FACS 解析のために各処理群から 1 ウェル回収した。

20

30

【0433】

分化プロトコルの工程 2 を 3 日間にわたって実施した。全ての処理群の細胞に、2% FAF BSA 及び 50 ng/mL の FGF7 (PeproTech; Cat # 100-19) を添加した DMEM : F12 (Invitrogen; Cat # 11330-032) を毎日供給した。

【0434】

分化プロトコルの工程 3 を 4 日間にわたって実施した。全ての処理群の細胞に、1% の B27 (Invitrogen; Cat # : 17504-044)、50 ng/mL の FGF7、100 ng/mL のノギン (R&D Systems; Cat # 3344-NG)、250 nM の KAAD - シクロパミン (Calbiochem; Cat # 239804)、及び 2 µM のオールトランスレチノイン酸 (RA) (Sigma-Aldrich; Cat # R2625) を添加した DMEM - 高グルコース (Invitrogen; Cat # 10569) を毎日供給した。

40

【0435】

分化プロトコルの工程 4 を三日間にわたって実施した。全ての処理群の細胞に、最初の 2 日間は 1% の B27、100 ng/mL のノギン、及び 1 µM の ALK5 インヒビター (Axixora; Cat # ALX-270-445)、及び 100 ng/mL の GD

50

F - 8 (R & D S y s t e m s ; C a t # 7 8 8 - G 8) を添加した D M E M - 高グルコースを毎日供給した。工程 4 の 3 日目に、細胞を 2 0 μ L チップ (R a i n i n ; C a t # R T - L 1 0 F) とセルスクレーパー (C o r n i n g ; C a t # 3 0 0 8) を用いて 6 ウェルプレートから回収し、 5 0 m L チューブへと移した。重力により細胞を沈降させ、細胞ペレットを乱さずに上清を吸引した。 1 % の B 2 7、 1 0 0 n g / m L の ノギン、及び 1 μ M の A L K 5 インヒビターを添加した D M E M - 高グルコースに細胞を再懸濁し、次いで 6 ウェル C o s t a r U l t r a L o w A t t a c h m e n t M i c r o p l a t e s (C o r n i n g I n c . , C a t # 3 4 7 1) で一晚培養した。翌日、培養懸濁液中の細胞を回収して計数した。移植には、 1 0 \times 1 0 ⁶ 個細胞 / マウスのアリコートを使用した。 R T - P C R 解析用には、細胞 0 . 5 \times 1 0 ⁶ 個のアリコートを回収した。

10

【 0 4 3 6 】

図 2 4 A は、各処理群のそれぞれの工程 1 の終了時に生成した胚体内胚葉細胞についての、フローサイトメトリーの結果を示す。 G D F - 8 と W n t 3 a での処理又は G D F - 8 と化合物 4 0 での処理についての結果は、工程 1 の終了時に同様のレベルの C X C R 4 を発現させ、同等でありかつ確実である、細胞の胚体内胚葉集団が各処理群から得られたことを示唆した。 2 つ組複製処理セットは強い一致を示した。分化プロトコルの工程 4 の終了時の、移植前 R T - P C R 解析の結果を、図 2 4 B に示す。 G D F - 8 と W n t 3 a、又は G D F - 8 と化合物 4 0 を用いることにより膀胱内胚葉 (P E) へと分化させた細胞は、膀胱内胚葉系に特徴的なマーカー (C D X 2、 M a f A、 N g n 3、 N K X 6 . 1、 P d x - 1 及び P t f 1 A) を同レベルで発現していた。これらの結果は、 G D F - 8 と W n t 3 a、又は G D F - 8 と本発明の化合物を利用する分化プロトコルは、細胞の膀胱内胚葉前駆体集団を作製するのに効果的であったことを立証する。分化プロトコルは、 2 つの独立した、ただし同一の処理セットで実施した。 2 つ組複製処理セットから得られた結果は、 R T - P C R 解析により示されるように、強い一致を示した。

20

【 0 4 3 7 】

マウスへのヒト胚性幹細胞の移植： 5 ~ 6 週齢のオスの s c i d - b e i g e マウス (C . B - I g h - 1 b / G b m s T a c - P r k d c ^{s c i d} - L y s t ^{b g} N 7) を T a c o n i c F a r m s より購入した。滅菌した餌と水を自由に利用できるような状態で、マウスを m i c r o i s o l a t o r ケージ内に収容した。外科手術の準備に、マウスをイヤータグで同定し、体重を測定し、手持ち式 g l u c o m e t e r (L i f e S c a n ; O n e T o u c h) を用いて血糖を測定した。外科手術の日に、マウスにイソフルランと酸素の混合物で麻酔をかけ、手術部位を小動物用はさみで剪毛した。マウスには手術前に皮下に 0 . 1 m g . k g B u p r e n e x を投与した。 7 0 % イソプロピルアルコール、 1 0 % ポピドンヨード、及び 7 0 % イソプロピルアルコールで連続的に洗浄して手術部位の用意をし、皮膚層と筋層を貫通させて左側方切開部を作製した。左腎を露出させ、 0 . 9 % 塩化ナトリウムで保湿させた。 2 4 G \times ³ / ₄ " I . V . カテーテルを使用して腎臓被膜を貫通させた後、針を除去した。次いで腎臓被膜下でカテーテルを腎臓の遠位極まで前進させた。マウスの手術前準備の間に、移植用の細胞を 1 . 5 m L 遠心管で遠心し、次いで細胞のペレットを回収するのに十分な量の培地を残しながらほとんどの上清を除去した。細胞を R a i n i n 製 P o s - D ポジティブディスプレイスメント式ピペットチップに回収し、ピペットを反転させて重力により細胞を沈降させた。移植用に充填した細胞調製物を残して過剰な培地を出した。移植のために P o s - D ピペットチップをカテーテルのハブにしっかりと取り付け、腎臓の遠位極へと供給するために腎臓被膜下でカテーテルを通してピペットから細胞を分配した。カテーテルの内腔に少量の培養培地を流し、残留している任意の細胞を放出させ、カテーテルを引き抜いた。腎臓被膜を低温焼灼でシールし、腎臓を元の解剖学的な位置に戻した。 5 - 0 v i c r y l を用いて連続縫合により筋を閉じ、皮膚を創傷クリップにより閉じた。マウスから麻酔を取り除き、完全に回復させた。マウスには手術後に 1 . 0 m g . k g M e t a c a m を皮下投与した。

30

40

【 0 4 3 8 】

50

移植の後で、マウスを週に1回秤量し、週に2回血糖を測定した。移植に続き、マウスには様々な間隔で3 g / k g グルコースを腹腔内投与し、グルコース注入の60分後に、ヘパリンを少量含有している遠心管へと後眼窩静脈洞から血液を吸引した。血液を遠心分離し、2本目の遠心管中に血漿を配置し、ドライアイス上で凍らせ、ヒトC - ペプチドアッセイを実施するまでの間 - 80 で保管した。ヒトC - ペプチドレベルは製造者による取扱説明書に従って、Merco dia / ALPCO社の診断用超高感度CペプチドELISAを用いて測定した。各処理群のそれぞれからの細胞を移植したマウスについての、ヒトC - ペプチドについてのELISA結果を図29C及びDに示す。各処理カテゴリについて、移植後8週間で同様のレベルのヒトC - ペプチドが検出可能であったが、これは、相当する内分泌腺前駆体細胞の集団がGDF - 8とWnt 3 aあるいはGDF - 8と本発明の化合物を用いた分化プロトコルから生じ得たことを示す。

10

【0439】

(実施例20)

胚体内胚葉系に特徴的なマーカーを発現している細胞へのヒト胚性幹細胞の分化に対する、CDK、GSK3、及びTRKインヒビターの潜在力の評価

CDK、GSK3、及び/又はTRKシグナル経路に対して特異性を有することが既知である、独占所有権のある14種の低分子のサブセットを、胚体内胚葉系に特徴的なマーカーを発現している細胞へのヒト胚性幹細胞の分化に対する、潜在力について評価した。

【0440】

細胞アッセイ播種：簡潔に述べると、H1ヒト胚性幹細胞のクラスターを、growth factor - reduced MATRIGEL (商標) (Invitrogen; Cat # 356231) をコートした組織培養プラスチック上で増殖させた。細胞を、コラゲナーゼ (Invitrogen; Cat # 17104 - 019) 処理及び穏やかな搔爬により継代し、洗浄して残留酵素を除去し、growth factor - reduced MATRIGEL (商標) (BD Biosciences; Cat # 356231) を100 µL / ウェル用量使用してコートした96ウェルブラックプレート (Packard ViewPlates; PerkinElmer; Cat # 6005182) 上に均一に分散させて1:1 (表面積) 比で蒔いた。細胞を付着させ、次いで8 ng / mLのbFGF (R&D Systems; Cat # 233 - FB) を添加したMEF馴化培地を毎日供給しながら1~3日経過させ、対数増殖期を回復させた。アッセイの持続時間の間、プレートは加湿したボックス中に37、5% CO₂で維持した。

20

30

【0441】

化合物の調製及びアッセイ：表16に記載の化合物を用いてスクリーニングを実施した。更に、前述の実施例で実証したように、化合物34を陽性対照として含ませた。化合物は、96ウェルプレートフォーマットで5 mM原液として利用できるように作製し、100% DMSO (Sigma; Cat # D2650) 中に溶解させて、-80 で保存した。ライブラリ化合物は更に、20% DMSO含有50 mM HEPES (Invitrogen; Cat # 15630 - 080) で0.2 mMの中間濃度へと希釈して、4 で保存した。試験条件は3つ組複製で実施し、4日間のアッセイ期間にわたって隔日で培地供給した。各ウェルから培養培地を吸引し、続いてPBS (Invitrogen; Cat # 14190) で3回洗浄して残留増殖因子を除去することで、アッセイを開始した。0.5% FCS (HyClone; Cat # SH30070.03) と100 ng / mLのGDF - 8 (R&D Systems, Cat # 788 - G8) に加えて2.5 µMの化合物を添加したDMEM:F12基本培地 (Invitrogen; Cat # 11330 - 032) を用い、アッセイの初日に1ウェルあたり200 µLの試験量を加えた。試験サンプルの並行セットを、同一の方法で、ただしGDF - 8を培地に含ませずに処理した。2% FCSに加えて100 ng / mLのGDF - 8 (R&D Systems, Cat # 788 - G8) を添加したDMEM:F12基本培地を用いて、1ウェルあたり100 µLの試験容量をアッセイの3日目に各ウェルに

40

50

加えた。アッセイの初日にGDF-8処理をしなかった試験サンプルからは、GDF-8を除いた。陽性対照サンプルには、FCS及び100ng/mLヒト組換えアクチビンA (Pepr oT ech; Cat # 120-14)を添加した同様の基本培地を含有させ、4日間のアッセイを通して1日目と2日目にWnt3a (20ng/mL)を加えた。陰性対照サンプルには、FCSを添加したDMEM:F12基本培地を含有させた。

【0442】

ハイコンテンツな解析：4日間の培養の最後に、アッセイプレートにPBS (Invitrogen; Cat # 14190)で2回洗浄し、4%パラホルムアルデヒド (Alexis Biochemical; Cat # ALX-350-011)で室温で20分間にわたって固定し、次いでPBSで3回洗浄し、0.5% Triton X-100 (Sigma; Cat # T8760-2)で室温で20分間にわたって透過処理した。細胞を再度PBSで3回洗浄し、4%ニワトリ血清 (Invitrogen; Cat # 16110082)のPBS溶液で、室温で30分間にわたってブロッキング処理した。一次抗体 (ヤギ抗ヒトSOX17; R&D Systems; Cat # AF1924)を4%ニワトリ血清に1:100で希釈し、室温で1時間各ウェルに加えた。Alexa Fluor 488を結合させた二次抗体 (ニワトリ抗ヤギIgG; Molecular Probes; Cat # AZ1467)をPBSに1:200で希釈し、PBSで3回洗浄したあとの各サンプルウェルに加えた。核を対比染色するために、4µg/mL Hoechst 33342 (Invitrogen; Cat # H3570)を室温で10分間加えた。プレートをPBSで1回洗浄し、撮像のために100µL/ウェルのPBSで残した。

10

20

【0443】

Hoechst 33342とAlexa Fluor 488とで染色した細胞用に51008bsダイクロイックを利用して、IN Cell Analyzer 1000 (GE Healthcare)を用いて撮像を実施した。曝露時間は陽性対照ウェル及び二次抗体単独で染色した未処理陰性対照ウェルから最適化した。1ウェルあたり15視野の撮像を得て、パイオアッセイ及び続く染色手順の間の任意の細胞ロスを補正した。IN Cell Developer Toolbox 1.7 (GE Healthcare)ソフトウェアを用いて総細胞数及び総SOX17強度についての測定値を各ウェルから得た。核の分裂は、グレースケールレベル (ベースライン範囲100~300)と核の大きさに基づいて判定した。各複製データセットについて平均及び標準偏差を算出した。総SOX17タンパク質発現は、細胞面積によって乗じた細胞の総蛍光値として定義される総強度又は積分強度として記録した。バックグラウンドは、200~3500の間のグレースケール範囲の許容基準に基づいて除去した。3つ組複製ウェルから平均値データを収集した。陽性対照に対する被処理ウェルの百分率を計算した。

30

【0444】

このスクリーニングの結果を表17に示す。4日間の分化プロセスの間にGDF-8が非存在である場合、有意なSOX17発現を誘導した低分子はなかった。化合物34は実験用対照としての機能を果たし、アクチビンAとWnt3aを用いる陽性対照で観察されるものと同レベルの有意なSOX17発現を、GDF-8の存在下で誘導した。この実施例で試験した本発明の化合物の残りのものは、SOX17発現を弱く~穏やかに誘導するという範囲の活性を示した。注目すべき、化合物のこのサブセットでの分化活性は、3つの酵素によるシグナル経路の全てについての選択と関連して観察され、明確な作用機序について確証的に決定することは困難であった。

40

【0445】

(実施例21)

胚体内胚葉系に特徴的なマーカーを発現している細胞の形成を媒介する能力を有する、本発明の化合物の類似体のスクリーニング

本発明の化合物の構造に基づいて、類似体検索を実施し、118の類似体を探し出した。一次スクリーニングは、一部の類似体が、アクチビンAの非存在下で、他の増殖因子と

50

の組み合わせにより胚体内胚葉分化を誘導する能力を有すると判定した。これらの類似体がまた、GDF-8のみとの組み合わせによっても胚体内胚葉分化を誘導し得るかを判定することは重要であった。

【0446】

細胞アッセイ播種：簡潔に述べると、H1ヒト胚性幹細胞のクラスターを、growth factor-reduced MATRIGEL（商標）（Invitrogen；Cat # 356231）をコートした組織培養プラスチック上で増殖させた。細胞を、コラゲナーゼ（Invitrogen；Cat # 17104-019）処理及び穏やかな搔爬により継代し、洗浄して残留酵素を除去し、growth factor-reduced MATRIGEL（商標）（BD Biosciences；Cat # 356231）を100 μ L/ウェル用量使用してコートした96ウェルブラックプレート（Packard ViewPlates；PerkinElmer；Cat # 6005182）上に均一に分散させて1：1（表面積）比で蒔いた。細胞を付着させ、次いで8 ng/mLのbFGF（R&D Systems；Cat # 233-FB）を添加したMEF馴化培地を毎日供給しながら1～3日経過させ、対数増殖期を回復させた。アッセイの持続時間の間、プレートは加湿したボックス中に37、5% CO₂で維持した。

10

【0447】

化合物の調製及びアッセイ：類似体化合物のライブラリを用いてスクリーニングを実施した。このライブラリからの化合物を、96ウェルプレートフォーマットで5 mM原液として利用できるように作製し、100% DMSO（Sigma；Cat # D2650）中に溶解させて、-80 で保存した。ライブラリ化合物は更に、20% DMSO含有50 mM HEPES（Invitrogen；Cat # 15630-080）で0.2 mMの中間濃度へと希釈して、4 で保存した。試験条件は3つ組複製で実施し、4日間のアッセイ期間にわたって隔日で供給した。各ウェルから培養培地を吸引し、続いてPBS（Invitrogen；Cat # 14190）で3回洗浄して残留増殖因子を除去することで、アッセイを開始した。0.5% FCS（HyClone；Cat # SH30070.03）及び200 ng/mLのGDF-8（R&D Systems，Cat # 788-G8）に加えて2.5 μ Mの化合物を添加したDMEM：F12基本培地（Invitrogen；Cat # 11330-032）を用いて、アッセイの初日に各ウェルに1ウェルあたり200 μ Lの試験量を加えた。2% FCSに加えて200 ng/mLのGDF-8（R&D Systems，Cat # 788-G8）を添加したDMEM：F12基本培地を用いて、アッセイの3日目に各ウェルに1ウェルあたり100 μ Lの試験量を加えた。陽性対照サンプルには、FCS及び100 ng/mLヒト組換えアクチビンA（Peprotech；Cat # 120-14）を添加した同様の基本培地を含有させ、4日間のアッセイを通して1日目と2日目にWnt3a（20 ng/mL）を加えた。陰性対照サンプルには、FCSを添加したDMEM：F12基本培地を含有させ、1日目と2日目にはWnt3aを加えたが、アクチビンAによる処理は含めなかった。

20

30

【0448】

ハイコンテンツな解析：4日間の培養の最後に、アッセイプレートをPBS（Invitrogen；Cat # 14190）で2回洗浄し、4%パラホルムアルデヒド（Alexis Biochemical；Cat # ALX-350-011）で室温で20分間にわたって固定し、次いでPBSで3回洗浄し、0.5% Triton X-100（Sigma；Cat # T8760-2）で室温で20分間にわたって透過処理した。細胞を再度PBSで3回洗浄し、4%ニワトリ血清（Invitrogen；Cat # 16110082）のPBS溶液で、室温で30分間にわたってブロッキング処理した。一次抗体（ヤギ抗ヒトSOX17；R&D Systems；Cat # AF1924）を4%ニワトリ血清に1：100で希釈し、室温で1時間各ウェルに加えた。Alexa Fluor 488を結合させた二次抗体（ニワトリ抗ヤギIgG；Mo

40

50

l e c u l a r P r o b e s ; C a t # A Z 1 4 6 7) を P B S に 1 : 2 0 0 で 希 釈 し、P B S で 3 回 洗 浄 し た あ と の 各 サ ム プ ル ウ ェ ル に 加 え た。核を対比染色するために、 $4 \mu\text{g} / \text{mL}$ H o e c h s t 3 3 3 4 2 (I n v i t r o g e n ; C a t # H 3 5 7 0) を 室 温 で 1 0 分 間 加 え た。プレートをP B S で 1 回 洗 浄 し、撮 像 の た め に $1 0 0 \mu\text{L} / \text{ウェル}$ の P B S で 残 し た。

【 0 4 4 9 】

H o e c h s t 3 3 3 4 2 と A l e x a F l u o r 4 8 8 と で 染 色 し た 細 胞 用 に 5 1 0 0 8 b s ダ イ ク ロ イ ッ ク を 利 用 し て、I N C e l l A n a l y z e r 1 0 0 0 (G E H e a l t h c a r e) を 用 い て 撮 像 を 実 施 し た。曝 露 時 間 は 陽 性 対 照 ウ ェ ル 及 び 二 次 抗 体 単 独 で 染 色 し た 未 処 理 陰 性 対 照 ウ ェ ル か ら 最 適 化 し た。1 ウ ェ ル あ た り 1 5 視 野 の 撮 像 を 得 て、バ イ オ ア ッ セ イ 及 び 続 く 染 色 手 順 の 間 の 任 意 の 細 胞 ロ ス を 補 正 し た。I N C e l l D e v e l o p e r T o o l b o x 1 . 7 (G E H e a l t h c a r e) ソ フ ト ウ ェ ア を 用 い て 総 細 胞 数 及 び 総 S O X 1 7 強 度 に つ い て の 測 定 値 を 各 ウ ェ ル か ら 得 た。核の分裂は、グレースケールレベル(ベースライン範囲100~300)と核の大きさに基づいて判定した。各複製データセットについて平均及び標準偏差を算出した。総S O X 1 7 タ ン パ ク 質 発 現 は、細 胞 面 積 に よ っ て 乗 じ た 細 胞 の 総 蛍 光 値 と し て 定 義 さ れ る 総 強 度 又 は 積 分 強 度 と し て 記 録 し た。バ ッ ク グ ラ ウ ン ド は、2 0 0 ~ 3 5 0 0 の 間 の グ レ ス ケ ー ル 範 囲 の 許 容 基 準 に 基 づ い て 除 去 し た。総 強 度 デ ー タ は、各 ウ ェ ル に つ い て の 総 強 度 を 陽 性 対 照 に つ い て の 平 均 総 強 度 で 除 す る こ と に よ り 正 規 化 し た。各 複 製 セ ッ ト に つ い て、平 均 及 び 標 準 偏 差 用 に 正 規 化 デ ー タ を 算 出 し た。

【 0 4 5 0 】

この単独の実験での4つのアッセイプレートからのスクリーニング結果を、表18に示す。アクチビンAとW n t 3 a による陽性対照処理に対する百分率として、S O X 1 7 発現について化合物を等級づけした。本アッセイは、表19で示されるように12種の新しい類似体のリストを同定した。

【 0 4 5 1 】

(実 施 例 2 2)

マイクロキャリア上で増殖させたヒト胚性幹細胞は、本発明の方法に従って、胚体内胚葉系に特徴的なマーカーを発現している細胞へと分化させることができる

スケラブルな条件下での、大量の内分泌細胞の分化と生成を目的として、本発明の方法を用いることでヒト胚性幹細胞がマイクロキャリアビーズ上で増殖し、胚体内胚葉へと分化し得ることを示すことは重要であった。

【 0 4 5 2 】

アッセイ用の細胞の調製及び分化：米国特許出願番号第61/116,447号に記載の方法に従って、125 mL スピナーフラスコ内で、H 1 p 4 9 C 3 細胞をルーチンのC y t o d e x 3 ビーズ(G E H e a l t h c a r e L i f e S c i e n c e s , N J) 上 で 増 殖 さ せ た。7 日 後、細 胞 と ビ ー ズ を 1 ウ ェ ル あ た り $3 0 \text{ cm}^2$ の ビ ー ズ 面 積 の 比 で 6 ウ ェ ル プ レ ー ト (製 造 供 給 元 ; C a t # X X X) に 移 し、プ レ ー ト を r o c k i n g p l a t f o r m に 配 置 し た。陽性対照処理ウェル(A A / W n t 3 a を 指 定) 内 の ビ ー ズ 上 の 細 胞 は、2 % 脂 肪 酸 不 含 B S A (M P B i o m e d i c a l s , I n c ; C a t # 1 5 2 4 0 1) 含 有 R P M I - 1 6 4 0 (I n v i t r o g e n ; C a t # : 2 2 4 0 0) を $2 \text{ mL} / \text{ウェル}$ 用い、これに $1 0 0 \text{ ng} / \text{mL}$ のアクチビンA (P e p r o T e c h ; C a t # 1 2 0 - 1 4) と $2 0 \text{ ng} / \text{mL}$ の W n t 3 a (R & D S y s t e m s ; C a t # 1 3 2 4 - W N / C F) を 2 日 間 添 加 し、続 い て $1 0 0 \text{ ng} / \text{mL}$ のアクチビンAと $8 \text{ ng} / \text{mL}$ の b F G F (P e p r o T e c h I n c . ; C a t # : 1 0 0 - 1 8 B) を 1 日 添 加 す る こ と で 分 化 し た。任意の他の増殖因子処理は非存在の状態で、3 日 間 に わ た っ て、2 % 脂 肪 酸 不 含 B S A 含 有 R P M I - 1 6 4 0 の 陰 性 対 照 処 理 ウ ェ ル (C M P 単 独 を 指 定) に、化 合 物 3 4 を 最 終 濃 度 $2.5 \mu\text{M}$ で 加 え た。第 3 処 理 ウ ェ ル (C M P + 8 を 指 定) ($2 \text{ mL} / \text{ウェル}$) に は、2 % 脂 肪 酸 不 含 B S A 含 有 R P M I - 1 6 4 0 に、3 日 間 に わ た っ て $2.5 \mu\text{M}$ の 化 合 物 3 4 に 加 え $5 0 \text{ n}$

g / m L の G D F - 8 (R & D S y s t e m s , C a t # 7 8 8 - G 8) を入れた。第 4 処理剤ウェル (C M P + 8 + D を指定) (2 m L / ウェル) には、2 % 脂肪酸不含 B S A 含有 R P M I - 1 6 4 0 に、3 日間にわたって 2 . 5 μ M の化合物 3 4 と、5 0 n g / m L の G D F - 8 及び 5 0 n g / m L の P D G F - D を入れた。第 5 処理剤ウェル (C M P + 8 + D + V を指定) (2 m L / ウェル) には、2 % 脂肪酸不含 B S A 含有 R P M I - 1 6 4 0 に、3 日間にわたって 2 . 5 μ M の化合物 3 4 と、5 0 n g / m L の G D F - 8 及び 5 0 n g / m L の P D G F - D、並びに 5 0 n g / V E G F を入れた。第 6 処理剤ウェル (C M P + 8 + D + V + M を指定) (2 m L / ウェル) には、2 % 脂肪酸不含 B S A 含有 R P M I - 1 6 4 0 に、3 日間にわたって 2 . 5 μ M の化合物 3 4 と、5 0 n g / m L の G D F - 8、5 0 n g / m L の P D G F - D、5 0 n g / m L の V E G F 及び 2 0 n g / m L ムシモールを入れた。全ての培地及び処理剤は毎日交換した。

10

【 0 4 5 3 】

処理及び培養の終了時に、米国特許出願番号第 6 1 / 1 1 6 , 4 4 7 号に記載の方法に従って、細胞をビーズから回収した。回収した細胞を、上記の方法に従いフローサイトメトリーによって計数し、解析した。

【 0 4 5 4 】

結果を図 2 5 に示す。パネル A に示すように、分化処理をした全ての処理群について、同様の数の細胞が回収された。パネル B に示すように、化合物 3 4 単独で処理した細胞は C X C R 4 陽性細胞へと分化しなかった。分化処理時にアクチビン A と W n t 3 a を加える陽性対照処理では、得られる細胞集団の 6 8 % で C X C R 4 の発現が誘導された。様々な増殖因子の組み合わせを加えた化合物 3 4 は、平均して細胞の 5 0 % に C X C R 4 発現を誘導した。注目すべきことに、同レベルの C X C R 4 発現が、化合物 3 4 と、単独の増殖因子、G D F - 8 との組み合わせによる処理時に、又は G D F - 8 を含む複数の増殖因子との組み合わせによる処理時に観察された。これは、少なくとも G D F - 8 と組み合わせた化合物 3 4 が、アクチビン A 及び W n t 3 a を代替して胚体内胚葉分化を促進し得ることを立証する。本実施例はまた、本処理法がマイクロキャリアビーズ上での細胞の増殖及び分化に効果的であることを示す。

20

【 0 4 5 5 】

(実施例 2 3)

G D F - 8 と共にある本発明の化合物は、細胞増殖を促進する

30

前述の実施例は、胚体内胚葉系に特徴的なマーカーを発現している細胞へヒト胚性幹細胞を分化させるのに、G D F - 8 がアクチビン A と置換し得ることを示した。胚体内胚葉形成に関しての G D F - 8 及びアクチビン A の相対的な作用強度を知ることが重要であった。ヒト胚性幹細胞の分化時に得られる結果について比較するために、等濃度の各増殖因子を用いて用量応答アッセイを実施した。

【 0 4 5 6 】

胚体内胚葉分化時に G D F - 8 と組み合わせて使用した本発明の化合物を、その細胞増殖誘導能について評価した。結果をアクチビン A 又は G D F - 8 単独での処理と比較した。

。

40

【 0 4 5 7 】

アッセイのための細胞の調製：ヒト胚性幹細胞 (H 1 ヒト胚性幹細胞株) の保存培養物は、g r o w t h f a c t o r - r e d u c e d M A T R I G E L (商標) (B D B i o s c i e n c e s ; C a t # 3 5 6 2 3 1) でコートしたディッシュ上の M E F 馴化培地中で、未分化の多能性状態のまま、平均して各 4 日ごとに継代しながら維持した。継代は、細胞培養物を 1 m g / m L ディスパーゼ (I n v i t r o g e n , C a t # : 1 7 1 0 5 - 0 4 1) 溶液に 3 7 で 5 ~ 7 分間曝露して、続いて単層を M E F 馴化培地ですすぎ、穏やかにかき取り、細胞クラスターを回収することにより実施した。クラスターを低速度で遠心して細胞ペレットを回収し、残留ディスパーゼを除去した。細胞クラスターはルーチン的な維持培養については 1 : 3 比又は 1 : 4 比で、あるいは直接アッセイについては 1 : 1 比で継代した。全てのヒト胚性幹細胞株は 5 0 未満の継代数で維持

50

し、正常な核表現型について及びマイコプラズマ汚染の非存在について、ルーチンの評価した。

【0458】

本アッセイで使用した細胞クラスターは、8 ng/mLのbFGFを添加したMEF馴化培地に均一に再懸濁し、growth factor-reduced MATRIGEL (商標)でコートした96ウェルPackard VIEWPLATES (PerkinElmer; Cat # 6005182)上に100 µL/ウェルの用量を播種した。8 ng/mLのbFGFを添加したMEF馴化培地を最初の播種及び増殖に使用した。使用した培養培地を各ウェルから吸引し、等量の新鮮な培地と交換することで毎日の培地供給を実施した。各アッセイプレートにおけるウェルのバックグラウンドセットには細胞を播種しなかったが、アッセイの間、基本培地での処理は行った。アッセイの持続時間の間、プレートは加湿したボックス中に37、5% CO₂で維持した。

10

【0459】

アッセイ：各ウェルから培養培地を吸引し、試験培地の最終アリコート(100 µL)を加えて戻すことでアッセイを開始した。毎日各ウェルから培地を吸引し、新鮮な試験培地と交換することで培地供給しながら、三つ組複製で、全部で3日間のアッセイ期間にわたる試験条件を実施した。24、48、及び72時間での評価のために、同一のアッセイを並行して同時に開始した。

【0460】

アッセイの初日に、細胞を含有している全てのウェルに、2.5%ウシ血清アルブミンフラクションV、脂肪酸不含(FAF BSA;最終アッセイ中2%)(Proliant Inc. Cat #:SKU 68700)を添加したRPMI-1640培地(Invitrogen; Cat #:22400)のアリコート(80 µL)を入れた。様々な対照及び試験サンプルを5x濃度で作製し、適切なウェルに加えた(ウェルあたり20 µL)。対照条件には、最終増殖因子濃度は記載のとりの以下のものを含有させた：1)2% FAF BSA含有基本培地；2)100 ng/mLのアクチビンA(PeproTech; Cat # 120-14)と8 ng/mLのbFGF(PeproTech; Cat # 100-18B)；3)100 ng/mLのアクチビンAと8 ng/mLのbFGF及び20 ng/mLのWnt3a(R&D Systems; Cat # 1324-WN/CF)；4)100 ng/mLのGDF-8(R&D Systems, Cat # 788-G8)と8 ng/mLのbFGF；5)GDF-8と8 ng/mLのbFGF及び20 ng/mLのWnt3a。対照ウェルの追加のセット中の細胞は、アッセイを通してMEF馴化培地で処理した。GDF-8を用いる対照サンプルの一部では、Wnt3aを本発明の化合物と換えた。実験用の試験サンプルのために、8種の異なる化合物を連続2倍段階希釈して3つの異なる投与濃度を作製し、次いで100 ng/mLのGDF-8及び8 ng/mLのbFGFと組み合わせた。これらの低分子としては、独占所有権のある化合物である化合物181、化合物180、化合物19、化合物202、化合物40、化合物34、化合物56、及び市販のGSK3インヒビターBIO(EMD Chemicals, Inc.; Cat # 361550)が含まれた。アッセイの2日目及び3日目に、対照及び試験サンプルの全てのウェルを吸引し、同一処理条件を使用して(ただしWnt3aは一部の対照ウェルからは外して)再度培地供給した。

20

30

40

【0461】

MTSアッセイ：培養の24、48、72時間の経過後に、1組のアッセイプレートを製造者による取扱説明書に従ってMTSアッセイ(Promega; Cat # G3581)にかけた。手短に述べると、OD490値を読み取る前に、20 µLのMTSを各ウェルに添加し、アッセイプレートを37、5% CO₂で4時間にわたってインキュベートした。各3つ組複製セットの平均値に加えて、標準誤差を測定するために、統計的な測定値からバックグラウンド(すなわち、細胞を含まない処理ウェル)の値を減算した。

【0462】

MTSアッセイは、ホルマザン産物へのテトラゾリウム化合物の酵素的還元による、細

50

胞代謝活性の測定法である。単一の時点で、MTSアッセイは細胞生存率の相対的な指標として使用できる。MTSアッセイの並行した経時時点での評価は、細胞代謝活性の増加に関しての更なる情報を加えることができ、これは次には各処理条件についての細胞数と関連させることができる。図26のパネルAは、アッセイ期間の3日間後の全ての対照処理についてのOD490読み取り値を示す。条件培地で処理した細胞が、3日後にOD490にほんのわずかな変化を示したことは、この処理群の細胞数が変化なくとどまったことを意味する。対照的に、増殖因子不含の基本培地で培養した細胞（非処理）は、経時的な細胞数の低下に相関してOD490の着実な減少を示した。分化プロセスの間の、Wnt3a含有及び非含有のアクチビンA処理は、細胞集団の経時的な有意な増加を意味する、OD490の漸増的な増加を示した。Wnt3aの非存在下でのGDF-8処理は、アクチビンA処理と比較してOD490の減少をもたらした；これは培養の初日に顕著であり、培養の全3日間を通して持続した。GDF-8処理群へのWnt3aの追加は、培養の3日目にOD490の回復と増加をもたらした。

10

20

30

40

50

【0463】

図26のパネルB～図26のパネルIまでを通して、GDF-8と組み合わせたの低分子阻害剤での処理についての、MTSアッセイの結果を示す。本発明の化合物及びGDF-8での処理から得られたOD490読み取り値は、アクチビンAでの処理から得られた結果と同等であるか、あるいはそれを超えるものであった。全てのケースで、GDF-8と組み合わせた最適濃度の各低分子は、3日間のアッセイ後に、GDF-8単独での処理と比べてOD490読み取り値の改善をもたらした。このことは、本発明の化合物は、胚体内胚葉分化時に、増殖及び細胞集団の拡大を誘導するのに重要であるということを示唆する。

【0464】

（実施例24）

マイクロキャリア上で増殖させたヒト胚性幹細胞は、本発明の方法に従って、内分泌腺前駆細胞へと分化させることができる

工業的な条件下での、大量の内分泌細胞の分化及び生成を目的として、アクチビンAを不含のプロトコルを用いることでヒト胚性幹細胞がマイクロキャリアビーズ上で増殖し、内分泌腺前駆細胞へと分化し得ることを示すことは重要であった。

【0465】

アッセイのための細胞の調製及び分化：H1p45細胞を、10秒毎に約1回回旋するrocking platform (Vari Mix, Thermo Scientific, Cat # M79735) 上に配置した6ウェル超低接着プレート (Costar; Cat # 3471) 内に、Cytodex3ビーズ (GE Healthcare; Cat # 17-0485-01) 上に増殖させた。MEF馴化培地を6日間にわたって毎日交換した。次いで、内胚葉分化を開始させるために培地を以下の処理剤へと変更した。陽性対照処理ウェル (AA+Wntを指定) 内のビーズ上の細胞は、2%脂肪酸不含BSA (Proliant Biomedicals, Inc; SKU # 68700) 含有RPMI-1640 (Invitrogen; Cat #: 22400) を2 mL/ウェル用い、これに100 ng/mLのアクチビンA (Peprotech Inc.; Cat # 120-14) と8 ng/mLのbFGF (Peprotech Inc.; Cat #: 100-18B) と20 ng/mLのWnt3a (R&D Systems; Cat # 1324-WN/CF) を1日添加し、続いて100 ng/mLのアクチビンAと8 ng/mLのbFGF (Peprotech Inc.; Cat #: 100-18B) を2日間添加することで分化した。第2の処理ウェル (GDF-8+MCXを指定) には2.5 µMの化合物202に加えて200 ng/mLのGDF-8 (R&D Systems, Cat # 788-G8) と8 ng/mLのbFGFを1日目に、続く2日間には加えて200 ng/mLのGDF-8及び8 ng/mLのbFGFを含有する、2%脂肪酸不含BSA含有RPMI-1640 (2 mL/ウェル) 培地を入れた。第3の処理ウェル (GDF-8+Wntを指定) には200 ng/mLのGDF-8と20 ng

/mLのWnt3a及び8ng/mLのbFGFを1日目に、続く2日間には加えて200ng/mLのGDF-8及び8ng/mLのbFGFを含有する、2%脂肪酸不含BSA含有RPMI-1640(2mL/ウェル)培地を入れた。全ての培地及び処理剤は毎日交換した。

【0466】

処理及び培養の終了時に、細胞を回収しかつ計数することで細胞の回収率を判定し、フローサイトメトリー解析を実施した。高レベルのCXCR4及びCD99が3つの処理レジメン全てで見られた(図27A)。細胞数はサンプル間で変動した(図27B)。胚体内胚葉及び第4ステージにおいてGDF-8で処理したサンプルでは、他の処理群より少ない細胞数が観察された。これは本発明の化合物が、分化時の細胞増殖を増加させ得ることを示唆する。

10

【0467】

ステージ3の終了時では、内胚葉遺伝子PDX1、HNF4、及びCDX2が細胞中で発現する(図27C、D)。分化ステージ1の間の、GDF-8及び本発明の化合物での細胞の処理は、対照分化処理と比較してPdx1のより良好な発現をもたらした。ステージ4の終了時では、内胚葉遺伝子が更に上方制御されていた(図27E、F)。これらの結果は、GDF-8に加えて化合物202が、膵臓内胚葉形成をもたらす胚体内胚葉分化に関してアクチビンAとWnt3aとを代替できると結論付ける。

【0468】

本明細書を通して引用された刊行物は、その全体が参照により本明細書に組み込まれる。以上、本発明の様々な態様を実施例及び好ましい実施形態を参照して説明したが、本発明の範囲は、上記の説明文によってではなく、特許法の原則の下で適切に解釈される以下の特許請求の範囲によって定義されるものである点は認識されるであろう。

20

【0469】

【表 1 - 1】

表1					
	化合物番号	細胞数		Sox17発現	
プレート番号		平均総細胞数	陽性対照%	平均総強度	陽性対照%
プレート5	アクチビンA不含(Wnt3a含有)	7159	67.42	8.12E+06	2.51
プレート5	アクチビンA/Wnt3a	10619	100.00	3.23E+08	100.00
プレート5	化合物58	4848	45.66	-1.60E+06	-0.49
プレート5	化合物59	20	0.19	-4.62E+06	-1.43
プレート5	化合物60	3348	31.52	-2.33E+05	-0.07
プレート5	化合物61	2931	27.60	-3.05E+06	-0.94
プレート5	化合物62	7171	67.53	-2.04E+06	-0.63
プレート5	化合物3	14211	133.82	-2.34E+06	-0.73
プレート6	アクチビンA不含(Wnt3a含有)	3264	32.97	2.52E+06	0.80
プレート6	アクチビンA/Wnt3a	9902	100.00	3.14E+08	100.00
プレート6	化合物63	1917	19.36	4.75E+05	0.15
プレート6	化合物26	5434	54.88	-6.33E+05	-0.20
プレート6	化合物27	6288	63.50	-1.13E+06	-0.36
プレート6	化合物28	4121	41.62	-1.89E+06	-0.60
プレート6	化合物29	5164	52.15	-1.66E+06	-0.53
プレート6	化合物30	4726	47.73	-1.23E+06	-0.39
プレート7	アクチビンA不含(Wnt3a含有)	9545	47.57	-4.87E+06	-0.99
プレート7	アクチビンA/Wnt3a	20064	100.00	4.92E+08	100.00
プレート7	化合物31	7230	36.03	-3.45E+06	-0.70
プレート7	化合物32	14655	73.04	-3.03E+06	-0.62
プレート7	化合物33	13891	69.23	-8.11E+06	-1.65
プレート7	化合物34	11674	58.18	-2.24E+06	-0.46
プレート7	化合物35	15379	76.65	-7.30E+06	-1.48
プレート7	化合物36	8356	41.65	-4.57E+06	-0.93
プレート8	アクチビンA不含(Wnt3a含有)	6868	36.97	-2.31E+06	-0.52
プレート8	アクチビンA/Wnt3a	18575	100.00	4.47E+08	100.00
プレート8	化合物37	9048	48.71	-3.51E+06	-0.79
プレート8	化合物38	11361	61.16	-4.31E+06	-0.96
プレート8	化合物39	7054	37.98	-3.83E+06	-0.86
プレート8	化合物40	8104	43.63	-4.59E+06	-1.03
プレート1	アクチビンA不含(Wnt3a含有)	2972	27.98	1.64E+07	19.74
プレート1	アクチビンA/Wnt3a	3126	29.44	8.33E+07	100.00
プレート1	化合物64	2201	20.72	1.71E+07	20.52
プレート1	化合物65	3030	28.53	2.83E+07	33.95
プレート1	化合物66	1990	18.74	2.36E+07	28.30
プレート1	化合物67	2074	19.53	2.63E+07	31.55
プレート1	化合物68	1432	13.48	1.03E+07	12.39
プレート1	化合物69	2593	24.42	2.62E+07	31.43

10

20

30

40

【 0 4 7 0 】

【表 1 - 2】

(上記表の続き)

表1					
プレート番号	化合物番号	細胞数		Sox17発現	
		平均総細胞数	陽性対照%	平均総強度	陽性対照%
プレート1	化合物72	2179	20. 52	1. 21E+07	14. 50
プレート1	化合物73	2817	26. 53	2. 93E+07	35. 25
プレート1	化合物74	2853	26. 86	2. 25E+07	27. 01
プレート1	化合物75	1689	15. 91	1. 42E+07	17. 05
プレート1	化合物76	2324	21. 89	1. 48E+07	17. 81
プレート1	化合物77	2306	21. 71	2. 04E+07	24. 55
プレート1	化合物78	3298	31. 06	2. 58E+07	31. 00
プレート1	化合物79	2855	26. 88	2. 79E+07	33. 47
プレート1	化合物80	3603	33. 93	3. 22E+07	38. 62
プレート1	化合物81	2263	21. 31	1. 07E+07	12. 91
プレート1	化合物82	1210	11. 39	1. 36E+07	16. 33
プレート1	化合物83	1805	17. 00	1. 82E+07	21. 87
プレート1	化合物84	2024	19. 06	2. 48E+07	29. 80
プレート1	化合物85	2840	26. 74	3. 45E+07	41. 44
プレート1	化合物86	1447	13. 63	8. 43E+06	10. 13
プレート1	化合物87	5336	50. 25	4. 20E+07	50. 38
プレート2	アクチビンA不含(Wnt3a含有)	4033	35. 50	2. 14E+07	21. 70
プレート2	アクチビンA/Wnt3a	4292	37. 78	9. 86E+07	100. 00
プレート2	化合物88	3416	30. 06	4. 17E+07	42. 28
プレート2	化合物89	4751	41. 82	2. 11E+07	21. 40
プレート2	化合物90	4542	39. 98	3. 03E+07	30. 70
プレート2	化合物91	1401	12. 33	1. 29E+06	1. 31
プレート2	化合物92	4210	37. 06	2. 95E+07	29. 90
プレート2	化合物93	4157	36. 59	2. 29E+07	23. 26
プレート2	化合物94	4046	35. 61	2. 85E+07	28. 91
プレート2	化合物95	8368	73. 66	4. 02E+07	40. 72
プレート2	化合物96	3695	32. 53	2. 92E+07	29. 57
プレート2	化合物97	3437	30. 26	2. 41E+07	24. 44
プレート2	化合物98	4178	36. 77	3. 75E+07	38. 07
プレート2	化合物99	3739	32. 91	2. 10E+07	21. 29
プレート2	化合物100	2275	20. 02	1. 27E+07	12. 86
プレート2	化合物101	3496	30. 77	2. 98E+07	30. 17
プレート2	化合物102	4874	42. 90	2. 10E+07	21. 32
プレート2	化合物103	4228	37. 22	2. 69E+07	27. 32
プレート2	化合物104	6115	53. 82	4. 93E+07	49. 99
プレート2	化合物105	6484	57. 07	5. 03E+07	50. 95
プレート2	化合物106	4211	37. 06	3. 94E+07	40. 00
プレート2	化合物107	2853	25. 11	1. 78E+07	18. 04

10

20

30

40

【 0 4 7 1 】

【表 1 - 3】

(上記表の続き)

表1					
プレート番号	化合物番号	細胞数		Sox17発現	
		平均総細胞数	陽性対照%	平均総強度	陽性対照%
プレート2	化合物108	3779	33. 27	2. 39E+07	24. 26
プレート2	化合物108	2869	25. 26	2. 04E+07	20. 71
プレート2	化合物110	4398	38. 71	2. 53E+07	25. 65
プレート3	アクチビンA不含(Wnt3a含有)	2589	91. 17	1. 17E+07	5. 89
プレート3	アクチビンA/Wnt3a	6933	244. 13	1. 98E+08	100. 00
プレート3	化合物111	6816	240. 04	5. 33E+07	26. 90
プレート3	化合物112	5357	188. 66	3. 52E+07	17. 74
プレート3	化合物113	6002	211. 37	8. 55E+07	43. 11
プレート3	化合物114	3308	116. 49	3. 85E+07	19. 44
プレート3	化合物115	5007	176. 31	3. 96E+07	19. 95
プレート3	化合物116	3802	133. 89	3. 12E+07	15. 75
プレート3	化合物117	6521	229. 64	4. 16E+07	20. 97
プレート3	化合物118	6128	215. 81	5. 53E+07	27. 91
プレート3	化合物119	4184	147. 35	3. 41E+07	17. 21
プレート3	化合物120	2489	87. 66	2. 87E+07	14. 49
プレート3	化合物121	4985	175. 54	3. 94E+07	19. 87
プレート3	化合物25	4151	146. 17	4. 03E+07	20. 32
プレート3	化合物122	6407	225. 61	4. 15E+07	20. 95
プレート3	化合物123	4465	157. 24	5. 35E+07	26. 99
プレート3	化合物124	4417	155. 53	4. 67E+07	23. 55
プレート3	化合物125	6367	224. 23	5. 73E+07	28. 93
プレート3	化合物126	6157	216. 82	7. 47E+07	37. 70
プレート3	化合物127	5593	196. 97	5. 61E+07	28. 28
プレート3	化合物128	4160	146. 50	4. 91E+07	24. 77
プレート3	化合物129	3778	133. 03	3. 54E+07	17. 88
プレート3	化合物130	4357	153. 43	4. 15E+07	20. 92
プレート3	化合物131	6135	216. 05	4. 28E+07	21. 61
プレート3	化合物132	4421	155. 69	4. 58E+07	23. 12
プレート3	化合物133	7069	248. 94	6. 52E+07	32. 88
プレート4	アクチビンA不含(Wnt3a含有)	3274	86. 62	1. 25E+07	12. 79
プレート4	アクチビンA/Wnt3a	4158	110. 03	9. 79E+07	100. 00
プレート4	化合物134	5277	139. 62	3. 43E+07	35. 04
プレート4	化合物64	5657	149. 67	3. 38E+07	34. 48
プレート4	化合物135	2790	73. 83	1. 63E+07	16. 63
プレート4	化合物34	4774	126. 33	4. 35E+07	44. 47
プレート4	化合物136	4881	129. 16	3. 20E+07	32. 73
プレート4	化合物137	1740	46. 05	9. 16E+06	9. 35
プレート4	化合物30	6367	168. 46	4. 22E+07	43. 13

10

20

30

40

【 0 4 7 2 】

【表 1 - 4】
(上記表の続き)

表1					
プレート番号	化合物番号	細胞数		Sox17発現	
		平均総細胞数	陽性対照%	平均総強度	陽性対照%
プレート4	化合物37	5377	142. 27	2. 85E+07	29. 14
プレート4	化合物138	7722	204. 32	3. 07E+07	31. 37
プレート4	化合物139	3574	94. 56	1. 30E+07	13. 32
プレート4	化合物140	3893	103. 00	1. 12E+07	11. 46
プレート4	化合物39	6114	161. 77	3. 45E+07	35. 22
プレート4	化合物141	4310	114. 04	1. 61E+07	16. 48
プレート4	化合物142	5091	134. 71	3. 74E+07	38. 22
プレート4	化合物35	6601	174. 65	8. 50E+07	86. 77
プレート4	化合物143	3582	94. 79	2. 17E+07	22. 14
プレート4	化合物144	6787	179. 57	5. 45E+07	55. 69
プレート4	化合物145	3752	99. 29	2. 23E+07	22. 81
プレート4	化合物146	2554	67. 59	1. 83E+07	18. 71
プレート4	化合物112	3289	87. 03	1. 48E+07	15. 11
プレート4	化合物113	3819	101. 06	2. 34E+07	23. 93
プレート4	化合物114	1259	33. 32	1. 34E+07	13. 67
プレート4	化合物22	5517	145. 98	7. 09E+07	72. 39
プレート4	化合物150	5104	135. 04	3. 34E+07	34. 11
プレート5	アクチビンA不含(Wnt3a含有)	7159	116. 70	8. 12E+06	2. 51
プレート5	アクチビンA/Wnt3a	10619	173. 09	3. 23E+08	100. 00
プレート5	化合物151	2785	45. 39	-1. 03E+06	-0. 32
プレート5	化合物152	4693	76. 50	-3. 08E+06	-0. 95
プレート5	化合物153	9718	158. 40	-1. 20E+06	-0. 37
プレート5	化合物154	3479	56. 70	-1. 97E+06	-0. 61
プレート5	化合物155	9343	152. 28	-3. 45E+06	-1. 07
プレート5	化合物156	3813	62. 16	-2. 58E+05	-0. 08
プレート6	アクチビンA不含(Wnt3a含有)	3264	68. 37	2. 52E+06	0. 80
プレート6	アクチビンA/Wnt3a	9902	207. 40	3. 14E+08	100. 00
プレート6	化合物157	2480	51. 94	-1. 22E+06	-0. 39
プレート6	化合物158	5271	110. 41	-1. 30E+06	-0. 41
プレート6	化合物159	6478	135. 68	-1. 84E+06	-0. 59
プレート6	化合物160	4212	88. 21	1. 30E+05	0. 04
プレート6	化合物161	2439	51. 09	-9. 20E+05	-0. 29
プレート6	化合物162	1260	26. 39	-1. 35E+06	-0. 43
プレート7	アクチビンA不含(Wnt3a含有)	9545	156. 12	-4. 87E+06	-0. 99
プレート7	アクチビンA/Wnt3a	20064	328. 17	4. 92E+08	100. 00
プレート7	化合物163	16557	270. 81	-7. 31E+06	-1. 49

【 0 4 7 3 】

【表 1 - 5】
(上記表の続き)

表1					
プレート番号	化合物番号	細胞数		Sox17発現	
		平均総細胞数	陽性対照%	平均総強度	陽性対照%
プレート7	化合物164	16472	269.42	-7.37E+06	-1.50
プレート7	化合物165	3015	49.32	-7.34E+06	-1.49
プレート7	化合物166	13845	226.45	-7.98E+06	-1.62
プレート7	化合物167	10325	168.87	-7.35E+06	-1.49
プレート7	化合物168	14139	231.26	-6.49E+06	-1.32
プレート7	化合物169	4468	73.08	-6.38E+06	-1.30
プレート8	アクチビンA不含(Wnt3a含有)	6868	179.83	-2.31E+06	-0.52
プレート8	アクチビンA/Wnt3a	18575	486.35	4.47E+08	100.00
プレート8	化合物170	13140	344.04	-4.13E+06	-0.93
プレート8	化合物171	10894	285.22	-2.61E+06	-0.58
プレート8	化合物172	3416	89.44	-4.72E+06	-1.06
プレート8	化合物173	8815	230.81	-4.25E+06	-0.95
プレート8	化合物174	11760	307.91	-3.33E+06	-0.75
プレート8	化合物175	5	0.13	-4.91E+06	-1.10
プレート8	化合物176	10139	265.47	-4.73E+06	-1.06
プレート8	化合物177	9994	261.68	-2.95E+06	-0.66
プレート8	化合物178	8998	235.58	-3.74E+06	-0.84
プレート5	アクチビンA不含(Wnt3a含有)	7159	67.42	8.12E+06	2.51
プレート5	アクチビンA/Wnt3a	10619	100.00	3.23E+08	100.00
プレート5	化合物21	4719	44.44	-1.96E+06	-0.61
プレート5	化合物22	2036	19.18	-1.79E+06	-0.55
プレート5	化合物23	2563	24.13	-1.56E+06	-0.48
プレート5	化合物24	4470	42.09	-7.05E+05	-0.22
プレート5	化合物24	6085	57.30	-3.08E+06	-0.95
プレート5	化合物26	7276	68.52	-2.38E+06	-0.74
プレート5	化合物27	4588	43.20	-5.63E+05	-0.17
プレート5	化合物28	2682	25.26	-1.37E+06	-0.43
プレート5	化合物29	5778	54.41	-1.94E+06	-0.60
プレート5	化合物30	620	5.84	-5.05E+06	-1.56
プレート5	化合物31	3419	32.19	-1.42E+06	-0.44
プレート6	アクチビンA不含(Wnt3a含有)	3264	69.07	2.52E+06	0.80
プレート6	アクチビンA/Wnt3a	9902	209.51	3.14E+08	100.00
プレート6	化合物32	2142	45.32	-1.33E+06	-0.42
プレート6	化合物33	5564	117.73	-8.63E+05	-0.27
プレート6	化合物34	5927	125.41	-2.01E+06	-0.64
プレート6	化合物35	10068	213.01	-2.15E+06	-0.68
プレート6	化合物36	5170	109.39	-1.22E+06	-0.39
プレート6	化合物37	3098	65.55	1.91E+06	0.61

【 0 4 7 4 】

【表 1 - 6】

(上記表の続き)

表1					
プレート番号	化合物番号	細胞数		Sox17発現	
		平均総細胞数	陽性対照%	平均総強度	陽性対照%
プレート6	化合物38	1537	32. 52	4. 48E+04	0. 01
プレート6	化合物39	3650	77. 23	-2. 01E+06	-0. 64
プレート6	化合物40	5817	123. 07	4. 91E+05	0. 16
プレート6	化合物64	4359	92. 23	-1. 07E+05	-0. 03
プレート6	化合物30	4035	85. 38	2. 09E+06	0. 66
プレート6	化合物65	3279	69. 37	-5. 63E+05	-0. 18
プレート6	化合物67	2698	57. 08	-1. 95E+06	-0. 62
プレート7	アクチビンA不含(Wnt3a含有)	9545	321. 22	-4. 87E+06	-0. 99
プレート7	アクチビンA/Wnt3a	20064	675. 20	4. 92E+08	100. 00
プレート7	化合物68	10894	366. 62	-5. 15E+06	-1. 05
プレート7	化合物69	9734	327. 58	-3. 97E+06	-0. 81
プレート7	化合物70	16736	563. 21	-6. 51E+06	-1. 32
プレート7	化合物71	17999	605. 71	-7. 38E+06	-1. 50
プレート7	化合物72	7309	245. 96	-6. 47E+06	-1. 32
プレート7	化合物73	8888	299. 10	-3. 03E+06	-0. 62
プレート7	化合物74	11496	386. 85	-2. 67E+06	-0. 54
プレート7	化合物75	9739	327. 74	-7. 75E+06	-1. 57
プレート7	化合物76	14439	485. 89	-4. 19E+06	-0. 85
プレート7	化合物77	12331	414. 95	-6. 03E+06	-1. 22
プレート7	化合物78	9702	326. 49	-6. 57E+06	-1. 33
プレート7	化合物79	8535	287. 22	-6. 92E+06	-1. 41
プレート8	アクチビンA不含(Wnt3a含有)	6868	295. 49	-2. 31E+06	-0. 52
プレート8	アクチビンA/Wnt3a	18575	799. 17	4. 47E+08	100. 00
プレート8	化合物80	13939	599. 68	-4. 23E+06	-0. 95
プレート8	化合物81	10466	450. 29	-4. 91E+06	-1. 10
プレート8	化合物82	10323	444. 14	-4. 90E+06	-1. 10
プレート8	化合物83	14619	628. 95	1. 48E+06	0. 33
プレート8	化合物84	14105	606. 84	-4. 44E+06	-0. 99
プレート8	化合物85	12172	523. 66	-3. 48E+06	-0. 78
プレート8	化合物86	7218	310. 54	-4. 22E+06	-0. 94
プレート8	化合物87	5383	231. 58	-4. 07E+06	-0. 91
プレート8	化合物88	10419	448. 27	-4. 27E+06	-0. 96
プレート8	化合物89	11780	506. 83	-3. 94E+06	-0. 88
プレート8	化合物90	7002	301. 25	-1. 54E+06	-0. 35
プレート8	化合物91	6224	267. 78	-4. 53E+06	-1. 01

10

20

30

40

【 0 4 7 5 】

【表 2】

表2		
化合物番号	細胞数	Sox17強度
	陽性対照%	陽性対照%
化合物17	133. 8	−0. 7
化合物95	195. 0	40. 7
化合物138	185. 7	31. 4
化合物87	170. 7	50. 4
化合物144	163. 2	55. 7
化合物35	158. 7	86. 8
化合物30	153. 1	43. 1
化合物105	151. 0	51. 0
化合物39	147. 0	35. 2
化合物104	142. 5	50. 0
化合物29	136. 0	34. 5
化合物22	132. 7	72. 4
化合物37	129. 3	29. 1
化合物134	126. 9	35. 0
化合物150	122. 7	34. 1
化合物142	122. 4	38. 2
化合物136	117. 4	32. 7
化合物80	115. 2	38. 6
化合物34	114. 8	44. 5
化合物102	113. 5	21. 3
化合物89	110. 7	21. 4
化合物105	105. 8	30. 7
化合物78	105. 5	31. 0
化合物141	103. 6	16. 5
化合物110	102. 5	25. 7
化合物133	102. 0	32. 9

10

20

30

【 0 4 7 6 】

【表 3】

表3						
化合物番号	処理		細胞数		Sox17発現	
			平均総細胞数	陽性対照%	平均総強度	陽性対照%
なし	アクチビンA不含、Wnt3a含有		23253	124. 16	1. 97E+07	10. 59
なし	アクチビンA／Wnt3a		18728	100. 00	1. 86E+08	100. 00
化合物17	AA不含(Wnt3a含有)	EGF+FGF4	21445	114. 51	3. 43E+07	18. 48
なし	アクチビンA不含、Wnt3a含有		23253	124. 16	1. 97E+07	10. 59
なし	アクチビンA／Wnt3a		18728	100. 00	1. 86E+08	100. 00
化合物22	AA不含(Wnt3a含有)	EGF+FGF4	18336	97. 91	3. 72E+07	20. 05
化合物34	AA不含(Wnt3a含有)	EGF+FGF4	18891	100. 87	3. 26E+07	17. 55
化合物29	AA不含(Wnt3a含有)	EGF+FGF4	20221	107. 97	2. 83E+07	15. 27
化合物39	AA不含(Wnt3a含有)	EGF+FGF4	17095	91. 28	2. 82E+07	15. 19
化合物37	AA不含(Wnt3a含有)	EGF+FGF4	15605	83. 32	2. 67E+07	14. 37
化合物35	AA不含(Wnt3a含有)	EGF+FGF4	23823	127. 20	2. 54E+07	13. 69
化合物80	AA不含(Wnt3a含有)	EGF+FGF4	19864	106. 07	2. 33E+07	12. 54
化合物141	AA不含(Wnt3a含有)	EGF+FGF4	17719	94. 61	2. 24E+07	12. 04
化合物30	AA不含(Wnt3a含有)	EGF+FGF4	18063	96. 45	2. 18E+07	11. 73
化合物150	AA不含(Wnt3a含有)	EGF+FGF4	16833	89. 88	2. 16E+07	11. 63
化合物144	AA不含(Wnt3a含有)	EGF+FGF4	17100	91. 31	2. 04E+07	11. 01
化合物104	AA不含(Wnt3a含有)	EGF+FGF4	17863	95. 38	1. 89E+07	10. 19
化合物142	AA不含(Wnt3a含有)	EGF+FGF4	18955	101. 21	1. 84E+07	9. 90
化合物110	AA不含(Wnt3a含有)	EGF+FGF4	17534	93. 62	1. 76E+07	9. 45
化合物78	AA不含(Wnt3a含有)	EGF+FGF4	17703	94. 52	1. 71E+07	9. 23
化合物133	AA不含(Wnt3a含有)	EGF+FGF4	16521	88. 22	1. 67E+07	8. 97
化合物87	AA不含(Wnt3a含有)	EGF+FGF4	16495	88. 07	1. 55E+07	8. 33
化合物95	AA不含(Wnt3a含有)	EGF+FGF4	16900	90. 24	1. 43E+07	7. 72
化合物136	AA不含(Wnt3a含有)	EGF+FGF4	19167	102. 34	7. 91E+06	4. 26
化合物105	AA不含(Wnt3a含有)	EGF+FGF4	15217	81. 25	7. 45E+06	4. 01
化合物134	AA不含(Wnt3a含有)	EGF+FGF4	17208	91. 88	7. 40E+06	3. 99
化合物138	AA不含(Wnt3a含有)	EGF+FGF4	16695	89. 14	6. 65E+06	3. 58
化合物89	AA不含(Wnt3a含有)	EGF+FGF4	14652	78. 24	3. 89E+06	2. 10
化合物90	AA不含(Wnt3a含有)	EGF+FGF4	15903	84. 92	3. 53E+06	1. 90
化合物102	AA不含(Wnt3a含有)	EGF+FGF4	12943	69. 11	2. 85E+05	0. 15
なし	アクチビンA不含、Wnt3a含有		23253	124. 16	1. 97E+07	10. 59
なし	アクチビンA／Wnt3a		18728	100. 00	1. 86E+08	100. 00
化合物35	AA不含(Wnt3a含有)	EGF+FGF4	18294	97. 68	1. 99E+07	10. 70

【 0 4 7 7 】

【表 4】

表3B		
化合物番号	細胞数	Sox17強度
	陽性対照%	陽性対照%
化合物22	97. 91	20. 05
化合物34	100. 87	17. 55
化合物29	107. 97	15. 27
化合物39	91. 28	15. 19
化合物37	83. 32	14. 37
化合物35	127. 20	13. 69

【 0 4 7 8 】

10

20

30

40

【表 5 - 1】

表4						
化合物番号	処理		細胞数		Sox17発現	
			平均総細胞数	陽性対照%	平均総強度	陽性対照%
なし	アクチビンA不含(Wnt3a含有)		7107	67.96	-1.27E+07	-7.94
なし	アクチビンA/Wnt3a		10459	100.00	1.60E+08	100.00
化合物17	AA不含(Wnt3a含有)	EGF	6942	73.43	1.27E+06	0.74
化合物17	AA不含(Wnt3a含有)	EGF+FGF4	5738	60.69	3.14E+06	1.83
化合物17	AA不含(Wnt3a含有)	EGF+FGF4+PDGF-AB	4453	47.10	9.30E+05	0.54
化合物17	AA不含(Wnt3a含有)	EGF+FGF4+PDGF-AB+ムシモール	10391	109.91	8.92E+06	5.20
化合物17	AA不含(Wnt3a含有)	EGF+PDGF-A+VEGF	5728	60.59	2.14E+06	1.24
化合物17	AA不含(Wnt3a含有)	FGF4+PDGF-A+VEGF	13198	139.59	1.29E+07	7.54
化合物17	AA不含(Wnt3a含有)	EGF+FGF4+PDGF-A+VEGF	10480	110.85	8.97E+06	5.23
化合物17	AA不含(Wnt3a含有)	EGF+FGF4+PDGF-A+ムシモール	13649	144.37	1.45E+07	8.43
なし	アクチビンA不含(Wnt3a含有)		3117	34.86	-1.41E+06	-0.72
なし	アクチビンA/Wnt3a		8942	100.00	1.95E+08	100.00
化合物35	AA不含(Wnt3a含有)	EGF	19334	216.23	6.62E+07	33.86
化合物35	AA不含(Wnt3a含有)	PDGF-AB	16662	186.34	4.95E+07	25.33
化合物35	AA不含(Wnt3a含有)	PDGF-A	16885	188.84	4.48E+07	22.94
化合物35	AA不含(Wnt3a含有)	VEGF	18263	204.25	3.51E+07	17.98
化合物35	AA不含(Wnt3a含有)	FGF4	4410	49.32	3.33E+07	17.04
化合物35	AA不含(Wnt3a含有)	ムシモール	18867	211.00	2.61E+07	13.35
化合物35	AA不含(Wnt3a含有)	PDGF-C	16642	186.12	1.85E+07	9.46
化合物35	AA不含(Wnt3a含有)	PDGF-D	17618	197.03	1.84E+07	9.41
化合物35	AA不含(Wnt3a含有)	PDGF-B	14168	158.46	1.52E+07	7.76
化合物35	AA不含(Wnt3a含有)	PD98059	18877	211.11	1.30E+07	6.64
化合物35	AA不含(Wnt3a含有)	BMP1	18849	210.81	1.29E+07	6.59
化合物35	AA不含(Wnt3a含有)	LY294002	18374	205.49	1.03E+07	5.28
化合物35	AA不含(Wnt3a含有)	BMP4	16748	187.31	8.97E+06	4.59
化合物35	AA不含(Wnt3a含有)	BMP2	16218	181.38	8.89E+06	4.55

10

20

【0479】

【表 5 - 2】

(上記表の続き)

表4						
化合物番号	処理		細胞数		Sox17発現	
			平均総細胞数	陽性対照%	平均総強度	陽性対照%
化合物35	AA不含(Wnt3a含有)	BMP7	20111	224.91	8.05E+06	4.12
化合物35	AA不含(Wnt3a含有)	U0124	16539	184.97	7.54E+06	3.86
化合物35	AA不含(Wnt3a含有)	BMP6	17838	199.50	7.32E+06	3.75
化合物35	AA不含(Wnt3a含有)	BMP2/7	12042	134.67	7.08E+06	3.62
化合物35	AA不含(Wnt3a含有)	ピククリン	19312	215.98	1.95E+06	1.00
化合物35	AA不含(Wnt3a含有)	U0126	19961	223.24	-5.75E+05	-0.29
化合物35	AA不含(Wnt3a含有)	酪酸	14238	159.24	-1.85E+06	-0.94
なし	アクチビンA不含(Wnt3a含有)		6049	45.2	-1.31E+07	-5.2
なし	アクチビンA/Wnt3a		13392	100.0	2.50E+08	100.0
化合物20		EGF、FGF、PDGF-A、VEGF、PDGF-D、ムシモール、GDF8	9434	70.4	1.48E+08	59.1
化合物17		EGF、FGF、PDGF-A、VEGF、PDGF-D、ムシモール、GDF8	7988	59.6	1.13E+08	45.0
化合物16		EGF、FGF、PDGF-A、VEGF、PDGF-D、ムシモール、GDF8	8303	62.0	9.20E+07	36.7
化合物13		EGF、FGF、PDGF-A、VEGF、PDGF-D、ムシモール、GDF8	7045	52.6	7.22E+07	28.8
化合物19		EGF、FGF、PDGF-A、VEGF、PDGF-D、ムシモール、GDF8	7799	58.2	6.82E+07	27.2
化合物92		EGF、FGF、PDGF-A、VEGF、PDGF-D、ムシモール、GDF8	5886	44.0	5.63E+07	22.5
化合物93		EGF、FGF、PDGF-A、VEGF、PDGF-D、ムシモール、GDF8	5463	40.8	4.38E+07	17.5
化合物94		EGF、FGF、PDGF-A、VEGF、PDGF-D、ムシモール、GDF8	5100	38.1	4.18E+07	16.7
化合物95		EGF、FGF、PDGF-A、VEGF、PDGF-D、ムシモール、GDF8	4510	33.7	3.32E+07	13.3
化合物96		EGF、FGF、PDGF-A、VEGF、PDGF-D、ムシモール、GDF8	4570	34.1	3.09E+07	12.3
化合物97		EGF、FGF、PDGF-A、VEGF、PDGF-D、ムシモール、GDF8	4561	34.1	2.15E+07	8.6
化合物98		EGF、FGF、PDGF-A、VEGF、PDGF-D、ムシモール、GDF8	3176	23.7	9.86E+06	3.9
化合物99		EGF、FGF、PDGF-A、VEGF、PDGF-D、ムシモール、GDF8	1209	9.0	-1.56E+07	-6.2
なし	アクチビンA不含(Wnt3a含有)		15494	98.0	-1.25E+07	-4.4
なし	アクチビンA/Wnt3a		15807	100.0	2.86E+08	100.0
化合物18		EGF、FGF、PDGF-A、VEGF、PDGF-D、ムシモール、GDF8	8742	55.3	1.01E+08	35.4

30

40

【0480】

【表 5 - 3】

(上記表の続き)

表4						
化合物番号	処理		細胞数		Sox17発現	
			平均総細胞数	陽性対照%	平均総強度	陽性対照%
化合物14		EGF、FGF、PDGF-A、VEGF、PDGF-D、ムシモール、GDF8	8464	53. 5	8. 33E+07	29. 1
化合物15		EGF、FGF、PDGF-A、VEGF、PDGF-D、ムシモール、GDF8	7234	45. 8	7. 95E+07	27. 8
化合物100		EGF、FGF、PDGF-A、VEGF、PDGF-D、ムシモール、GDF8	6805	43. 0	5. 88E+07	20. 6
化合物101		EGF、FGF、PDGF-A、VEGF、PDGF-D、ムシモール、GDF8	5668	35. 9	5. 34E+07	18. 7
化合物102		EGF、FGF、PDGF-A、VEGF、PDGF-D、ムシモール、GDF8	6195	39. 2	5. 29E+07	18. 5
化合物103		EGF、FGF、PDGF-A、VEGF、PDGF-D、ムシモール、GDF8	7545	47. 7	5. 13E+07	18. 0
化合物104		EGF、FGF、PDGF-A、VEGF、PDGF-D、ムシモール、GDF8	4757	30. 1	4. 58E+07	16. 0
化合物105		EGF、FGF、PDGF-A、VEGF、PDGF-D、ムシモール、GDF8	6285	39. 8	4. 29E+07	15. 0
化合物106		EGF、FGF、PDGF-A、VEGF、PDGF-D、ムシモール、GDF8	5622	35. 6	2. 86E+07	10. 0
化合物107		EGF、FGF、PDGF-A、VEGF、PDGF-D、ムシモール、GDF8	3951	25. 0	1. 72E+07	6. 0
化合物108		EGF、FGF、PDGF-A、VEGF、PDGF-D、ムシモール、GDF8	3226	20. 4	1. 58E+07	5. 5
化合物109		EGF、FGF、PDGF-A、VEGF、PDGF-D、ムシモール、GDF8	3473	22. 0	1. 46E+07	5. 1
化合物110		EGF、FGF、PDGF-A、VEGF、PDGF-D、ムシモール、GDF8	3703	23. 4	1. 32E+07	4. 6
化合物111		EGF、FGF、PDGF-A、VEGF、PDGF-D、ムシモール、GDF8	2918	18. 5	1. 22E+07	4. 3
化合物112		EGF、FGF、PDGF-A、VEGF、PDGF-D、ムシモール、GDF8	2975	18. 8	1. 04E+07	3. 6
化合物113		EGF、FGF、PDGF-A、VEGF、PDGF-D、ムシモール、GDF8	2910	18. 4	9. 18E+06	3. 2
化合物114		EGF、FGF、PDGF-A、VEGF、PDGF-D、ムシモール、GDF8	2734	17. 3	6. 13E+06	2. 1
化合物115		EGF、FGF、PDGF-A、VEGF、PDGF-D、ムシモール、GDF8	2169	13. 7	3. 77E+06	1. 3
化合物116		EGF、FGF、PDGF-A、VEGF、PDGF-D、ムシモール、GDF8	3107	19. 7	3. 52E+06	1. 2
化合物117		EGF、FGF、PDGF-A、VEGF、PDGF-D、ムシモール、GDF8	3343	21. 1	5. 35E+05	0. 2
化合物118		EGF、FGF、PDGF-A、VEGF、PDGF-D、ムシモール、GDF8	3034	19. 2	2. 37E+05	0. 1
化合物119		EGF、FGF、PDGF-A、VEGF、PDGF-D、ムシモール、GDF8	2263	14. 3	-1. 66E+06	-0. 6
化合物120		EGF、FGF、PDGF-A、VEGF、PDGF-D、ムシモール、GDF8	1771	11. 2	-5. 57E+06	-2. 0
化合物121		EGF、FGF、PDGF-A、VEGF、PDGF-D、ムシモール、GDF8	1136	7. 2	-1. 79E+07	-6. 3
化合物122		EGF、FGF、PDGF-A、VEGF、PDGF-D、ムシモール、GDF8	2021	12. 8	-2. 09E+07	-7. 3

10

20

【 0 4 8 1 】

【表 6 - 1】

表5						
化合物番号	処理		細胞数		Sox17発現	
			平均総細胞数	陽性対照%	平均総強度	陽性対照%
なし	アクチビンA不含(Wnt3a含有)		7107	67.96	-1.27E+07	-7.94
なし	アクチビンA/Wnt3a		10459	100.00	1.60E+08	100.00
化合物17	AA不含(Wnt3a含有)	EGF	6942	73.43	1.27E+06	0.74
化合物17	AA不含(Wnt3a含有)	EGF+FGF4	5738	60.69	3.14E+06	1.83
化合物17	AA不含(Wnt3a含有)	EGF+FGF4+PDGF-AB	4453	47.10	9.30E+05	0.54
化合物17	AA不含(Wnt3a含有)	EGF+FGF4+PDGF-AB+ムシモール	10391	109.91	8.92E+06	5.20
化合物17	AA不含(Wnt3a含有)	EGF+PDGF-A+VEGF	5728	60.59	2.14E+06	1.24
化合物17	AA不含(Wnt3a含有)	FGF4+PDGF-A+VEGF	13198	139.59	1.29E+07	7.54
化合物17	AA不含(Wnt3a含有)	EGF+FGF4+PDGF-A+VEGF	10480	110.85	8.97E+06	5.23
化合物17	AA不含(Wnt3a含有)	EGF+FGF4+PDGF-A+ムシモール	13649	144.37	1.45E+07	8.43
なし	アクチビンA不含(Wnt3a含有)		7107	67.96	-1.27E+07	-7.94
なし	アクチビンA/Wnt3a		10459	100.00	1.60E+08	100.00
化合物35	AA不含(Wnt3a含有)	EGF	23887	228.40	-1.01E+07	-6.32
化合物35	AA不含(Wnt3a含有)	EGF+FGF4	21268	203.36	1.36E+06	0.85
化合物35	AA不含(Wnt3a含有)	EGF+FGF4+PDGF-AB	17611	168.39	1.28E+07	8.03
化合物35	AA不含(Wnt3a含有)	EGF+FGF4+PDGF-AB+ムシモール	17949	171.62	1.54E+06	0.96
化合物35	AA不含(Wnt3a含有)	EGF+PDGF-A+VEGF	23242	222.23	1.23E+07	7.72
化合物35	AA不含(Wnt3a含有)	FGF4+PDGF-A+VEGF	16068	153.63	3.92E+07	24.57
化合物35	AA不含(Wnt3a含有)	EGF+FGF4+PDGF-A+VEGF	16132	154.25	9.11E+07	57.04
化合物35	AA不含(Wnt3a含有)	EGF+FGF4+PDGF-A+ムシモール	15457	147.80	6.89E+07	43.15
化合物29	AA不含(Wnt3a含有)	EGF	1971	18.84	-1.44E+07	-9.00
化合物29	AA不含(Wnt3a含有)	EGF+FGF4	7436	71.10	-4.35E+06	-2.72
化合物29	AA不含(Wnt3a含有)	EGF+FGF4+PDGF-AB	6535	62.48	-7.52E+06	-4.71
化合物29	AA不含(Wnt3a含有)	EGF+FGF4+PDGF-AB+ムシモール	1376	13.15	-1.42E+07	-8.91
化合物29	AA不含(Wnt3a含有)	EGF+PDGF-A+VEGF	8880	84.91	-8.53E+06	-5.34
化合物29	AA不含(Wnt3a含有)	FGF4+PDGF-A+VEGF	8146	77.89	-4.82E+06	-3.02
化合物29	AA不含(Wnt3a含有)	EGF+FGF4+PDGF-A+VEGF	8858	84.70	-7.15E+06	-4.48
化合物29	AA不含(Wnt3a含有)	EGF+FGF4+PDGF-A+ムシモール	10071	96.30	2.95E+06	1.85
化合物37	AA不含(Wnt3a含有)	EGF	7966	76.17	-1.19E+07	-7.42
化合物37	AA不含(Wnt3a含有)	EGF+FGF4	6932	66.28	-4.62E+06	-2.89
化合物37	AA不含(Wnt3a含有)	EGF+FGF4+PDGF-AB	7473	71.46	-2.61E+06	-1.63

【 0 4 8 2 】

10

20

30

【表 6 - 2】

(上記表の続き)

表5						
化合物番号	処理		細胞数		Sox17発現	
			平均総細胞数	陽性対照%	平均総強度	陽性対照%
化合物37	AA不含有(Wnt3a含有)	EGF+FGF4+PDGF-AB+ムシモール	7914	75.67	-1.91E+06	-1.20
化合物37	AA不含有(Wnt3a含有)	EGF+PDGF-A+VEGF	12956	123.88	-1.25E+07	-7.82
化合物37	AA不含有(Wnt3a含有)	FGF4+PDGF-A+VEGF	6731	64.36	-1.10E+07	-6.89
化合物37	AA不含有(Wnt3a含有)	EGF+FGF4+PDGF-A+VEGF	8778	83.93	1.39E+05	0.09
化合物37	AA不含有(Wnt3a含有)	EGF+FGF4+PDGF-A+ムシモール	5821	55.66	-1.22E+07	-7.64
化合物34	AA不含有(Wnt3a含有)	EGF	13062	124.89	2.78E+07	17.39
化合物34	AA不含有(Wnt3a含有)	EGF+FGF4	13133	125.58	1.23E+08	76.85
化合物34	AA不含有(Wnt3a含有)	EGF+FGF4+PDGF-AB	12532	119.83	1.09E+08	68.41
化合物34	AA不含有(Wnt3a含有)	EGF+FGF4+PDGF-AB+ムシモール	15811	151.18	6.90E+06	4.32
化合物34	AA不含有(Wnt3a含有)	EGF+PDGF-A+VEGF	11801	112.84	4.04E+06	2.53
化合物34	AA不含有(Wnt3a含有)	FGF4+PDGF-A+VEGF	15262	145.93	1.15E+07	7.18
化合物34	AA不含有(Wnt3a含有)	EGF+FGF4+PDGF-A+VEGF	12901	123.36	5.01E+07	31.35
化合物34	AA不含有(Wnt3a含有)	EGF+FGF4+PDGF-A+ムシモール	12208	116.72	5.56E+07	34.83
なし	アクチビンA不含有(Wnt3a含有)		10224	108.14	7.36E+05	0.43
なし	アクチビンA/Wnt3a		9455	100.00	1.72E+08	100.00
化合物39	AA不含有(Wnt3a含有)	EGF	11615	122.85	1.49E+05	0.09
化合物39	AA不含有(Wnt3a含有)	EGF+FGF4	10456	110.59	5.11E+06	2.98
化合物39	AA不含有(Wnt3a含有)	EGF+FGF4+PDGF-AB	9972	105.47	1.62E+06	0.94
化合物39	AA不含有(Wnt3a含有)	EGF+FGF4+PDGF-AB+ムシモール	10540	111.48	2.22E+06	1.29
化合物39	AA不含有(Wnt3a含有)	EGF+PDGF-A+VEGF	17050	180.34	4.84E+06	2.82
化合物39	AA不含有(Wnt3a含有)	FGF4+PDGF-A+VEGF	8856	93.67	7.01E+05	0.41
化合物39	AA不含有(Wnt3a含有)	EGF+FGF4+PDGF-A+VEGF	7973	84.33	5.30E+06	3.09
化合物39	AA不含有(Wnt3a含有)	EGF+FGF4+PDGF-A+ムシモール	9103	96.28	7.32E+05	0.43
化合物22	AA不含有(Wnt3a含有)	EGF	14105	149.19	1.75E+06	1.02
化合物22	AA不含有(Wnt3a含有)	EGF+FGF4	12971	137.19	1.04E+07	6.05
化合物22	AA不含有(Wnt3a含有)	EGF+FGF4+PDGF-AB	16580	175.36	8.60E+06	5.01
化合物22	AA不含有(Wnt3a含有)	EGF+FGF4+PDGF-AB+ムシモール	14676	155.23	5.61E+06	3.27
化合物22	AA不含有(Wnt3a含有)	EGF+PDGF-A+VEGF	20372	215.48	4.99E+06	2.91
化合物22	AA不含有(Wnt3a含有)	FGF4+PDGF-A+VEGF	12277	129.85	4.90E+06	2.86
化合物22	AA不含有(Wnt3a含有)	EGF+FGF4+PDGF-A+VEGF	12522	132.44	7.88E+06	4.59
化合物22	AA不含有(Wnt3a含有)	EGF+FGF4+PDGF-A+ムシモール	11610	122.80	1.33E+07	7.77

【0483】

【表 7】

表6						
化合物番号	処理		細胞数		Sox17発現	
			平均総細胞数	陽性対照%	平均総強度	陽性対照%
なし	アクチビンA不含有(Wnt3a含有)		477	6.64	7.4E+04	0.09
なし	アクチビンA/Wnt3a		7185	100.00	8.0E+07	100.00
化合物34	AA不含有(Wnt3a含有)	なし	4611	64.18	1.4E+07	17.21
化合物34	AA不含有(Wnt3a含有)	EGF	6145	85.53	1.5E+07	19.18
化合物34	AA不含有(Wnt3a含有)	FGF4	5323	74.09	2.7E+07	33.75
化合物34	AA不含有(Wnt3a含有)	PDGF-D	5017	69.84	1.5E+07	18.76
化合物34	AA不含有(Wnt3a含有)	PDGF-A	4175	58.11	1.1E+07	13.43
化合物34	AA不含有(Wnt3a含有)	VEGF	4713	65.60	1.0E+07	12.49
化合物34	AA不含有(Wnt3a含有)	GDF8	6354	88.44	7.1E+07	88.59
化合物34	AA不含有(Wnt3a含有)	ムシモール	7286	101.41	3.1E+07	38.38
化合物34	AA不含有(Wnt3a含有)	PDGF-D+VEGF	5030	70.01	1.2E+07	14.58
化合物34	AA不含有(Wnt3a含有)	VEGF+ムシモール	776	10.81	1.3E+06	1.56
化合物34	AA不含有(Wnt3a含有)	PDGF-D+ムシモール	3490	48.57	6.5E+06	8.02
化合物34	AA不含有(Wnt3a含有)	GDF8+PDGF-D	6889	95.88	5.8E+07	72.59
化合物34	AA不含有(Wnt3a含有)	PDGF-D+ムシモール+VEGF	2133	29.68	2.7E+06	3.32
化合物34	AA不含有(Wnt3a含有)	GDF8+PDGF-D+VEGF	5585	77.74	6.6E+07	81.75
化合物34	AA不含有(Wnt3a含有)	GDF8+VEGF+ムシモール	6083	84.67	5.6E+07	69.62
化合物34	AA不含有(Wnt3a含有)	GDF8+PDGF-D+VEGF+ムシモール	9455	131.60	9.6E+07	119.24
化合物34	AA不含有(Wnt3a含有)	EGF+FGF4+PDGF-A+VEGF+PDGF-D+ムシモール+GDF8	4757	66.21	3.9E+07	48.77
化合物34	AA不含有(Wnt3a含有)	EGF+FGF4+PDGF-A+VEGF+PDGF-D+ムシモール+GDF8	6028	83.90	7.0E+07	87.44

【0484】

10

20

30

40

50

【表 8 - 1】

表7						
			細胞数		Sox17発現	
プレート	処理	化合物番号	平均総細胞数	陽性対照%	平均総強度	陽性対照%
1	アクチビンA不含(Wnt3a含有)	なし	6049	45. 2	-1. 31E+07	-5. 2
1	アクチビンA/Wnt3a	なし	13392	100. 0	2. 50E+08	100. 0
1	EGF, FGF, PDGF-A, VEGF, PDGF-D, ムシモール, GDF8	化合物18	13037	97. 3	1. 63E+08	65. 2
1	EGF, FGF, PDGF-A, VEGF, PDGF-D, ムシモール, GDF8	化合物14	9344	69. 8	1. 23E+08	49. 0
1	EGF, FGF, PDGF-A, VEGF, PDGF-D, ムシモール, GDF8	化合物15	8448	63. 1	8. 64E+07	34. 5
1	EGF, FGF, PDGF-A, VEGF, PDGF-D, ムシモール, GDF8	化合物16	5498	41. 1	6. 56E+07	26. 2
1	EGF, FGF, PDGF-A, VEGF, PDGF-D, ムシモール, GDF8	化合物64	5063	37. 8	5. 88E+07	23. 5
1	EGF, FGF, PDGF-A, VEGF, PDGF-D, ムシモール, GDF8	化合物65	4788	35. 8	4. 57E+07	18. 2
1	EGF, FGF, PDGF-A, VEGF, PDGF-D, ムシモール, GDF8	化合物66	8129	60. 7	3. 53E+07	14. 1
1	EGF, FGF, PDGF-A, VEGF, PDGF-D, ムシモール, GDF8	化合物67	6791	50. 7	3. 18E+07	12. 7
1	EGF, FGF, PDGF-A, VEGF, PDGF-D, ムシモール, GDF8	化合物68	3456	25. 8	2. 30E+07	9. 2
1	EGF, FGF, PDGF-A, VEGF, PDGF-D, ムシモール, GDF8	化合物69	3995	29. 8	1. 69E+07	6. 8
1	EGF, FGF, PDGF-A, VEGF, PDGF-D, ムシモール, GDF8	化合物70	474	3. 5	-1. 80E+07	-7. 2
2	アクチビンA不含(Wnt3a含有)	なし	15494	98. 0	-1. 25E+07	-4. 4
2	アクチビンA/Wnt3a	なし	15807	100. 0	2. 86E+08	100. 0
2	EGF, FGF, PDGF-A, VEGF, PDGF-D, ムシモール, GDF8	化合物19	8425	53. 3	1. 19E+08	41. 6
2	EGF, FGF, PDGF-A, VEGF, PDGF-D, ムシモール, GDF8	化合物13	9123	57. 7	1. 13E+08	39. 7
2	EGF, FGF, PDGF-A, VEGF, PDGF-D, ムシモール, GDF8	化合物71	6048	38. 3	5. 51E+07	19. 3
2	EGF, FGF, PDGF-A, VEGF, PDGF-D, ムシモール, GDF8	化合物72	6060	38. 3	5. 46E+07	19. 1
2	EGF, FGF, PDGF-A, VEGF, PDGF-D, ムシモール, GDF8	化合物73	5545	35. 1	3. 99E+07	14. 0
2	EGF, FGF, PDGF-A, VEGF, PDGF-D, ムシモール, GDF8	化合物74	10898	68. 9	3. 91E+07	13. 7
2	EGF, FGF, PDGF-A, VEGF, PDGF-D, ムシモール, GDF8	化合物75	4117	26. 0	3. 01E+07	10. 5
2	EGF, FGF, PDGF-A, VEGF, PDGF-D, ムシモール, GDF8	化合物76	3825	24. 2	2. 74E+07	9. 6
2	EGF, FGF, PDGF-A, VEGF, PDGF-D, ムシモール, GDF8	化合物77	5928	37. 5	2. 44E+07	8. 5
2	EGF, FGF, PDGF-A, VEGF, PDGF-D, ムシモール, GDF8	化合物78	3303	20. 9	2. 03E+07	7. 1
2	EGF, FGF, PDGF-A, VEGF, PDGF-D, ムシモール, GDF8	化合物79	4767	30. 2	1. 85E+07	6. 5
2	EGF, FGF, PDGF-A, VEGF, PDGF-D, ムシモール, GDF8	化合物80	2194	13. 9	1. 22E+07	4. 3
2	EGF, FGF, PDGF-A, VEGF, PDGF-D, ムシモール, GDF8	化合物81	2920	18. 5	9. 16E+05	0. 3
2	EGF, FGF, PDGF-A, VEGF, PDGF-D, ムシモール, GDF8	化合物82	1819	11. 5	-1. 05E+07	-3. 7
2	EGF, FGF, PDGF-A, VEGF, PDGF-D, ムシモール, GDF8	化合物83	2153	13. 6	-1. 19E+07	-4. 2
2	EGF, FGF, PDGF-A, VEGF, PDGF-D, ムシモール, GDF8	化合物84	58	0. 4	-2. 94E+07	-10. 3
2	EGF, FGF, PDGF-A, VEGF, PDGF-D, ムシモール, GDF8	化合物85	57	0. 4	-3. 03E+07	-10. 6
1	アクチビンA不含(Wnt3a含有)	なし	6049	45. 2	-1. 31E+07	-5. 2

【 0 4 8 5 】

【表 8 - 2】

(上記表の続き)

表7			細胞数		Sox17発現	
プレート	処理	化合物番号	平均総細胞数	陽性対照%	平均総強度	陽性対照%
1	アクチビンA/Wnt3a	なし	13392	100. 0	2. 50E+08	100. 0
1	EGF、FGF、PDGF-A、VEGF、PDGF-D、ムシモール、GDF8	化合物20	9434	70. 4	1. 48E+08	59. 1
1	EGF、FGF、PDGF-A、VEGF、PDGF-D、ムシモール、GDF8	化合物17	7988	59. 6	1. 13E+08	45. 0
1	EGF、FGF、PDGF-A、VEGF、PDGF-D、ムシモール、GDF8	化合物16	8303	62. 0	9. 20E+07	36. 7
1	EGF、FGF、PDGF-A、VEGF、PDGF-D、ムシモール、GDF8	化合物13	7045	52. 6	7. 22E+07	28. 8
1	EGF、FGF、PDGF-A、VEGF、PDGF-D、ムシモール、GDF8	化合物19	7799	58. 2	6. 82E+07	27. 2
1	EGF、FGF、PDGF-A、VEGF、PDGF-D、ムシモール、GDF8	化合物92	5886	44. 0	5. 63E+07	22. 5
1	EGF、FGF、PDGF-A、VEGF、PDGF-D、ムシモール、GDF8	化合物93	5463	40. 8	4. 38E+07	17. 5
1	EGF、FGF、PDGF-A、VEGF、PDGF-D、ムシモール、GDF8	化合物94	5100	38. 1	4. 18E+07	16. 7
1	EGF、FGF、PDGF-A、VEGF、PDGF-D、ムシモール、GDF8	化合物95	4510	33. 7	3. 32E+07	13. 3
1	EGF、FGF、PDGF-A、VEGF、PDGF-D、ムシモール、GDF8	化合物96	4570	34. 1	3. 09E+07	12. 3
1	EGF、FGF、PDGF-A、VEGF、PDGF-D、ムシモール、GDF8	化合物97	4561	34. 1	2. 15E+07	8. 6
1	EGF、FGF、PDGF-A、VEGF、PDGF-D、ムシモール、GDF8	化合物98	3176	23. 7	9. 86E+06	3. 9
1	EGF、FGF、PDGF-A、VEGF、PDGF-D、ムシモール、GDF8	化合物99	1209	9. 0	-1. 56E+07	-6. 2
2	アクチビンA不含(Wnt3a含有)	なし	15494	98. 0	-1. 25E+07	-4. 4
2	アクチビンA/Wnt3a	なし	15807	100. 0	2. 86E+08	100. 0
2	EGF、FGF、PDGF-A、VEGF、PDGF-D、ムシモール、GDF8	化合物18	8742	55. 3	1. 01E+08	35. 4
2	EGF、FGF、PDGF-A、VEGF、PDGF-D、ムシモール、GDF8	化合物14	8464	53. 5	8. 33E+07	29. 1
2	EGF、FGF、PDGF-A、VEGF、PDGF-D、ムシモール、GDF8	化合物15	7234	45. 8	7. 95E+07	27. 8
2	EGF、FGF、PDGF-A、VEGF、PDGF-D、ムシモール、GDF8	化合物100	6805	43. 0	5. 88E+07	20. 6
2	EGF、FGF、PDGF-A、VEGF、PDGF-D、ムシモール、GDF8	化合物101	5668	35. 9	5. 34E+07	18. 7
2	EGF、FGF、PDGF-A、VEGF、PDGF-D、ムシモール、GDF8	化合物102	6195	39. 2	5. 29E+07	18. 5
2	EGF、FGF、PDGF-A、VEGF、PDGF-D、ムシモール、GDF8	化合物103	7545	47. 7	5. 13E+07	18. 0
2	EGF、FGF、PDGF-A、VEGF、PDGF-D、ムシモール、GDF8	化合物104	4757	30. 1	4. 58E+07	16. 0
2	EGF、FGF、PDGF-A、VEGF、PDGF-D、ムシモール、GDF8	化合物105	6285	39. 8	4. 29E+07	15. 0
2	EGF、FGF、PDGF-A、VEGF、PDGF-D、ムシモール、GDF8	化合物106	5622	35. 6	2. 86E+07	10. 0
2	EGF、FGF、PDGF-A、VEGF、PDGF-D、ムシモール、GDF8	化合物107	3951	25. 0	1. 72E+07	6. 0
2	EGF、FGF、PDGF-A、VEGF、PDGF-D、ムシモール、GDF8	化合物108	3226	20. 4	1. 58E+07	5. 5
2	EGF、FGF、PDGF-A、VEGF、PDGF-D、ムシモール、GDF8	化合物109	3473	22. 0	1. 46E+07	5. 1
2	EGF、FGF、PDGF-A、VEGF、PDGF-D、ムシモール、GDF8	化合物110	3703	23. 4	1. 32E+07	4. 6
2	EGF、FGF、PDGF-A、VEGF、PDGF-D、ムシモール、GDF8	化合物111	2918	18. 5	1. 22E+07	4. 3
2	EGF、FGF、PDGF-A、VEGF、PDGF-D、ムシモール、GDF8	化合物112	2975	18. 8	1. 04E+07	3. 6
2	EGF、FGF、PDGF-A、VEGF、PDGF-D、ムシモール、GDF8	化合物113	2910	18. 4	9. 18E+06	3. 2

【 0 4 8 6 】

10

20

30

【表 8 - 3】

(上記表の続き)

表7						
			細胞数		Sox17発現	
プレート	処理	化合物番号	平均総細胞数	陽性対照%	平均総強度	陽性対照%
2	EGF、FGF、PDGF-A、VEGF、PDGF-D、ムシモール、GDF8	化合物114	2734	17.3	6.13E+06	2.1
2	EGF、FGF、PDGF-A、VEGF、PDGF-D、ムシモール、GDF8	化合物115	2169	13.7	3.77E+06	1.3
2	EGF、FGF、PDGF-A、VEGF、PDGF-D、ムシモール、GDF8	化合物116	3107	19.7	3.52E+06	1.2
2	EGF、FGF、PDGF-A、VEGF、PDGF-D、ムシモール、GDF8	化合物117	3343	21.1	5.35E+05	0.2
2	EGF、FGF、PDGF-A、VEGF、PDGF-D、ムシモール、GDF8	化合物118	3034	19.2	2.37E+05	0.1
2	EGF、FGF、PDGF-A、VEGF、PDGF-D、ムシモール、GDF8	化合物119	2263	14.3	-1.66E+06	-0.6
2	EGF、FGF、PDGF-A、VEGF、PDGF-D、ムシモール、GDF8	化合物120	1771	11.2	-5.57E+06	-2.0
2	EGF、FGF、PDGF-A、VEGF、PDGF-D、ムシモール、GDF8	化合物121	1136	7.2	-1.79E+07	-6.3
2	EGF、FGF、PDGF-A、VEGF、PDGF-D、ムシモール、GDF8	化合物122	2021	12.8	-2.09E+07	-7.3
1	アクチビンA不含(Wnt3a含有)	なし	6049	45.2	-1.31E+07	-5.2
1	アクチビンA/Wnt3a	なし	13392	100.0	2.50E+08	100.0
1	EGF、FGF、PDGF-A、VEGF、PDGF-D、ムシモール、GDF8	化合物19	15878	118.6	2.67E+08	106.5
1	EGF、FGF、PDGF-A、VEGF、PDGF-D、ムシモール、GDF8	化合物24	12714	94.9	2.46E+08	98.2
1	EGF、FGF、PDGF-A、VEGF、PDGF-D、ムシモール、GDF8	化合物23	12165	90.8	2.15E+08	86.0
1	EGF、FGF、PDGF-A、VEGF、PDGF-D、ムシモール、GDF8	化合物21	12640	94.4	1.65E+08	65.9
1	EGF、FGF、PDGF-A、VEGF、PDGF-D、ムシモール、GDF8	化合物13	11491	85.8	1.61E+08	64.3
1	EGF、FGF、PDGF-A、VEGF、PDGF-D、ムシモール、GDF8	化合物30	11396	85.1	1.34E+08	53.4
1	EGF、FGF、PDGF-A、VEGF、PDGF-D、ムシモール、GDF8	化合物36	7964	59.5	9.47E+07	37.8
1	EGF、FGF、PDGF-A、VEGF、PDGF-D、ムシモール、GDF8	化合物32	8066	60.2	9.29E+07	37.1
1	EGF、FGF、PDGF-A、VEGF、PDGF-D、ムシモール、GDF8	化合物26	7415	55.4	8.30E+07	33.1
1	EGF、FGF、PDGF-A、VEGF、PDGF-D、ムシモール、GDF8	化合物17	6994	52.2	7.76E+07	31.0
1	EGF、FGF、PDGF-A、VEGF、PDGF-D、ムシモール、GDF8	化合物31	6957	51.9	6.59E+07	26.3
1	EGF、FGF、PDGF-A、VEGF、PDGF-D、ムシモール、GDF8	化合物179	3573	26.7	2.43E+07	9.7
1	EGF、FGF、PDGF-A、VEGF、PDGF-D、ムシモール、GDF8	化合物180	922	6.9	-2.20E+07	-8.8
1	EGF、FGF、PDGF-A、VEGF、PDGF-D、ムシモール、GDF8	化合物181	8	0.1	-2.68E+07	-10.7
2	アクチビンA不含(Wnt3a含有)	なし	15494	98.0	-1.25E+07	-4.4
2	アクチビンA/Wnt3a	なし	15807	100.0	2.86E+08	100.0
2	EGF、FGF、PDGF-A、VEGF、PDGF-D、ムシモール、GDF8	化合物18	21102	133.5	4.18E+08	146.3
2	EGF、FGF、PDGF-A、VEGF、PDGF-D、ムシモール、GDF8	化合物15	15373	97.3	3.74E+08	130.8
2	EGF、FGF、PDGF-A、VEGF、PDGF-D、ムシモール、GDF8	化合物14	9008	57.0	2.62E+08	91.6
2	EGF、FGF、PDGF-A、VEGF、PDGF-D、ムシモール、GDF8	化合物38	9650	61.0	2.46E+08	86.2
2	EGF、FGF、PDGF-A、VEGF、PDGF-D、ムシモール、GDF8	化合物35	10461	66.2	1.59E+08	55.7

10

20

【 0 4 8 7 】

30

【表 8 - 4】

(上記表の続き)

表7						
			細胞数		Sox17発現	
プレート	処理	化合物番号	平均総細胞数	陽性対照%	平均総強度	陽性対照%
2	EGF、FGF、PDGF-A、VEGF、PDGF-D、ムシモール、GDF8	化合物16	9064	57.3	1.48E+08	51.8
2	EGF、FGF、PDGF-A、VEGF、PDGF-D、ムシモール、GDF8	化合物34	8907	56.3	9.99E+07	35.0
2	EGF、FGF、PDGF-A、VEGF、PDGF-D、ムシモール、GDF8	化合物20	7346	46.5	8.90E+07	31.2
2	EGF、FGF、PDGF-A、VEGF、PDGF-D、ムシモール、GDF8	化合物27	8044	50.9	8.81E+07	30.8
2	EGF、FGF、PDGF-A、VEGF、PDGF-D、ムシモール、GDF8	化合物28	7591	48.0	8.77E+07	30.7
2	EGF、FGF、PDGF-A、VEGF、PDGF-D、ムシモール、GDF8	化合物40	4049	25.6	8.23E+07	28.8
2	EGF、FGF、PDGF-A、VEGF、PDGF-D、ムシモール、GDF8	化合物33	7485	47.4	8.10E+07	28.3
2	EGF、FGF、PDGF-A、VEGF、PDGF-D、ムシモール、GDF8	化合物25	6571	41.6	7.60E+07	26.6
2	EGF、FGF、PDGF-A、VEGF、PDGF-D、ムシモール、GDF8	化合物182	7631	48.3	6.74E+07	23.6
2	EGF、FGF、PDGF-A、VEGF、PDGF-D、ムシモール、GDF8	化合物183	6777	42.9	5.93E+07	20.8
2	EGF、FGF、PDGF-A、VEGF、PDGF-D、ムシモール、GDF8	化合物184	5475	34.6	5.44E+07	19.0
2	EGF、FGF、PDGF-A、VEGF、PDGF-D、ムシモール、GDF8	化合物185	4093	25.9	4.92E+07	17.2
2	EGF、FGF、PDGF-A、VEGF、PDGF-D、ムシモール、GDF8	化合物186	5274	33.4	4.63E+07	16.2
2	EGF、FGF、PDGF-A、VEGF、PDGF-D、ムシモール、GDF8	化合物187	5342	33.8	4.02E+07	14.1
2	EGF、FGF、PDGF-A、VEGF、PDGF-D、ムシモール、GDF8	化合物188	5533	35.0	3.98E+07	13.9
2	EGF、FGF、PDGF-A、VEGF、PDGF-D、ムシモール、GDF8	化合物189	5928	37.5	3.96E+07	13.9
2	EGF、FGF、PDGF-A、VEGF、PDGF-D、ムシモール、GDF8	化合物190	4822	30.5	3.90E+07	13.7
2	EGF、FGF、PDGF-A、VEGF、PDGF-D、ムシモール、GDF8	化合物191	4249	26.9	3.81E+07	13.3
2	EGF、FGF、PDGF-A、VEGF、PDGF-D、ムシモール、GDF8	化合物192	5616	35.5	3.54E+07	12.4
2	EGF、FGF、PDGF-A、VEGF、PDGF-D、ムシモール、GDF8	化合物193	4158	26.3	3.23E+07	11.3
2	EGF、FGF、PDGF-A、VEGF、PDGF-D、ムシモール、GDF8	化合物194	3470	22.0	2.96E+07	10.4
2	EGF、FGF、PDGF-A、VEGF、PDGF-D、ムシモール、GDF8	化合物195	3800	24.0	2.95E+07	10.3
2	EGF、FGF、PDGF-A、VEGF、PDGF-D、ムシモール、GDF8	化合物196	4619	29.2	2.78E+07	9.7
2	EGF、FGF、PDGF-A、VEGF、PDGF-D、ムシモール、GDF8	化合物197	4011	25.4	2.45E+07	8.6
2	EGF、FGF、PDGF-A、VEGF、PDGF-D、ムシモール、GDF8	化合物198	4367	27.6	1.92E+07	6.7
2	EGF、FGF、PDGF-A、VEGF、PDGF-D、ムシモール、GDF8	化合物199	3162	20.0	1.20E+07	4.2
2	EGF、FGF、PDGF-A、VEGF、PDGF-D、ムシモール、GDF8	化合物200	2087	13.2	4.43E+06	1.6
2	EGF、FGF、PDGF-A、VEGF、PDGF-D、ムシモール、GDF8	化合物201	1568	9.9	-6.17E+06	-2.2
2	EGF、FGF、PDGF-A、VEGF、PDGF-D、ムシモール、GDF8	化合物202	5213	33.0	-1.41E+07	-4.9
2	EGF、FGF、PDGF-A、VEGF、PDGF-D、ムシモール、GDF8	化合物203	7	0.0	-3.04E+07	-10.6
2	EGF、FGF、PDGF-A、VEGF、PDGF-D、ムシモール、GDF8	化合物204	11	0.1	-3.18E+07	-11.1
2	EGF、FGF、PDGF-A、VEGF、PDGF-D、ムシモール、GDF8	化合物205	10	0.1	-3.20E+07	-11.2

10

20

【 0 4 8 8 】

30

【表 9】

表8				
	細胞数		Sox17発現	
化合物番号	平均総細胞数	陽性対照%	平均総強度	陽性対照%
化合物18	21102	133. 5	4. 18E+08	146. 3
化合物15	15373	97. 3	3. 74E+08	130. 8
化合物19	15878	118. 6	2. 67E+08	106. 5
化合物24	12714	94. 9	2. 46E+08	98. 2
化合物14	9008	57. 0	2. 62E+08	91. 6
化合物38	9650	61. 0	2. 46E+08	86. 2
化合物23	12165	90. 8	2. 15E+08	86. 0
化合物21	12640	94. 4	1. 65E+08	65. 9
化合物13	11491	85. 8	1. 61E+08	64. 3
化合物35	10461	66. 2	1. 59E+08	55. 7
化合物30	11396	85. 1	1. 34E+08	53. 4
化合物16	9064	57. 3	1. 48E+08	51. 8
化合物36	7964	59. 5	9. 47E+07	37. 8
化合物32	8066	60. 2	9. 29E+07	37. 1
化合物34	8907	56. 3	9. 99E+07	35. 0
化合物26	7415	55. 4	8. 30E+07	33. 1
化合物20	7346	46. 5	8. 90E+07	31. 2
化合物17	6994	52. 2	7. 76E+07	31. 0
化合物27	8044	50. 9	8. 81E+07	30. 8
化合物28	7591	48. 0	8. 77E+07	30. 7
化合物40	4049	25. 6	8. 23E+07	28. 8
化合物33	7485	47. 4	8. 10E+07	28. 3
化合物25	6571	41. 6	7. 60E+07	26. 6
化合物31	6957	51. 9	6. 59E+07	26. 3
化合物20	9434	70. 4	1. 48E+08	59. 1
化合物17	7988	59. 6	1. 13E+08	45. 0
化合物16	8303	62. 0	9. 20E+07	36. 7
化合物18	8742	55. 3	1. 01E+08	35. 4
化合物14	8464	53. 5	8. 33E+07	29. 1
化合物13	7045	52. 6	7. 22E+07	28. 8
化合物15	7234	45. 8	7. 95E+07	27. 8
化合物19	7799	58. 2	6. 82E+07	27. 2

10

20

30

40

【 0 4 8 9 】

【表 10 - 1】

表9			処理	細胞数		Sox17発現	
プレート番号	アクチビンA	化合物番号	増殖因子	平均総細胞数	陽性対照%	平均総強度	陽性対照%
1	なし	なし	なし	9164	149.46	-5.91E+06	-5.17
1	10ng/mLのAA	なし	なし	6132	100.00	1.52E+06	1.33
1	100ng/mLのAA	なし	なし	9658	157.51	1.14E+08	100.00
1	10ng/mLのAA	化合物22	EGF+FGF4+PDGF-A+VEGF+PDGF-D+ ムシモール+GDF8+Wnt3a	8556	139.53	8.78E+07	76.82
1	10ng/mLのAA	化合物22	EGF+FGF4+PDGF-AB+VEGF+Wnt3a	7657	124.87	4.70E+07	41.09
1	10ng/mLのAA	化合物22	EGF+FGF4+PDGF-A+ムシモール+Wnt3a	8100	132.10	4.42E+07	38.65
1	10ng/mLのAA	化合物22	EGF+FGF4+PDGF-AB+Wnt3a	7975	130.06	3.43E+07	30.03
1	10ng/mLのAA	化合物22	EGF+FGF4+Wnt3a	9800	159.83	4.59E+07	40.13
1	10ng/mLのAA	化合物22	FGF4+Wnt3a	6490	105.84	4.28E+07	37.43
1	10ng/mLのAA	化合物22	EGF+Wnt3a	5001	81.55	2.80E+07	24.45
1	10ng/mLのAA	化合物22	Wnt3a	4543	74.09	3.05E+07	26.65
1	10ng/mLのAA	化合物35	EGF+FGF4+PDGF-A+VEGF+PDGF-D+ ムシモール+GDF8+Wnt3a	2522	41.14	-4.86E+06	-4.25
1	10ng/mLのAA	化合物35	EGF+FGF4+PDGF-AB+VEGF+Wnt3a	3479	56.74	-3.96E+06	-3.46
1	10ng/mLのAA	化合物35	EGF+FGF4+PDGF-A+ムシモール+Wnt3a	3820	62.29	-1.67E+06	-1.46
1	10ng/mLのAA	化合物35	EGF+FGF4+PDGF-AB+Wnt3a	3263	53.21	-4.56E+06	-3.99
1	10ng/mLのAA	化合物35	EGF+FGF4+Wnt3a	2704	44.10	-4.17E+06	-3.65
1	10ng/mLのAA	化合物35	FGF4+Wnt3a	284	4.64	-7.54E+06	-6.59
1	10ng/mLのAA	化合物35	EGF+Wnt3a	155	2.53	-7.82E+06	-6.84
1	10ng/mLのAA	化合物35	Wnt3a	173	2.83	-7.61E+06	-6.66
1	10ng/mLのAA	化合物29	EGF+FGF4+PDGF-A+VEGF+PDGF-D+ ムシモール+GDF8+Wnt3a	2737	44.63	2.41E+07	21.10
1	10ng/mLのAA	化合物29	EGF+FGF4+PDGF-AB+VEGF+Wnt3a	2283	37.23	5.59E+06	4.88
1	10ng/mLのAA	化合物29	EGF+FGF4+PDGF-A+ムシモール+Wnt3a	4676	76.26	2.41E+07	21.11
1	10ng/mLのAA	化合物29	EGF+FGF4+PDGF-AB+Wnt3a	3964	64.65	2.27E+07	19.89
1	10ng/mLのAA	化合物29	EGF+FGF4+Wnt3a	1736	28.31	1.98E+06	1.73
1	10ng/mLのAA	化合物29	FGF4+Wnt3a	2139	34.89	6.98E+06	6.10
1	10ng/mLのAA	化合物29	EGF+Wnt3a	365	5.96	-4.86E+06	-4.25
1	10ng/mLのAA	化合物29	Wnt3a	2090	34.09	4.89E+06	4.28
2	なし	なし	なし	9325	121.89	-3.35E+06	-3.01

10

20

【0490】

【表 10 - 2】

(上記表の続き)

表9			処理	細胞数		Sox17発現	
プレート番号	アクチビンA	化合物番号	増殖因子	平均総細胞数	陽性対照%	平均総強度	陽性対照%
2	10ng/mLのAA	なし	なし	5177	67.67	3.89E+06	3.49
2	100ng/mLのAA	なし	なし	7650	100.00	1.11E+08	100.00
2	10ng/mLのAA	化合物34	EGF+FGF4+PDGF-A+VEGF+PDGF-D+ ムシモール+GDF8+Wnt3a	18362	240.02	3.45E+08	309.74
2	10ng/mLのAA	化合物34	EGF+FGF4+PDGF-AB+VEGF+Wnt3a	15574	203.58	2.59E+08	232.70
2	10ng/mLのAA	化合物34	EGF+FGF4+PDGF-A+ムシモール+Wnt3a	17890	233.85	2.88E+08	258.30
2	10ng/mLのAA	化合物34	EGF+FGF4+PDGF-AB+Wnt3a	17875	233.65	2.68E+08	241.07
2	10ng/mLのAA	化合物34	EGF+FGF4+Wnt3a	14158	185.07	2.40E+08	215.35
2	10ng/mLのAA	化合物34	FGF4+Wnt3a	13323	174.15	2.19E+08	196.86
2	10ng/mLのAA	化合物34	EGF+Wnt3a	14527	189.89	2.28E+08	204.84
2	10ng/mLのAA	化合物34	Wnt3a	3589	46.91	7.02E+07	63.08
2	10ng/mLのAA	化合物39	EGF+FGF4+PDGF-A+VEGF+PDGF-D+ ムシモール+GDF8+Wnt3a	5738	75.00	2.14E+07	19.24
2	10ng/mLのAA	化合物39	EGF+FGF4+PDGF-AB+VEGF+Wnt3a	2531	33.08	2.82E+06	2.53
2	10ng/mLのAA	化合物39	EGF+FGF4+PDGF-A+ムシモール+Wnt3a	2879	37.64	3.61E+06	3.24
2	10ng/mLのAA	化合物39	EGF+FGF4+PDGF-AB+Wnt3a	2989	39.07	-1.78E+04	-0.02
2	10ng/mLのAA	化合物39	EGF+FGF4+Wnt3a	734	9.59	-3.93E+06	-3.53
2	10ng/mLのAA	化合物39	FGF4+Wnt3a	521	6.81	-4.46E+06	-4.01
2	10ng/mLのAA	化合物39	EGF+Wnt3a	211	2.75	-4.54E+06	-4.08
2	10ng/mLのAA	化合物39	Wnt3a	518	6.78	-2.37E+06	-2.13
2	10ng/mLのAA	化合物37	EGF+FGF4+PDGF-A+VEGF+PDGF-D+ ムシモール+GDF8+Wnt3a	5711	74.65	1.21E+07	10.82
2	10ng/mLのAA	化合物37	EGF+FGF4+PDGF-AB+VEGF+Wnt3a	4767	62.31	-5.16E+05	-0.46
2	10ng/mLのAA	化合物37	EGF+FGF4+PDGF-A+ムシモール+Wnt3a	4540	59.34	9.23E+05	0.83
2	10ng/mLのAA	化合物37	EGF+FGF4+PDGF-AB+Wnt3a	4223	55.20	-6.15E+05	-0.55
2	10ng/mLのAA	化合物37	EGF+FGF4+Wnt3a	3501	45.77	5.60E+05	0.50
2	10ng/mLのAA	化合物37	FGF4+Wnt3a	3930	51.37	-1.88E+06	-1.69
2	10ng/mLのAA	化合物37	EGF+Wnt3a	1431	18.70	-2.75E+06	-2.47
2	10ng/mLのAA	化合物37	Wnt3a	791	10.34	-2.99E+06	-2.68

10

20

【0491】

【表 1 1】

表10							
化合物番号	処理			細胞数		Sox17発現	
				平均総細胞数	陽性対照%	平均総強度	陽性対照%
なし	アクチビンA不含(Wnt3a含有)			4273	33. 70	4. 75E+07	17. 49
なし	アクチビンA含有(Wnt3a含有)			12676	100. 00	2. 72E+08	100. 00
化合物34	AA不含(Wnt3a含有)	FGF(50ng/mL)	EGF(50ng/mL)	13317	105. 06	2. 01E+08	74. 08
化合物34	AA不含(Wnt3a含有)	FGF(50ng/mL)	EGF(100ng/mL)	14189	111. 93	2. 01E+08	73. 90
化合物34	AA不含(Wnt3a含有)	FGF(100ng/mL)	EGF(50ng/mL)	12616	99. 52	1. 80E+08	66. 21
化合物34	AA不含(Wnt3a含有)	FGF(100ng/mL)	EGF(100ng/mL)	8269	65. 23	1. 13E+08	41. 73
化合物34	AA不含(Wnt3a含有)	なし	なし	11711	92. 38	1. 65E+08	60. 68
化合物34	AA不含(Wnt3a含有)	なし	EGF(25ng/mL)	16052	126. 63	2. 14E+08	78. 82
化合物34	AA不含(Wnt3a含有)	なし	EGF(50ng/mL)	13593	107. 23	1. 94E+08	71. 52
化合物34	AA不含(Wnt3a含有)	なし	EGF(100ng/mL)	13170	103. 90	1. 93E+08	71. 04
化合物34	AA不含(Wnt3a含有)	FGF(25ng/mL)	なし	18433	145. 41	2. 49E+08	91. 72
化合物34	AA不含(Wnt3a含有)	FGF(25ng/mL)	EGF(25ng/mL)	18841	148. 63	2. 60E+08	95. 72
化合物34	AA不含(Wnt3a含有)	FGF(25ng/mL)	EGF(50ng/mL)	16232	128. 05	2. 30E+08	84. 79
化合物34	AA不含(Wnt3a含有)	FGF(25ng/mL)	EGF(100ng/mL)	9309	73. 44	1. 39E+08	51. 00
化合物34	AA不含(Wnt3a含有)	FGF(50ng/mL)	なし	12757	100. 64	1. 66E+08	61. 10
化合物34	AA不含(Wnt3a含有)	FGF(50ng/mL)	EGF(25ng/mL)	17720	139. 79	2. 31E+08	85. 01
化合物34	AA不含(Wnt3a含有)	FGF(50ng/mL)	EGF(50ng/mL)	16331	128. 83	2. 26E+08	83. 11
化合物34	AA不含(Wnt3a含有)	FGF(50ng/mL)	EGF(100ng/mL)	16336	128. 87	2. 32E+08	85. 24
化合物34	AA不含(Wnt3a含有)	FGF(100ng/mL)	なし	19853	156. 61	2. 59E+08	95. 45
化合物34	AA不含(Wnt3a含有)	FGF(100ng/mL)	EGF(25ng/mL)	19880	156. 83	2. 59E+08	95. 47
化合物34	AA不含(Wnt3a含有)	FGF(100ng/mL)	EGF(50ng/mL)	18166	143. 30	2. 35E+08	86. 30
化合物34	AA不含(Wnt3a含有)	FGF(100ng/mL)	EGF(100ng/mL)	11241	88. 68	1. 55E+08	57. 10
なし	AA不含(Wnt3a含有)	なし	EGF(50ng/mL)	5558	43. 85	5. 01E+07	18. 44
なし	AA不含(Wnt3a含有)	なし	EGF(100ng/mL)	6818	53. 79	6. 42E+07	23. 62
なし	AA不含(Wnt3a含有)	FGF(50ng/mL)	なし	8494	67. 01	6. 62E+07	24. 35
なし	AA不含(Wnt3a含有)	FGF(50ng/mL)	EGF(50ng/mL)	10138	79. 98	7. 30E+07	26. 87
なし	AA不含(Wnt3a含有)	FGF(50ng/mL)	EGF(100ng/mL)	10219	80. 62	7. 75E+07	28. 51
なし	AA不含(Wnt3a含有)	FGF(100ng/mL)	なし	9944	78. 45	6. 68E+07	24. 59
なし	AA不含(Wnt3a含有)	FGF(100ng/mL)	EGF(50ng/mL)	11046	87. 14	8. 17E+07	30. 07
なし	AA不含(Wnt3a含有)	FGF(100ng/mL)	EGF(100ng/mL)	7695	60. 71	6. 87E+07	25. 28

10

20

【 0 4 9 2】

【表 1 2】

表11				
	正規化SOX17強度			
	アクチビンA		GDF8	
ng/mL	平均	SD	平均	SD
1600	100. 00	9. 20	100. 00	9. 00
800	100. 00	6. 60	84. 90	6. 30
400	100. 00	3. 30	72. 20	7. 50
200	100. 00	1. 90	51. 30	5. 30
100	90. 70	8. 70	32. 70	5. 10
50	85. 20	4. 70	17. 60	4. 80
25	73. 10	2. 80	5. 10	3. 60
12. 50	50. 90	6. 20	0. 90	0. 80
6. 25	18. 40	4. 80	0. 70	1. 40
3. 13	3. 00	1. 90	0. 10	0. 20
1. 56	0. 10	0. 00	0. 00	0. 20
0. 00	0. 00	0. 20	0. 30	0. 30

30

40

【 0 4 9 3】

【表 1 3 - 1】

表12	
マーカー名	カタログ番号*
AFP	Hs00173490__m1
CD99	Hs00365982__m1
CD9	Hs00233521__m1
CDH1	Hs00170423__m1
CDH2	Hs00169953__m1
CDX2	Hs00230919__m1
CER1	Hs00193796__m1
CXCR4	Hs00237052__m1
FGF17	Hs00182599__m1
FGF4	Hs00173564__m1
FOXA2	Hs00232764__m1
GAPDH	Hs99999905__m1
GATA4	Hs00171403__m1
GATA6	Hs00232018__m1
GSC	Hs00418279__m1
HLXB9	Hs00232128__m1
KIT	Hs00174029__m1
MIXL1	Hs00430824__g1
NANOG	Hs02387400__g1
OTX2	Hs00222238__m1
POU5F1	Hs00742896__s1
SOX17	Hs00751752__s1
SOX7	Hs00846731__s1
T	Hs00610080__m1
ALB	Hs00609411__m1

10

20

30

【 0 4 9 4 】

【表 1 3 - 2】

(上記表の続き)

表12	
マーカー名	カタログ番号*
AMY2A	Hs00420710__g1
ARX	Hs00292465__m1
CDX2	Hs00230919__m1
GAPDH	Hs99999905__m1
GCG	Hs00174967__m1
HNF4A	Hs00230853__m1
INS	Hs00355773__m1
ISL1	Hs00158126__m1
MAFA	Hs01651425__s1
MAFB	Hs00534343__s1
NeuroD1	Hs00159598__m1
NEUROG3	Hs00360700__g1
NKX2-2	Hs00159616__m1
NKX2-5	Hs00231763__m1
NKX6-1	Hs00232355__m1
PAX4	Hs00173014__m1
PAX6	Hs00240871__m1
PDX1	Hs00236830__m1
PECAM1	Hs00169777__m1
POU3F4	Hs00264887__s1
PTF1A	Hs00603586__g1
SST	Hs00356144__m1
ZIC1	Hs00602749__m1

10

20

30

【 0 4 9 5 】

0

20

【 0 4 9 6 】

【表 15】

表 14

分化工程1										CT値														
処理	GAPDH	AFP	CD9	CD99	CDH1	CDH2	CDX2	CER1	CXCR4	FGF17	FGF4	FOXA2	GATA4	GATA6	GSC	HLXB9	KIT	MIXL1	NANOG	OTX2	POU5F1	SOX17	SOX7	T
AA／Wnt3a	20	35.6	24.1	24.2	26	20.9	40	17.5	22.7	19.8	35.8	24.7	23.8	22.1	21.6	23.4	23.2	28.1	24.5	22	32.6	23.2	33	36.8
GDF8／Wnt3a	20.1	34	23.8	24.5	24.6	21.6	40	19.5	23.3	21	34.8	25.1	24.5	23.3	23.3	17.6	25.5	28.3	24.9	23	31	23.7	33.3	34.2
GDF8／ GSK3 インヒビター-BIO	19	34.4	23.7	24.1	24.3	21.3	36	18.7	23	20.1	33.5	24.2	24.2	22.4	21.8	23.4	24.2	28.4	23.7	21.8	30.8	23	33.7	33.1
GDF8／ 化合物19	19.8	34.8	23.8	24	24.6	20.7	37.7	18.8	22.3	20	34.4	24.2	23.6	22.5	21.9	23.1	24.3	28	24.3	21.8	31.3	22.3	33	32.9
GDF8／ 化合物202	19.8	40	24.5	23.5	25.9	20.8	40	18.8	22.2	20.3	36.5	24.4	23.4	22.3	22.3	24	24.8	27.3	26	21.9	33.3	22.7	32.6	32.1
GDF8／ 化合物40	19.8	36.1	24.3	22.9	26.2	21.6	33.3	18.8	22.5	20.3	38.1	25.3	23.4	23	23	25	25.7	27.8	26	22.3	32.8	23.2	27.2	29.3
分化工程3										CT値														
処理	GAPDH	ALB	AMY2A	ARX	CDX2	GCG	HNF4A	INS	ISL1	MAFA	MAFB	NEUROD1	NEUROG3	NKX2-2	NKX2-5	NKX6-1	PAX4	PAX6	PDX1	PECAM	POU3F4	PTF1A	SST	ZIC1
	17.9	25.4	29.5	28.4	23.3	34.1	21.8	29.2	29.4	34	27	25.8	25.2	27.3	34.1	28.3	27.8	35.2	22.7	28.3	28.6	30.8	32.2	37.4
GDF8／Wnt3a	18.5	26.5	30.4	29.4	23.9	34.2	22.6	29	29	34.4	27.1	27.2	26.4	27.9	37.8	29	29.2	31.4	23.3	32.2	30.1	30.7	31	30.1
GDF8／ GSK3 インヒビター-BIO	18.5	25.2	30.3	29.4	23.6	32.8	22.6	28.8	29.3	34.7	27.6	26.8	26.2	27.6	35	28.8	28.7	32.9	23.2	32.2	29.5	30.6	31.3	31.1
GDF8／ 化合物19	18.4	26.1	30.2	29.1	24	33.1	22.5	28.5	30	34.4	27.3	26.6	25.9	27.5	37.6	27.8	28.3	33.8	22.9	31.7	29.7	30	32.4	33.4
GDF8／ 化合物202	18.7	26.7	31.1	29.6	24	34.9	22.7	30.3	31.6	34.2	27.8	27.2	27	28	40	30	29	36.2	23.7	30.9	30.2	32.4	32.4	34.6
GDF8／ 化合物40	18.6	25.8	30.5	29.6	23.8	37.6	22.5	30.0	31.1	34.5	27.9	27.2	26.2	27.8	37.2	29.5	29	37.1	23.2	31.5	30.2	31.5	32.4	35.5
分化工程4										CT値														
処理	GAPDH	ALB	AMY2A	ARX	CDX2	GCG	HNF4A	INS	ISL1	MAFA	MAFB	NEUROD1	NEUROG3	NKX2-2	NKX2-5	NKX6-1	PAX4	PAX6	PDX1	PECAM	POU3F4	PTF1A	SST	ZIC1
AA／Wnt3a	31.1	34.5	27.9	24.6	23.4	21.7	21.9	21.6	25.2	32.4	24.9	23.7	23.8	24.2	33.9	25.6	25.6	27	23	29.2	27	28.1	25.3	32.6
GDF8／Wnt3a	18.3	21.3	28.5	25.3	23.1	22.6	21.9	21.9	25.7	33.1	24.9	24.3	24.2	24.7	35.4	25.8	26.2	27.3	23.2	31.2	27	28.7	24.7	24.6
GDF8／ GSK3 インヒビター-BIO	19	21.1	28.7	25.3	23.3	22.3	21.9	22	25.7	32.5	25.4	24	24	24.7	35.4	26.1	26	27.7	23.2	30.7	27.4	28.5	25.6	31.5
GDF8／ 化合物19	18.9	21.7	28.9	25.2	23.5	22.4	22.2	22	25.6	34	25.4	24.1	23.9	24.6	35.9	25.7	25.7	27.8	23.1	31.4	27.1	28.6	25.5	31.4
GDF8／ 化合物202	19	20.9	29.2	25.1	23.6	22.4	22.1	22	25.5	33.3	25.5	23.9	24.1	24.5	35.7	26	25.8	27.6	23.4	30.2	27.5	28.8	26.1	35.7
GDF8／ 化合物40	19.2	21.1	29.4	25.5	23.7	22.8	22.3	22.3	26	33.5	25.8	24.2	24.2	24.6	37.3	25.9	25.9	28.4	23.1	30.4	27.6	28.4	26.3	34.4
分化工程5										CT値														
処理	GAPDH	ALB	AMY2A	ARX	CDX2	GCG	HNF4A	INS	ISL1	MAFA	MAFB	NEUROD1	NEUROG3	NKX2-2	NKX2-5	NKX6-1	PAX4	PAX6	PDX1	PECAM	POU3F4	PTF1A	SST	ZIC1
AA／Wnt3a	19.1	19.5	28.6	23.1	23.9	16.2	21.9	16.9	23.4	23.4	23.3	21.7	27.4	24	33.1	25	26.4	24.7	22.6	27.1	28.4	27.5	22	34.1
GDF8／Wnt3a	18.4	19.9	28.4	23.8	23.8	17.2	22.3	17.4	24	24	23.9	22.6	28.6	24.2	33.1	25.8	27.2	25.6	23.6	29.2	28.9	29.1	22.7	25.6
GDF8／ GSK3 インヒビター-BIO	19.1	19.2	29.1	24	24.2	17.2	22.4	17.6	24	24	23.8	22.9	28.4	24.4	40	25.1	27.3	25.6	23.6	29.2	28.1	28.7	23	26.3
GDF8／ 化合物19	19	20	28.8	23.4	24.2	17	22.6	17.1	23.8	23.8	23.8	22.8	28.6	24.1	34.6	25	26.8	25.6	23.4	29.8	28.2	28.2	22.9	28.8
GDF8／ 化合物202	19.2	20	29	23	23.9	16.7	22.2	16.8	23.2	23.2	23.8	22.3	28.2	23.2	40	26	27.2	25.8	23.4	29.9	29.1	28.4	22.6	33.8
GDF8／ 化合物40	19.6	19.5	29	23.7	24.2	16.9	22.2	17.1	23.9	23.9	23.9	22.5	28.1	23.5	34.8	25	27.3	26.4	23.4	29.9	29.2	27.5	22.3	34.8

【0497】

10

20

30

【表 1 6 - 3】

(上記表の続き)

[illegible]

10

20

【 0 5 0 0 】

【表 17】

表16	
化合物番号	主選択性
化合物6	GSK選択性
化合物7	GSK選択性
化合物8	GSK選択性
化合物9	CDK選択性
化合物57	Trk選択性
化合物41	GSK選択性
化合物42	CDK選択性
化合物10	CDK選択性
化合物34	陽性対照
化合物11	CDK選択性
化合物43	Trk選択性
化合物44	GSK選択性
化合物12	CDK選択性
化合物45	Trk選択性

30

40

【 0 5 0 1 】

【表 18】

表17							
				細胞数		Sox17発現	
プレート	処理	化合物番号	化合物選択性	平均総細胞数	陽性対照%	平均総強度	陽性対照%
1	アクチビンA不含	なし	n/a	9809	67.8	-4.0E+05	-0.2
1	アクチビンA/Wnt3a	なし	n/a	14476	100.0	2.3E+08	100.0
1	GDF8不含	化合物11	CDK選択性	565	3.9	-1.1E+06	-0.5
1	GDF8不含	化合物44	GSK選択性	14	0.1	-1.1E+06	-0.5
1	GDF8不含	化合物43	Trk選択性	8610	59.5	-2.1E+05	-0.1
1	GDF8不含	化合物42	CDK選択性	8700	60.1	-2.4E+05	-0.1
1	GDF8不含	化合物57	Trk選択性	1222	8.4	-7.1E+05	-0.3
1	GDF8不含	化合物10	CDK選択性	7011	48.4	-6.6E+05	-0.3
1	GDF8不含	化合物41	GSK選択性	9995	69.0	5.9E+04	0.0
1	GDF8不含	化合物7	CDK選択性	3	0.0	-1.4E+06	-0.6
1	GDF8不含	化合物45	Trk選択性	8857	61.2	-4.5E+05	-0.2
1	GDF8不含	化合物6	GSK選択性	14827	102.4	-1.8E+05	-0.1
1	GDF8不含	化合物9	CDK選択性	7156	49.4	-4.2E+04	0.0
1	GDF8不含	化合物12	GSK選択性	13124	90.7	-2.3E+05	-0.1
1	GDF8不含	化合物8	GSK選択性	13235	91.4	3.8E+05	0.2
1	GDF8	化合物34	陽性対照	13926	96.2	2.6E+08	111.8
1	GDF8	化合物45	Trk選択性	9540	65.9	1.1E+08	47.9
1	GDF8	化合物7	GSK選択性	5296	36.6	7.0E+07	30.4
1	GDF8	化合物10	CDK選択性	4627	32.0	6.6E+07	28.6
1	GDF8	化合物6	GSK選択性	5118	35.4	5.8E+07	25.2
1	GDF8	化合物43	Trk選択性	6682	46.2	5.4E+07	23.4
1	GDF8	化合物42	CDK選択性	5686	39.3	4.9E+07	21.2
1	GDF8	化合物8	GSK選択性	5018	34.7	4.7E+07	20.4
1	GDF8	化合物9	CDK選択性	4816	33.3	4.5E+07	19.4
1	GDF8	化合物41	GSK選択性	4455	30.8	3.4E+07	14.8
1	GDF8	n/a	n/a	2856	19.7	2.2E+07	9.4
1	GDF8	化合物57	Trk選択性	2110	14.6	1.1E+07	4.8
1	GDF8	化合物11	CDK選択性	210	1.4	-4.9E+05	-0.2
1	GDF8	化合物44	GSK選択性	226	1.6	-9.5E+05	-0.4
1	GDF8	化合物12	CDK選択性	31	0.2	-1.3E+06	-0.6

【0502】

10

20

30

【表 19 - 1】

表18										
			細胞数				Sox17発現			
プレート	処理剤	化合物番号	平均総細胞数	SD	CV%	陽性対照%	平均総強度	SD	CV%	陽性対照%
1	アクチビンA不含 (Wnt3a含有)	なし	15489	0	0.00	103.2	3.75E+07	0.00E+00	0.00	10.9
1	アクチビンA/Wnt3a	なし	15007	1991	13.27	100.0	3.45E+08	7.16E+07	20.75	100.0
1	GDF8	化合物206	20568	1683	8.18	137.1	5.19E+08	4.41E+07	8.51	150.3
1	GDF8	化合物207	19224	1091	5.68	128.1	2.54E+08	5.69E+07	22.41	73.6
1	GDF8	化合物19	12569	1524	12.13	83.8	2.40E+08	6.34E+07	26.44	69.5
1	GDF8	化合物23	8758	474	5.41	58.4	1.16E+08	9.07E+06	7.80	33.7
1	GDF8	化合物170	6460	2305	35.68	43.0	9.44E+07	6.98E+07	73.93	27.4
1	GDF8	化合物208	4848	1225	25.27	32.3	2.26E+07	2.15E+07	94.96	23.6
1	GDF8	化合物209	4831	1243	25.74	32.2	3.97E+07	1.61E+07	40.56	11.5
1	GDF8	化合物32	4338	1520	35.04	28.9	3.63E+07	3.27E+07	90.14	10.5
1	GDF8	化合物30	4679	435	9.29	31.2	3.47E+07	1.04E+07	30.03	10.1
1	GDF8	化合物223	3704	1077	29.08	24.7	3.45E+07	2.74E+07	79.43	10.0
1	GDF8	化合物2	4538	632	13.93	30.2	2.95E+07	2.81E+06	9.50	8.6
1	GDF8	化合物210	2645	817	30.88	17.6	2.90E+07	2.45E+07	84.73	8.4
1	GDF8	化合物24	5012	1263	25.21	33.4	2.64E+07	1.66E+07	62.95	7.7
1	GDF8	化合物211	5165	796	15.41	34.4	2.61E+07	5.02E+06	19.23	7.6
1	GDF8	化合物212	5476	1445	26.39	36.5	2.54E+07	1.18E+07	46.53	7.4
1	GDF8	化合物224	5188	761	14.67	34.6	2.46E+07	8.26E+06	33.56	7.1
1	GDF8	化合物225	4431	1149	25.92	29.5	2.45E+07	2.65E+07	108.19	7.1
1	GDF8	化合物13	3123	1508	48.27	20.8	2.44E+07	2.30E+07	94.13	7.1
1	GDF8	化合物213	1261	1028	81.49	8.4	2.07E+07	1.97E+07	95.03	6.0
1	GDF8	化合物52	4932	386	7.82	32.9	1.99E+07	6.90E+06	34.67	5.8
1	GDF8	化合物214	3345	335	10.01	22.3	1.93E+07	1.39E+07	72.18	5.6
1	GDF8	化合物51	4289	940	21.91	28.6	1.70E+07	1.10E+07	64.86	4.9
1	GDF8	化合物26	4896	545	11.14	32.6	1.65E+07	5.93E+06	36.02	4.8
1	GDF8	化合物226	3617	577	15.94	24.1	1.59E+07	4.96E+06	31.21	4.6
1	GDF8	化合物215	4326	165	3.81	28.8	1.45E+07	2.69E+06	18.53	4.2
1	GDF8	化合物31	3619	1011	27.92	24.1	1.36E+07	4.63E+06	34.15	3.9
1	GDF8	化合物216	3364	629	18.70	22.4	8.75E+06	2.30E+06	26.32	2.5
1	GDF8	化合物217	2859	544	19.03	19.1	8.75E+06	1.94E+06	22.16	2.5
1	GDF8	化合物218	1327	118	8.92	8.8	6.44E+06	9.70E+05	15.05	1.9
1	GDF8	化合物219	368	168	45.67	2.5	1.79E+06	1.29E+06	72.17	0.5
2	アクチビンA不含 (Wnt3a含有)	なし	15778	0	0.00	103.2	2.24E+07	0.00E+00	0.00	6.7

10

20

30

【0503】

【表 19 - 2】

(上記表の続き)

表18										
			細胞数				Sox17発現			
プレート	処理剤	化合物番号	平均総細胞数	SD	CV%	陽性対照%	平均総強度	SD	CV%	陽性対照%
2	アクチビンA/Wnt3a	なし	15290	1119	7.32	100.0	3.37E+08	2.84E+07	8.44	100.0
2	GDF8	化合物202	20177	987	4.89	132.0	4.85E+08	1.94E+07	4.00	144.0
2	GDF8	化合物227	2911	4619	158.69	19.0	3.89E+07	6.69E+07	172.00	11.5
2	GDF8	化合物15	4383	1775	40.49	28.7	3.57E+07	3.57E+07	100.03	10.6
2	GDF8	化合物228	4043	1253	30.98	26.4	3.10E+07	2.53E+07	81.62	9.2
2	GDF8	化合物229	3451	892	25.85	22.6	1.80E+07	1.46E+07	81.07	5.4
2	GDF8	化合物4	3163	805	25.44	20.7	1.58E+07	3.54E+06	22.32	4.7
2	GDF8	化合物220	2791	1453	52.05	18.3	1.40E+07	9.00E+06	64.28	4.2
2	GDF8	化合物5	3137	1172	37.34	20.5	1.30E+07	7.52E+06	57.85	3.9
2	GDF8	化合物230	2624	248	9.46	17.2	1.24E+07	1.55E+07	124.73	3.7
2	GDF8	化合物231	4773	2651	55.55	31.2	1.22E+07	6.51E+06	53.37	3.6
2	GDF8	化合物232	3273	1290	39.41	21.4	1.18E+07	1.51E+07	127.98	3.5
2	GDF8	化合物221	1950	361	18.52	12.8	1.18E+07	1.54E+07	131.11	3.5
2	GDF8	化合物233	3041	180	5.93	19.9	1.12E+07	1.09E+07	97.44	3.3
2	GDF8	化合物147	3434	1199	34.91	22.5	1.12E+07	9.80E+06	87.75	3.3
2	GDF8	化合物234	2835	623	21.98	18.5	9.47E+06	5.67E+06	59.84	2.8
2	GDF8	化合物235	3391	2269	66.91	22.2	9.10E+06	6.51E+06	71.52	2.7
2	GDF8	化合物236	2868	561	19.57	18.8	6.73E+06	6.32E+06	93.82	2.0
2	GDF8	化合物33	2362	511	21.66	15.4	6.60E+06	2.45E+06	37.20	2.0
2	GDF8	化合物1	3213	166	5.16	21.0	6.48E+06	3.09E+06	47.67	1.9
2	GDF8	化合物53	2783	441	15.86	18.2	6.36E+06	2.89E+06	45.36	1.9
2	GDF8	化合物237	2973	292	9.83	19.4	6.02E+06	3.00E+06	49.79	1.8
2	GDF8	化合物238	2739	485	17.70	17.9	5.97E+06	6.10E+06	102.07	1.8
2	GDF8	化合物239	3156	667	21.15	20.6	5.60E+06	2.42E+06	43.24	1.7
2	GDF8	化合物240	3002	287	9.55	19.6	4.68E+06	3.13E+06	66.80	1.4
2	GDF8	化合物200	2308	209	9.04	15.1	4.39E+06	1.88E+06	42.83	1.3
2	GDF8	化合物222	1776	719	40.47	11.6	3.33E+06	2.52E+06	75.78	1.0
2	GDF8	化合物241	2949	446	15.14	19.3	3.29E+06	1.55E+06	47.03	1.0
2	GDF8	化合物242	385	184	47.83	2.5	1.08E+06	8.85E+05	81.61	0.3
2	GDF8	化合物243	249	55	22.21	1.6	2.53E+05	3.07E+05	121.25	0.1
2	GDF8	化合物204	250	21	8.38	1.6	1.36E+05	2.27E+04	16.66	0.0
3	アクチビンA不含 (Wnt3a含有)	なし	15796	0	0.00	99.6	2.82E+07	0.00E+00	0.00	8.0

【0504】

10

20

30

【表 19 - 3】

(上記表の続き)

表18										
			細胞数			Sox17発現				
プレート	処理剤	化合物番号	平均総細胞数	SD	CV%	陽性対照%	平均総強度	SD	CV%	陽性対照%
3	アクチビンA/Wnt3a	なし	15867	785	4.95	100.0	3.54E+08	2.40E+07	6.77	100.0
3	GDF8	化合物34	6974	3723	53.38	44.0	2.07E+08	9.51E+07	45.85	58.6
3	GDF8	化合物185	10892	1552	14.24	68.6	1.53E+08	4.08E+07	26.72	43.1
3	GDF8	化合物35	7746	1873	24.17	48.8	1.35E+08	4.86E+07	36.08	38.0
3	GDF8	化合物22	6727	1927	28.64	42.4	1.06E+08	5.04E+07	47.73	29.8
3	GDF8	化合物34	4889	1152	23.57	30.8	4.31E+07	2.11E+07	48.95	12.2
3	GDF8	化合物184	4173	1758	42.14	26.3	3.94E+07	2.24E+07	56.78	11.1
3	GDF8	化合物223	4234	1604	37.88	26.7	3.55E+07	2.51E+07	70.56	10.0
3	GDF8	化合物37	4187	338	8.06	26.4	3.11E+07	1.56E+07	50.18	8.8
3	GDF8	化合物244	4479	1229	27.43	28.2	2.73E+07	1.52E+07	55.71	7.7
3	GDF8	化合物245	4725	99	2.09	29.8	2.59E+07	1.03E+07	39.90	7.3
3	GDF8	化合物246	3820	1091	28.57	24.1	2.30E+07	2.69E+07	117.08	6.5
3	GDF8	化合物247	3730	966	25.90	23.5	2.14E+07	1.04E+07	48.63	6.1
3	GDF8	化合物248	3875	445	11.48	24.4	2.13E+07	9.45E+06	44.45	6.0
3	GDF8	化合物25	3879	658	16.95	24.4	1.76E+07	1.21E+07	69.04	5.0
3	GDF8	化合物195	3703	405	10.94	23.3	1.61E+07	3.27E+06	20.34	4.5
3	GDF8	化合物227	2904	397	13.68	18.3	1.43E+07	1.35E+07	94.25	4.0
3	GDF8	化合物183	3306	969	29.32	20.8	1.35E+07	1.14E+07	84.25	3.8
3	GDF8	化合物187	2768	1426	51.51	17.4	1.35E+07	9.02E+06	66.67	3.8
3	GDF8	化合物201	3213	1114	34.66	20.3	1.35E+07	1.69E+07	125.02	3.8
3	GDF8	化合物197	3268	211	6.46	20.6	1.30E+07	5.25E+06	40.51	3.7
3	GDF8	化合物249	3840	348	9.06	24.2	1.29E+07	6.79E+06	52.72	3.6
3	GDF8	化合物141	2404	213	8.86	15.1	1.12E+07	4.95E+06	44.30	3.2
3	GDF8	化合物194	3177	354	11.14	20.0	9.75E+06	2.11E+06	21.63	2.8
3	GDF8	化合物250	3683	420	11.40	23.2	9.14E+06	4.78E+06	52.32	2.6
3	GDF8	化合物251	3021	668	22.10	19.0	8.41E+06	4.59E+06	54.60	2.4
3	GDF8	化合物20	2793	205	7.35	17.6	6.77E+06	1.86E+06	27.45	1.9
3	GDF8	化合物252	2580	135	5.24	16.3	6.20E+06	2.31E+05	3.72	1.8
3	GDF8	化合物253	2485	820	32.98	15.7	5.83E+06	1.47E+06	25.20	1.6
3	GDF8	化合物202	2095	518	24.71	13.2	5.75E+06	2.62E+06	45.66	1.6
3	GDF8	化合物21	371	294	79.19	2.3	2.36E+06	3.07E+06	129.78	0.7
4	アクチビンA不含 (Wnt3a含有)	なし	16629	0	0.00	119.3	2.42E+07	0.00E+00	0.00	7.8

10

20

【0505】

30

【表 19 - 4】

(上記表の続き)

表18										
			細胞数				Sox17発現			
プレート	処理剤	化合物番号	平均総細胞数	SD	CV%	陽性対照%	平均総強度	SD	CV%	陽性対照%
4	アクチビンA/Wnt3a	なし	13945	1535	11.01	100.0	3.09E+08	4.77E+07	15.46	100.0
4	GDF8	化合物34	7416	6482	87.41	53.2	2.10E+08	1.82E+08	86.70	68.0
4	GDF8	化合物240	11283	2023	17.93	80.9	1.61E+08	4.41E+07	27.34	52.2
4	GDF8	化合物28	5236	1787	34.12	37.5	4.03E+07	3.08E+07	76.36	13.1
4	GDF8	化合物198	3985	2674	67.10	28.6	3.89E+07	5.55E+07	142.91	12.6
4	GDF8	化合物196	4861	1501	30.87	34.9	3.03E+07	1.98E+07	65.37	9.8
4	GDF8	化合物18	1921	1759	91.56	13.8	2.94E+07	3.65E+07	123.90	9.5
4	GDF8	化合物186	3486	425	12.19	25.0	2.34E+07	1.42E+07	60.78	7.6
4	GDF8	化合物254	3960	1521	38.42	28.4	2.31E+07	2.27E+07	98.10	7.5
4	GDF8	化合物168	3460	324	9.36	24.8	2.28E+07	7.13E+06	31.23	7.4
4	GDF8	化合物190	3402	1318	38.74	24.4	1.87E+07	1.58E+07	84.61	6.1
4	GDF8	化合物255	4006	1625	40.57	28.7	1.52E+07	1.05E+07	68.91	4.9
4	GDF8	化合物50	2666	743	27.86	19.1	1.48E+07	8.30E+06	56.15	4.8
4	GDF8	化合物27	3721	721	19.37	26.7	1.19E+07	9.69E+06	81.29	3.9
4	GDF8	化合物256	2922	1275	43.64	21.0	9.41E+06	8.65E+06	92.01	3.0
4	GDF8	化合物257	3182	705	22.14	22.8	8.06E+06	4.49E+06	55.75	2.6
4	GDF8	化合物258	2731	472	17.29	19.6	7.89E+06	7.24E+06	91.70	2.6
4	GDF8	化合物189	2350	1625	69.16	16.9	7.72E+06	5.36E+06	69.41	2.5
4	GDF8	化合物259	2195	955	43.49	15.7	6.92E+06	2.58E+06	37.29	2.2
4	GDF8	化合物260	2468	741	30.04	17.7	6.64E+06	3.33E+06	50.18	2.2
4	GDF8	化合物261	2965	456	15.38	21.3	6.23E+06	2.10E+06	33.61	2.0
4	GDF8	化合物192	2377	572	24.08	17.0	6.17E+06	2.76E+06	44.65	2.0
4	GDF8	化合物262	2894	399	13.78	20.8	5.75E+06	3.00E+06	52.20	1.9
4	GDF8	化合物188	3005	759	25.26	21.6	5.02E+06	3.97E+06	79.06	1.6
4	GDF8	化合物263	2129	230	10.79	15.3	4.77E+06	1.14E+06	23.93	1.5
4	GDF8	化合物264	2630	342	13.00	18.9	4.28E+06	2.17E+06	50.73	1.4
4	GDF8	化合物265	2636	1372	52.04	18.9	4.27E+06	1.15E+06	26.86	1.4
4	GDF8	化合物14	274	14	5.02	2.0	1.56E+05	9.51E+04	60.91	0.1
4	GDF8	化合物205	241	3	1.20	1.7	1.36E+05	6.83E+04	50.42	0.0
4	GDF8	化合物266	271	7	2.67	1.9	1.18E+05	3.34E+04	28.43	0.0
4	GDF8	化合物203	253	4	1.49	1.8	1.09E+05	3.49E+04	32.09	0.0

10

20

【0506】

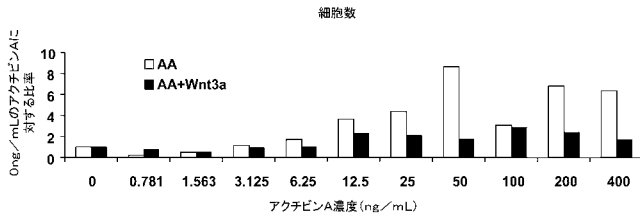
【表 20】

表19	
	Sox17発現
化合物番号	陽性対照%
化合物181	150.3
化合物202	144.0
化合物180	73.6
化合物19	69.5
化合物34	68.0
化合物40	52.2
化合物185	43.1
化合物185	38.0
化合物35	33.7
化合物23	29.8
化合物22	27.4
化合物17	23.6

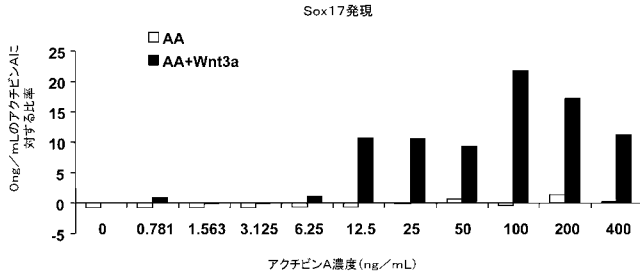
30

40

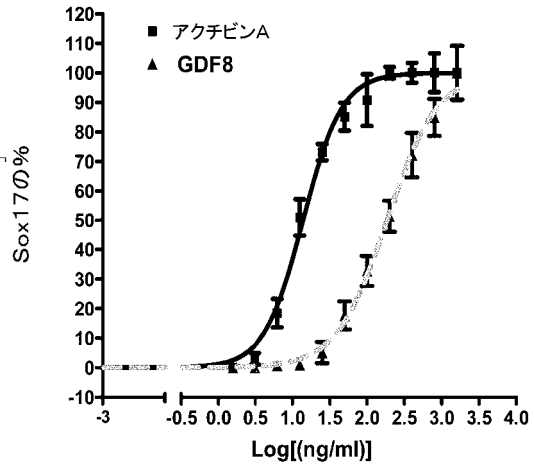
【図 1 A】



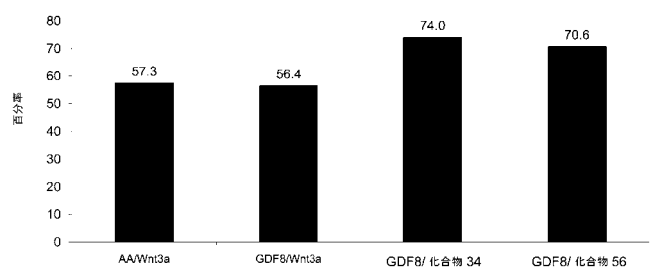
【図 1 B】



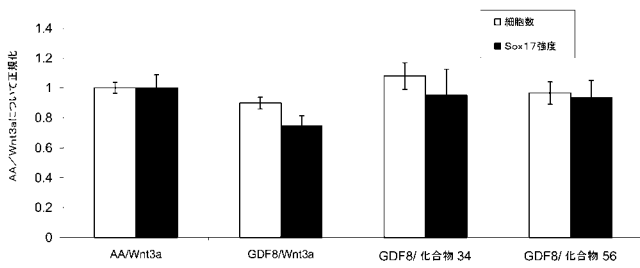
【図 2】



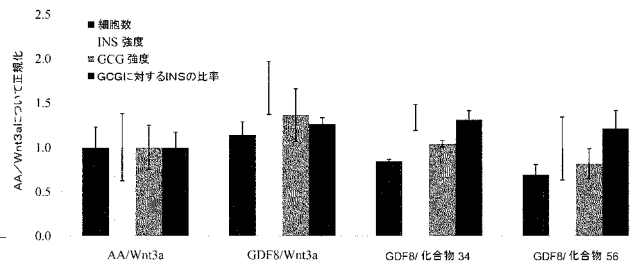
【図 3】



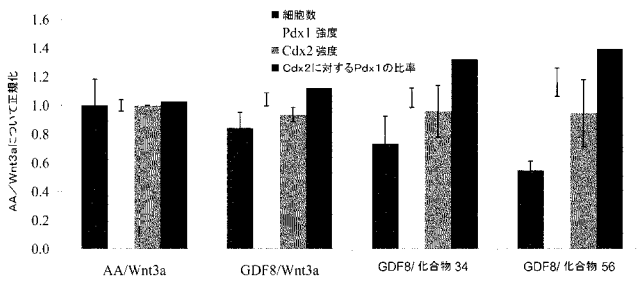
【図 4】



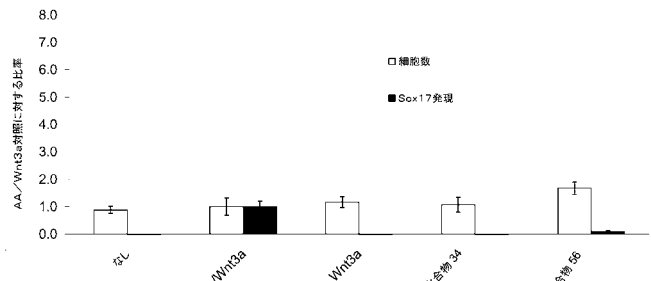
【図 7】



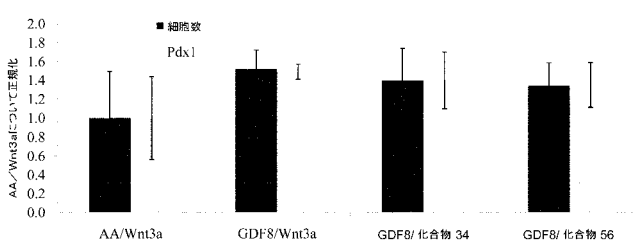
【図 5】



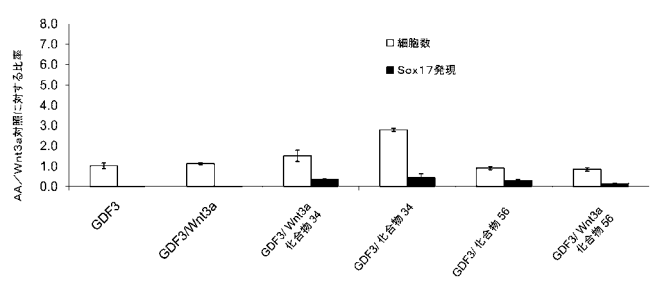
【図 8 A】



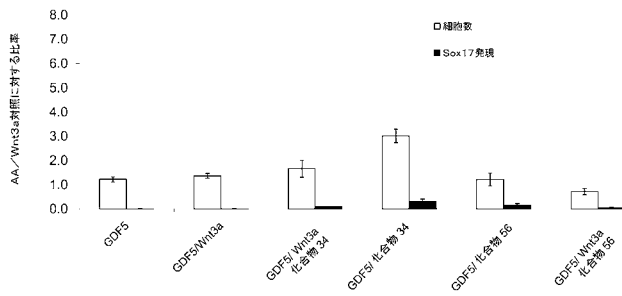
【図 6】



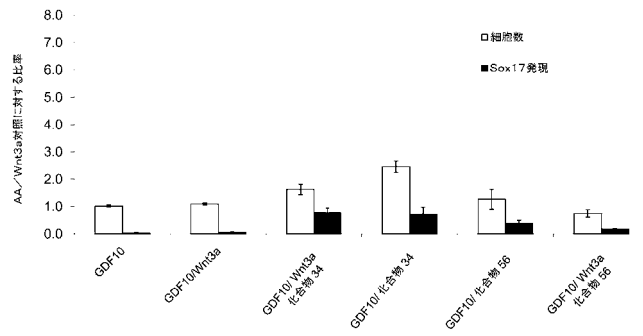
【図 8 B】



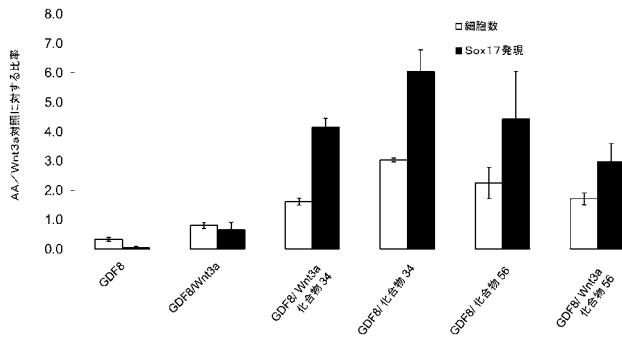
【図 8 C】



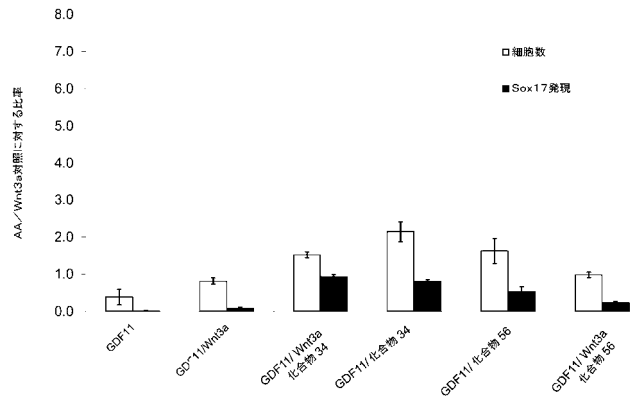
【図 8 E】



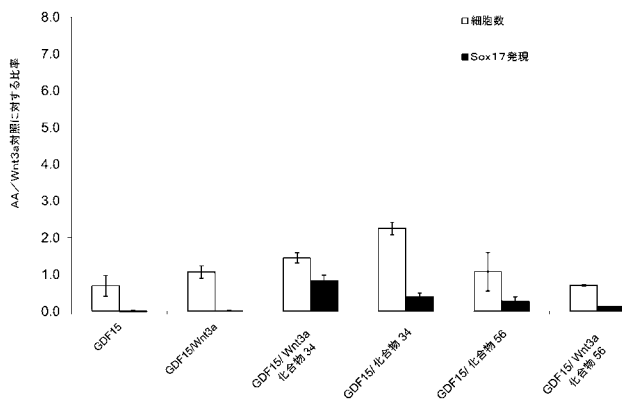
【図 8 D】



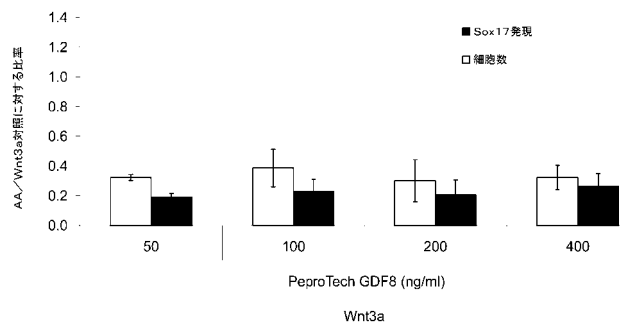
【図 8 F】



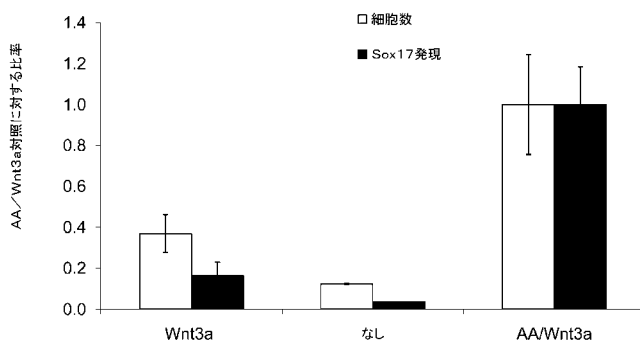
【図 8 G】



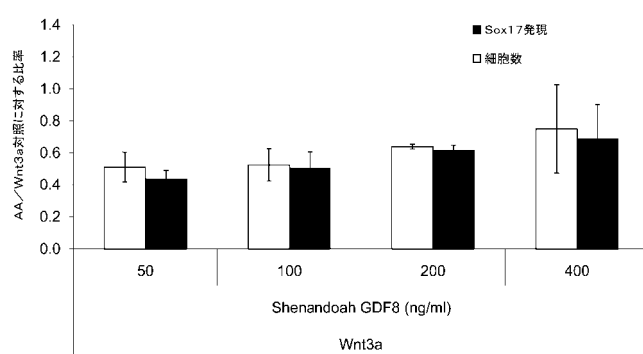
【図 9 B】



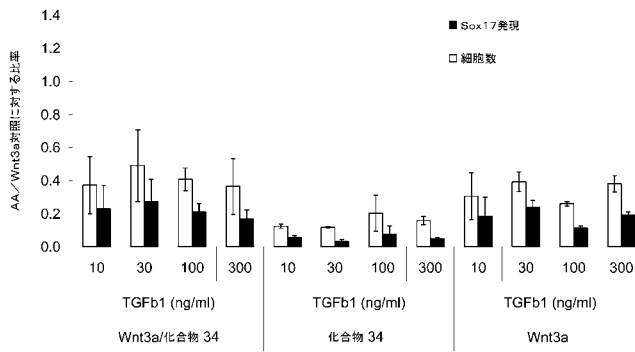
【図 9 A】



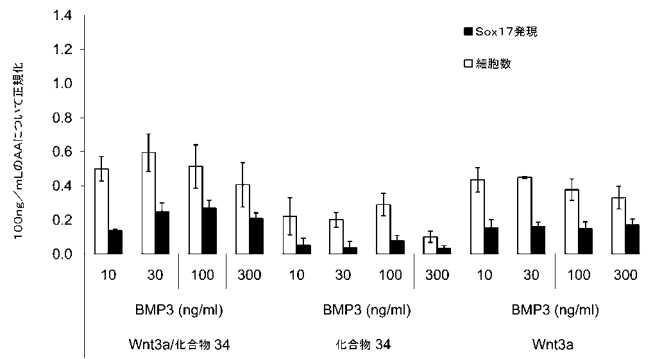
【図 9 C】



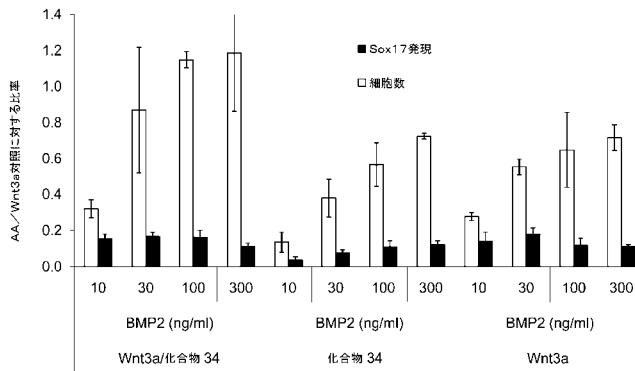
【図 9 D】



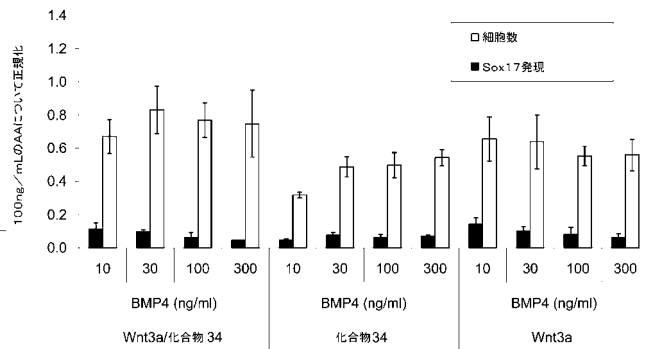
【図 9 F】



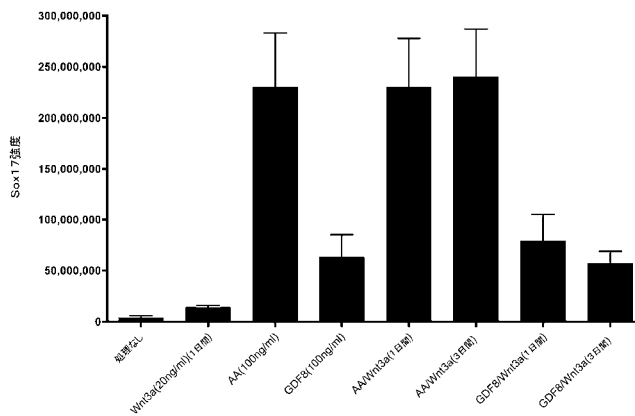
【図 9 E】



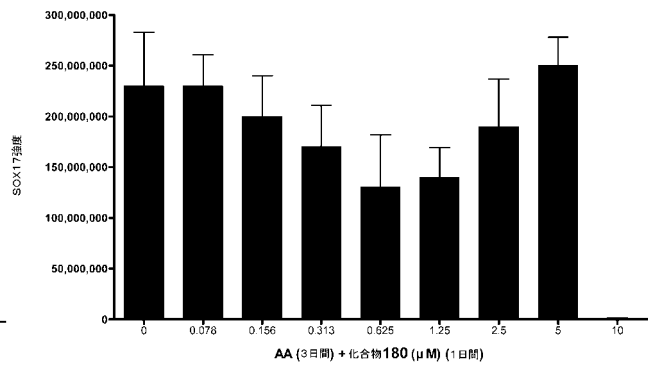
【図 9 G】



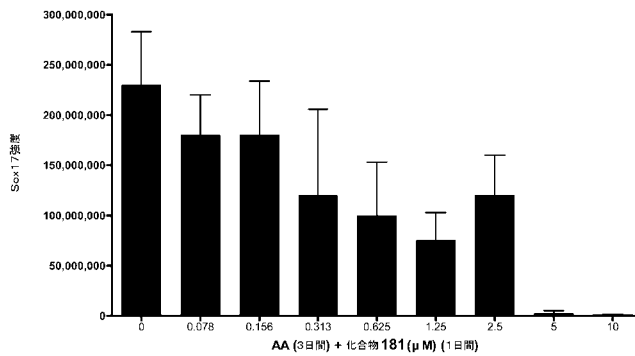
【図 10】



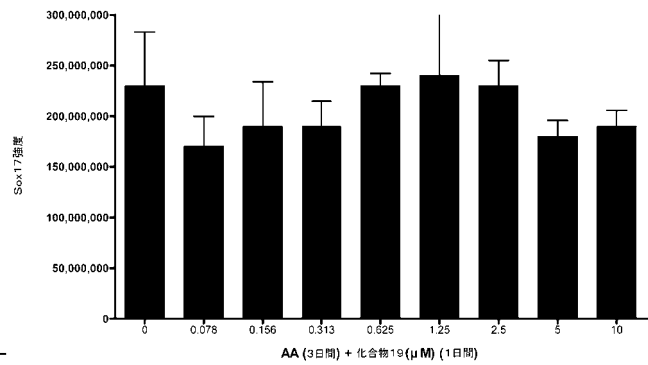
【図 11 B】



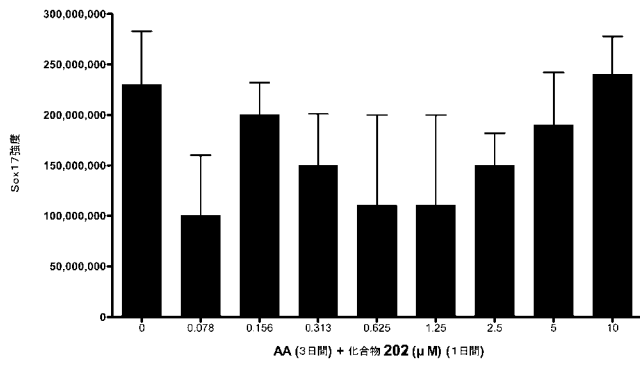
【図 11 A】



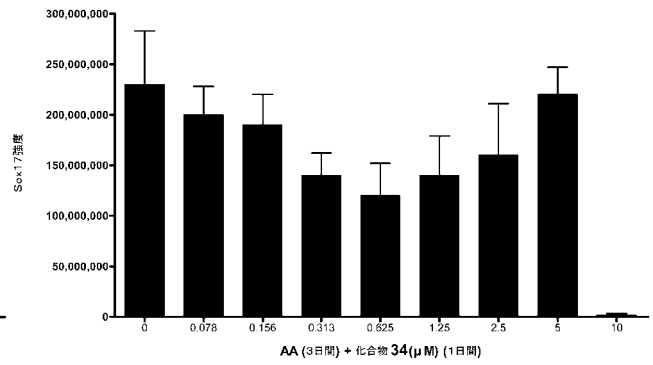
【図 11 C】



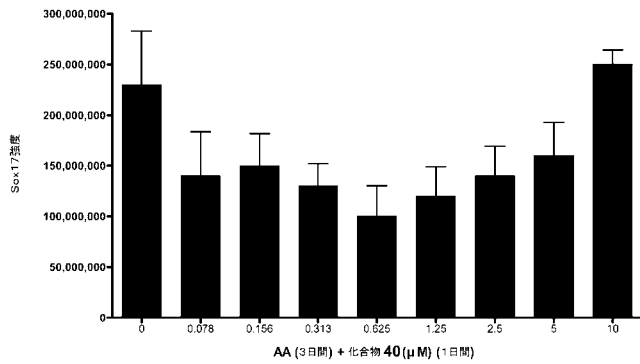
【図 1 1 D】



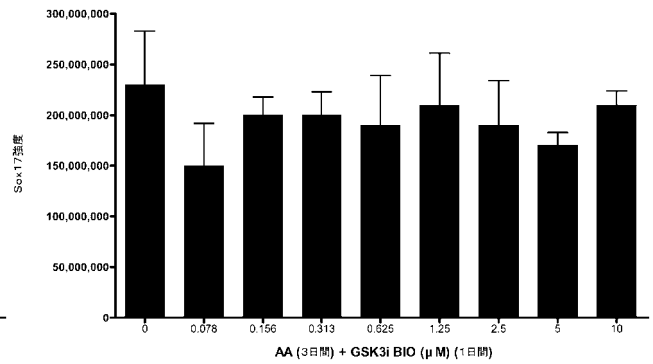
【図 1 1 F】



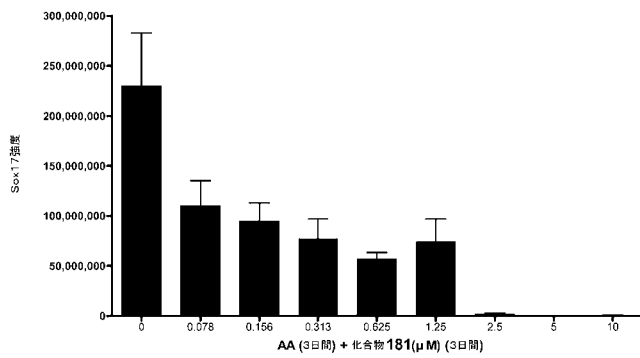
【図 1 1 E】



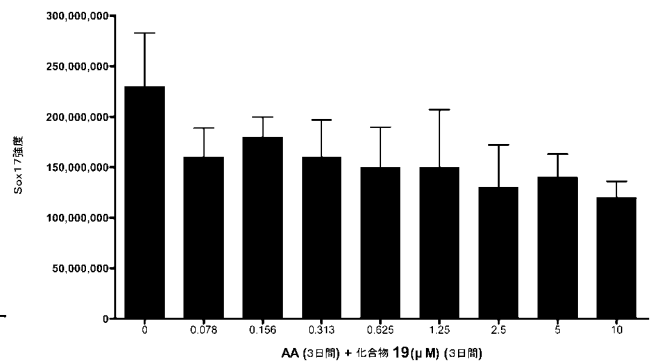
【図 1 1 G】



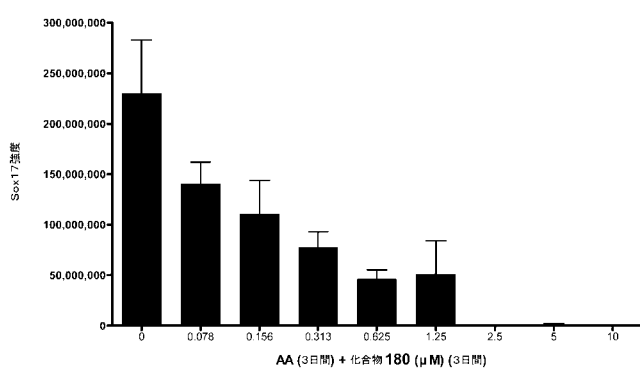
【図 1 2 A】



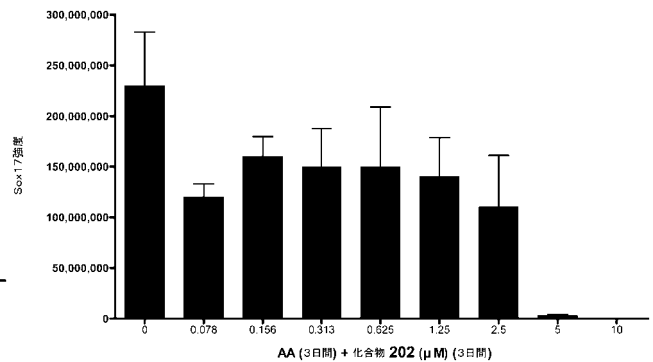
【図 1 2 C】



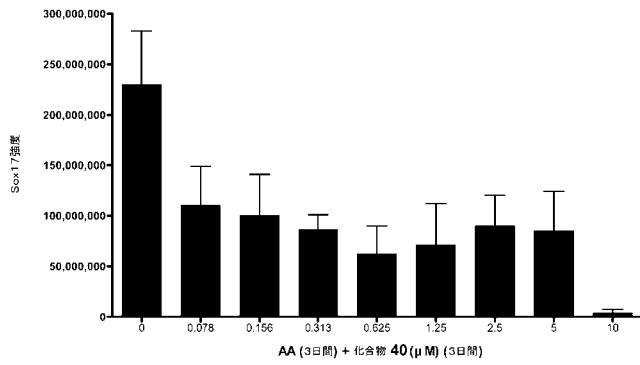
【図 1 2 B】



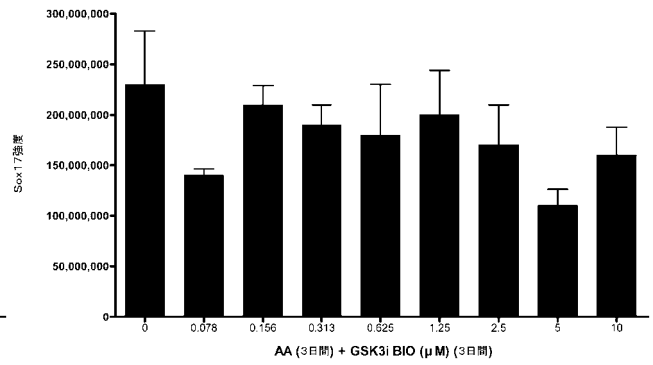
【図 1 2 D】



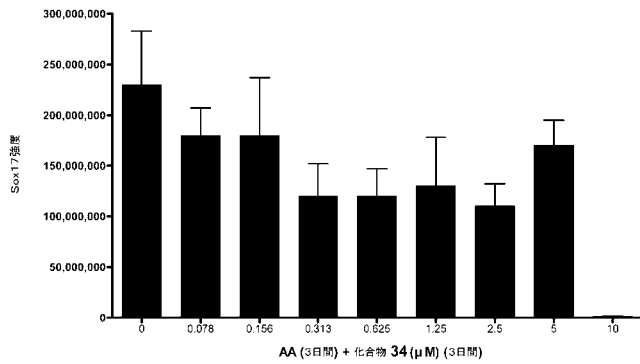
【図 1 2 E】



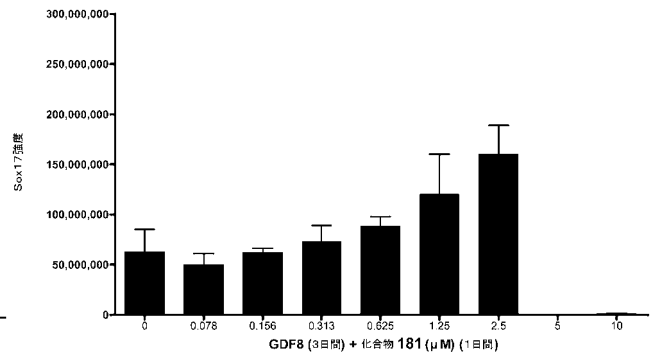
【図 1 2 G】



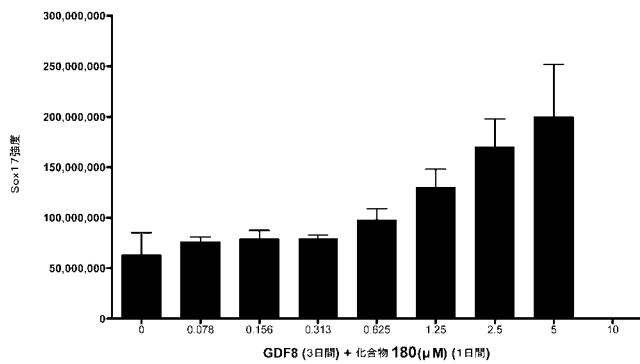
【図 1 2 F】



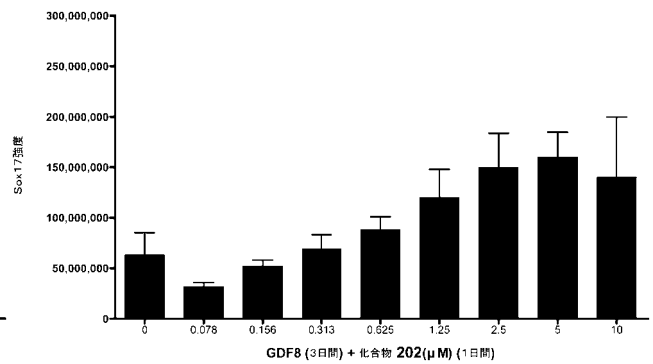
【図 1 3 A】



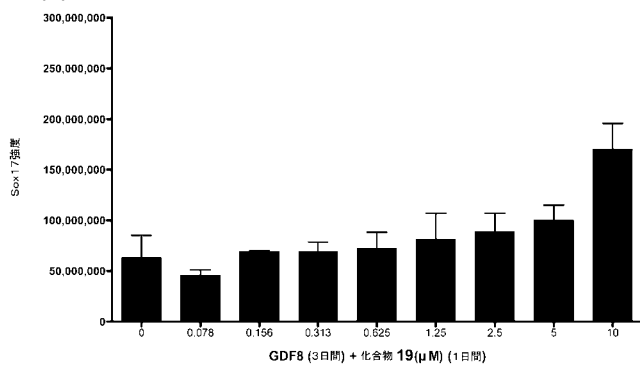
【図 1 3 B】



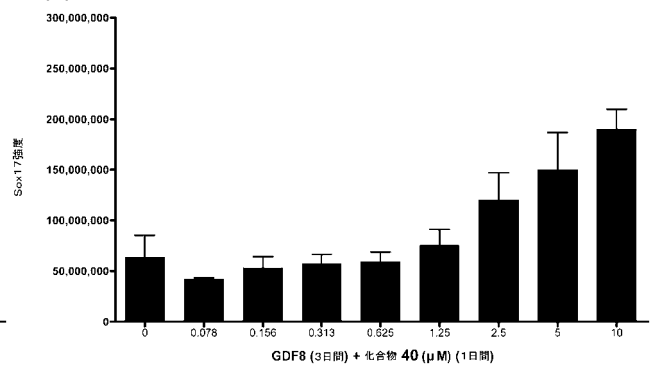
【図 1 3 D】



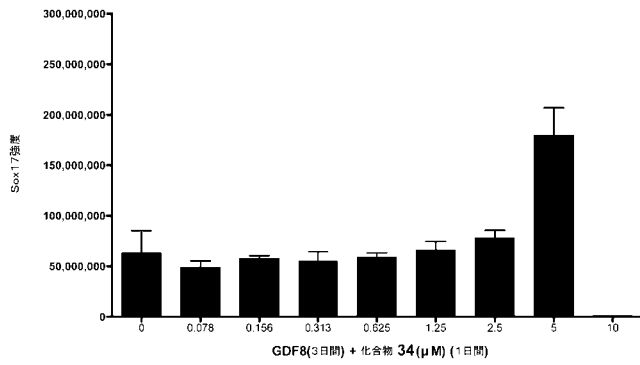
【図 1 3 C】



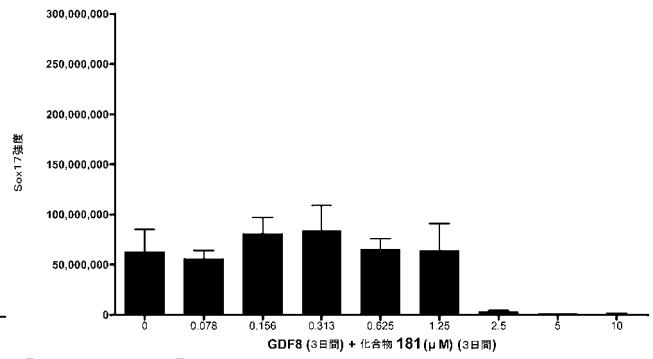
【図 1 3 E】



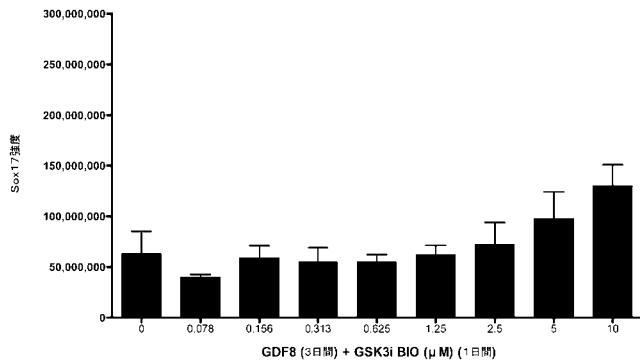
【図 1 3 F】



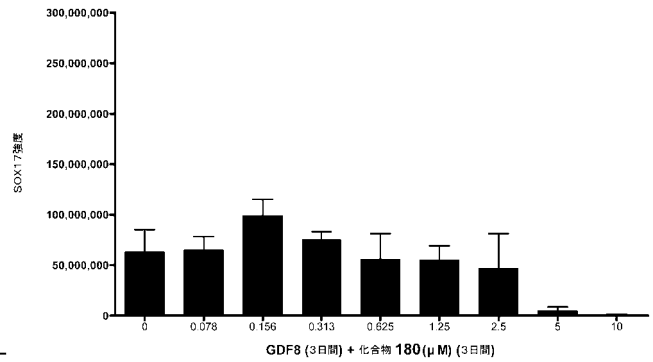
【図 1 4 A】



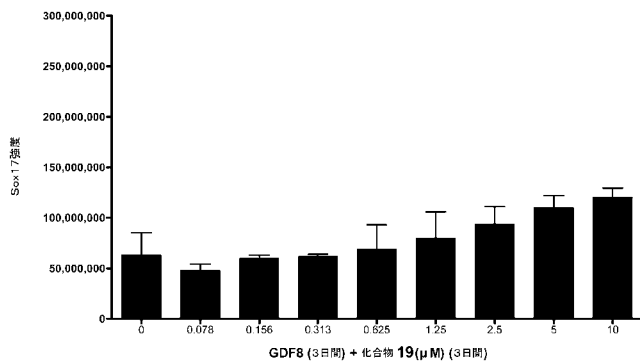
【図 1 3 G】



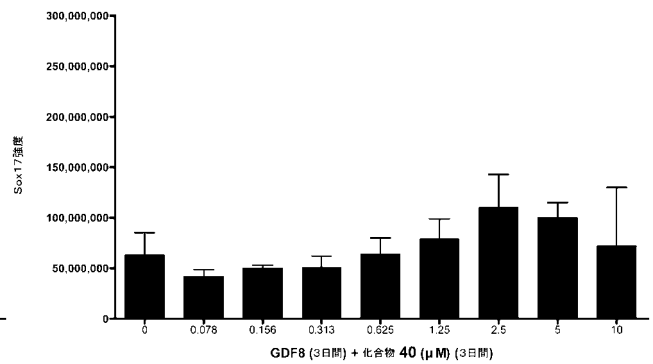
【図 1 4 B】



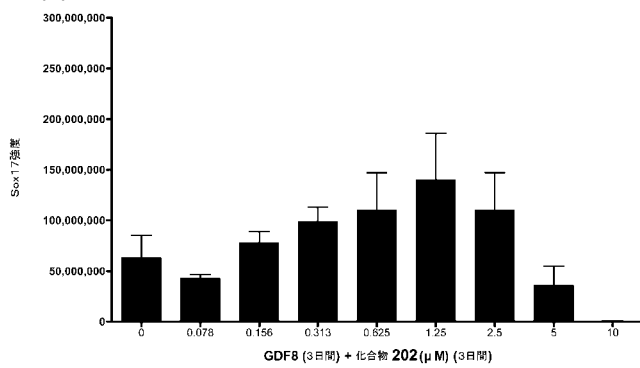
【図 1 4 C】



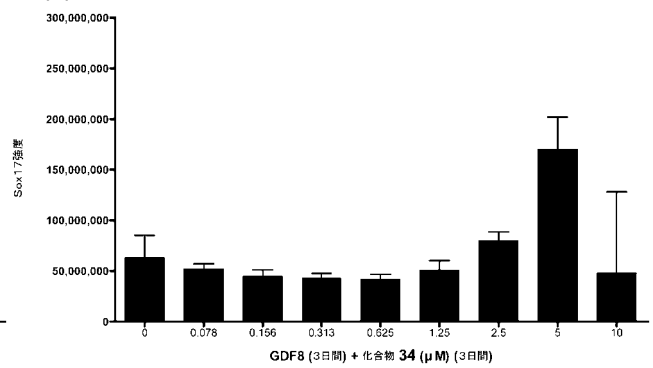
【図 1 4 E】



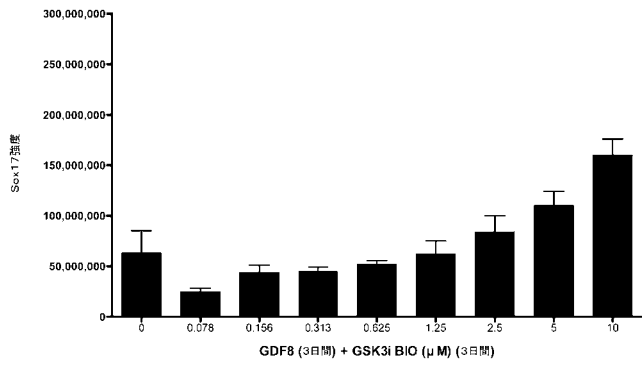
【図 1 4 D】



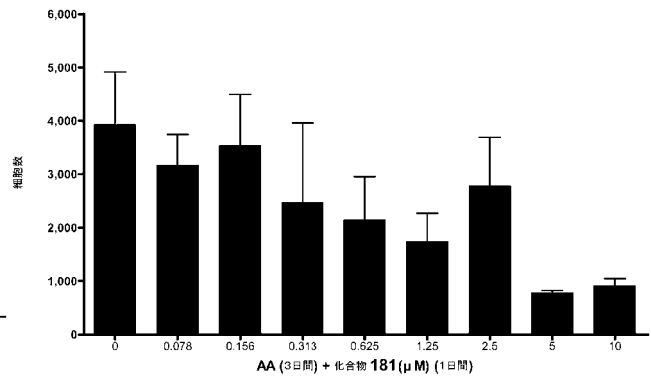
【図 1 4 F】



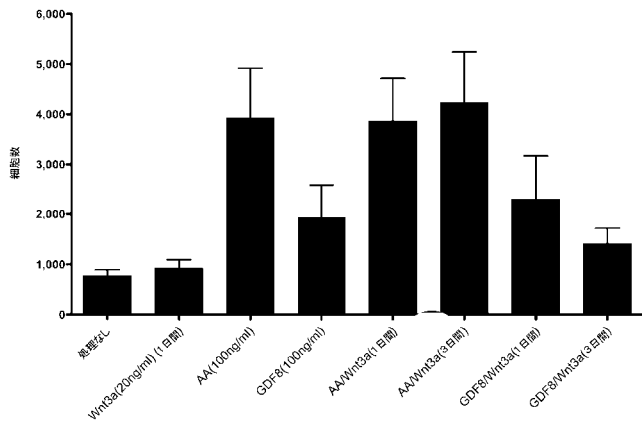
【図 1 4 G】



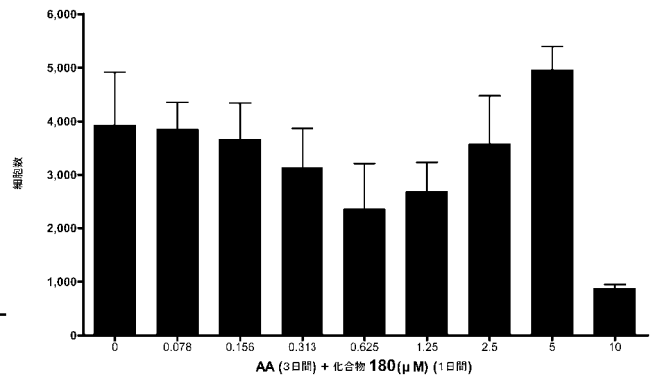
【図 1 6 A】



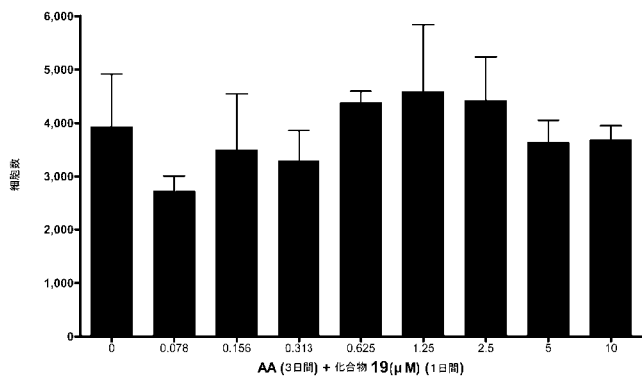
【図 1 5】



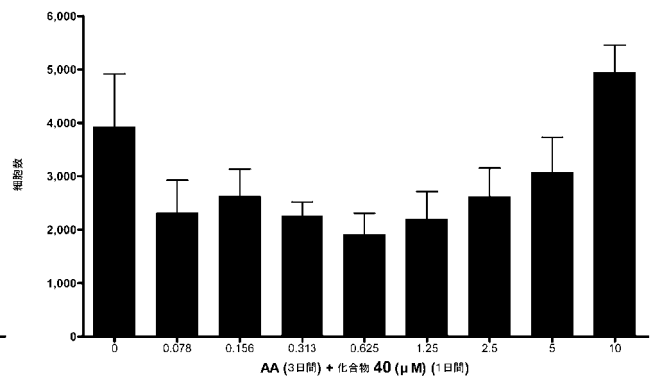
【図 1 6 B】



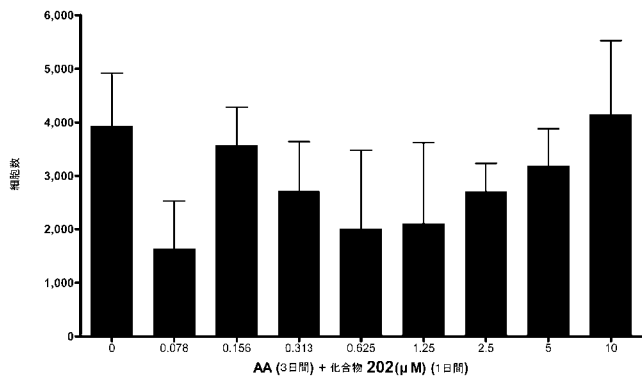
【図 1 6 C】



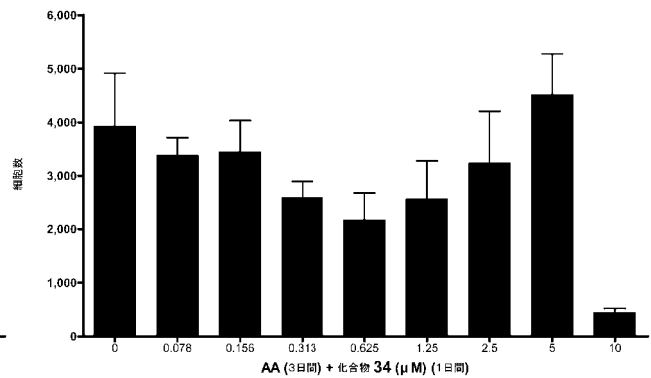
【図 1 6 E】



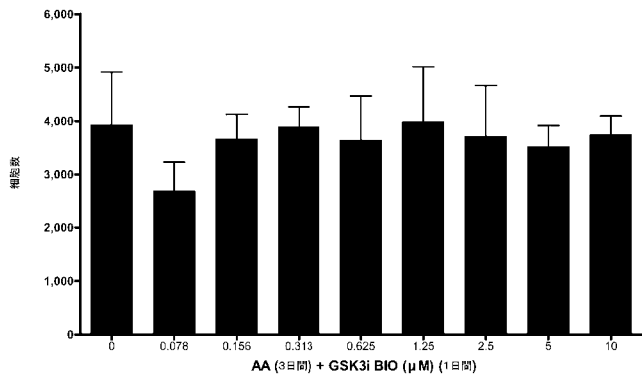
【図 1 6 D】



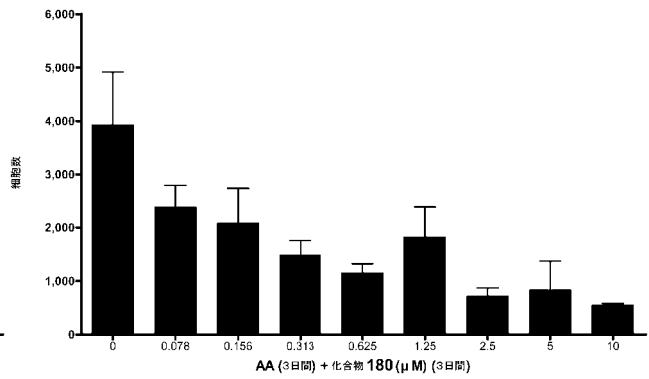
【図 1 6 F】



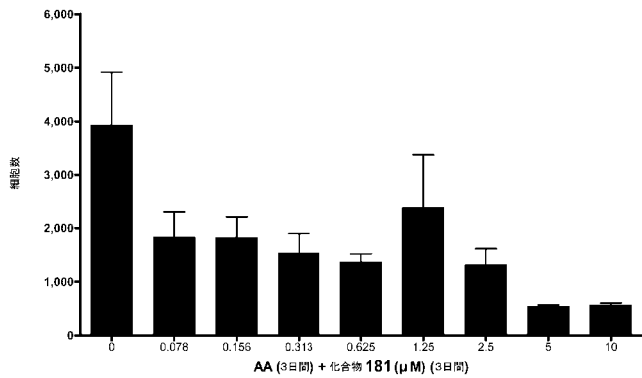
【図 1 6 G】



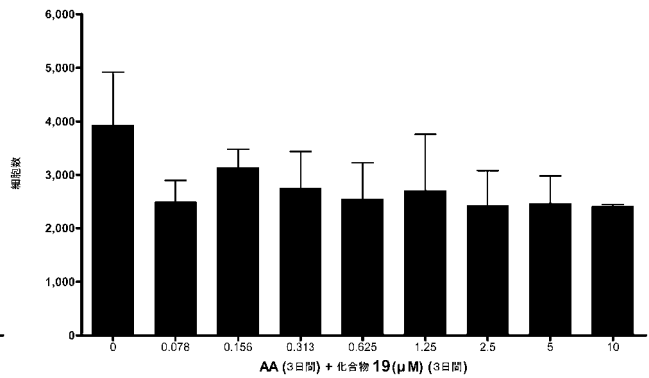
【図 1 7 B】



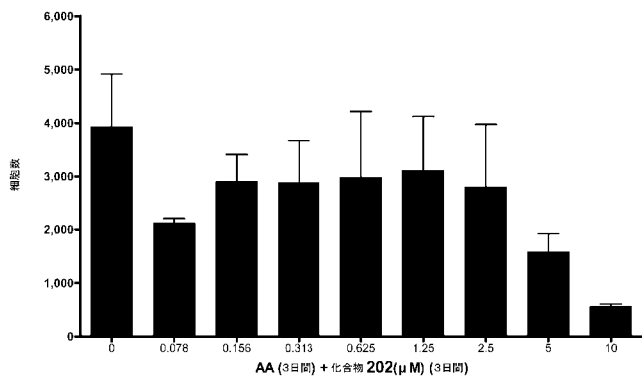
【図 1 7 A】



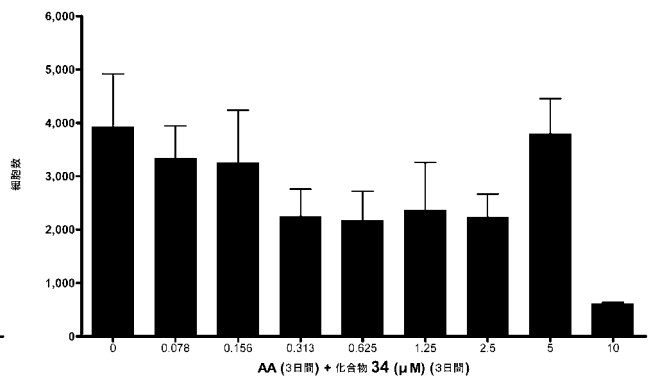
【図 1 7 C】



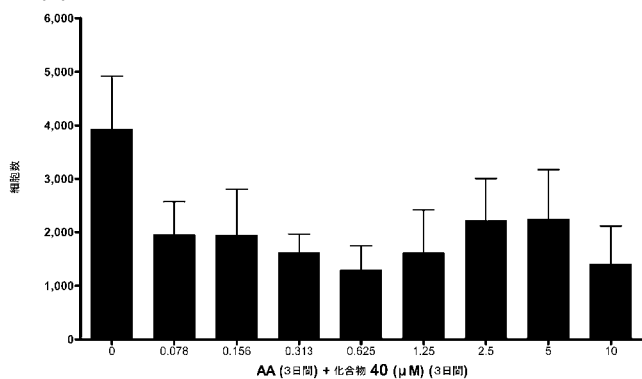
【図 1 7 D】



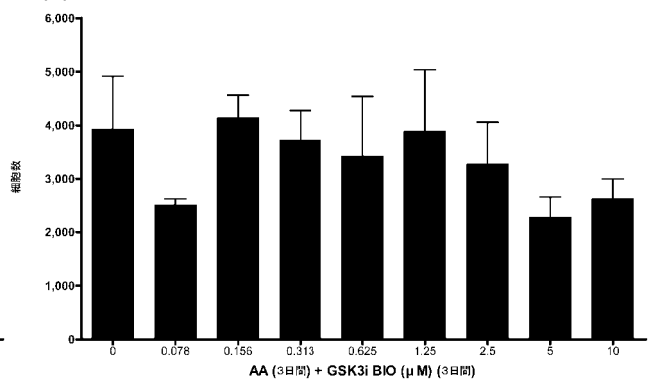
【図 1 7 F】



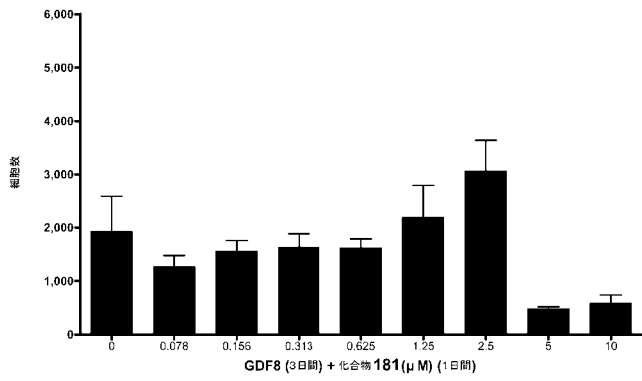
【図 1 7 E】



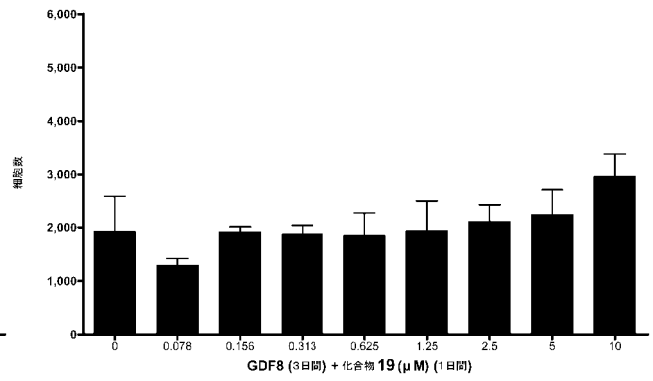
【図 1 7 G】



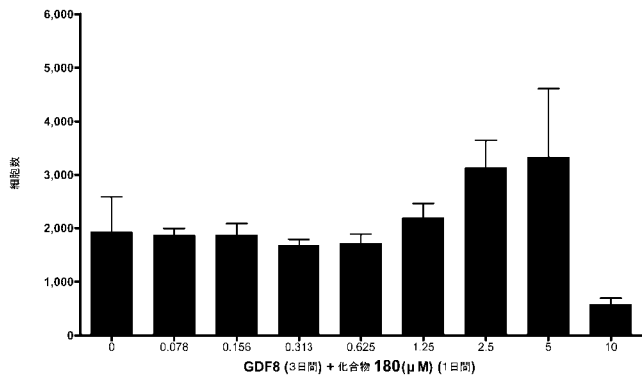
【図 18 A】



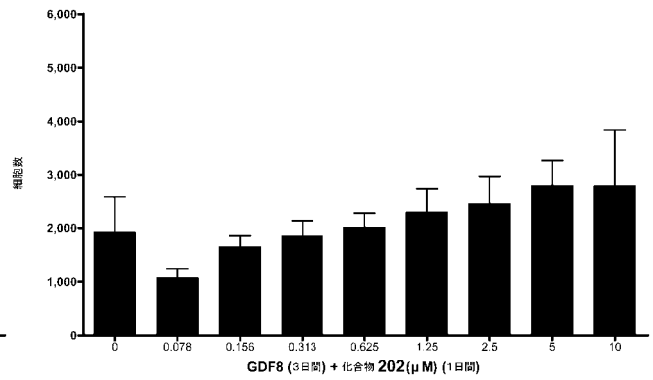
【図 18 C】



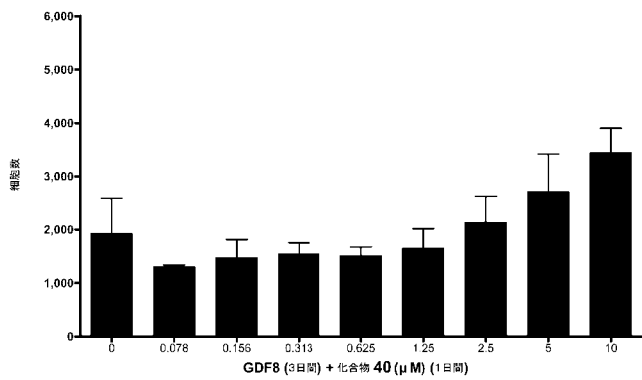
【図 18 B】



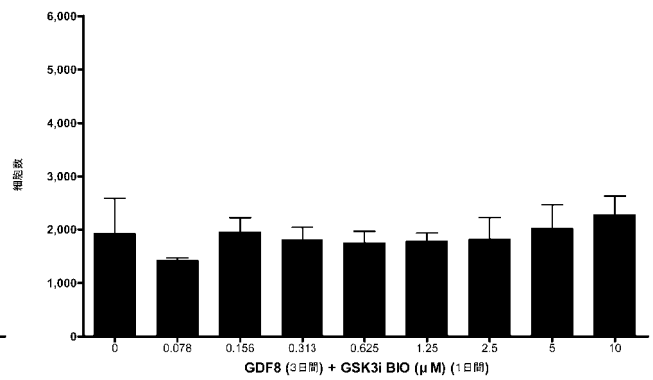
【図 18 D】



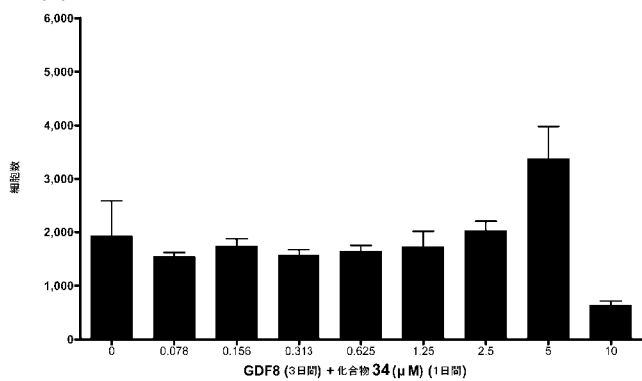
【図 18 E】



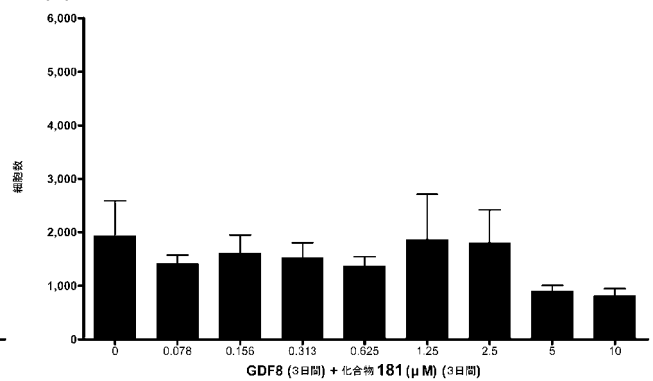
【図 18 G】



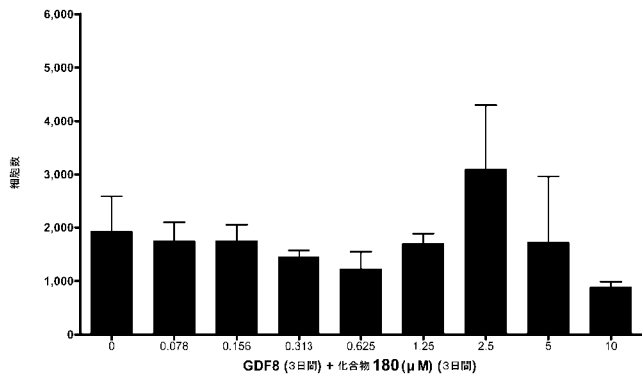
【図 18 F】



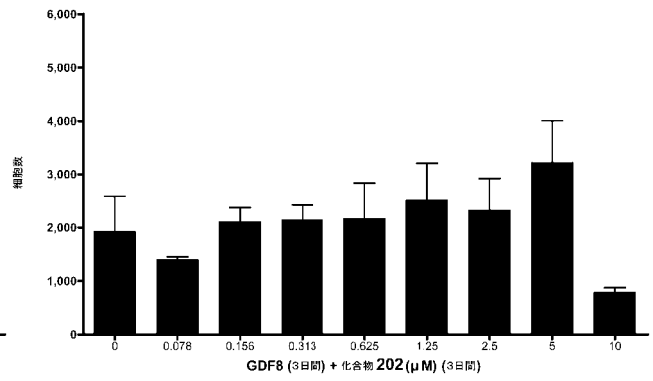
【図 19 A】



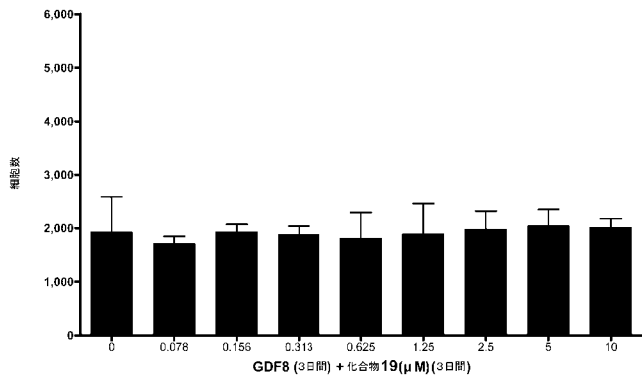
【図 19 B】



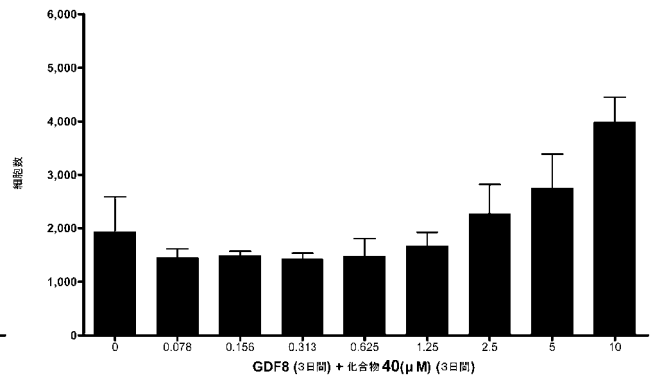
【図 19 D】



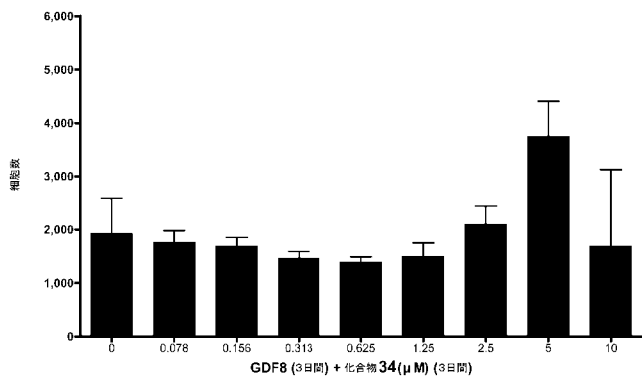
【図 19 C】



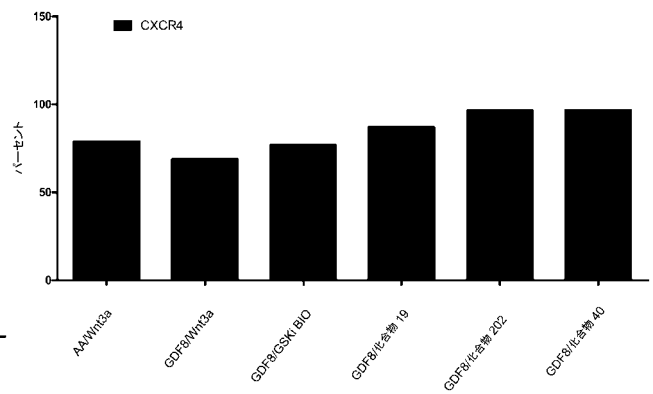
【図 19 E】



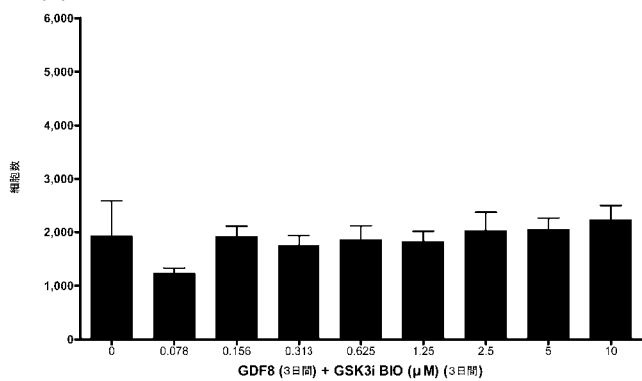
【図 19 F】



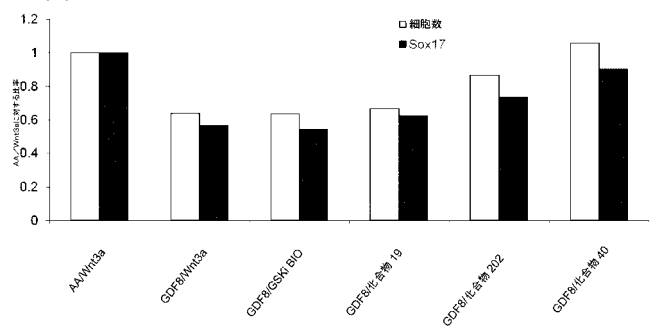
【図 20 A】



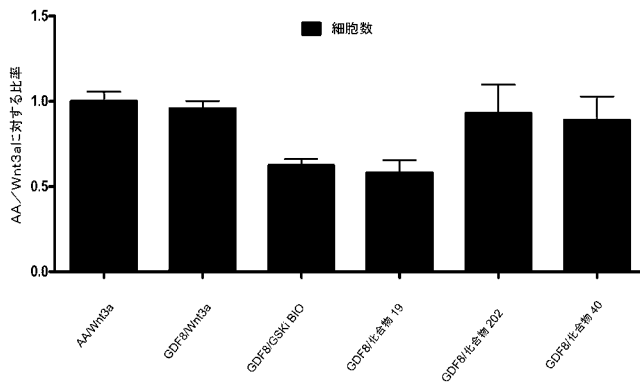
【図 19 G】



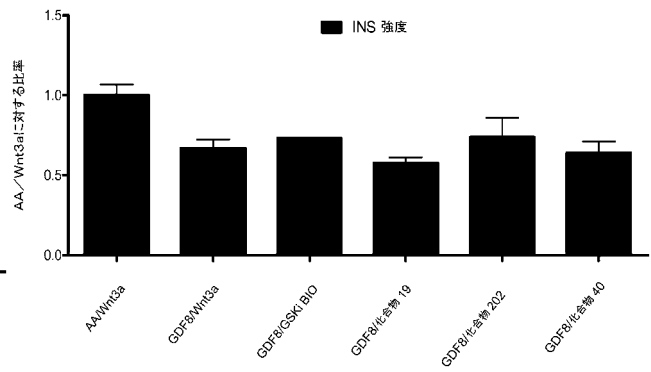
【図 20 B】



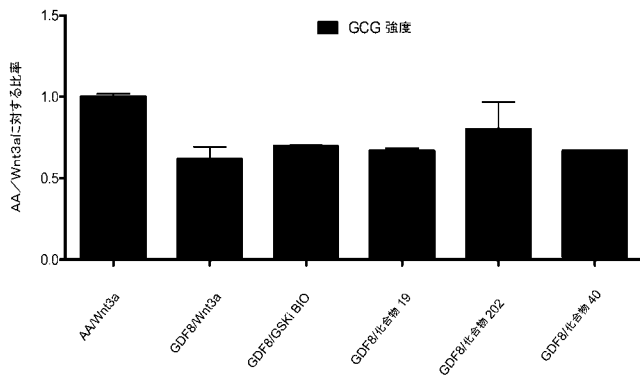
【図 20 C】



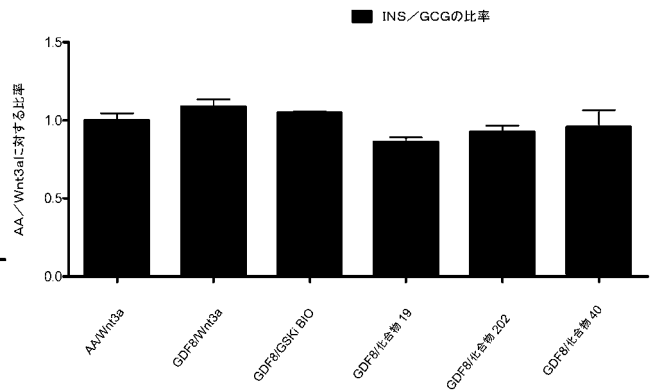
【図 20 E】



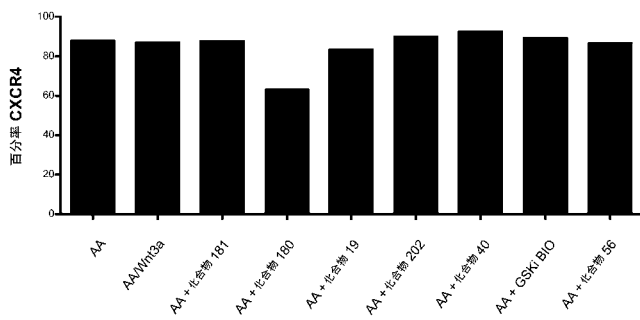
【図 20 D】



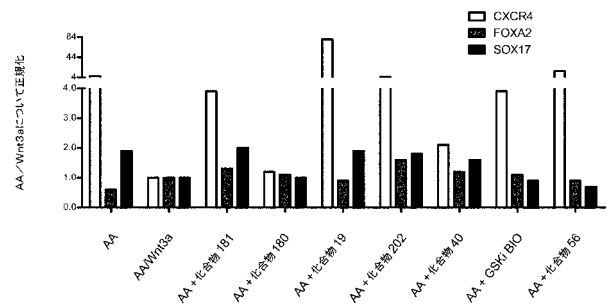
【図 20 F】



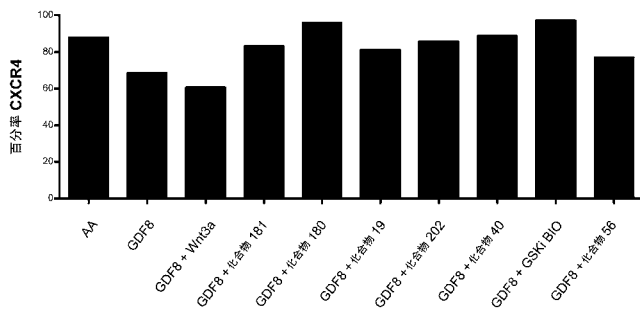
【図 21 A】



【図 21 C】

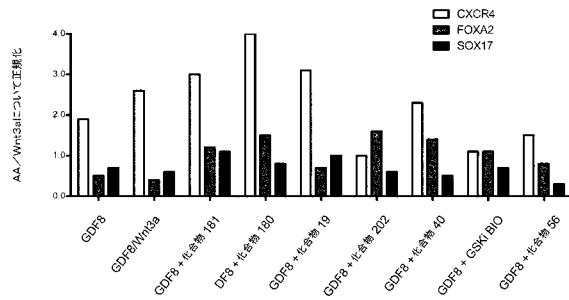


【図 21 B】



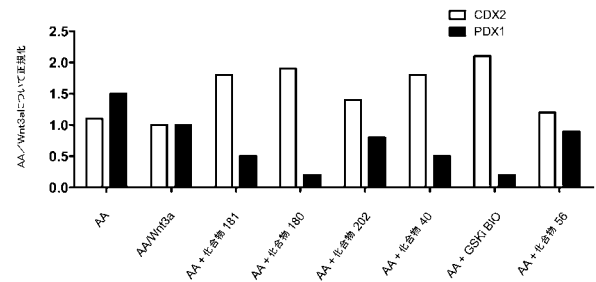
化合物/CT	GAPDH	CXCR4	FOXA2	SOX17
AA	19.4	20.4	25.1	21.6
Wnt3a	18.2	22.0	22.9	21.2
化合物 181	20.1	22.0	25.6	22.2
化合物 180	18.4	22.0	24.0	21.4
化合物 19	20.1	17.7	25.5	22.3
化合物 202	20.3	22.0	25.7	22.6
化合物 40	19.9	22.7	25.5	22.3
GSK1 BIO	20.2	22.2	25.8	23.4
化合物 56	19.8	19.6	24.4	23.3

【図 2 1 D】



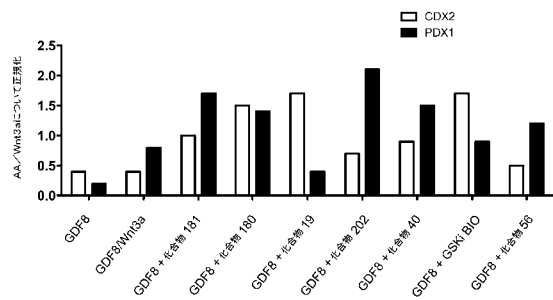
化合物/CT	GAPDH	CXCR4	FOXA2	SOX17
なし	21.5	24.6	25.9	25.2
Wnt3a	21.2	23.6	25.7	25.0
化合物181	20.7	23.0	25.2	23.7
化合物180	20.9	22.7	25.0	24.2
化合物19	19.6	21.8	24.2	22.6
化合物202	18.5	22.4	23.6	22.3
化合物40	19.7	22.4	24.9	23.7
GSK3 (X(bio))	19.6	23.3	24.7	23.3
化合物56	19.7	23.0	25.3	24.4

【図 2 1 E】



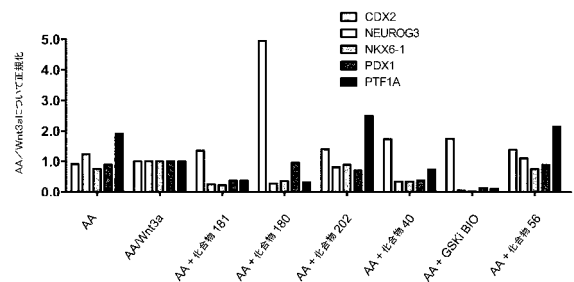
化合物/CT	GAPDH	CDX2	PDX1
なし	18.5	22.9	23.3
Wnt3a	18.4	23.0	23.8
化合物181	18.6	22.3	25.0
化合物180	18.8	22.5	25.3
化合物202	18.5	22.5	24.1
化合物40	18.5	22.2	24.8
GSK3 (X(bio))	18.5	22.0	26.1
化合物56	18.3	22.7	23.9

【図 2 1 F】



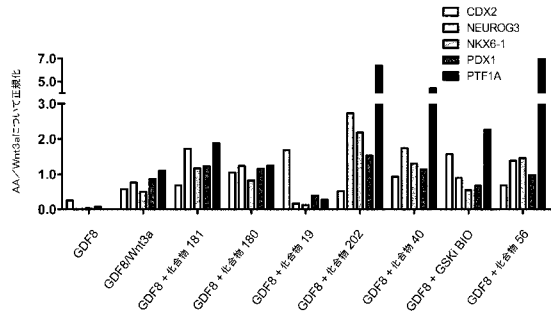
化合物/CT	GAPDH	CDX2	PDX1
なし	18.0	23.8	25.5
Wnt3a	17.4	23.1	23.1
化合物181	18.6	23.4	23.6
化合物180	18.8	22.8	23.7
化合物19	18.3	22.0	25.0
化合物202	18.7	23.8	23.0
化合物40	18.4	23.0	23.2
GSK3 (X(bio))	18.4	22.2	24.0
化合物56	18.2	23.8	23.3

【図 2 1 G】



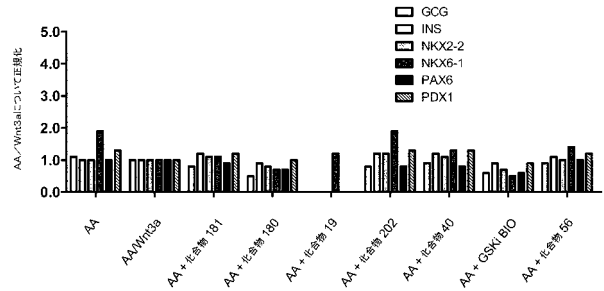
化合物/CT	GAPDH	CDX2	NEUROG3	NKX6-1	PDX1	PTF1A
なし	19.0	23.7	23.3	27.4	23.7	29.6
Wnt3a	19.5	24.1	24.1	27.5	24.1	31.1
化合物181	18.0	22.1	24.6	28.1	24.0	31.0
化合物180	18.4	21.6	25.8	28.9	24.0	32.6
化合物202	19.2	23.3	24.1	27.4	24.3	28.5
化合物40	19.2	22.9	25.3	28.7	25.1	31.2
GSK3 (X(bio))	19.0	22.7	27.7	32.9	26.5	33.7
化合物56	18.8	22.9	23.3	27.2	23.6	29.3

【図 2 1 H】



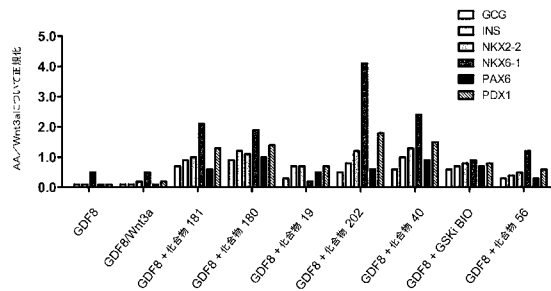
化合物/CT	GAPDH	CDX2	NEUROG3	NKX6-1	PDX1	PTF1A
なし	18.0	24.6	28.7	31.2	26.5	40.0
Wnt3a	19.0	24.4	24.0	28.0	23.8	30.5
化合物 181	18.0	23.1	21.6	25.7	22.3	26.6
化合物 180	19.5	23.9	23.7	27.7	23.8	30.7
化合物 19	19.1	22.9	26.4	30.2	25.1	32.6
化合物 202	19.0	24.5	22.2	25.9	23.0	27.9
化合物 40	19.0	23.6	22.7	26.6	23.4	26.4
GSK3i (Dko)	19.1	23.0	23.8	27.9	24.2	29.5
化合物 56	18.9	24.0	23.0	26.3	23.5	27.7

【図 2 1 I】



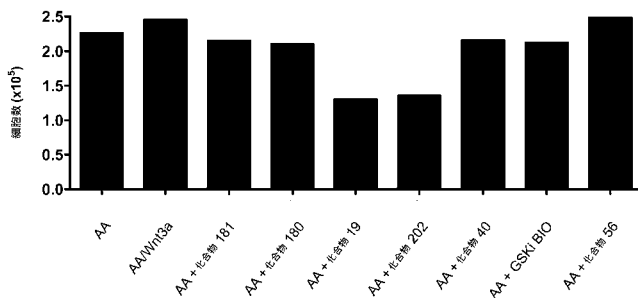
化合物/CT	GAPDH	GCG	INS	NKX2-2	NKX6-1	PAX6	PDX1
なし	18.3	14.1	14.9	23.7	25.5	24.0	23.2
Wnt3a	18.0	14.0	14.6	23.4	26.1	23.7	23.3
化合物 181	18.0	14.3	14.5	23.3	26.1	24.0	23.1
化合物 180	18.0	14.9	14.7	23.8	26.5	24.3	23.2
化合物 19	17.9	27.0	26.9	26.0	25.8	26.6	29.4
化合物 202	18.6	14.9	15.0	23.7	25.8	24.7	23.6
化合物 40	18.3	14.6	14.7	23.5	26.1	24.4	23.2
GSK3i (Dko)	18.3	15.1	15.1	24.2	27.5	24.9	23.8
化合物 56	18.2	14.4	14.8	23.6	25.9	24.1	23.3

【図 2 1 J】

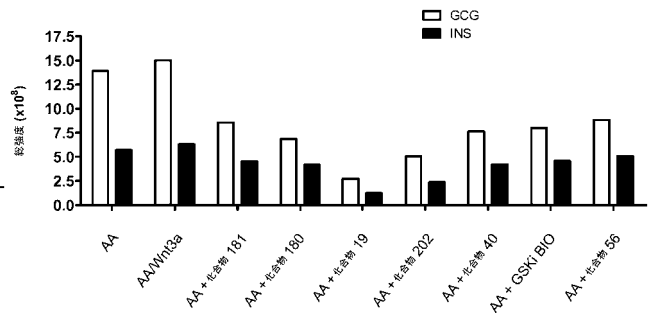


化合物/CT	GAPDH	GCG	INS	NKX2-2	NKX6-1	PAX6	PDX1
なし	17.4	18.1	17.7	25.9	26.6	26.6	25.5
Wnt3a	17.8	17.7	17.5	25.6	27.0	26.5	25.6
化合物 181	18.0	14.6	14.8	23.4	25.0	24.4	23.0
化合物 180	18.0	14.2	14.4	23.2	25.1	23.8	22.9
化合物 19	18.3	16.2	15.6	24.3	26.6	25.2	24.2
化合物 202	18.7	15.7	15.8	23.8	24.8	25.2	23.2
化合物 40	18.1	14.8	14.8	23.2	25.0	24.1	22.9
GSK3i (Dko)	18.4	15.2	15.5	24.2	26.7	24.9	24.0
化合物 56	18.0	16.0	16.0	24.4	25.9	25.4	24.0

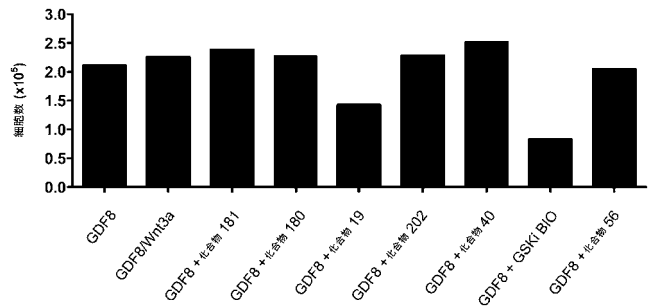
【図 2 1 K】



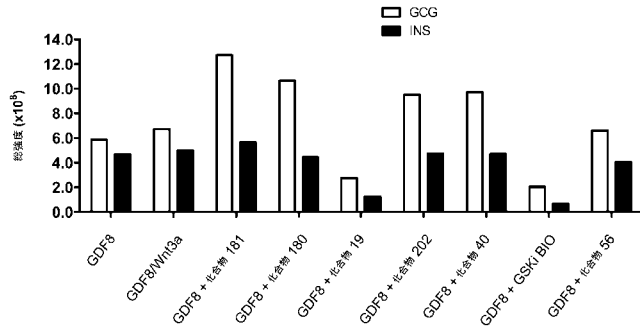
【図 2 1 L】



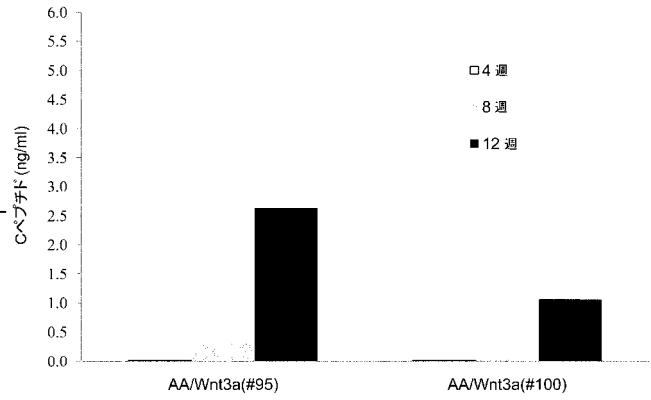
【図 2 1 M】



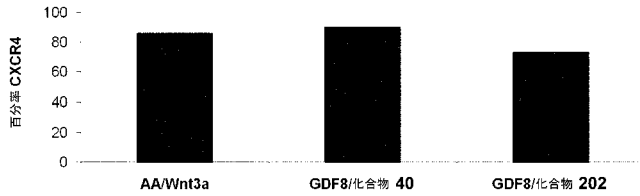
【図 2 1 N】



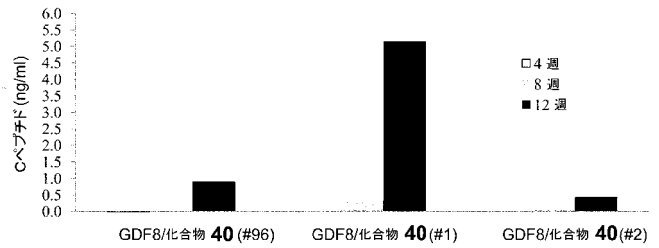
【図 2 3 A】



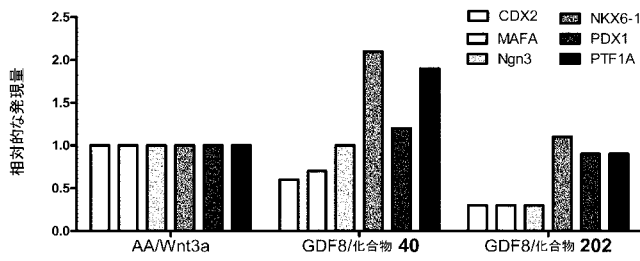
【図 2 2 A】



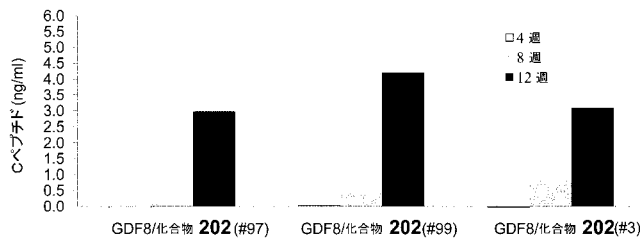
【図 2 3 B】



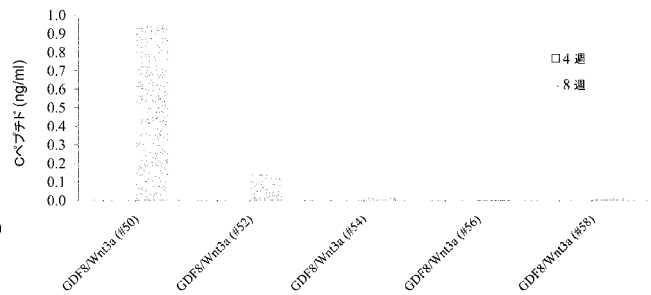
【図 2 2 B】



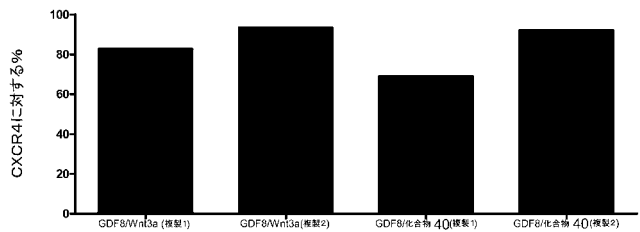
【図 2 3 C】



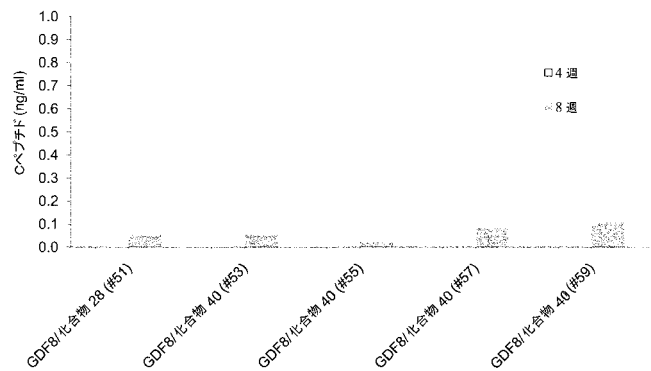
【図 2 4 C】



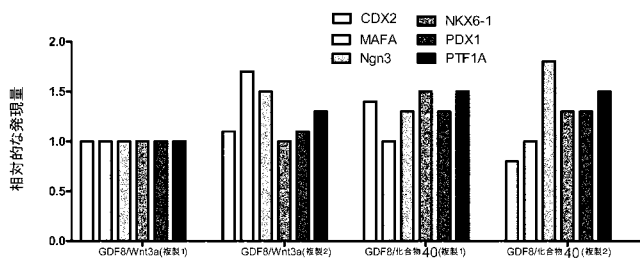
【図 2 4 A】



【図 2 4 D】

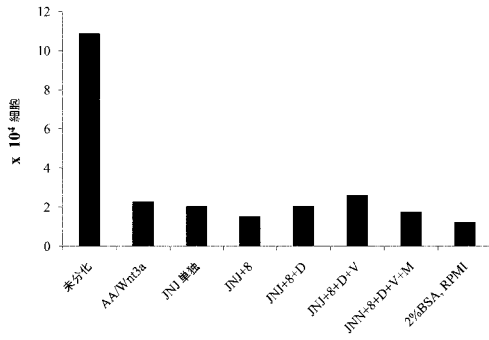


【図 2 4 B】

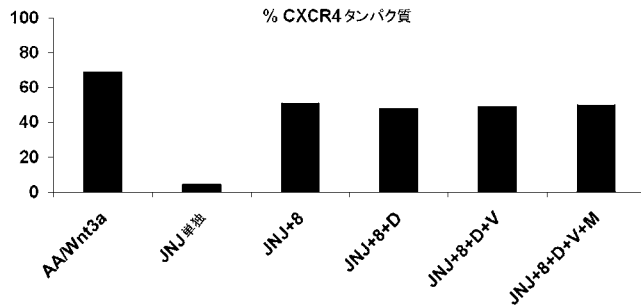


処理/CTs	GAPDH	CDX2	MAFA	NEUROG3	NKX6-1	PDX1	PTF1A
GDF8/Wnt3a (複製1)	19.0	24.8	31.0	24.1	24.3	22.5	25.4
GDF8/Wnt3a (複製2)	18.6	24.3	29.8	23.1	23.9	22.0	24.7
GDF8/化合物 40 (複製1)	19.3	24.6	31.3	23.9	24.0	22.3	25.0
GDF8/化合物 40 (複製2)	18.7	24.9	30.6	22.9	23.7	21.8	24.5

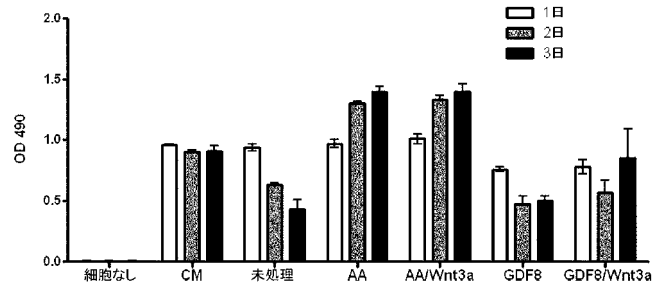
【図 2 5 A】



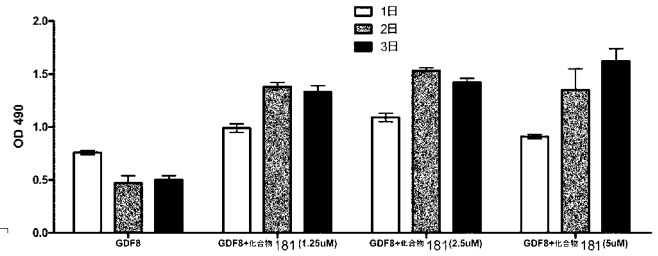
【図 2 5 B】



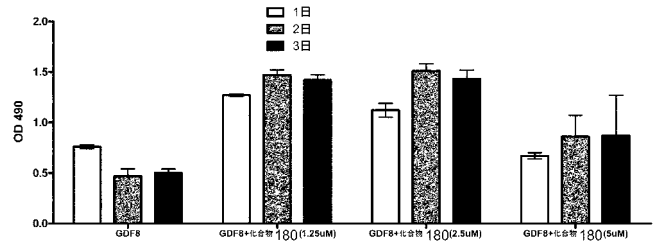
【図 2 6 A】



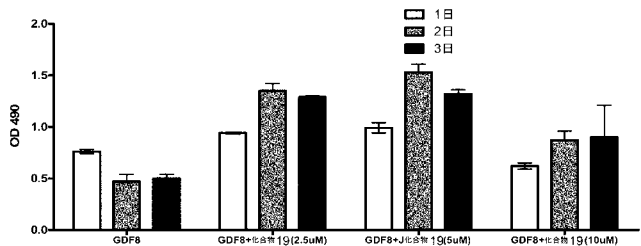
【図 2 6 B】



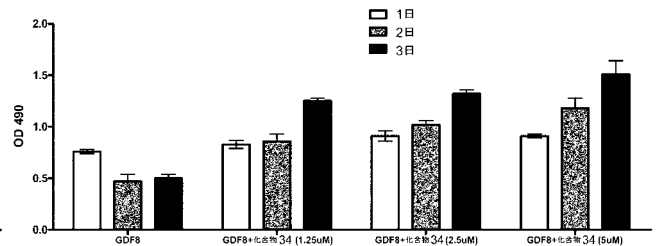
【図 2 6 C】



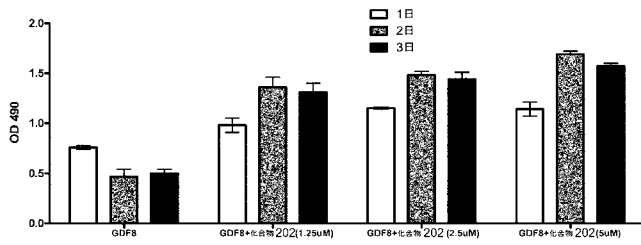
【図 2 6 D】



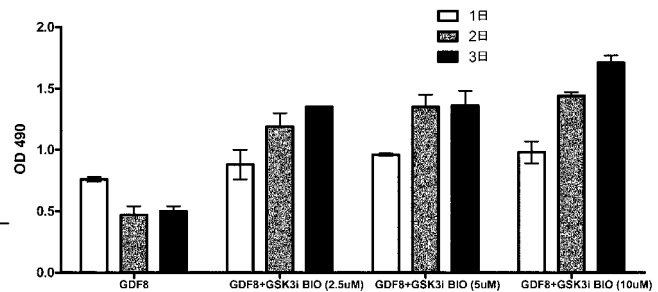
【図 2 6 G】



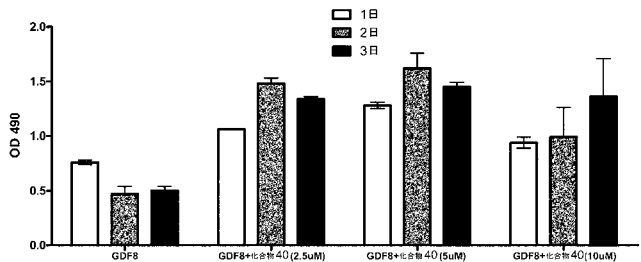
【図 2 6 E】



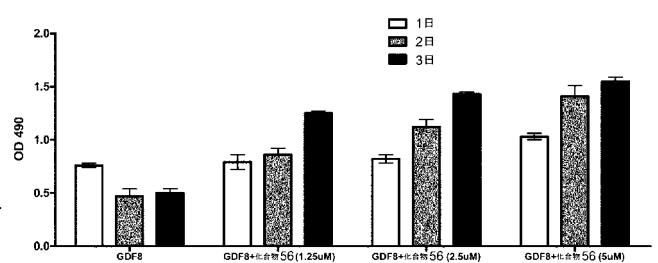
【図 2 6 H】



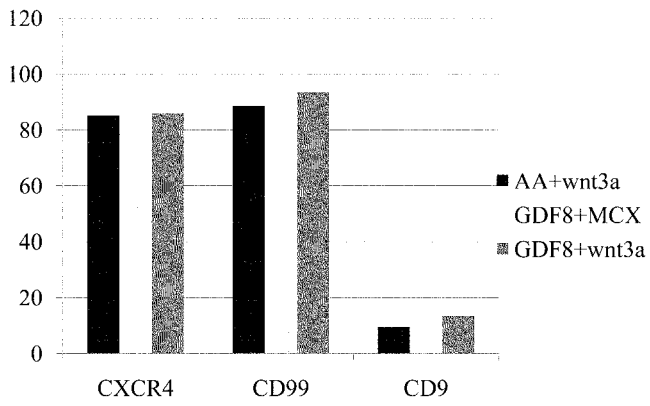
【図 2 6 F】



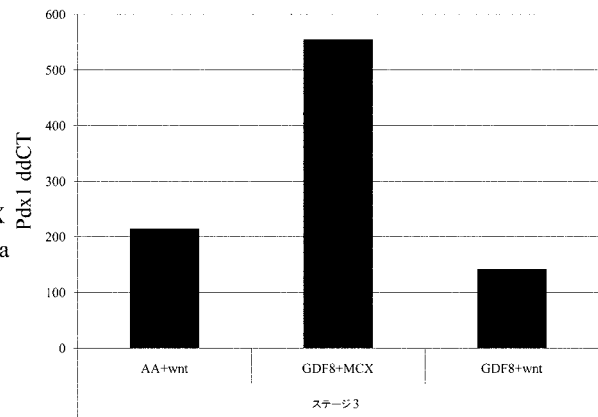
【図 2 6 I】



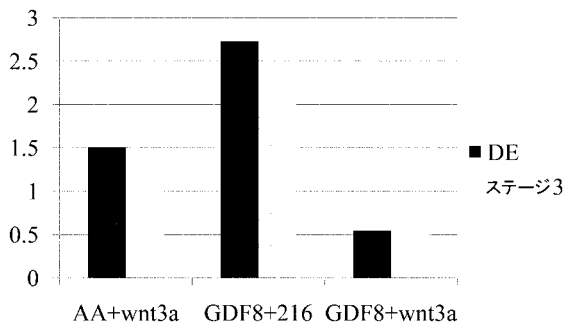
【図 27 A】



【図 27 C】



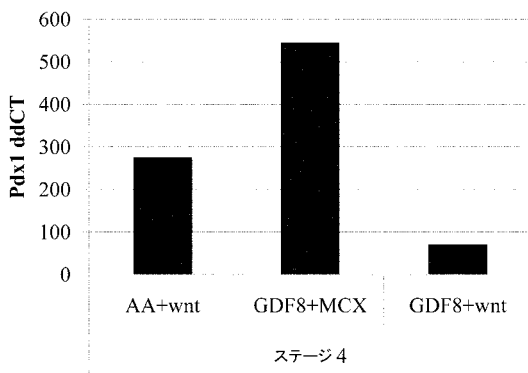
【図 27 B】



【図 27 D】

ステージ 3	AA+wnt	GDF8+MCX	GDF8+wnt
Pdx	215	555	142
Cdx2	1614	1567	965
HNF4a	339	210	267

【図 27 E】



【図 27 F】

ステージ 4	AA+wnt	GDF8+MCX	GDF8+wnt
Pdx	276	545	71
Cdx2	1971	2496	983
HNF4a	640	426	609

【国際調査報告】

INTERNATIONAL SEARCH REPORT

International application No

PCT/US2009/049183

A. CLASSIFICATION OF SUBJECT MATTER
INV. C12N5/06.

According to International Patent Classification (IPC) or to both national classification and IPC

B. FIELDS SEARCHED

Minimum documentation searched (classification system followed by classification symbols)

C12N

Documentation searched other than minimum documentation to the extent that such documents are included in the fields searched

Electronic data base consulted during the International search (name of data base and, where practical, search terms used)

EPO-Internal, BIOSIS, EMBASE, WPI Data

C. DOCUMENTS CONSIDERED TO BE RELEVANT

Category*	Citation of document, with indication, where appropriate, of the relevant passages	Relevant to claim No.
X	<p>MCLEAN AMANDA B ET AL: "Activin a efficiently specifies definitive endoderm from human embryonic stem cells only when phosphatidylinositol 3-kinase signaling is suppressed"</p> <p>STEM CELLS, ALPHAMED PRESS, DAYTON, OH, US,</p> <p>vol. 25, no. 1,</p> <p>1 January 2007 (2007-01-01), pages 29-38,</p> <p>XP002482637</p> <p>ISSN: 1066-5099</p> <p>abstract</p> <p>page 32 - page 33</p> <p>figure 3</p> <p>-----</p> <p>-/-</p>	1

☒ Further documents are listed in the continuation of Box C.☒ See patent family annex.

* Special categories of cited documents:

- *A* document defining the general state of the art which is not considered to be of particular relevance
- *E* earlier document but published on or after the international filing date
- *L* document which may throw doubts on priority claim(s) or which is cited to establish the publication date of another citation or other special reason (as specified)
- *O* document referring to an oral disclosure, use, exhibition or other means
- *P* document published prior to the international filing date but later than the priority date claimed

- *T* later document published after the international filing date or priority date and not in conflict with the application but cited to understand the principle or theory underlying the invention
- *X* document of particular relevance; the claimed invention cannot be considered novel or cannot be considered to involve an inventive step when the document is taken alone
- *Y* document of particular relevance; the claimed invention cannot be considered to involve an inventive step when the document is combined with one or more other such documents, such combination being obvious to a person skilled in the art.
- *G* document member of the same patent family

Date of the actual completion of the international search

30 October 2009

Date of mailing of the international search report

11/11/2009

Name and mailing address of the ISA/

European Patent Office, P.B. 5818 Patentlaan 2
 NL - 2280 HV Rijswijk
 Tel. (+31-70) 340-2040,
 Fax: (+31-70) 340-3016

Authorized officer

Brero, Alessandro

INTERNATIONAL SEARCH REPORT

International application No

PCT/US2009/049183

C(Continuation). DOCUMENTS CONSIDERED TO BE RELEVANT

Category*	Citation of document, with indication, where appropriate, of the relevant passages	Relevant to claim No.
X	WO 2008/048647 A (CYTHERA INC [US]; BAETGE EMMANUEL EDWARD [US]; D AMOUR KEVIN [US]) 24 April 2008 (2008-04-24) claims 116,123 paragraphs [0173], [0260], [0293]	1
A	ARMSTRONG LYLE ET AL: "The role of PI3K/AKT, MAPK/ERK and NF kappa beta signalling in the maintenance of human embryonic stem cell pluripotency and viability highlighted by transcriptional profiling and functional analysis" HUMAN MOLECULAR GENETICS, OXFORD UNIVERSITY PRESS, SURREY, vol. 15, no. 11, 1 June 2006 (2006-06-01), pages 1894-1913, XP002471543 ISSN: 0964-6906 the whole document	1,2
A	PALING N R D ET AL: "REGULATION OF EMBRYONIC STEM CELL SELF-RENEWAL BY PHOSPHOINOSITIDE 3-KINASE-DEPENDENT SIGNALING" JOURNAL OF BIOLOGICAL CHEMISTRY, AMERICAN SOCIETY OF BIOCHEMICAL BIOLOGISTS, BIRMINGHAM, US, vol. 279, no. 46, 24 August 2004 (2004-08-24), pages 48063-48070, XP002380573 ISSN: 0021-9258 the whole document	1,2
A	HORI YUICHI ET AL: "Growth inhibitors promote differentiation of insulin-producing tissue from embryonic stem cells" PROCEEDINGS OF THE NATIONAL ACADEMY OF SCIENCES OF USA, NATIONAL ACADEMY OF SCIENCE, WASHINGTON, DC, US, vol. 99, no. 25, 10 December 2002 (2002-12-10), pages 16105-16110, XP002392968 ISSN: 0027-8424 cited in the application the whole document	1,2
A	MCKIERNAN EADAOIN ET AL: "Directed differentiation of mouse embryonic stem cells into pancreatic-like or neuronal- and glial-like phenotypes." TISSUE ENGINEERING OCT 2007, vol. 13, no. 10, October 2007 (2007-10), pages 2419-2430, XP002547893 ISSN: 1076-3279 the whole document	1,2

-/--

INTERNATIONAL SEARCH REPORT

International application No

PCT/US2009/049183

C(Continuation). DOCUMENTS CONSIDERED TO BE RELEVANT

Category*	Citation of document, with indication, where appropriate, of the relevant passages	Relevant to claim No.
A	SHIRAKI NOBUAKI ET AL: "Guided differentiation of embryonic stem cells into Pdx1-expressing regional-specific definitive endoderm." STEM CELLS (DAYTON, OHIO) APR 2008, vol. 26, no. 4, April 2008 (2008-04), pages 874-885, XP002547894 ISSN: 1549-4918 the whole document	1,2
A	KUBO A ET AL: "Development of definitive endoderm from embryonic stem cells in culture" DEVELOPMENT, COMPANY OF BIOLOGISTS, CAMBRIDGE, GB, vol. 131, no. 7, 1 April 2004 (2004-04-01), pages 1651-1662, XP002985523 ISSN: 0950-1991 the whole document	1,2

INTERNATIONAL SEARCH REPORT

Information on patent family members

International application No

PCT/US2009/049183

Patent document cited in search report	Publication date	Patent family member(s)	Publication date
WO 2008048647 A	24-04-2008	NONE	

フロントページの続き

(81)指定国 AP(BW, GH, GM, KE, LS, MW, MZ, NA, SD, SL, SZ, TZ, UG, ZM, ZW), EA(AM, AZ, BY, KG, KZ, MD, RU, TJ, TM), EP(AT, BE, BG, CH, CY, CZ, DE, DK, EE, ES, FI, FR, GB, GR, HR, HU, IE, IS, IT, LT, LU, LV, MC, MK, MT, NL, NO, PL, PT, RO, SE, SI, SK, TR), OA(BF, BJ, CF, CG, CI, CM, GA, GN, GQ, GW, ML, MR, NE, SN, TD, TG), AE, AG, AL, AM, AO, AT, AU, AZ, BA, BB, BG, BH, BR, BW, BY, BZ, CA, CH, CL, CN, CO, CR, CU, CZ, DE, DK, DM, DO, DZ, EC, EE, EG, ES, FI, GB, GD, GE, GH, GM, GT, HN, HR, HU, ID, IL, IN, IS, JP, KE, KG, KM, KN, KP, KR, KZ, LA, LC, LK, LR, LS, LT, LU, LY, MA, MD, ME, MG, MK, MN, MW, MX, MY, MZ, NA, NG, NI, NO, NZ, OM, PE, PG, PH, PL, PT, RO, RS, RU, SC, SD, SE, SG, SK, SL, SM, ST, SV, SY, TJ, TM, TN, TR, TT, TZ, UA, UG, US, UZ, VC, VN, ZA, ZM, ZW

(72)発明者 デイビス, ジヤネット

アメリカ合衆国ニュージャージー州 0 8 5 5 8 スキルマン・グランドビュロード 1 9 9

(72)発明者 パーメンター, クリステイン

アメリカ合衆国カリフォルニア州 9 2 1 2 1 - 1 1 2 6 サンディエゴ・メリーフィールドロウ 3 2 1 0

(72)発明者 ボネ, パスカル・ギスラン・アンドレ

ベルギー・ビー - 2 3 4 0 ピールセ・トゥルンホウトセベーク 3 0 ・ジヤンセン・ファーマシユー
チカ・ナームローゼ・フエンノートシャツプ

F ターム(参考) 4B065 AA90X BA23 BB31 BB34 BB40 CA44